

624.571  
181

Ing. MIRCEA FLORINEL DREUCEAN

**OPTIMIZAREA FLUXULUI DE MATERIALE ȘI INFORMAȚII  
ÎN SISTEME DE FABRICAȚIE FLEXIBILĂ ROBOTIZATE**

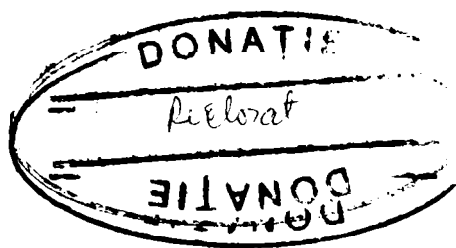
TEZA DE DOCTORAT

BIBLIOTECA CENTRALĂ  
UNIVERSITATEA "POLITEHNICA"  
TIMIȘOARA

Conducător științific:

**Profesor doctor inginer FRANCISC KOVACS**

MAI  
1999



## CUVÂNT ÎNAINTE

Domeniul sistemelor flexibile de fabricație este fascinant deopotrivă pentru specialiști cât și pentru neavizați, prin îngemănarea sub diverse forme a unor tehnici foarte diferite: tehnica mașinilor de lucru de mare performanță, tehnica sculelor și dispozitivelor inteligente, tehnicile de conducere bazate pe inteligență artificială, tehnicile de proiectare constructivă și tehnologică bazate pe sisteme software de mare performanță, tehnici de conducere automată cu calculatoare deosebit de puternice și, nu în ultimul rând, tehnicile de redefinire a locului operatorului uman în astfel de medii industriale de un pragmatism extrem. Toate aceste aspecte de mare performanță ale sistemelor de fabricație, alături de conceptul însuși de fabricație flexibilă, s-au născut din cerințele impuse producătorilor de bunuri de orice fel de către competiția acută care se derulează la nivelul pieței economice a lumii care se dezvoltă din ce în ce mai mult spre o piață unică.

Cercetătorii români în domeniu au descoperit în ultimii ani noile concepte ale fabricației flexibile și au putut să vadă la lucru astfel de sisteme în diverse locuri de pe glob. Cu certitudine că, atunci când realitatea economică o va impune, și în țara noastră se vor construi astfel de sisteme, sub competența celor care astăzi, mânați de un optimism specific spiritului academic, continuă să se pregătească și să-și asigure un loc printre caracterele contemporaneității.

Pentru autorul lucrării de față, șansa de a descoperi ceva din mirajul acestei lumi a tehnicii de vârf a constituit-o prima vizită de documentare făcută în Finlanda, La Institutul de

---

---

---

---

Tehnologie din Kuopio. Ceea ce până atunci părea un capitol de roman de ficțiune s-a arătat a fi o realitate de fiecare zi pentru mediul industrial finlandez, unde “SISU” nu este doar o marcă de camioane de mare tonaj, produse în fabrici ale mileniului următor, dar și un sinonim pentru omul harnic și hotărât să sfarme munții din cale pentru a-și atinge un scop. Șansa de a fi acolo i-o datorez profesorului Francisc Kovacs, conducătorul științific al acestei lucrări, omul de la care am învățat, printre multe alte lucruri, că etica academică impune o deschidere permanentă spre nou dacă vrei să fii prețuit și să te impui într-un anumit domeniu. Ii mulțumesc cu acest prilej pentru încrederea pe care mi-a acordat-o atunci când, proaspăt revenit din documentarea în străinătate, i-am propus titlul tezei de doctorat pe care am legat-o între aceste coperti. Ii mulțumesc de asemenea pentru îndemnul permanent pe care mi l-a adresat de a încerca noi orizonturi, tot mai departe de pregătirea mea de bază și totuși mereu mai aproape prin legăturile nebanuite care mi s-au dezvăluit.

Aș dori de asemenea să adresez mulțumiri și colectivului în care am lucrat și care, prin calitățile pe care le-a dobândit datorită relațiilor profesionale și științifice dintre membrii lui, a devenit mult mai mult decât suma părților sale, așa cum se afirmă de fapt și în teoria sistemelor. Si tot pe această bază pot să susțin că, dacă această lucrare are unele calități, oricare ar fi ele, acestea se datoresc în primul rând relațiilor care m-au condus în evoluția mea ca parte a sistemului.

Doresc să adresez un cuvânt de mulțumire referenților științifici ai prezentei lucrări pentru grija cu care s-au aplecat asupra textului și sugestiile importante pe care le-au făcut în legătură cu continuarea cercetărilor în domeniu.

**Autorul**

---

---

## CUPRINS GENERAL

<b>1. REFLECTAREA PROBLEMATICII FLUXURILOR DE MATERIALE ȘI DE INFORMAȚIE DIN SISTEMELE FLEXIBILE DE FABRICAȚIE ÎN LITERATURA DE SPECIALITATE</b>	<b>1</b>
1.1. Cuprins	1
1.2. Elemente generale de teoria sistemelor	2
1.3. Funcția unui sistem	4
1.4. Sisteme de fabricație	7
1.5. Analiza fluxului de informație	16
1.6. Programarea unui sistem de fabricație	17
1.7. Elemente de analiză a fluxurilor de materiale	20
1.8. Probleme speciale ale funcționării sistemelor flexibile de fabricație	26
1.9. Probleme specifice sistemelor flexibile de fabricație robotizate. Studii de caz.	30
1.10. Breviar bibliografic	41
1.11. Bibliografie	48

---

---

<b>2. MODELAREA ȘI SIMULAREA ÎN PROIECTAREA UNUI SISTEM FLEXIBIL DE FABRICAȚIE. CELULE DE FABRICAȚIE INDEPENDENTE</b>	<b>49</b>
2.1. Cuprins	49
2.2. Asupra semnificației noțiunilor de "modelare" și "simulare"	50
2.3. Modelarea și simularea ca etape ale proiectării sistemelor de fabricație	53
2.4. Modele de analiză a performanțelor tehnice ale sistemelor de fabricație	58
2.5. Prezentarea unor metode și programe de simulare pentru sisteme cu evenimente discrete	71
2.6. Arhitectura soft a unei celule autonome de fabricație	81
2.7. Bibliografie	92
<b>3. UTILIZAREA REȚELELOR PETRI LA ANALIZA PERFORMANȚELOR TEHNOLOGICE ALE SISTEMELOR FLEXIBILE DE FABRICAȚIE</b>	<b>93</b>
3.1. Cuprins	93
3.2. Principalii parametri cantitativi folosiți în analiza sistemelor de fabricație	96
3.3. Prezentarea sistemului de fabricație flexibilă din laboratorul Catedrei OMM a Facultății de Mecanică din Timișoara	101
3.4. Modelul cu rețele Petri folosit în analiza parametrilor cantitativi ai sistemului de fabricație	113
3.5. Elemente de analiză cantitativă	115
3.6. Anexe	126
3.7. Bibliografie	156
<b>4. PROBLEME DE OPTIMIZARE A FLUXURILOR ÎN SISTEME FLEXIBILE DE FABRICAȚIE</b>	<b>157</b>
4.1. Cuprins	157
4.2. Graful de incidență al nodurilor funcționale ale unui sistem de fabricație	158
4.3. Strategia de conducere a sistemului pentru evitarea blocajelor	162
4.4. Descrierea încercărilor de conducere a echipamentului de frezare pe baza grafului de incidență	173
4.5. Anexe	176
4.6. Bibliografie	190

---

---

<b>5. AUTOMATIZAREA ȘI OPTIMIZAREA LUĂRII DECIZIEI PRIVIND TRANSFERUL MATERIALELOR ÎN SISTEME DE FABRICAȚIE PE BAZA NOȚIUNII DE PROBABILITATE SUBIECTIVĂ</b>	<b>191</b>
5.1. Cuprins	191
5.2. Considerații teoretice	192
5.3. Decizia de rutare bazată pe utilizarea teoriei probabilităților subiective	198
5.4. Anexe	203
5.5. Bibliografie	210
<b>6. CONTRIBUȚII PERSONALE ȘI CONCLUZII</b>	<b>211</b>
6.1. Cuprins	211
6.2. Contribuții personale	212
6.3. Concluzii	213

---

---

---

---

# 1. REFLECTAREA PROBLEMATICII FLUXURILOR DE MATERIALE ȘI DE INFORMAȚIE DIN SISTEMELE FLEXIBILE DE FABRICAȚIE ÎN LITERATURA DE SPECIALITATE

## 1.1. Cuprins

<b>1. REFLECTAREA PROBLEMATICII FLUXURILOR DE MATERIALE ȘI DE INFORMAȚIE DIN SISTEMELE FLEXIBILE DE FABRICAȚIE ÎN LITERATURA DE SPECIALITATE</b>	<b>1</b>
1.1. Cuprins	1
1.2. Elemente generale de teoria sistemelor	2
1.3. Funcția unui sistem	4
1.4. Sisteme de fabricație	7
1.5. Analiza fluxului de informație	16
1.6. Programarea unui sistem de fabricație	17
1.7. Elemente de analiză a fluxurilor de materiale	20
1.8. Probleme speciale ale funcționării sistemelor flexibile de fabricație	26
1.9. Probleme specifice sistemelor flexibile de fabricație robotizate. Studii de caz.	30
1.9.a Generalități	30
1.9.b Sistemul Wartsila	31
1.9.c Sistemul de fabricație flexibilă de la uzinele Citroën	34
1.9.d Sistemul Cessna	35
1.9.e Sistemul Kloeckner-Humboldt-Deutz	37
1.10. Breviar bibliografic	41
1.11. Bibliografie	48

---

---

## 1.2. Elemente generale de teoria sistemelor

*Noțiunea de sistem* este preluată din limba greacă, unde este folosită în sensul de “întreg format din părți”. Definiția cea mai completă folosită astăzi pentru această noțiune este “*Un sistem este o reuniune de elemente împreună cu mulțimea relațiilor ce există între acestea*”. Se deduce de aici faptul că un sistem este mai mult decât mulțimea părților sale. Înțelesul exact al definiției este că sistemul nu se obține prin simpla adăugare a părților, ci prin integrarea lor în sensul de “uniune și influențare reciprocă a părților unui întreg”. Deci ceea ce este în primul rând un sistem nu este componenta lui elementară, ci relațiile ce se stabilesc între aceste elemente [Ropohl, G., 1971, pag. 110 și urm.]. O altă definiție a unui sistem este “*ansamblul de obiecte organizate în jurul unui scop, integrate într-un mediu ambiant*” [Gallou, F. le, Buchon-Meunier, B., 1992, pag. 12]. În mod simbolic, definiția de mai sus se poate exprima prin relația următoare:

$$\{S\} = \{E; R; O; R_e\}$$

( 1.2-1 )

În această relație simbolurile au următoarea semnificație:

- {E}- ansamblul elementelor componente ale sistemului;
- {R}- ansamblul relațiilor interne, sau structura sistemului;
- {O}- ansamblul obiectivelor sau al finalității sistemului;
- {Re}- ansamblul relațiilor exterioare cu mediul.

Pentru ca un ansamblu de elemente să poată constitui un sistem, el trebuie să răspundă unui *grup de cerințe*, prezentate în continuare, precum și tuturor regulilor ce derivă din acestea. Aceste cerințe sunt:

- *integralitatea sau coerența*, care afirmă că toate elementele și subsistemele unui sistem sunt interconectate, adică au cel puțin o relație de un anumit gen cu un alt element din sistem;
- *autonomia*, care constă în relativa independență a sistemului față de mediul exterior;
- *finalitatea*, care afirmă că existența unui sistem nu are sens decât în măsura în care evoluția lui este coerentă, orientată spre un anumit scop;
- *dinamica*, provenind din interconectarea diverselor elemente prin relații interioare care duc la modificări în timp ale caracteristicilor acestora;



- *permanența sau devenirea*, legată de evoluția în timp a sistemului care se desfășoară între jaloane precise, asemănătoare evoluției sistemelor vii: naștere, viață și moarte.

Din cerințele de mai sus se pot desprinde câteva *reguli* mai importante ce se manifestă în funcționarea unui sistem:

- un sistem este întotdeauna inclus într-un sistem de rang superior (cu semnificație de mediu ambiant);
- un element al sistemului nu este în mod necesar un subsistem;
- un sistem nedefinit ca obiective și finalități nu poate fi descris în mod coerent și univoc;
- un sistem are întotdeauna o activitate și o evoluție, chiar dacă momentan el se află în repaos.

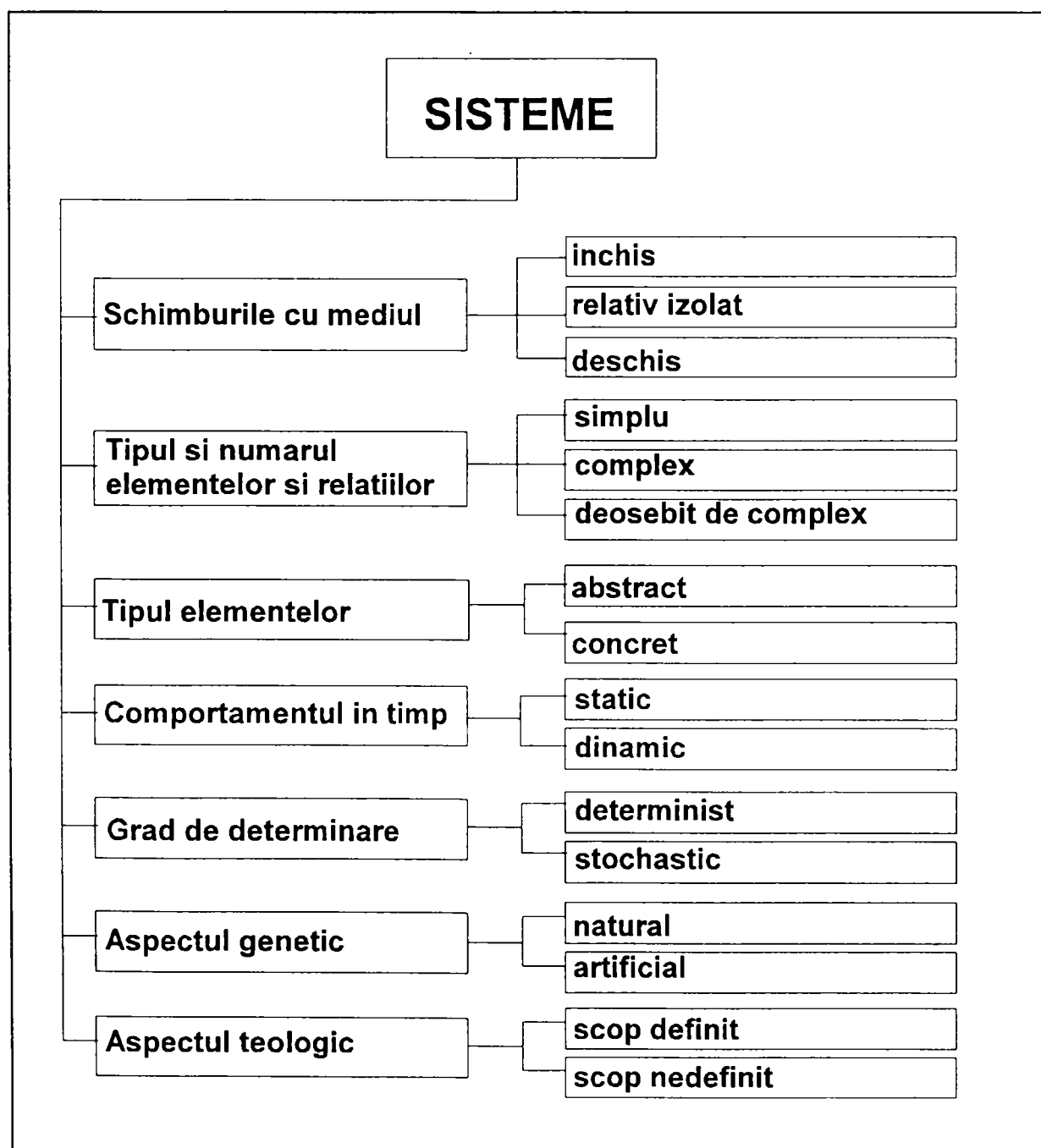


Figura 1.2-1

*Clasificarea sistemelor* se poate face după relațiile pe care acestea le au cu mediul “M”, înțelegând prin mediu mulțimea complementară “ $\bar{S}$ ” a mulțimii elementelor sistemului “S”. Acest aspect al relației dintre sistem și mediu poate fi exprimat matematic astfel:

$$S \cup \bar{S} = M \quad (1.2-2)$$

În diagrama din Figura 1.2-1 este prezentată schematic această clasificare.

### 1.3. Funcția unui sistem

Un sistem relativ izolat “S” are intrările “ $x_1, x_2, \dots, x_p$ ”, și ieșirile “ $y_1, y_2, \dots, y_p$ ”. Aceste două seturi de date pot fi scrise sub forma unor vectori:

$$\begin{aligned} \bar{x} &= (x_1, x_2, \dots, x_p) \\ \bar{y} &= (y_1, y_2, \dots, y_p) \end{aligned} \quad (1.3-1)$$

*Funcția unui sistem* este de a transforma setul de date de intrare în setul de date de ieșire, deci de a transforma vectorul de intrare “ $\bar{x}$ ” în vectorul de ieșire “ $\bar{y}$ ” [Kovacs, Fr., Grigorescu, S., Rădulescu, C., 1994]. Considerând transformarea realizată prin intermediul unei funcții “T”, vom putea scrie ecuația vectorială:

$$\bar{y} = T(\bar{x}) \quad (1.3-2)$$

Funcția unui sistem este ilustrată în Figura 1.3-1. În teoria sistemelor se demonstrează afirmația că orice sistem este o parte a unui sistem de rang superior, sau, altfel spus, că *orice parte a unui sistem este la rândul ei un sistem*. Admițând deci această ierarhizare a sistemelor, se poate scrie relația lor de subordonare sub forma:

$$S^{(R-1)} \in S^{(R)}, S^{(R)} \in S^{(R+1)} \quad (1.3-3)$$

Se spune că între părțile de rang “R-1” ale unui sistem de rang “R” există o *relație sau o conexiune*, dacă cel puțin una din ieșirile unui subsistem este intrare pentru un alt subsistem

de același rang. Fie subsistemul 1, cu funcția de transfer “ $T_1$ ” și subsistemul 2, cu funcția de transfer “ $T_2$ ”. Pentru aceste două subsisteme se poate scrie:

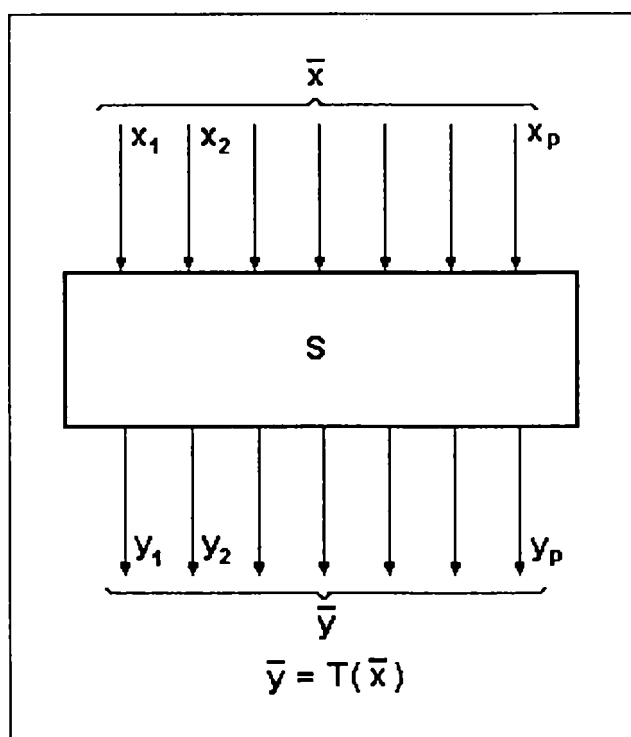


Figura 1.3-1

$$\begin{aligned} \bar{y}_{(1)} &= T_{(1)}(\bar{x}_{(1)}) \\ \bar{y}_{(2)} &= T_{(2)}(\bar{x}_{(2)}) \\ \bar{y}_{(1)} &= (y_{(1)1}, y_{(1)2}, \dots, y_{(1)q}) \\ \bar{x}_{(2)} &= (x_{(2)1}, x_{(2)2}, \dots, x_{(2)p}) \end{aligned} \quad (1.3-4)$$

Dacă între cele două subsisteme există o conexiune, atunci cel puțin pentru un “ $p$ ” și un “ $q$ ” dat este adevărată relația:

$$x_{(2)p} = y_{(2)q} \quad (1.3-5)$$

Dacă se construiește o matrice dreptunghiulară de dimensiuni ( $p \times q$ ) în care

elementele au valoarea 1 sau 0 după cum relația ( 1.3-5 ) este sau nu este adevărată, se obține matricea de cuplare a celor două subsisteme  $K_{12}$ :

$$K_{12} = \begin{bmatrix} e_{11} & e_{12} & e_{1p} \\ e_{21} & e_{22} & e_{2p} \\ \dots & \dots & \dots \\ e_{q1} & e_{q2} & e_{qp} \end{bmatrix} \quad (1.3-6)$$

Procedura de obținere a matricei de cuplare este exemplificată în Figura 1.3-2. Pe baza legăturilor dintre cele două subsisteme se obține matricea de cuplare de forma:

$$K_{12} = \begin{bmatrix} 1 & 0 & 0 & 0 & 0 \\ 0 & 1 & 0 & 0 & 0 \\ 0 & 0 & 0 & 0 & 0 \\ 0 & 0 & 0 & 1 & 0 \\ 0 & 0 & 0 & 0 & 0 \end{bmatrix} \quad (1.3-7)$$

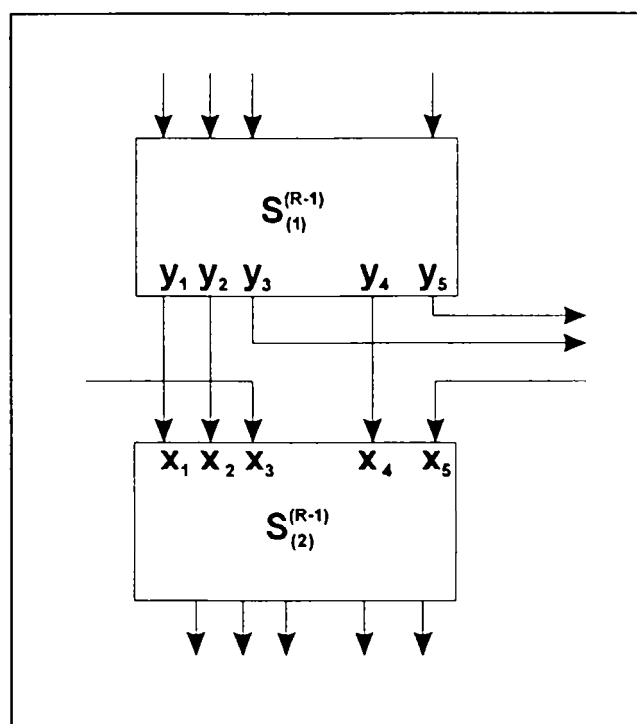


Figura 1.3-2

Legătura dintre cele două subsisteme de rang “R-1” mai poate fi exprimată și prin următoarea ecuație vectorială:

$$\bar{x}_{(2)} = \bar{y}_{(1)} \cdot K_{12}$$

( 1.3-8 )

Prin generalizarea acestui procedeu la toate cele “N” subsisteme de rang “R-1” ale unui sistem de rang “R”, se pot obține cel mult  $N(N-1)$  matrici de cuplare, considerând că un subsistem nu poate fi cuplat cu el însuși. Cuplările dintre subsisteme se pot realiza în ambele sensuri, existând deci atât o matrice de cuplare “ $K_{ij}$ ” cât și o matrice “ $K_{ji}$ ”, în general

diferite. Evident că atunci când subsistemul “i” nu este cuplat cu subsistemul “j” matricea “ $K_{ij}$ ” va fi nulă. Se poate construi astfel o matrice caracteristică întregului sistem, numită *matricea de structură* “S”, care evidențiază în mod global toate legăturile care există în interiorul sistemului dat între subsistemele componente. În Figura 1.3-3 este redat un exemplu de sistem cu 6 subsisteme, pentru care a fost scrisă matricea de structură ( 1.3-9 ):

$$S = \begin{bmatrix} 0 & K_{12} & K_{13} & K_{14} & 0 & 0 \\ K_{21} & 0 & K_{23} & 0 & K_{25} & K_{26} \\ 0 & 0 & 0 & 0 & 0 & K_{36} \\ 0 & 0 & 0 & 0 & 0 & K_{46} \\ 0 & 0 & 0 & 0 & 0 & 0 \\ 0 & 0 & 0 & K_{64} & K_{65} & 0 \end{bmatrix}$$

( 1.3-9 )

În mod formal matricea de structură probează existența sau inexistența unor relații funcționale între subsistemele aceluiași sistem, fără să se refere însă în nici un fel la aspectele calitative sau cantitative ale acestor relații. Acestea din urmă sunt legate mai ales de natura părților sistemului și de modalitatea de organizare în spațiu și timp a acestuia. Se pot distinge astfel două aspecte de organizare ale unui sistem:

- *organizarea constructivă* a sistemului, legată de dispunerea în spațiu a părților și de aspectele particulare ale legăturilor determinate de topologia acestuia;
- *organizarea funcțională*, constituită mai ales din relațiile temporale care se constituie între părțile sistemului.

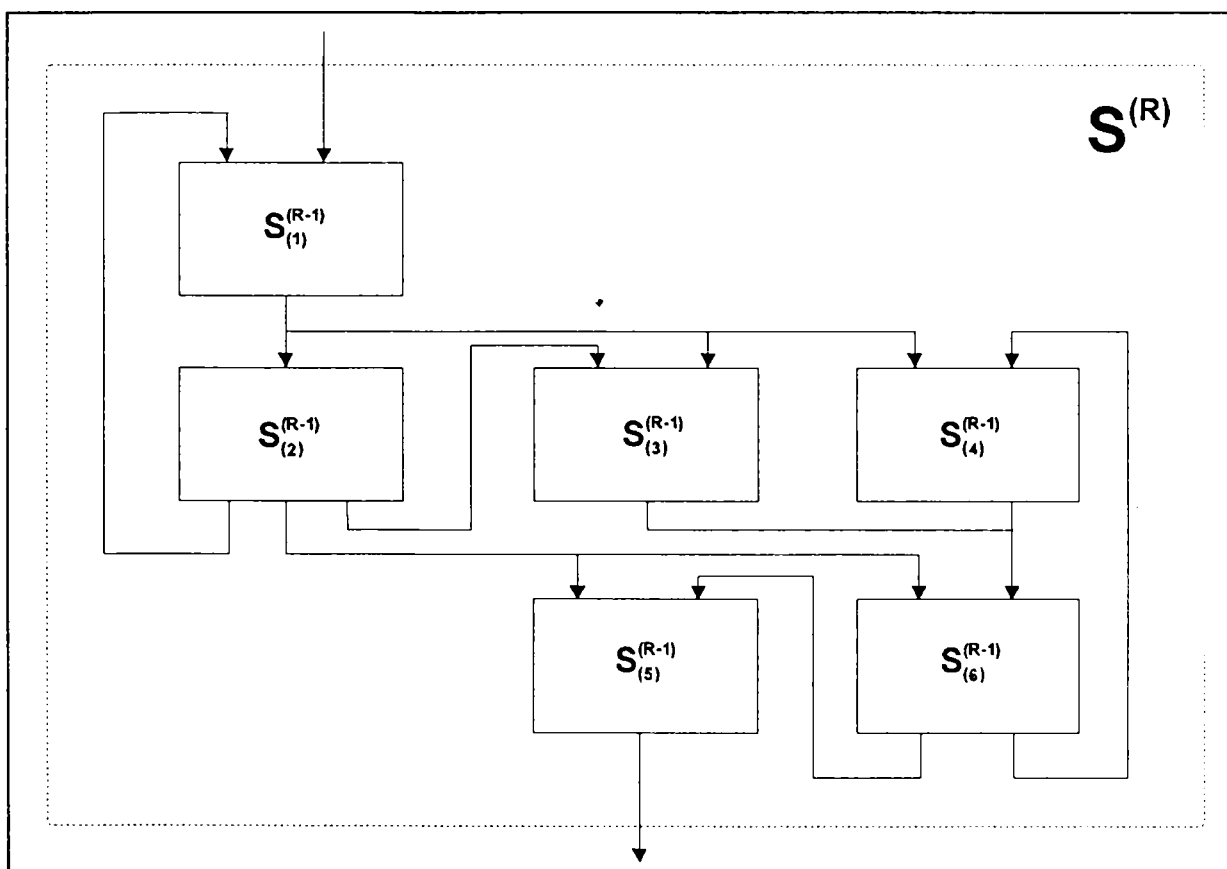


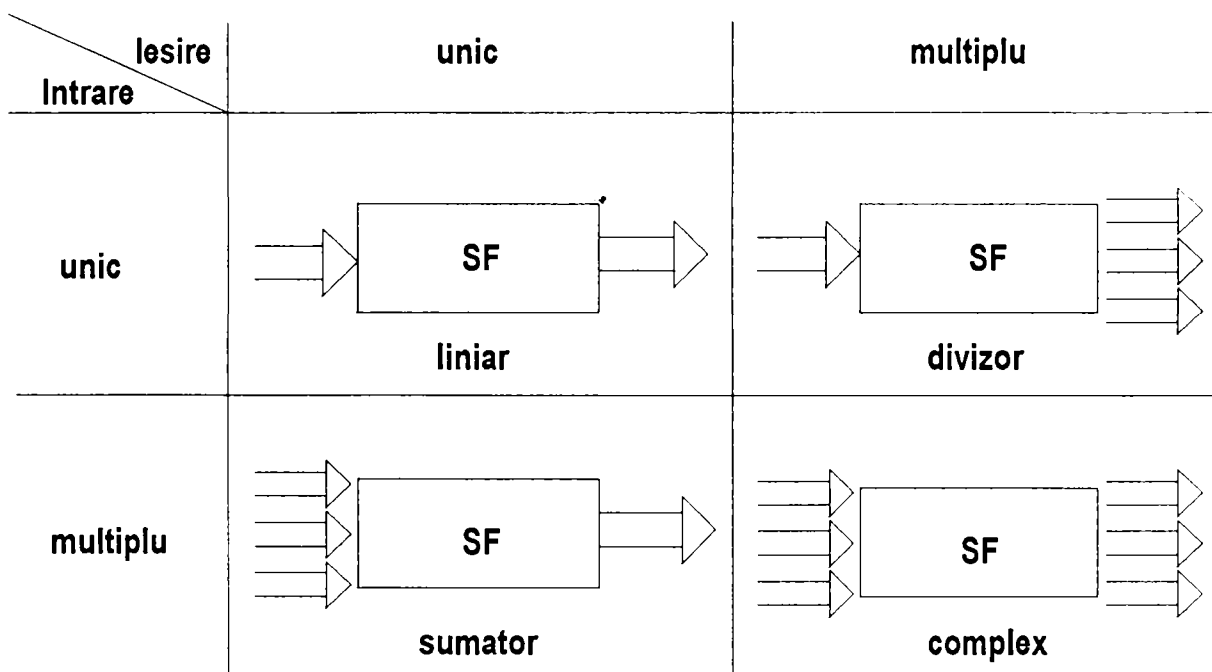
Figura 1.3-3

#### 1.4. Sisteme de fabricație

În literatura de specialitate se duce încă o polemică susținută în jurul semnificației termenilor de “sistem de producție” și “sistem de fabricație”. Conform definiției din [Ropohl, G., 1971, pag. 125], un *sistem de fabricație* este “O mulțime de elemente tehnice și în același timp o mulțime de relații care se stabilesc între aceste elemente, care împreună determină obținerea unui produs finit, respectiv a unei familii de produse finite înrudite între ele”. Spre deosebire de acesta, un *sistem de producție* poate fi considerat “orice sistem la a cărui ieșire se obține un produs, fie el finit sau semifabricat, iar în interiorul sistemului se găsesc diverse subsisteme de prelucrare sau de asamblare”. Definită în acest mod, noțiunea de “sistem de producție” este mai cuprinzătoare decât cea de “sistem de fabricație”.

Pentru a putea descrie din punct de vedere calitativ funcția unui sistem, trebuie să determinăm intrările și ieșirile cele mai importante ale acestuia. Din acest punct de vedere, “un sistem este un mijloc, un procedeu sau o schemă care se desfășoară în timp în conformitate

cu un anumit scop” [Ropohl, G., 1971]. Funcția sau rolul acestui sistem, este de a modifica într-un proces cronologic intrările sale sub formă de informație, energie sau materie și de a furniza la ieșire același tip de elemente. Ținând cont că atât informația vehiculată într-un sistem cât și energia și materia au parametri cantitativi care se modifică în timp, se poate vorbi de fluxuri de materie, energie sau informație. Deci, funcția unui sistem este de a controla fluxurile de energie, informație și materie care se stabilesc la intrarea și la ieșirea acestuia.



**Figura 1.4-1**

*Fluxul de materiale* constituie atât un element de intrare cât și un element de ieșire al unui sistem de fabricație. Aceste fluxuri pot fi singulare sau multiple, rezultând de aici diversele tipuri de combinații, după cum se poate observa în Figura 1.4-1. Fiecare flux de intrare și ieșire este caracterizat prin tipul de material, starea acestuia și de rata sau indicele de consum, care reprezintă variația în timp a cantității de material de un anumit tip.

Din punct de vedere al fluxurilor de materiale, sunt valabile următoarele două principii [Ropohl, G., 1971]:

- principiul *continuității calitative*, care afirmă că proprietățile fizice și chimice ale materialelor vehiculate în sistem rămân neschimbate;
- principiul *continuității cantitative*, care afirmă că volumul total al materialelor intrate în sistem trebuie să egaleze volumul total de materiale ieșite din sistem într-un anumit interval de timp, care nu întotdeauna admite o minimalizare infinită.

Conform acestor afirmații sistemul ar trebui să conserve materia sub toate aspectele ei, ceea ce poate fi adevărat doar la sistemele simple de prelucrare prin așchiere sau la sistemele de

montaj. Dacă ne referim însă la procese cu transformări chimice sau fizico-chimice, atunci cele două principii trebuie formulate în concordanță cu principiile generale de conservare a materiei.

Se presupune că dacă se face referire la sisteme de fabricație prin prelucrări mecanice sau la sisteme de montaj și se notează cu “ $\Delta V_i$ ” volumul total de material de la intrare și cu “ $\Delta V_e$ ” cel de la ieșirea din sistem, ambele raportate la un interval de timp “ $\Delta t$ ”, atunci principiul continuității cantitative poate fi exprimat analitic astfel:

$$\frac{\Delta V_e}{\Delta t} = \frac{\Delta V_i}{\Delta t}$$

( 1.4-1 )

Printre elementele de intrare sau de ieșire mai deosebite, în cazul sistemelor de fabricație, trebuie luate în considerare și *materialele auxiliare*, cum ar fi lichidele de răcire pentru scule și semifabricat, sau lubrifianții utilizați în sistem. Ca materiale de ieșire trebuie considerate inclusiv reziduurile sub formă de șpan sau rebuturile prognozate ale sistemului. Sculele așchietoare sunt considerate ca elemente de structură ale sistemului, din acest motiv schimbarea lor nu este considerată un aport material în sistem, ci o modificare a structurii acestuia.

*Fluxul de energie* este indispensabil oricărui sistem de producție în care au loc transformări materiale sau informaționale. De regulă în sistemele de fabricație forma primară de energie folosită este energia electrică. În cazul în care unele subsisteme folosesc alte forme de energie, aceasta este preparată local cu ajutorul unor instalații adecvate, ele însele fiind părți componente ale sistemului general și funcționând tot pe bază de energie electrică.

*Fluxul de informații* care se constituie în interiorul unui sistem de fabricație se supune teoriei matematice generale dezvoltate de Hartley și ulterior de Shannon, Weaver și Wiener. Informația circulă întotdeauna între un emițător și un receptor, pe baza unei scheme reprezentată în Figura 1.4-2. Informația are sens și poate fi apreciată ca atare din punct de vedere semantic numai dacă intersecția dintre semnalul emis și cel receptat diferă de mulțimea vidă.

Pentru a putea aprecia aspectele cantitative și calitative ale circulației informației într-un sistem flexibil, va trebui să pornim de la definiția noțiunii de *informație* și să luăm de asemenea în considerare câteva aspecte intrinseci ale gradului de nedeterminare al unui eveniment ca rezultat al unui experiment. [Skach, C., 1985, pag. 3 și urm.]

Informația se consideră a fi semnificația atribuită unui șir de date prin intermediul convențiilor utilizate pentru a le reprezenta. Datele sunt transferate cu ajutorul unor semnale, care sunt mărimi fizice cu o evoluție dependentă de timp.

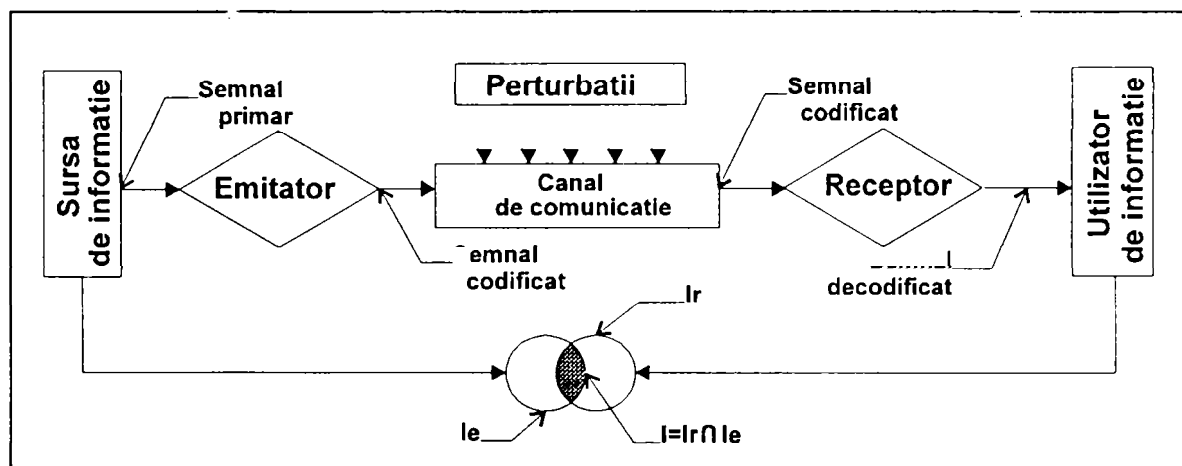


Figura 1.4-2

Informația este strâns legată de desfășurarea evenimentelor, prin următoarele aspecte semantice:

- informația trebuie să aibă întotdeauna *un anumit sens*, să înlăture o anumită nedeterminare;
- în cazul unor informații diferite, cu conținut comparabil de sensuri, informația care *înlătură numărul cel mai mare de nedeterminări* are importanța cea mai mare;
- informația poate fi interpretată numai dacă este *materializată* printr-un anumit fenomen sau proces fizic, lucru ce se realizează prin semnale;
- informația are sens numai dacă există o *relație de comunicație* între sursă și receptor.

Pentru transmiterea informației, o sursă utilizează în general un anumit *limbaj*, format dintr-o *reuniune de semne și reguli semantice*. În sensul dat de Shannon [Shannon, G., E., 1948], *cantitatea de informație* a unui șir de “k” caractere din cele “n” caractere folosite pentru comunicare, fiecare având probabilitatea de apariție “ $p_i$ ” este:

$$I = -C \sum_{i=1}^k p_i \log_a p_i \quad (1.4-2)$$

*Unitatea de măsură* utilizată pentru cantitatea de informație este legată de baza “a” a logaritmului. Dacă se consideră  $a=2$  și  $C=1$  se obține “Bit”-ul, deci se va putea scrie:

$$I = -\sum_{i=1}^k p_i \log_2 p_i \quad [\text{Bit}] \quad (1.4-3)$$



Cantitatea maximă de informație “ $I_{\max}$ ” se va obține atunci când sunt folosite toate cele  $n$  caractere sau semne și acestea au probabilități egale de apariție, deci sunt *echiprobabile*. În acest caz se va putea scrie:

$$I_{\max} = \log_2 n \text{ [Bit]} \quad (1.4-4)$$

De asemenea se poate defini *cantitatea de decizie* “ $H_o$ ” de care este nevoie pentru a selecta un caracter dintr-un set de  $n$  caractere distincte și echiprobabile, egală cu cantitatea de informație pe care o oferă un element selectat:

$$H_o = \log_2 n \text{ [Bit]} \quad (1.4-5)$$

Pentru a aprecia calitativ informația oferită de un anumit eveniment, în sensul apropierii ei de cantitatea maximă de informație posibilă într-un caz dat, se determină *redundanța* “ $R$ ” a evenimentului respectiv cu relația:

$$R = \frac{I_{\max} - I}{I_{\max}} \quad (1.4-6)$$

Spre exemplificare se presupune că sursa de informație folosește pentru comunicare “cuvinte” de lungime fixă, formate de exemplu dintr-un număr “ $k$ ” de caractere echiprobabile. În aceste condiții se vor putea obține cu cele “ $n$ ” elemente ale setului de caractere (alfabet) grupate câte “ $k$ ”, un număr de “ $n^k$ ” combinații distincte, ceea ce înseamnă că pentru selectarea unui element al acestei mulțimi de cuvinte va fi necesară cantitatea de decizie:

$$I_{C_{\max}} = \log_2 n^k = k \log_2 n = k I_{\max} \quad (1.4-7)$$

Se va putea defini și în acest caz o redundanță a selecției unui cuvânt, care va avea valoarea:

$$R_c = \frac{I_{C_{\max}} - I_c}{I_{C_{\max}}} \quad (1.4-8)$$

Pentru a evidenția importanța practică pe care o are această teorie, se presupune că într-o magazie sunt 8 locașuri de depozitare, (vezi Figura 1.4-3), care pot fi pline sau goale. Numărul combinațiilor posibile va fi deci  $2^8$  și cantitatea de decizie necesară pentru a selecta un anumit element va fi:

$$H_0 = \log_2 2^8 = 8 \text{ [Bit]}$$

( 1.4-9 )

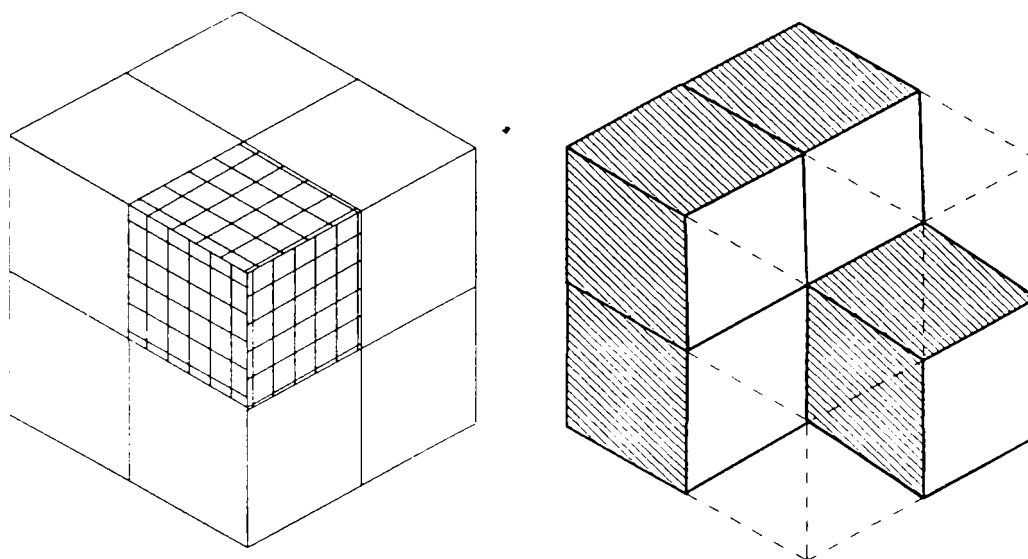


Figura 1.4-3

Dacă toate locașele sunt pline sau goale, atunci alegerea unui element presupune o cantitate nulă de informație sau de decizie, pentru că numărul cazurilor posibile este 1, orice alegere fiind considerată un eveniment. Dacă în schimb un număr de 3 locașuri sunt fără material, deci sunt goale, atunci cantitatea de informație pe care o conține selecția unui anumit element va fi (conform ecuației ( 1.4-7 )):

$$H = -8(5/8 \log_2 5/8 + 3/8 \log_2 3/8) = 7.64 \text{ [Bit]}$$

( 1.4-10 )

În relația de mai sus fracțiile  $3/8$  și  $5/8$  reprezintă probabilitățile de alegere a unui locaș gol, respectiv plin.

Dacă se presupune acum că se prelucurează o piesă cubică așa cum este cea din Figura 1.4-3, atunci se poate observa că la intrarea în sistemul de fabricație piesa neprelucrată avea un conținut informațional nul iar după prelucrare, care a constat în îndepărtarea celor trei cuburi, piesa are un conținut informațional de 7.64 [Bit].

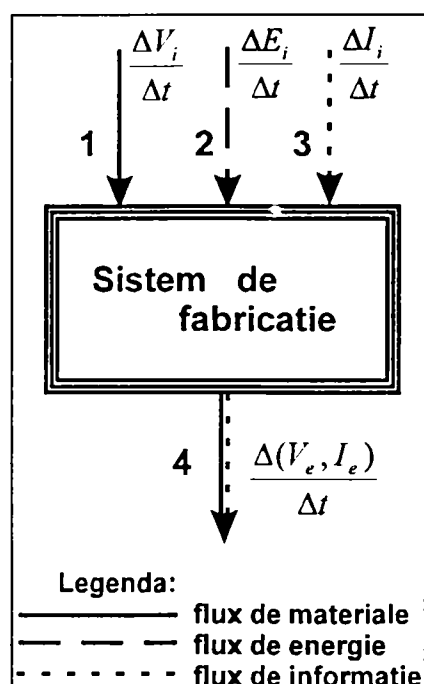


Figura 1.4-4

În concluzie, la ieșirea unui sistem de fabricație nu se obține doar un obiect material oarecare, ci un obiect purtător de informație. Cele două fluxuri, material și informațional, sunt suprapuse, constituind astfel un singur flux. Pornind de la aceste observații, cu notațiile din Figura 1.4-4, funcția unui sistem de fabricație se poate scrie astfel:

$$\frac{\Delta(V_e, I_e)}{\Delta t} = T \left( \frac{\Delta V_i}{\Delta t}, \frac{\Delta E_i}{\Delta t}, \frac{\Delta I_i}{\Delta t} \right) \quad (1.4-11)$$

În situațiile cele mai simple, un sistem poate îndeplini o singură funcție, deci transformă în mod unic fluxurile de intrare într-un singur flux de ieșire, cu caracter mixt, material și

informațional, așa cum s-a arătat mai sus. Acestea sunt *sistemele rigide, neflexibile*. Dacă însă sistemul poate îndeplini mai multe funcțiuni, astfel încât să se poată obține din mai multe fluxuri de intrare mai multe fluxuri de ieșire, atunci se spune că sistemul este *flexibil*. Aceasta este situația cea mai avantajoasă pentru un sistem de fabricație, deoarece oferă cele mai largi posibilități de utilizare a capacității de producție a mașinilor unelte și a celorlalte dispozitive și mașini de lucru din cadrul sistemului. Evident că această afirmație rămâne să fie dovedită la nivel teoretic. La nivel practic ea a fost pe deplin verificată de performanțele pe care le obțin sistemele flexibile de fabricație în peisajul industrial contemporan, unde ideea de *adaptabilitate maximă la cerințele pieței* este unul din criteriile de performanță de prim ordin.

Conform celor prezentate în subcapitolele precedente, se poate afirma că un *sistem de fabricație* este mulțimea unor subsisteme orientate spre producția unor elemente materiale, împreună cu relațiile care se stabilesc între ele pentru realizarea scopului propus. Componentele (subsistemele) esențiale ale unui sistem de fabricație precum și relațiile care se stabilesc între ele, în conformitate cu Figura 1.4-5, sunt:

- *subsistemul de lucru 1*, care are la intrare, în mod necesar, fluxuri de materiale, energie și informație, iar la ieșire un flux combinat, material și informațional;
- *subsistemul de acționare 2*, care are la intrare fluxul de energie și fluxul de informație, iar la ieșire fluxuri de energie eventual de diverse tipuri, pentru ceilalți consumatori din sistem;

- *subsistemul de manevră 3*, la intrarea căruia se găsesc fluxuri de energie și de informație, iar la ieșire fluxuri de informație pentru subsistemul de lucru și fluxuri de informație de control a poziției momentane a componentelor pentru subsistemul general de conducere;
- *subsistemul de conducere 4*, prevăzut la intrare cu fluxuri energetice și informaționale de la toate subsistemele componente ale sistemului dat, iar la ieșire cu fluxuri informatice pentru subsistemele de acționare, mișcare și manipulare;
- *subsistemul de manipulare 5*, care are la intrare fluxuri de toate genurile, materiale brute sau prelucrate, energie și informație, iar la ieșire doar fluxuri materiale, cu și fără conținut informațional;
- *subsistemul de măsurare și control 6*, la intrarea căruia se găsește un flux de material prelucrat care provine de la subsistemul de lucru iar la ieșire tot un flux de material prelucrat și un flux informațional care este destinat sistemului de conducere.

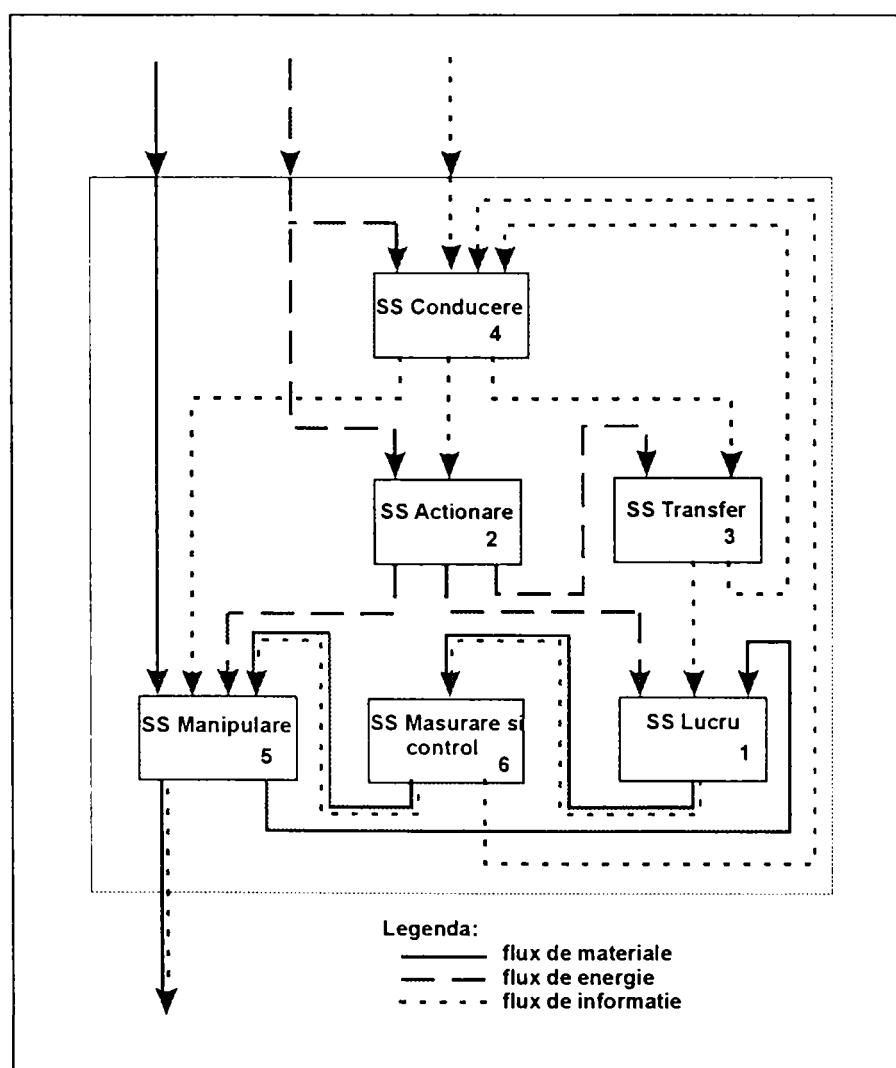


Figura 1.4-5

Matricea de structură a sistemului, care conține toate matricile de legătură (sau de cuplare) dintre părți, poate fi scrisă în felul următor:

$$S = \begin{bmatrix} 0 & 0 & 0 & 0 & 0 & K_{16} \\ K_{12} & 0 & K_{23} & 0 & K_{25} & 0 \\ K_{31} & 0 & 0 & K_{34} & 0 & 0 \\ 0 & K_{42} & K_{43} & 0 & K_{45} & 0 \\ K_{51} & 0 & 0 & 0 & 0 & 0 \\ 0 & 0 & 0 & K_{64} & K_{65} & 0 \end{bmatrix}$$

(1.4-12)

Structura sistemului prezentat în Figura 1.4-5 trebuie considerată o structură minimală, orientată spre realizarea unei anumite sarcini de producție și anume obținerea unui produs finit pornind de la materia primă. Acest lucru se poate realiza uneori pe o singură mașină, dar de obicei este rezultatul cumulat al mai multor mijloace de producție, fiecare executând o anumită fracțiune din sarcina globală de producție. *Sarcinile de producție parțiale au același rang logic ca și cea globală*, deoarece nerealizarea unei sarcini parțiale atrage după sine compromiterea întregului program. Fiecare din mijloacele de producție participante modifică fluxul de materiale din sistem sub aspectul formei, folosind un flux de energie. Pentru fiecare sarcină de producție poate fi considerat un sistem cu o structură identică cu a sistemului global. Un asemenea sistem, orientat spre realizarea unei sarcini de producție parțiale și care are o structură identică cu sistemul global, poartă denumirea de “*cosistem*”.

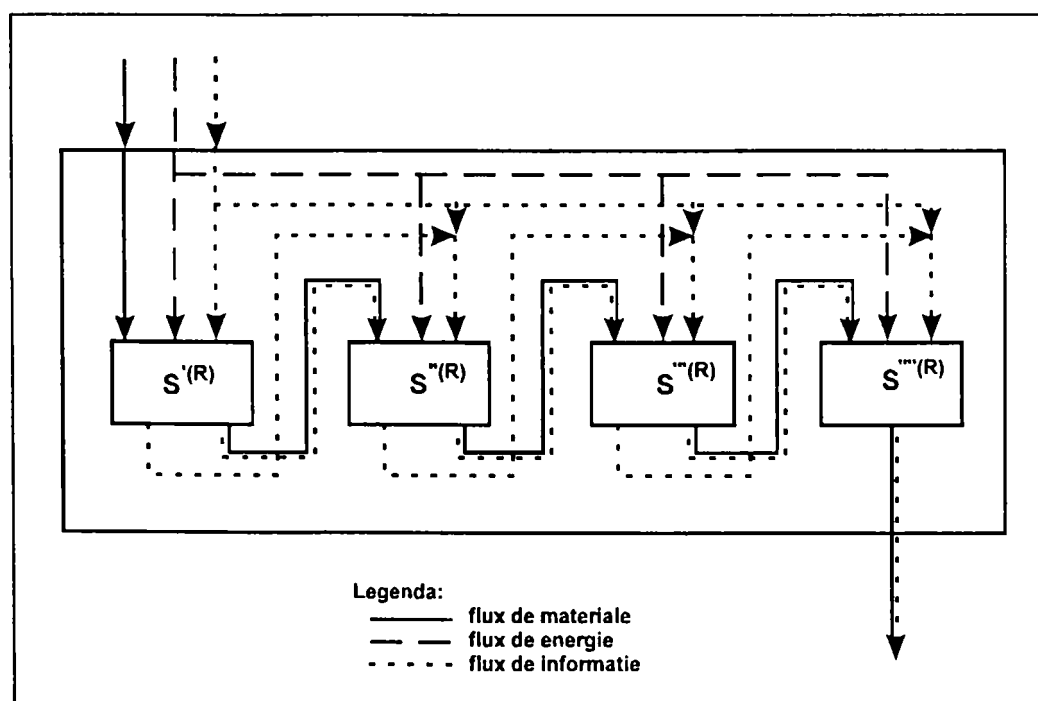


Figura 1.4-6

In Figura 1.4-6 este reprezentat un sistem format dintr-o *succesiune de cosisteme*, care au structură identică și sunt alimentate central cu fluxuri de energie și informație. In ce privește fluxul de materiale, acesta se constituie prin înseriere, în sensul că fluxul de ieșire de natură material-informațională al unui cosistem, este considerat flux de intrare de aceeași natură pentru cosistemul următor. Se observă astfel că informația se transferă și se modifică de la un cosistem la altul după o anumită logică, fapt care determină *necesitatea ca toate subsistemele de conducere ale cosistemelor să fie conectate la un subsistem de conducere central*.

### 1.5. Analiza fluxului de informație,

Din punct de vedere al fluxului de informație, se disting două aspecte importante care definesc caracterul acestuia:

- toate informațiile legate de modificările dimensionale și de formă ale materialului se constituie în *fluxul informațiilor de formă*;
- toate informațiile legate de tehnicile și procedeele de modificare a formei sau stării materialului constituie *fluxul informațiilor tehnologice*.

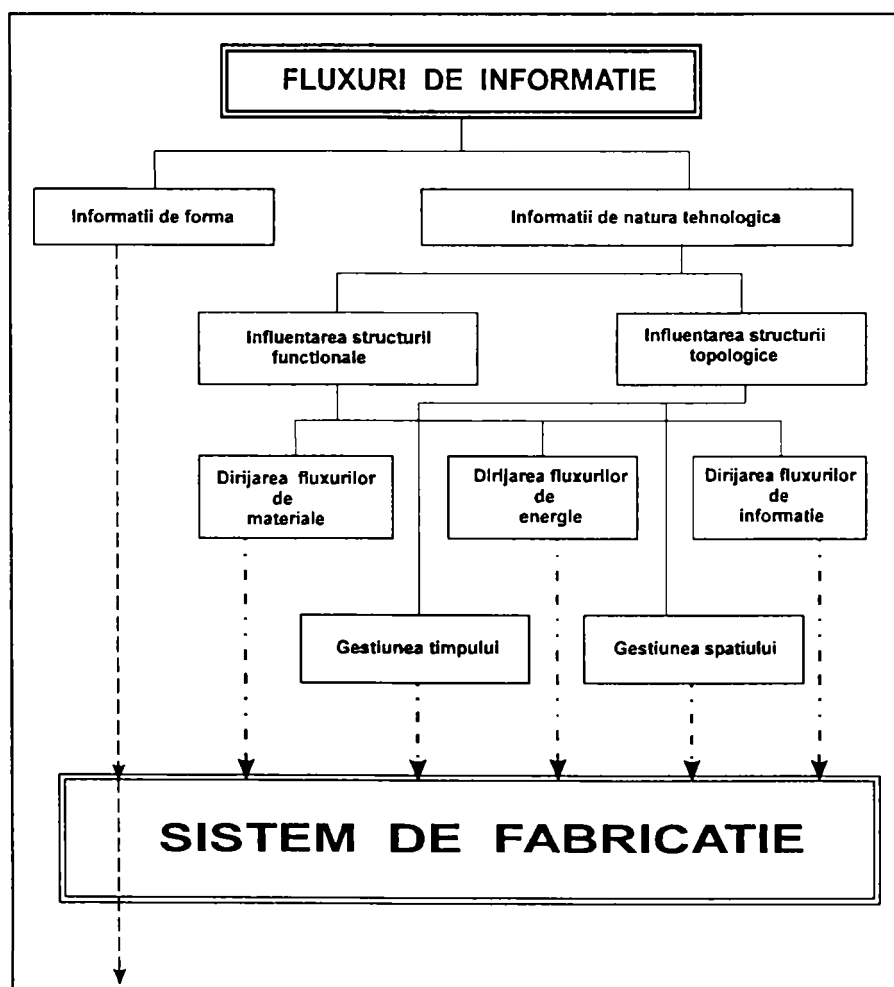


Figura 1.5-1

Așa după cum se poate observa în Figura 1.5-1, *informațiile de formă* se constituie într-un flux a cărui localizare este la nivelul sistemului de fabricație, unde se produce de altfel modificarea parametrilor acestuia.

*Fluxul informațiilor tehnologice* are două componente importante, care influențează pe de o parte structura funcțională a sistemului și pe de altă parte structura sa topologică:

- din punct de vedere al *structurii funcționale*, fluxul informațional este implicat în dirijarea fluxului de materiale, a fluxului de energie și în propria sa gestiune și dirijare, adică a fluxului de informație;
- cealaltă componentă, referitoare la *influența asupra topologiei sistemului*, cuprinde gestiunea desfășurării în timp a proceselor și conducerea ordonării spațiale.

Prima categorie de informații, cele de formă, se află stocate în materialul care circulă în sistem. Celelalte categorii care au fost menționate mai sus se află stocate codificat sau în clar pe diverși purtători de informație, cu acces aleator sau serial, în formă “read-write” sau “read-only”.

## 1.6. Programarea unui sistem de fabricație

În cadrul sintezei sistemelor de fabricație se pot distinge două categorii de acțiuni care au ca rezultat de ansamblu sistemul fizic, capabil să îndeplinească un anumit grup de sarcini de producție:

- *elaborarea structurii sistemului*, ca și componentă hard a sintezei;
- *elaborarea programului de conducere* ca și componentă soft.

În funcție de raportul care se stabilește între cele două laturi ale acțiunii de sinteză a sistemelor de fabricație flexibilă, se pot identifica mai multe procedee de programare, care vor fi prezentate în continuare.

În esență, *programarea unui sistem de fabricație flexibilă* poate fi definită ca fiind aspectul informațional al activității de sinteză, adică:

- formularea detaliată și precisă a unei probleme de rezolvat;
- stabilirea unui algoritm corespunzător ca regulă de rezolvare;
- stocarea algoritmului și a descrierii problemei;
- transmiterea informațiilor către sistem.

Toate aceste operații de programare descrise mai sus se pot regăsi într-o memorie externă sau într-un dispozitiv intern de stocare a informațiilor, care face parte din însăși

624.571/1815

structura sistemului. Activitatea de programare presupune un flux informațional care este reprezentat în Figura 1.6-1. Sistemul de programare utilizează mai multe categorii de informații, stocate pe suport intern sau extern sistemului. Aceste informații provin din bazele de date ale sistemelor CAD/CAM și se referă la forma și tehnologia de execuție a reperelor ce se prelucrează în sistem, sau provin de la subsistemele sistemului, caz în care au semnificația unor legături de reacție care să permită urmărirea funcționării în timp real a sistemului flexibil de fabricație.

Sarcinile de programare (de conducere) într-un sistem de fabricație se pot împărți în două mari categorii: sarcini de conducere la nivel local (la nivelul controlerelor locale din fiecare celulă sau nod al rețelei) și sarcini de conducere la nivel global (la nivelul calculatorului central care dirijează întreaga activitate din sistem).

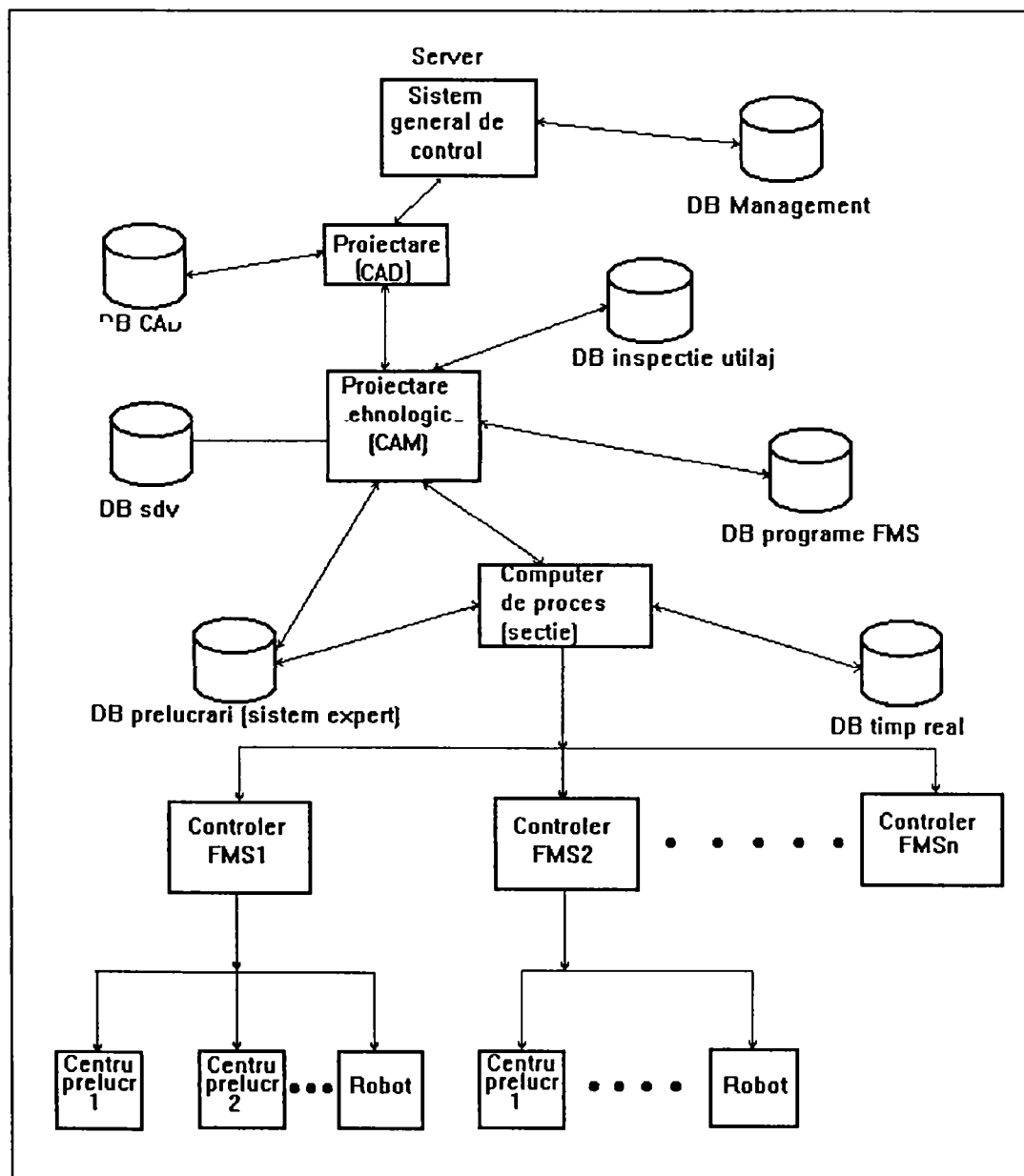


Figura 1.6-1



Programarea unui sistem de fabricație are drept finalitate elaborarea unui program de conducere care rulează într-un calculator de proces situat de obicei la nivelul secției de producție [Ranky, Dr. P., 1990, pag. 37 și urm.]. În Figura 1.6-1 se poate observa organizarea generală a unui sistem de prelucrare a datelor într-un sistem flexibil de fabricație, precum și locul pe care îl ocupă în acest ansamblu sistemul de conducere al celulei flexibile. În ierarhia presupusă de conducerea integrată a unei întreprinderi, sistemul de conducere al celulei flexibile trebuie să fie interconectat cu toate celelalte sisteme soft, inclusiv cu bazele de date statice sau dinamice cu care este prevăzută unitatea respectivă de producție.

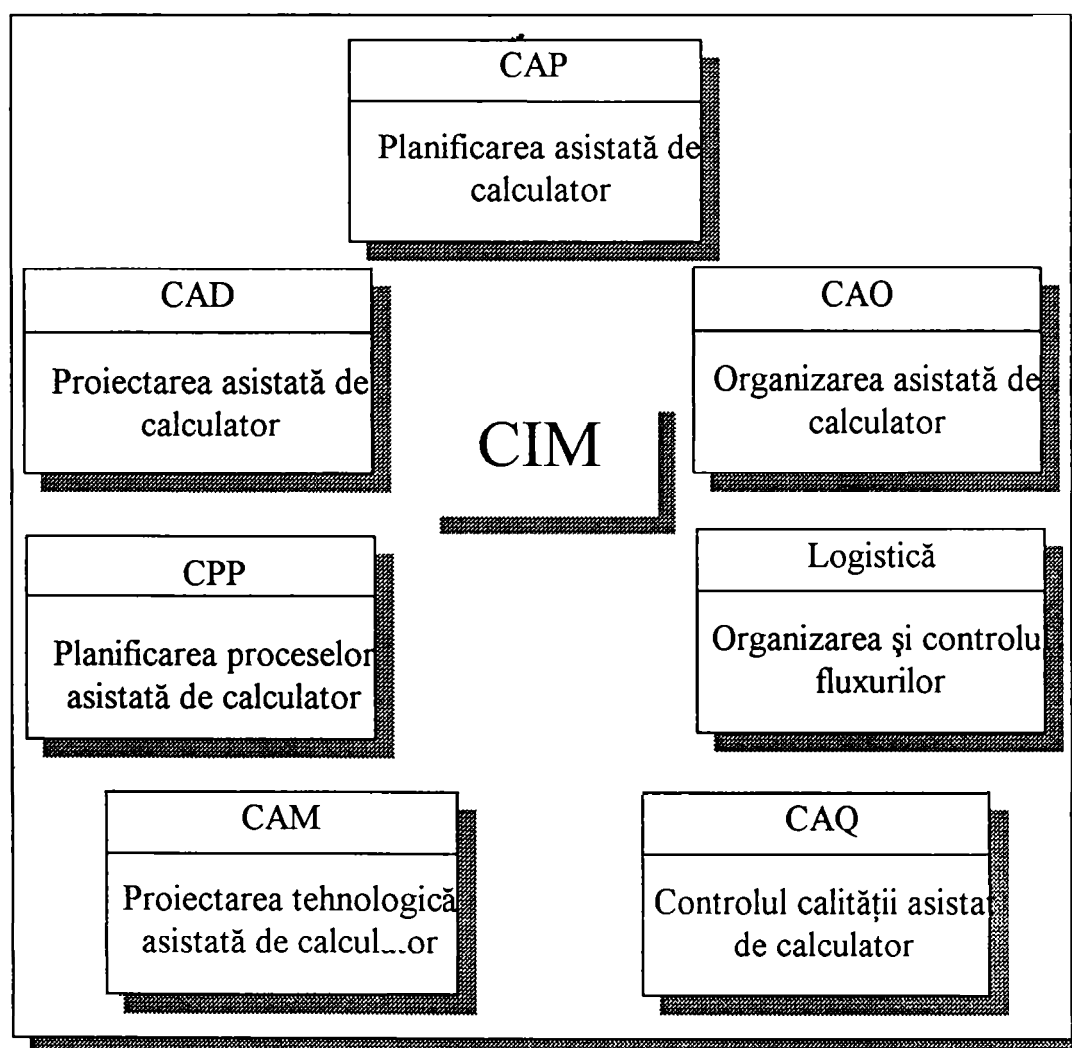


Figura 1.6-2

*Conducerea prin calculator* a procesului de fabricație într-un sistem flexibil trebuie să rezolve corect următorul inventar minimal de probleme:

- gestiunea timpului;
- selectarea programelor de fabricație pe repere;
- conducerea sistemului logistic;

- 
- sesizarea funcționării incorecte a sistemului;

Această modalitate de conducere a sistemelor flexibile a devenit posibilă datorită nivelului atins în dezvoltarea actuală a sistemelor de calcul, precum și datorită dezvoltării unor programe speciale care se ocupă de conducerea asistată de calculator a proceselor (CPP).

Pe linia utilizării computerelor în sistemele flexibile de fabricație, în speță a sistemelor CIM, în [VDI - Gemeinschaftsausschuß CIM, 1991, bild 2-2] este prezentată o schemă a componentelor unui astfel de sistem (vezi Figura 1.6-2).

Întreaga logistică utilizată în sisteme de fabricație este orientată spre reducerea timpilor tehnologici, a timpilor de pregătire și spre reducerea stocurilor.

## 1.7. Elemente de analiză a fluxurilor de materiale

Subsistemul de manipulare, așa cum a fost definit el în §1.4, este responsabil de mișcarea, stocarea, paletizarea sau controlul elementelor materiale din sistem cu rol de materie primă, semifabricate și subansamble, elemente de prindere și fixare, dispozitive diverse, scule și alte elemente similare. În principal, problemele cele mai complexe din punct de vedere al transferului unor obiecte din sistem apar în legătură cu mișcarea pieselor de lucru. Un sistem de conducere și control prin calculator a subsistemului de manipulare urmărește ca materialul de un anumit tip să fie adus la momentul potrivit și în locul potrivit, în conformitate cu cerințele impuse de planul de producție al celulei sau al sistemului de fabricație. Iată câteva dintre *principiile de organizare ale unui sistem de manipulare a materialelor*, așa cum rezultă ele din [Viswanadham, N., Narahari, Y., 1992, § 2.5 și urm.]:

- cel mai bun sistem de manipulare a materialelor este cel care nu manipulează nimic;
- reducerea distanțelor de transfer prin gruparea utilajelor în arii cât mai reduse sau de-a lungul unor rute de transfer cât mai simple;
- obținerea unui timp de răspuns cât mai scurt, prin utilizarea unor rețele de transfer formate din utilaje rapide, de dimensiuni reduse și echipate cu dispozitive de control inteligente;
- ordonanțarea efectivă a sarcinilor de transfer prin urmărirea stării momentane a tuturor utilajelor și pieselor din sistem.

*Clasificarea sistemelor de transfer* poate fi urmărită în Figura 1.7-1.

---

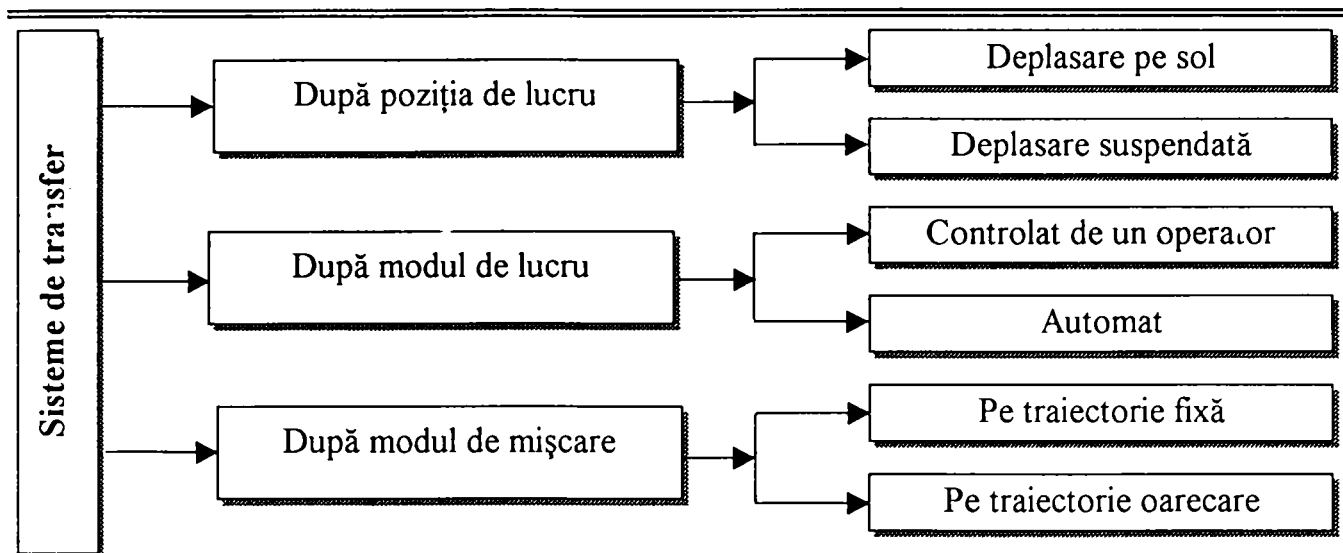


Figura 1.7-1

Sistemele de transfer industrial sunt de o foarte mare diversitate constructivă. Ele sunt constituite dintr-o rețea de conveioare, vehicule ghidate automat (AGV), roboți industriali și alte echipamente similare. Unele dintre ele, cum ar fi liniile transfer sau liniile carusel au *funcționare sincronă*, în sensul că toate materialele din sistem care se mișcă între diverse noduri ale rețelei de fabricație se deplasează simultan. Altele, de exemplu sistemele AGV, au *funcționare asincronă*.

Una din cerințele de maximă importanță ridicate în fața sistemelor de transfer a materialelor este *flexibilitatea*. Această cerință provine din nevoia de a acoperi trasee de deplasare foarte diverse, de lungimi și configurații diferite, iar tipurile de materiale care trebuie transferate să poată fi și ele diferite.

*Conveioarele* sunt dispozitive de transfer de flexibilitate redusă, atât sub aspectul rutei cât și al tipurilor de piese transferate. Din punct de vedere constructiv se pot întâlni *conveioare cu o singură direcție de deplasare*, de tipul celui din Figura 1.7-2, respectiv *conveioare cu recirculare în buclă*, așa cum se poate vedea în Figura 1.7-3.

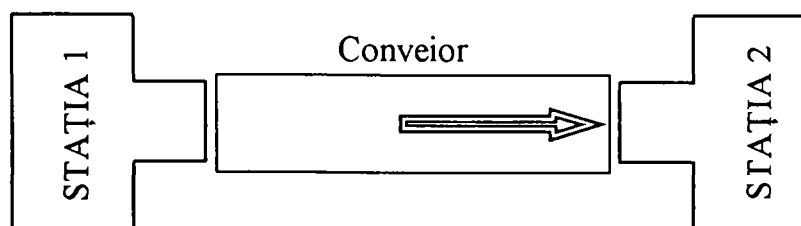


Figura 1.7-2

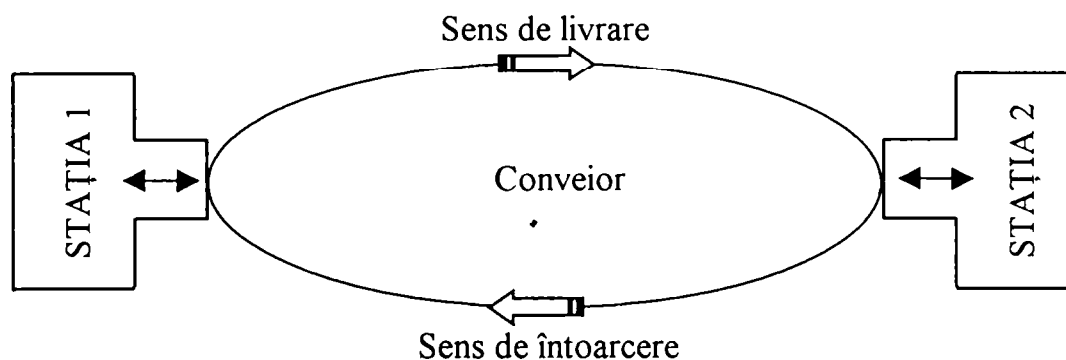
În legătură cu funcționarea unui conveior se folosește noțiunea de rată de alimentare "f", definită cu relația:

$$f = \frac{v}{d} [\text{buc/min}]$$

(1.7-1)

unde:  $v$  [m/min] - viteza de deplasare a conveiorului;

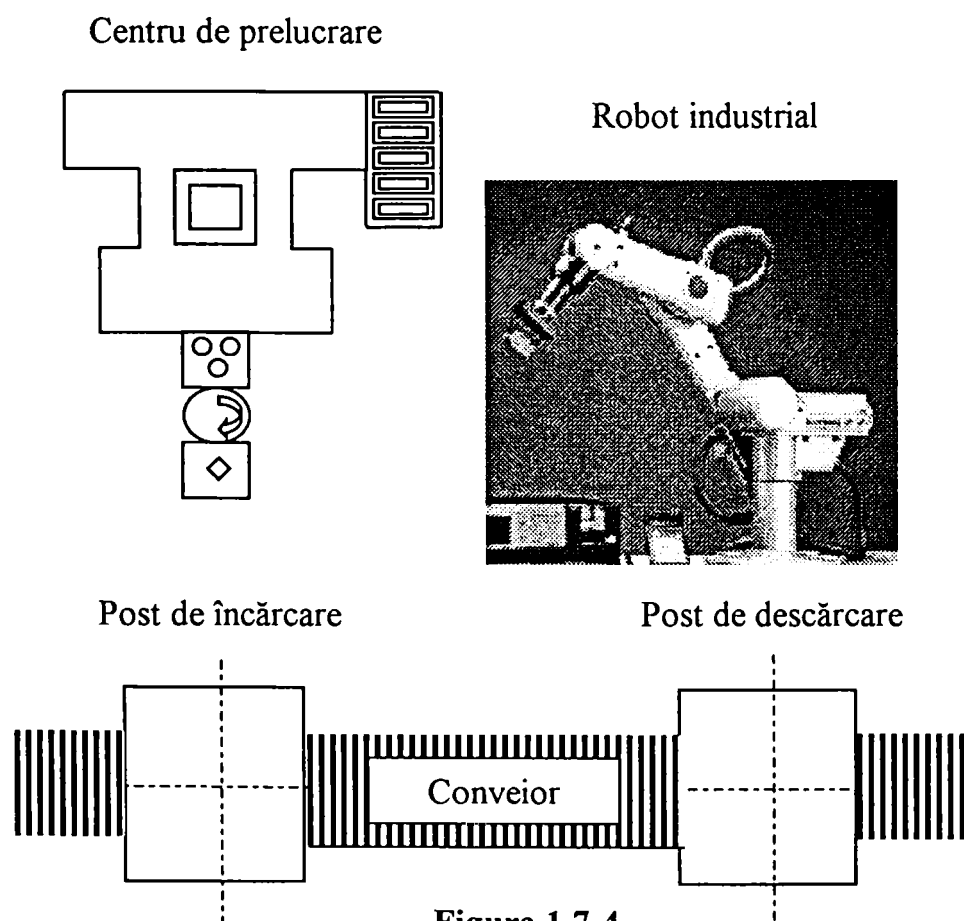
$d$  [m] - distanța dintre două piese consecutive pe conveior.



**Figura 1.7-3**

*Roboții industriali* folosiți ca dispozitive de transfer sau manipulare se caracterizează printr-o mare flexibilitate din punct de vedere al tipurilor de piese transferate/manipulate, dar sunt mai puțin flexibili în ce privește traiectoria. De obicei roboții sunt folosiți la servirea unui grup de mașini sau de echipamente, așa cum se poate observa din

Figura 1.7-4.



**Figura 1.7-4**

Utilizarea roboților pentru deplasarea materialelor presupune unele *măsuri de protecție*, cum ar fi verificarea identității piesei înainte începerii procesului de prelucrare sau verificarea prezenței piesei la locul de încărcare/descărcare înainte lansării comenzilor către robot. Mișcările de materiale din sistem sunt consumatoare de timp și au influență asupra duratei ciclului de fabricație. Pentru exemplul din Figura 1.7-4 se presupune că timpul principal de așchiere pentru centrul de prelucrare este de 24 secunde și că timpul de întrerupere accidentală este de 10% din timpul total, adică 0,8 ore dintr-un schimb. În aceste condiții, dacă mișcările de materiale desfășurate cu robotul sunt cele din Tabelul 1.7-1, durata unui ciclu de lucru va fi de 12s, iar productivitatea sistemului va fi:

$$P = 7,2 \text{ ore} \times 3600 \text{ sec/oră} / (12 + 34) \text{ sec/piesă} = 720 \text{ piese/schimb}$$

Tabelul 1.7-1

Operația	Durata totală 36s din care:
Preluarea unei piese de pe conveior (inclusiv timpul de așteptare pentru instalarea piesei în poziția de preluare)	2,6s
Deplasare cu robotul de la conveiorul de intrare până la mașină	1,7s
Încărcarea piesei pe mașină și îndepărtarea brațului pentru a permite începerea lucrului	1,1s
Descărcare piese de pe mașină	0,8s
Deplasare cu robotul de la mașină la conveiorul de ieșire	1,7s
Depozitarea piesei pe conveiorul de ieșire	0,3s
Deplasarea de la conveiorul de ieșire la cel de intrare	3,8s

*Vehiculele ghidate automat (AGV)* joacă un rol deosebit de important în organizarea fluxurilor de materiale dintr-un sistem de fabricație atunci când este vorba despre transferul materialelor pe orizontală. Spre deosebire de alte dispozitive și sisteme de transfer, AGV-urile își pot alege singure traiectoria de deplasare pe baza unor criterii de optimizare sau își pot modifica dinamic această traiectorie pe baza unor informații legate de congestionarea traficului în diverse zone ale sistemului.

În funcție de sarcinile de transfer pe care le au în sistem, AGV-urile pot fi de mai multe tipuri:

- vehicule de remorcare;

- 
- vehicule de transfer pentru piese unitare;
  - vehicule de transfer pe linii de asamblare sincronă sau asincronă;
  - vehicule purtătoare de brațe mecanice sau manipolatoare;
  - vehicule ce deservește sistemele flexibile;
  - vehicule autonome, echipate cu controlere inteligente și vedere artificială.

Indiferent de tipul lor, vehiculele de transfer în sisteme de fabricație pun problema comună a *modului de conducere și de control a poziției* lor în sistem. Principalele tehnici de acest tip cunoscute până în prezent sunt următoarele:

- *ghidarea cu ajutorul câmpului electromagnetic* generat de un fir îngropat în pardoseală, are avantajul simplității și dezavantajul rigidității traiectoriei. Este sistemul de ghidare folosit destul de frecvent;
  - *ghidarea pe baza controlului mișcării de rotație a roților* de pe cele două părți ale vehiculului, care poate da măsura razei de viraj a acestuia. Se folosește de regulă în conjuncție cu ghidarea cu fir îngropat;
  - *ghidarea optică* folosește de obicei marcaje din folii adezive vizibile pentru un sistem de senzori optici care operează în spectru vizibil sau UV. Este un sistem destul de flexibil, dar este sensibil la deteriorarea marcajelor;
  - *ghidarea pe bază de imagini digitale* este un procedeu modern, bazat pe imaginea preluată cu camere video mobile sau fixe și interpretată cu un sistem de prelucrare la nivel de pixeli care poate furniza în final semnale de comandă pentru controlerul vehiculului;
  - *sistemele de ghidare inerțiale (sisteme giroscopice)* se bazează pe modificările apărute la nivelul parametrilor mișcării (accelerații), sesizate de un giroscop, atunci când apar modificări ale traiectoriei cu efecte inerțiale (accelerări sau frânări, mișcarea pe traiectorii circulare, etc.);
  - *ghidarea prin metoda triangulației* oferă posibilitatea mișcării în medii cu componentă variabilă și sunt insensibile la perturbațiile mecanice sau luminoase uzuale. Metoda se bazează pe utilizarea unor surse de radiații, de obicei în infraroșu, amplasate pe periferie și vizualizate de pe robocar. Este încă dificil de stăpânit multitudinea de date care trebuiesc prelucrate în timp real pentru o bună orientare și ghidare a vehiculului;
  - *folosirea ultrasunetelor și a razelor laser* face de asemenea posibilă orientarea în medii variabile. Este nevoie de elemente de inteligență artificială pentru recunoașterea obiectelor înconjurătoare, precum și de capacități mari de prelucrare de date on-line.
-

---

---

*Ordonanțarea mișcărilor* unui vehicul de tip AGV se poate face în două moduri distincte:

- prin *alegerea unui vehicul din cele disponibile* pentru a prelua o sarcină de transfer;
- prin *atribuirea unor indici de prioritate* tuturor componentelor sistemului care pot emite cereri de transfer.

În continuare se vor prezenta câteva metode de ordonanțare a mișcărilor aplicabile în ambele situații prezentate anterior, mai întâi pentru cazul când *sistemul cuprinde mai multe vehicule și cererea de transfer este unică*:

- metoda *selecției aleatoare* a unui vehicul din cele disponibile în sistem în momentul apariției cererii de transfer, indiferent de poziția acestuia față de unitatea care formulează cererea;
- *regula vehiculului cel mai apropiat* determină alegerea vehiculului care se află cel mai aproape de unitatea care emite cererea de transfer, apropiere apreciată prin distanța minimă de parcurs sau prin timpul minim necesar deplasării vehiculului până la unitatea solicitantă;
- *regula vehiculului cu cea mai lungă așteptare* determină alegerea celui vehicul care staționează de cel mai mult timp;
- *regula vehiculului celui mai puțin încărcat* recomandă alegerea vehiculului care a efectuat cele mai puține misiuni de transfer până în momentul apariției cererii.

Aprecierea încărcării se poate face prin numărul de sarcini de transfer îndeplinite sau prin timpul de deplasare cu sarcină raportat la timpul total scurs în sistem.

În momentul în care *în sistem apar mai multe cereri de transfer simultan*, se pune problema de a găsi un algoritm pe baza căruia să fie alocată o cerere de transfer la un anumit vehicul din grup. Această operație se poate desfășura în conformitate cu diverși algoritmi:

- *selecția aleatoare* a unei sarcini de transfer, fără să se țină seama de nici un criteriu, este soluția banală a problemei, aplicabilă la sistemele cele mai simple;
  - *alegerea cererii de transfer de la unitatea cea mai apropiată* are avantajul parcurgerii unor distanțe minime fără sarcină, dar pe de altă parte poate conduce la blocarea mașinilor mai îndepărtate, care nu vor fi deservite niciodată și care au nevoie din acest motiv de depozite intermediare foarte încăpătoare;
  - *alegerea unității celei mai îndepărtate* este opusă celei anterioare;
- 
-

- 
- 
- algoritmul bazat pe *cea mai mare coadă de așteptare* va alege pentru deservire dintr-o multitudine de cereri pe cea pentru care numărul de piese în așteptare este maxim;
  - algoritmul bazat pe *timpul petrecut de diverse repere în sistem* va alege pentru a fi deservită acea sarcină de transfer care provine de la piesa cu cel mai lung timp petrecut în sistem, favorizând astfel scurtarea timpilor de fabricație ai reperelor;
  - în contradicție cu algoritmul de mai sus se află algoritmul bazat pe *cel mai scurt timp petrecut în sistem*;
  - algoritmul bazat pe *timpul de prelucrare cel mai scurt rămas până la terminarea prelucrării* favorizează de asemenea eliminarea din sistem a pieselor care sunt cel mai aproape de final.

Alegerea uneia din metodele de ordonanțare a sarcinilor de transfer se poate face analitic sau prin simulare, altfel fiind destul de dificil de apreciat efectul cumulat al diverselor variabile ale sistemului asupra indicilor de performanță. *Unul din obiectivele prezentei lucrări este de a studia efectul acestor strategii de ordonanțare a mișcărilor de transfer asupra indicilor de performanță tehnologică ai sistemului.*

## 1.8. Probleme speciale ale funcționării sistemelor flexibile de fabricație

Anumite particularități de construcție sau de funcționare ale unui sistem de fabricație pot determina un comportament aparte al acestuia. *Filozofia de funcționare a unui sistem constă în îndeplinirea sarcinilor de fabricație în mod continuu atât timp cât nu se modifică condițiile minimale necesare funcționării.* În esență aceste condiții se referă la existența și funcționalitatea fluxurilor sistemului. Acestea impun ca pentru fiecare sarcină din ciclul de producție să existe cel puțin o resursă disponibilă în sistem care să o poată prelua și duce la îndeplinire. În funcție de diversele situații care pot apare relativ la *integritatea fluxurilor*, se pot întâlni următoarele situații:

- *mai multe componente ale sistemului solicită simultan o anumită resursă din sistem, caz în care apare un conflict care va trebui arbitrat într-un anumit fel;*
  - *mai multe resurse disponibile pot îndeplini aceeași sarcină de fabricație la un moment dat în sistem, caz în care se vorbește despre convergența resurselor;*
  - *din diverse motive, care duc la întreruperea unuia din fluxurile vitale ale sistemului, acesta încetează să-și mai îndeplinească rolul funcțional, caz în care vorbim de un blocaj;*
- 
-



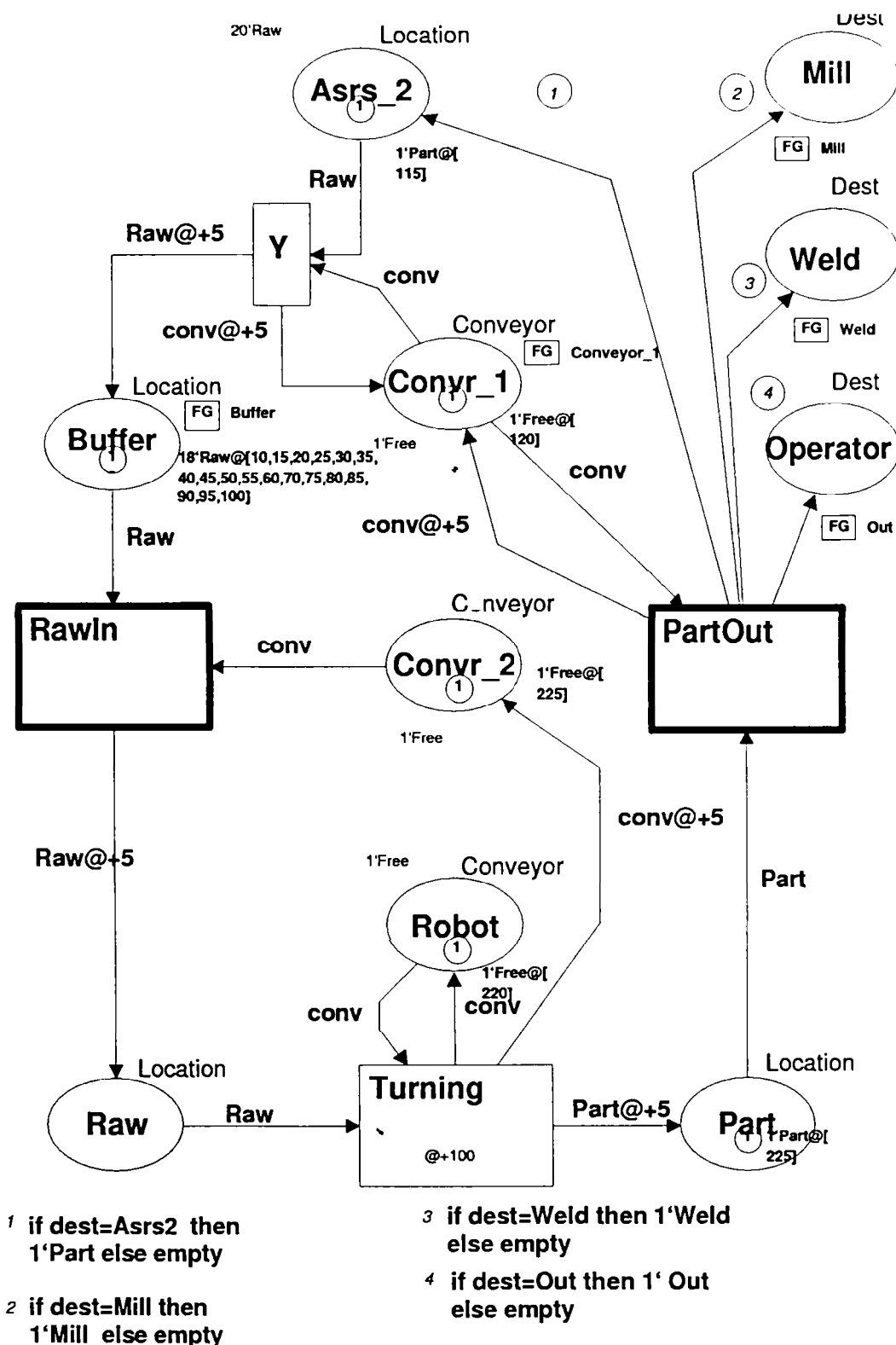


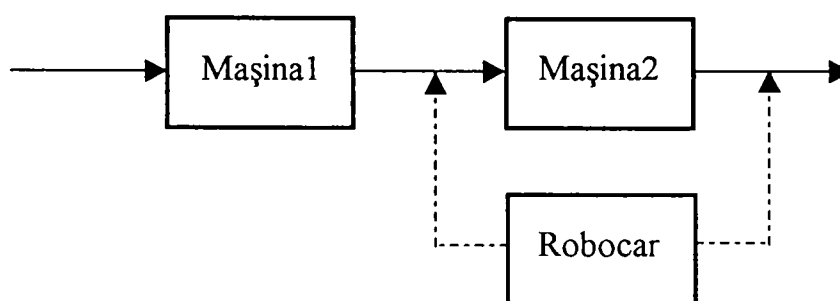
Figura 1.8-1

Exemplele care vor urma vor ilustra aceste situații particulare. Astfel, în Figura 1.8-1 se prezintă cazul în care dintr-un complex de condiții reale din sistem apare situația ca două procese să fie declanșate simultan, adică atât intrarea cât și ieșirea unei piese din zona de lucru a unui centru de prelucrare. Atât timp cât ambele procese folosesc aceeași resursă, de exemplu un conveior, această situație va genera un conflict de resurse. Arbitrarea acestui conflict se poate face pe baza unui criteriu foarte simplu și anume *“primul proces declanșat este cel care*

duce la scoaterea pieselor din sistem”. Cum anume se implementează în sistem această regulă de “comportament” este sarcina acestei lucrări să demonstreze. Figura care ilustrează starea de conflict al resurselor a fost preluată dintr-un model simbolic al unui sistem de fabricație elaborat cu ajutorul rețelelor Petri [Dreucean, M., 1996]. Conveiorul care apare în figură sub denumirea de “Conv\_1” este folosit atât pentru încărcare cât și pentru descărcarea centrului de prelucrare prin frezare, precum și de alte componente ale sistemului.

Ținând cont că cele două procese “RawIn” și “PartOut” au condiții de declanșare simultană, lucru imposibil în termeni practici, se impune rezolvarea următoarei dileme: care este modul rațional de desfășurare a procesului în continuare? Care va fi deci prima tranziție care se va declanșa?

O situație nedorită în funcționarea unui sistem automat de fabricație este atunci când două sau mai multe componente ale sistemului așteaptă indefinit eliberarea unei resurse ocupată de o altă componentă a sistemului. Această așteptare întrerupe fluxul de materiale al sistemului automat și duce astfel la apariția unui blocaj. Pentru multe sisteme automate ieșirea dintr-o stare de blocaj se poate face doar manual, prin eliminarea din sistem a reperelor care au blocat resursa partajată și reluarea ciclului de fabricație din starea inițială. Un model simplu pentru evidențierea condițiilor de apariție a blocajului este redat în Figura 1.8-2 [vezi Viswanadham, N., Narahari, Y., 1992].



**Figura 1.8-2**

Robocarul din figură deservește mașina numărul 2, asigurând transferul pieselor de la mașina 1 precum și evacuarea pieselor de pe mașina 2. Dacă robocarul, care are o singură poziție de încărcare, conține o piesă de la prima mașină, în speță piesa 2, în timp ce a doua mașină prelucurează o altă piesă încărcată anterior, în speță piesa 1, atunci descărcarea mașinii 2 nu se mai poate produce și întregul sistem se va bloca prin întreruperea fluxului de materiale. Această situație este redată în ciclograma din Figura 1.8-3 prin linia verticală întreruptă dublă.

Condițiile practice care favorizează apariția blocajelor într-un sistem de fabricație automat pot fi formulate astfel:

- *excluderea mutuală*, care provine din imposibilitatea folosirii simultane a aceleiași resurse de către două unități distincte din sistem;
- *blocarea resursei* la nivelul unui proces care nu o eliberează până ce procesul nu se sfârșește;
- *blocarea în așteptare* a unui proces cu o resursă alocată pentru a primi alte resurse care sunt blocate de alte procese;
- *așteptarea circulantă* între mai multe procese care se așteaptă în cascadă pentru eliberarea uneia sau a mai multor resurse partajate.

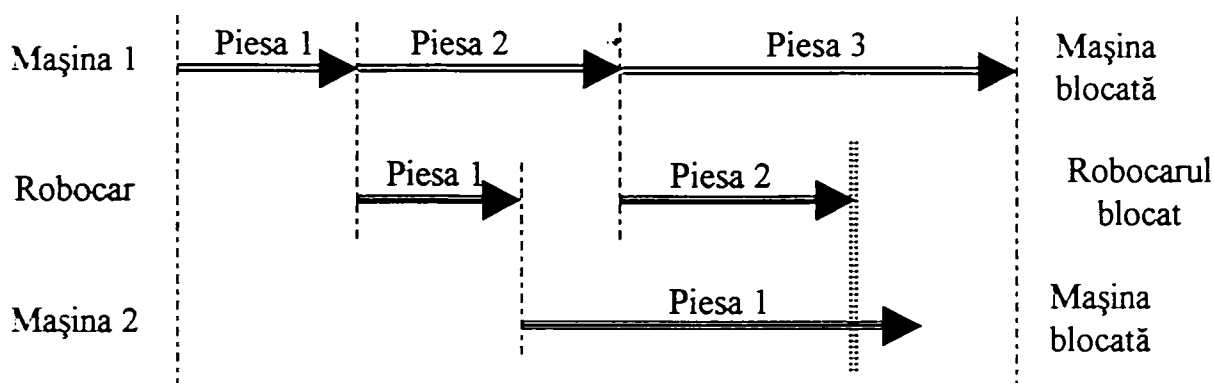


Figura 1.8-3

Toate aceste condiții favorizante ale apariției blocajelor pot fi identificate și pe schema și ciclograma din Figura 1.8-2 și Figura 1.8-3.

Atitudinea proiectantului de sisteme de fabricație și a operatorului care le exploatează față de apariția blocajelor poate îmbrăca următoarele forme:

- *detectarea* blocajelor;
- *resetarea* sistemului din starea de blocaj;
- *prevenirea* apariției blocajelor;
- *evitarea* apariției blocajelor.

Având în vedere că apariția blocajelor într-un sistem automat are consecințe nefavorabile asupra productivității sistemului și asupra indicelui de utilizare a resurselor, problema evitării apariției acestora devine de o maximă importanță. În literatura de specialitate sunt prezentate multe procedee de analiză a sistemelor automate și de proiectare a sistemelor de control în scopul evitării blocajelor [Viswanadham, N., Narahari, Y., 1992, Zhou, MengChou, 1995, Hruz, B., 1995]. În esență toate aceste procedee se bazează pe controlul stării momentane a sistemului și pe determinarea în timp real a evoluției viitoare a acestuia în scopul evitării blocajelor. *Cum se poate determina cu anticipație apariția condițiilor de blocaj*

---

*ale sistemului și alegerea unor rute care să evite blocajele este o altă sarcină asumată de prezenta lucrare.*

## 1.9. Probleme specifice sistemelor flexibile de fabricație robotizate. Studii de caz.

### 1.9.a Generalități

Paragrafele care urmează vor prezenta câteva realizări remarcabile ale unor firme europene, care vin să ilustreze noul concept de organizare sistemică a producției, alături de noile tehnologii de fabricație flexibilă automatizată. Un element important în noul peisaj de fabricație începe să fie *robotul industrial*, care preia o parte din sarcinile de manipulare a materialelor în interiorul celulelor de fabricație, aducându-și aportul său la definirea atributului de flexibilitate al acestora [Hans, B., Kief, Olling, G., Waters, T., F., 1986].

Principala funcție pe care o are un robot industrial într-un sistem de fabricație este *funcția de manipulare*. Un studiu publicat de American Society for Manufacturing Engineers (ASME 1977) arată că la orizontul anilor '90 peste 20% din costurile de fabricație ale centrelor de prelucrare vor fi folosite pentru execuția sistemelor de alimentare și evacuare, având în vedere că aceste mașini vor trebui să funcționeze în absența unui operator uman.

La fel de importantă ca și prima aplicație este și utilizarea roboților pentru *efectuarea unor sarcini de prelucrare*, prin echiparea trenului condus al robotului cu o unitate de lucru de tipul unităților de găurire, vopsire, nituire, debavurare și multe altele. În acest fel robotul devine un subsistem de prelucrare echipat cu posibilități de comandă numerică.

Roboții industriali sunt foarte potriviți pentru *desfășurarea unor lucrări în medii explosive sau în orice fel nocive pentru un operator uman*. Pe lângă nocivitatea chimică se pot include în această categorie și toate mediile neergonomice care presupun un nivel ridicat de zgomote sau vibrații, condiții de muncă stresante prin ritm sau implicații emoționale, etc.

Una din utilizările de mare răspundere ale roboților industriali o constituie *măsurarea robotizată*, parte a controlului automat al calității. Roboții incluși în această categorie specială de aplicații se caracterizează printr-o precizie ridicată, care trebuie să depășească nivelul de precizie al măsurătorilor efectuate, precum și printr-o construcție de mare rigiditate, care să evite introducerea unor erori de măsurare datorate elasticității sistemului. De asemenea echipamentul de control al acestor roboți impune pretenții mai ridicate de nivel software.

---

## 1.9.b Sistemul Wartsila

Întreprinderea Wartsila Vaasa din Finlanda are în funcțiune un sistem de fabricație flexibilă compus din trei centre de prelucrare identice (CP), un robot de debavurare, o magazie automată, o stație de încărcare-descărcare, o zonă de asamblare preliminară și un mini computer pentru controlul fluxului de materiale. Sistemul este descris în [Warnecke H.-J., Steinhilper R., 1990]. În "layout"-ul prezentat în Figura 1.9-1 este prevăzut și un spațiu de rezervă pentru alte centre de prelucrare sau pentru o stație de spălare. Sistemul asigură în fapt prelucrarea unui număr de 150 de repere prismatice diferite, fără nici o oprire sau reglare a mașinilor. Piesele cele mai reprezentative care au fost prelucrate sunt patru tipuri de chiulase de motoare diesel grele și două tipuri de biele pentru același gen de motoare. Ambele tipuri de piese se înscriu într-un cub de latură 700 mm și necesită două sau trei prinderi pentru o prelucrare completă. Timpul de lucru pentru fiecare prindere este între 30 de minute și două ore.

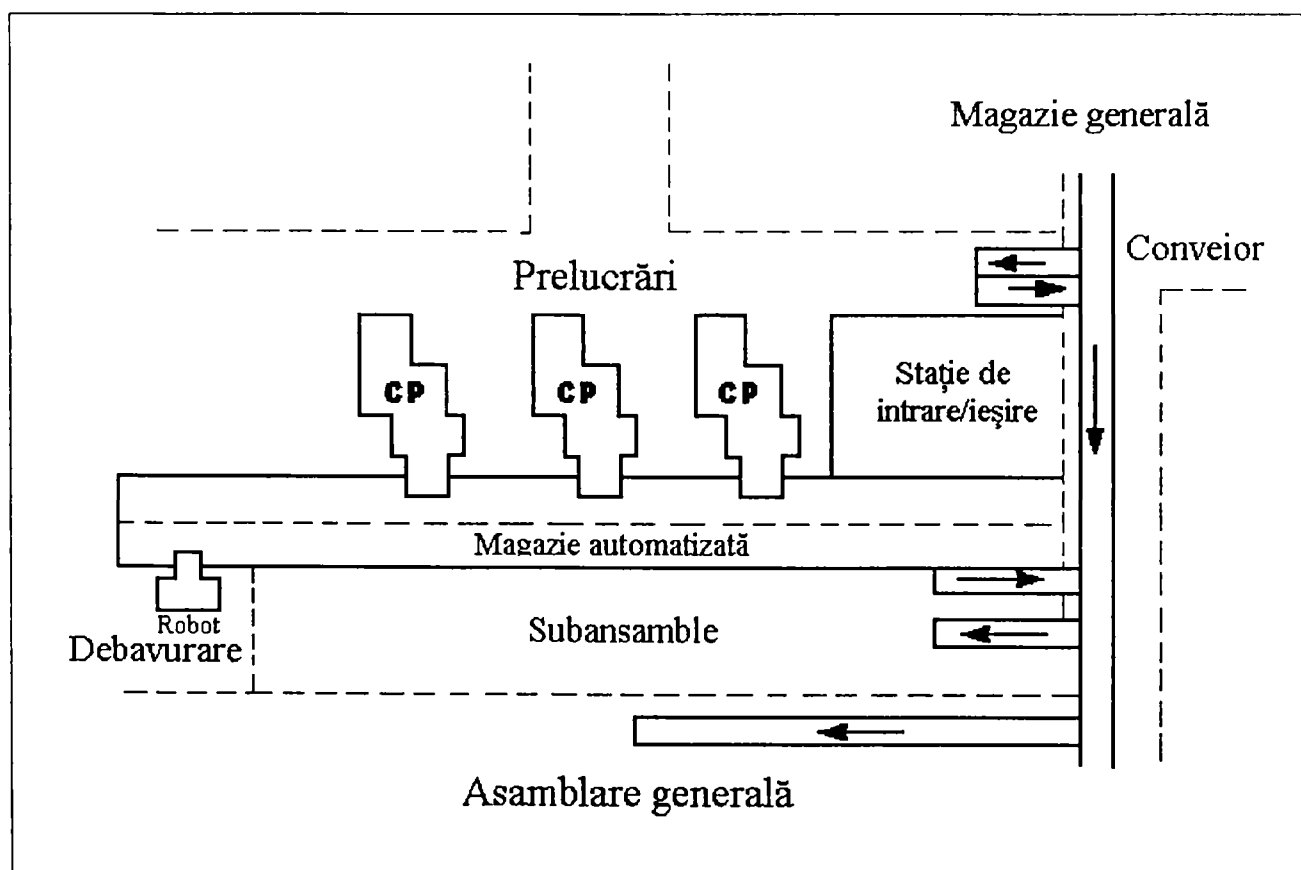
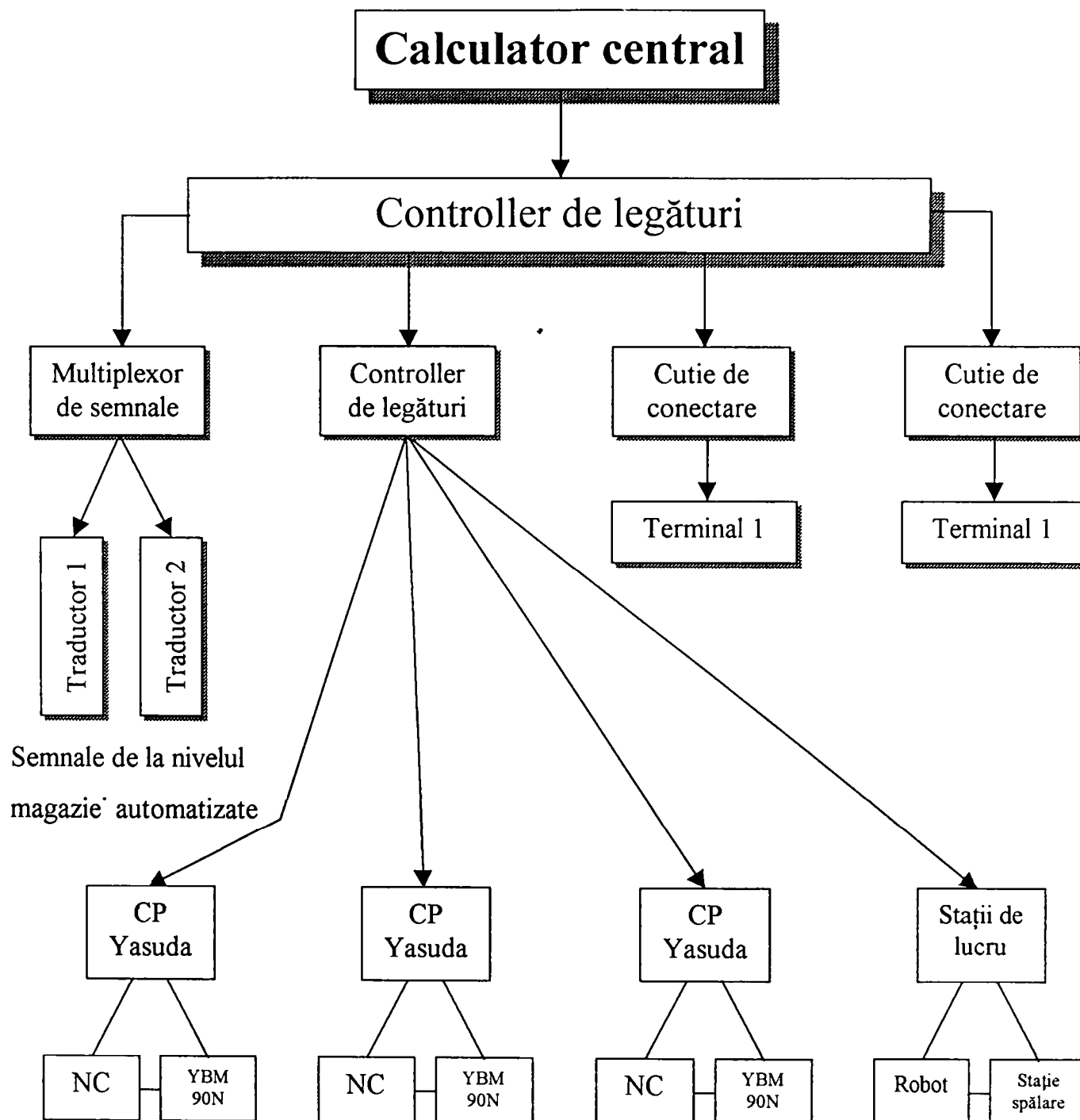


Figura 1.9-1

*Sistemul de scule așchietoare* este compus din 200 de scule diferite și alte 60 de scule derivate. Cel mai mare diametru de sculă este 400 mm iar scula cea mai lungă față de planul frontal al arborelui principal este de 500 mm. Cel mai mare filet prelucrat este M52 și cea mai

mică gaură este de 5 mm. *Precizia de prelucrare* minimă este exprimată prin clasa de precizie IT6 la găurire, 0,02 mm precizie de prelucrare la frezare și rugozitatea minimă de  $R_a$  1,6  $\mu$ m.



**Figura 1.9-2**

În centrul sistemului FMS de la Wartsila se află o *magazie automatizată*, deservită de un translator de magazie cu două axe, produs de o firmă suedeză. În această magazie se află stocate diferite materiale, cum ar fi semifabricate, piese finite, diverse subansamble, dispozitive de prindere, etc. Toate aceste elemente diferite sunt așezate pe palete identice, astfel încât manevrarea lor de către translatorul de magazie să se facă în mod unitar. Semifabricatele se instalează pe palete pe niște carucioare cu roți, care sunt apoi aduse în dreptul translatorului

---

---

pentru a permite preluarea paletelor și stocarea lor în magazie. De aici semifabricatele și toate celelalte elemente depozitate sunt livrate automat conform unui program de fabricație ce rulează pe un calculator principal. De regulă protocolul de transfer în magazie este FIFO (first-in- first- out)

*Centrele de prelucrare* sunt de tipul YMB-90 Ns, produse de firma Yasuda din Japonia. Magaziile de scule sunt în număr de 5, fiecare cu câte 60 de scule. Sistemul de schimbare a sculelor are două brațe și poartă sculele prin fața unui sistem de curățire cu perie rotativă și jet de aer, atât la prinderea cât și la desprinderea sculelor din arborele principal al centrului de prelucrare.

*Sistemul de diagnosticare* al centrului de prelucrare permite operatorului să monitorizeze în permanență funcționarea mașinii și să primească informații foarte detaliate în caz de avarie. Există de asemenea un sistem de protecție la ruperea sculei.

*Schimbătorul de palete* al centrului de prelucrare are două poziții, fiecare paletă care se instalează pe masa de lucru fiind identificată individual pe baza unui cod magnetic analizat cu un cititor special.

*Sistemul de comandă și control* este alcătuit dintr-un calculator central, legat de echipamentele periferice prin intermediul unei cutii de conexiuni. Periferia este alcătuită din două terminale de comunicație, controlerele centrelor de prelucrare și ale stațiilor de lucru, precum și sistemul de senzori al magaziei automatizate (vezi Figura 1.9-2).

*Memoria sistemelor CNC* din compunerea centrelor de prelucrare conține toate programele de lucru pentru reperele specifice sistemului, astfel încât lansarea în execuție a unui anumit reper nu presupune nici un fel de operații suplimentare de punere la punct sau de reglaj. Reperul este recunoscut prin intermediul paletii pe care este montat și programul de prelucrare adecvat este automat lansat în execuție, după verificarea magaziei de scule care trebuie să conțină toate pozițiile necesare rulării programului.

*Asamblarea reperelor și controlul dimensional* se fac manual, cu un număr de 8-10 muncitori pe schimb. Această modalitate de organizare a fost special adoptată pentru a “umaniza” într-o anumită măsură sistemul flexibil de fabricație și de a crea operatorilor umani senzația de utilitate și de importanță a muncii depuse, tot mai necesară pe măsura dezvoltării sistemelor de fabricație flexibilă care conduc spre perioada “post-CIM”. Din același motiv nu există nici sisteme de control automat, problema preciziei fiind lăsată în seama operatorilor de la asamblare care dispun de toate dispozitivele de verificare necesare.

---

---

### 1.9.c Sistemul de fabricație flexibilă de la uzinele Citroën

Fabrica de la Meudon, lângă Paris, aparținând concernului Citroën, execută prototipuri pentru toate celelalte firme ale concernului, precum și pentru alte firme partenere angajate în cursele de raliuri și de Formula I. Sistemul conține doar două centre de prelucrare, (vezi Figura 1.9-3) cu ajutorul cărora se pot prelucra orice fel de piese turnate aflate în specificul de fabricație al firmelor respective. Ciclul de producție maxim este de 5 zile pentru orice reper. Deoarece varietatea de repere este foarte mare, partea principală a sistemului flexibil prezentat este partea de CAD/CAM, unde sunt elaborate programele de prelucrare și tehnologiile de execuție pentru aceste repere.

*Sistemul de transfer* este constituit din mai multe AGV-uri care se deplasează pe traiectorii marcate inductiv în pardoseală. Acestea transferă materiale diverse, de la semifabricate la scule sau dispozitive de fixare.

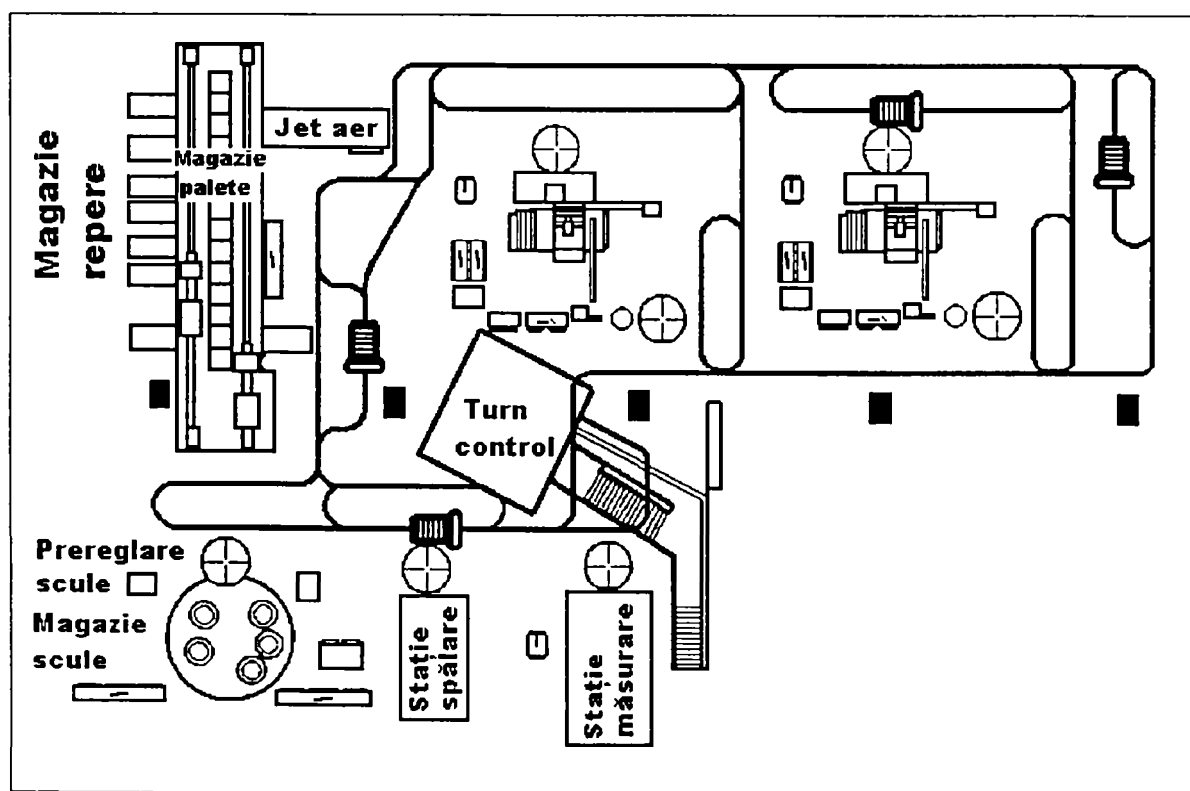


Figura 1.9-3

Prelucrările mecanice sunt executate pe două *centre de prelucrare* de tip Graffenstaden cu 5 axe, fiecare fiind echipat cu două magazii de scule cu lanț cu 50 de poziții (CP1, CP2 în Figura 1.9-3). Spațiul de lucru este un cub cu latura de 500 mm, având ca bază suprafața unei palete patrulate cu latura de 800 mm. Între magazia centrală de scule și fiecare centru de prelucrare au fost configurate trasee de transfer deservite de AGV, care să asigure alimentarea cu scule noi sau cu seturi de scule specifice unor anumite prelucrări. Acest lucru se



---

---

realizează prin încărcarea cu un manipulator a unui număr de 20 de scule din magazia centrală care are un total de 600 de poziții, pe un tambur dispus pe AGV.

AGV-ul transferă tamburul cu sculele la centrul de prelucrare, unde se găsește un tambur identic, conținând sculele ce urmează să se întoarcă în magazia centrală din motive diverse: depășirea duratei de așchiere programate, ruperi accidentale, nevoia de a elibera pozițiile ocupate în lanțul magaziei centrului de prelucrare, etc. Un manipulator cu braț rotativ cu două poziții schimbă între ele sculele din cele două tambururi, astfel încât AGV-ul va transfera înapoi tamburul cu sculele disponibilizate de către centrul de prelucrare, în timp ce sculele aduse recent vor fi instalate în lanțul magaziei de scule a centrului de prelucrare pentru a putea fi utilizate de către acesta. Sistemul central de comandă ține gestiunea sculelor, având sarcina de a actualiza în permanență starea acestora din punct de vedere al duratei de viață și al poziției în sistem. În acest mod sculele pot fi instalate pe oricare din cele două centre de prelucrare, fără nici un fel de restricții, pregătirea și înmagazinarea lor făcându-se centralizat. *Pregătirea sculelor* se face de către un singur angajat pe fiecare schimb, acesta având la dispoziție o mașină de prereglare a sculelor legată la calculatorul central care preia astfel automat toate datele despre sculă.

#### 1.9.d Sistemul Cessna

Sistemul Cessna a fost realizat în Marea Britanie, în Glenrothes, la o fabrică producătoare de echipamente hidraulice. Pe acest sistem a fost calată producția de pompe cu roți dințate, care implică o varietate de circa 1000 de modele distincte, deși numărul de repere din compunerea unei astfel de pompe este relativ redus (5-6 repere). Sistemul a fost conceput în jurul anului 1983 și a fost finalizat în circa doi ani prin aportul de echipamente și tehnologie al firmei British Olivetti.

”Layout”-ul sistemului (vezi Figura 1.9-4) relevă că sistemul este alcătuit dintr-un număr de 5 conveioare de intrare-ieșire, fiecare fiind destinat să transfere unul din reperele care alcătuiesc pompa cu roți dințate care se prelucrează în sistem. Capacitatea de stocare a acestor conveioare, folosite și ca magazii intermediare, este de patru ore de producție. Fiecare conveior are două nivele. Pe cel superior sunt așezate manual semifabricatele, iar pe cel inferior sunt depuse piesele finite de către robotul ce deservește celula de fabricație.

Componenta principală a celulei este un *robot pe șine*, de tip Olivetti, care este echipat cu un gen de tavă în care sunt așezate reperele din compunerea produsului finit. Acest robot

---

---

deservește cele trei centre de prelucrare identice, stația de spălare a pieselor, cele cinci conveioare, mașina de măsurare în coordonate și celula pentru operații periferice, de regulă executate manual (debavurări, asamblări parțiale, verificări, etc.).

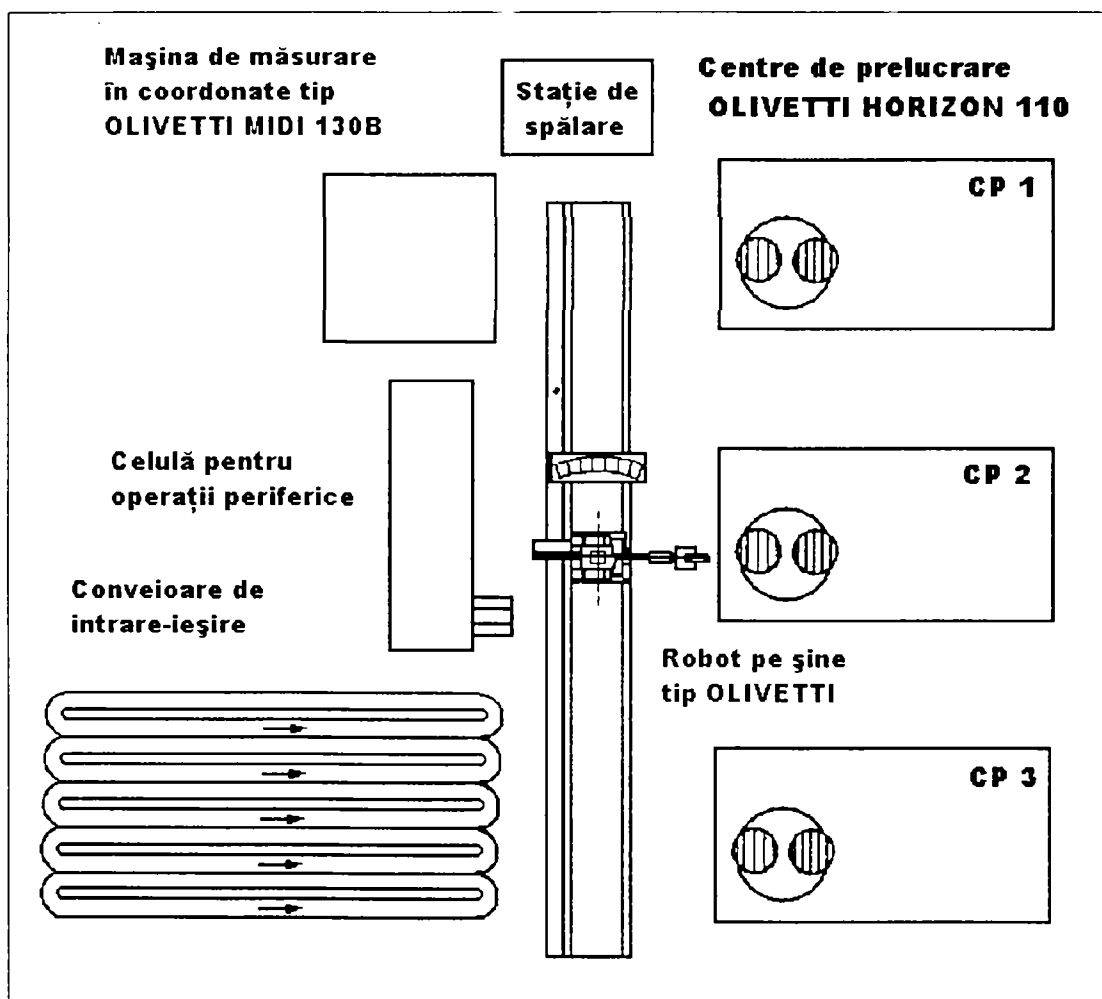


Figura 1.9-4

Centrele de prelucrare, de tip Olivetti Horizon 110B, sunt prevăzute cu mese schimbabile cu două poziții, pe care sunt așezate paletele cu repere. Paletele au fost proiectate astfel încât permit fixarea simultană a tuturor celor cinci repere care se prelucurează în sistem, astfel încât toate paletele vor fi identice. Fixarea reperelor se face automat, cu sisteme de prindere acționate mecanic sau pneumatic.

După prelucrare, reperele sunt curățate de așchii și sunt uscate prin suflare cu aer cald, după care sunt transferate la mașina de măsurare. Aici este verificat un set de cote considerate de importanță primordială pentru buna funcționare a pompei, precum și pentru precizia de prelucrare a mașinii. Dacă la anumite reper și cote sunt atinse limitele câmpului de toleranță, sistemul de control al celulei sesizează centrul de prelucrare de unde provine reperul respectiv pentru a interveni prin schimbarea sculei care poate fi deja uzată, sau prin aplicarea unor corecții în programul NC de prelucrare.

Sistemul este condus de un calculator central, care are și rol de supervisor pentru echipamentele NC ale centrelor de prelucrare. Astfel, dacă un asemenea echipament eșuează, computerul central poate prelua funcțiile acestuia continuând astfel activitatea în celulă. Ciclul de lucru este organizat pentru prelucrarea unor loturi de 50-500 de repere identice, nefiind posibilă, sau fiind prea puțin productivă lansarea în execuție a reperelor la întâmplare. Sistemul presupune existența unui număr de 2-3 operatori umani de pregătire profesională destul de ridicată, care să preia sarcinile de alimentare periodică cu semifabricate și pe cele de reglaj a centrelor de prelucrare precum și de pregătire a sculelor.

#### 1.9.e Sistemul Kloeckner-Humboldt-Deutz

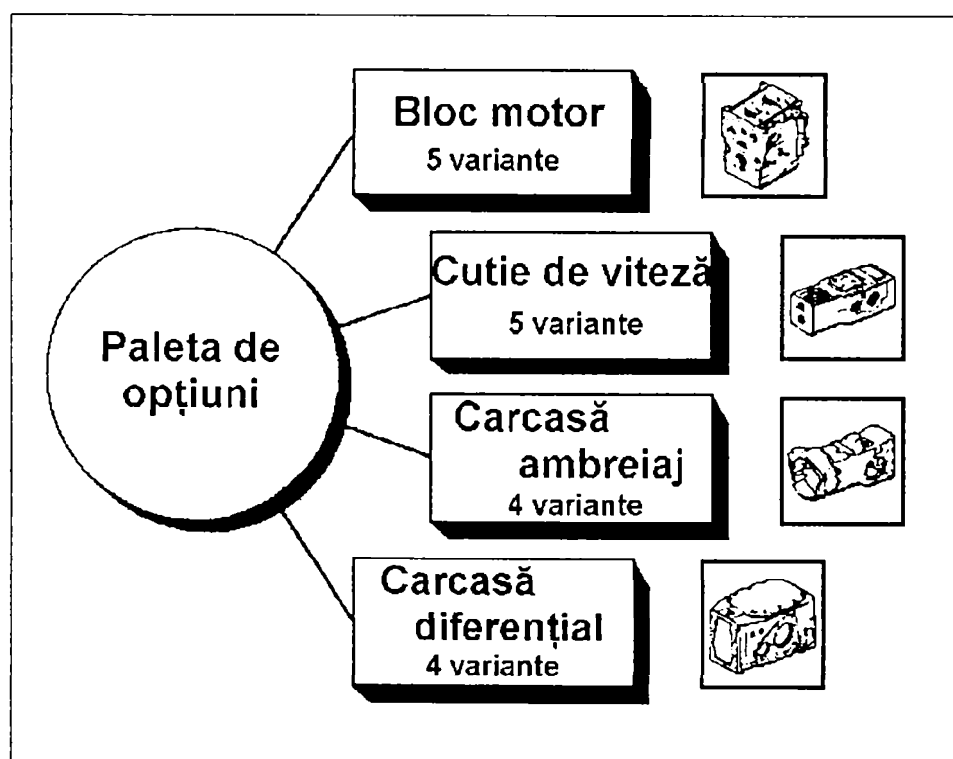


Figura 1.9-5

Industria anilor '80 în RFG a fost pentru prima oară pusă în fața unor cerințe ale pieței greu de satisfăcut cu dotările și cu mentalitatea tehnică a acelor ani. Problema care trebuia rezolvată era dacă cerințele tot mai diverse de pe piață, care fărâmițau practic loturile de fabricație din ce în ce mai mult, trebuiau întâmpinate cu noi linii de flux tehnologic amenajate pe baza conceptului tehnologic de "tehnologie de grup" sau trebuia găsit altceva, un nou concept, care să elimine investiția imensă presupusă de liniile tehnologice, fără șanse de amortizare în cazul loturilor mici de fabricație.

Analizându-se în mod serios spectrul de produse la care variabilitatea este maximă, (vezi Figura 1.9-5), s-a ajuns la concluzia că problema poate fi rezolvată cel mai economic prin

amenajarea unui sistem flexibil. Firma constructoare a sistemului a fost Burkhardt & Weber. (vezi Figura 1.9-6)

Sistemul are în componență 4 *centre de prelucrare* identice, de tip MC100, care se pot înlocui complet unul pe altul. Aceste centre de prelucrare sunt adecvate pentru prelucrarea unor repere de tip carcasă. Mașinile au axa orizontală, iar din necesitatea de a mări viteza de execuție a reperelor cu multe găuri, la primul centru de prelucrare s-a prevăzut un sistem de găurire cu capete multiax, care se pot încărca după nevoi dintr-o magazie specială, atașată acestei mașini. Sistemul este deservit din punct de vedere al transferului de un conveyior pe șine. *Încărcarea paletelor* cu repere se face manual la stațiile de încărcare.

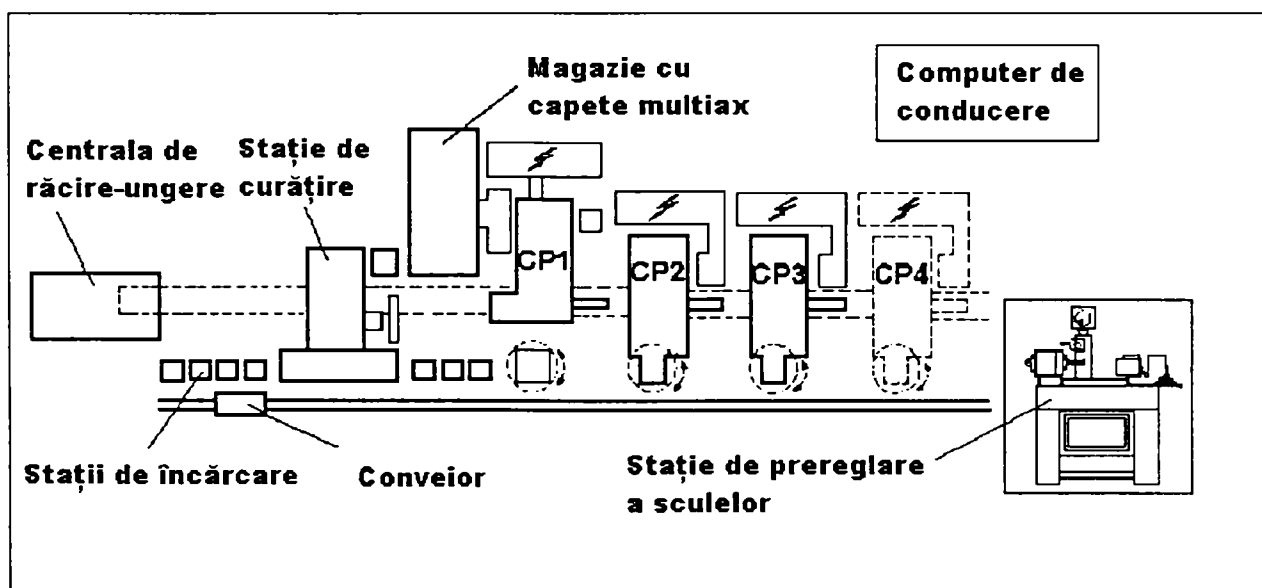


Figura 1.9-6

Fiecare stație din sistem este obiectul unei *activități de control organizată ierarhic* (vezi Figura 1.9-7). Creierul întregii activități este un computer de conducere, integrat prin intermediul unei rețele locale cu celelalte echipamente sau stații de lucru. Sarcinile pe care le îndeplinește fiecare nivel al ierarhiei sistemului de conducere pot fi identificate în figură. Este de remarcat faptul că sistemul de transfer are un controller separat, lucru care demonstrează importanța acestui echipament pentru funcționarea în siguranță și cu mare eficiență a întregii instalații.

Pe primul nivel de control sunt rezolvate următoarele sarcini:

- gestiunea generală a fișierelor;
- încărcarea mașinilor;
- gestiunea sculelor;
- lansarea loturilor de producție.

Pe nivelul doi sunt grupate următoarele obiective:

- controlul fluxurilor de date;
- distribuția programelor NC;
- efectuarea de calcule concrete;
- rularea programelor NC;
- monitorizarea uzurii sculelor;
- manipularea materialelor.

Pe ultimul nivel se rezolvă doar transferul pieselor, ca o componentă esențială a sistemului de conducere. La acest nivel este instalat un calculator de tipul Simatic S5 cu toată periferia necesară.

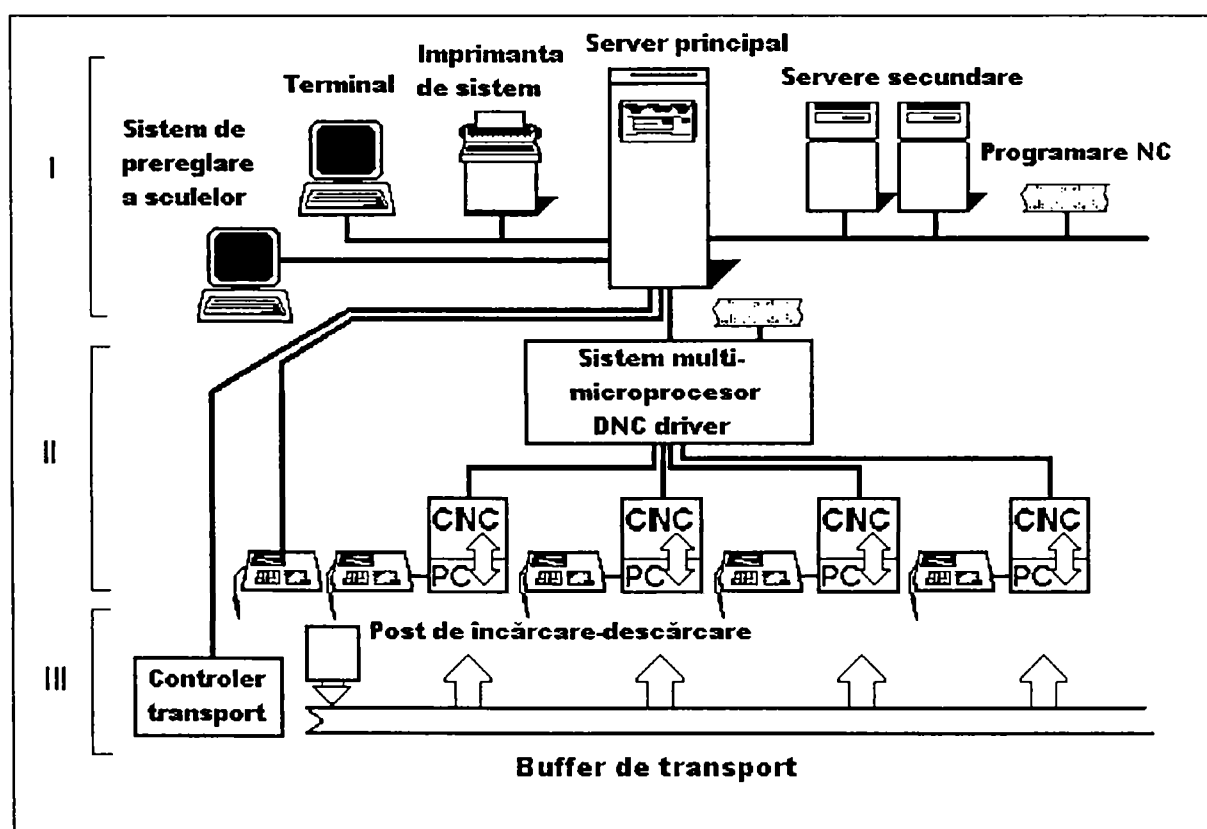


Figura 1.9-7

*Calculatorul principal* de comandă este de tipul Siemens 300 și el are sub control toate echipamentele de conducere instalate în sistemul flexibil. *Programarea producției* se face manual, pe baza comenzilor și a strategiei generale a întreprinderii, computerul principal de comandă având doar misiunea de a urmări și de a asigura îndeplinirea în bune condiții a planului astfel elaborat.

## STAȚII DE LUCRU

## CATEGORII DE PERSONAL

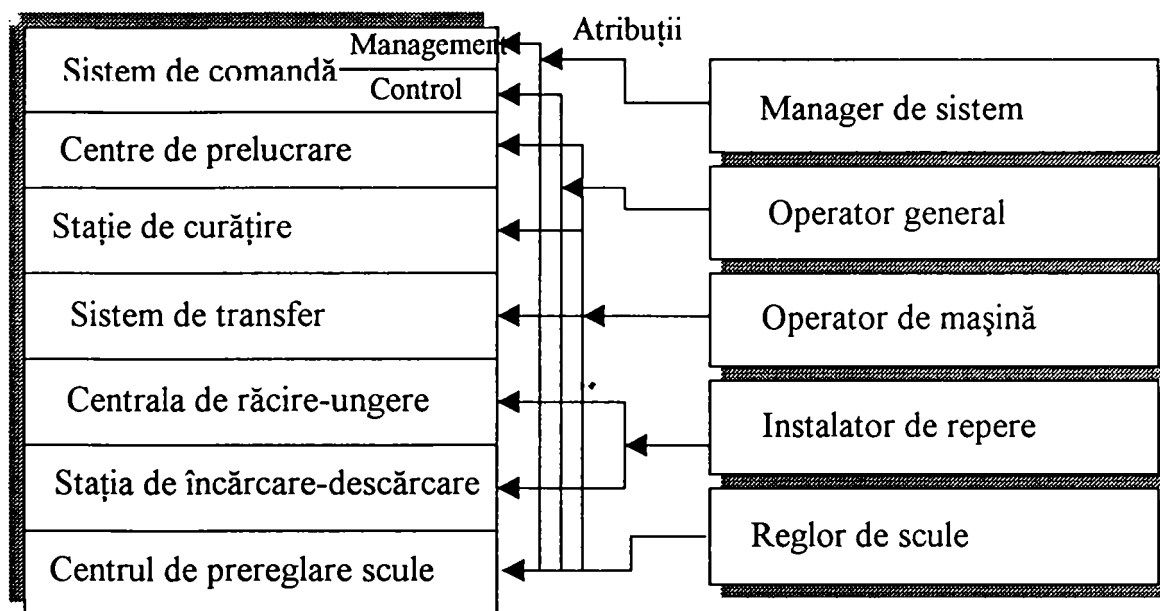


Figura 1.9-8

Una din dimensiunile principale a implementării unui sistem flexibil de fabricație este *dimensiunea socio-umană*. În cazul exemplului prezentat, componenta umană a necesităților de operare din sistem este destul de importantă, ținând cont că însăși programarea producției se face manual, la aceasta adăugându-se instalarea semifabricatelor pe palete, reglarea mașinilor, prereglarea sculelor, descărcarea pieselor și multe altele. Deci operatorul uman este nevoit să coabiteze cu sistemul și să se adapteze la un nou stil de muncă, în care elementul inedit este prezența mașinilor în ciclu automat, care impun un ritm obiectiv și uneori stresant. Pornind de la această observație, conducerea companiei a elaborat un studiu de integrare a forței de muncă în sistem, începând cu dotarea cu personal uman și ajungând la distribuirea de sarcini pe principalele stații de lucru (vezi Figura 1.9-8).

---

## 1.10. Breviar bibliografic

În cele ce urmează este prezentat un breviar bibliografic extras dintr-o bază de date pe care autorul a alcătuit-o în etapa de documentare pentru prezenta lucrare de doctorat. Sunt cuprinse principalele titluri care au stat la baza formării fondului teoretic al prezentei lucrări, multe dintre ele fiind referite direct în lucrarea de față. Câmpul "Rezumat" al bazei de date cuprinde principalele subiecte abordate în fiecare lucrare care se asociază tematic cu titlul tezei de doctorat.

### Date primare

14-Apr-99

**Nr.** 12

**Titlul:** MADS-Wizzard. Manual de utilizare

**Autor:** \*\*\*

**Anul apariției:** 1987

**Rezumat:** Manual de utilizare pentru un nucleu de timp real multi-tasking

**Nr.** 2

**Titlul:** Object-Oriented Modeling and Design

**Autor:** James Rumbaugh, Michael Blaha, William Premerlani,

**Anul apariției:** 1991

**Rezumat:** Introducere.  
Modelarea ca tehnica de proiectare.  
Modelarea obiectelor.  
Concepte avansate de modelare a obiectelor.  
Modelarea dinamica.  
Modelarea funcțională.  
Analiza sistemelor.  
Proiectare unui sistem.  
Proiectarea obiectelor.  
Implementarea modelelor.  
Limbaje orientate spre obiecte.  
Limbaje neorientate spre obiecte.  
Baze de date relaționale.  
Compiler pentru diagramele cu obiecte.  
Animația pe computer.  
Proiectarea unui sistem de distribuție a energiei electrice.

**Nr.** 3

**Titlul:** The Design and Operation of FMS

**Autor:** Dr. Paul Ranky

---

---

**Anul apariției:** 1983

**Rezumat:** Introducere in teoria FMS  
 Managementul in proiectarea si implementarea unui FMS  
 Distributed processing in FMS  
 Integrated CAD/CAM systems & part programing  
 Baze de date distribuite pentru scule si dispozitive  
 Utilizarea roboților industriali, a magaziiilor automate si ale AGV-urilor  
 Mașini de măsurare in coordonate  
 Interfațarea computerelor cu celelalte componente ale FMS  
 CAPP si programul de producție  
 Considerații economice  
 Aspecte socio-umane

**Nr.** 4

**Titlul:** Flexible Manufacturing Systems

**Autor:** H.-J. Warnecke R. Steinhilper

**Anul apariției:** >1989

**Rezumat:** Planificarea si organizarea producției in FMS.  
 Asupra proiectării sistemelor flexibile- orientarea spre produs.  
 Arhitectura sistemelor de control a FMS.  
 Controlul automat in FMS.  
 Aplicații ale roboților in FMS.  
 Dezvoltarea mașinilor unelte si evoluția lichidelor de răcire.  
 Studii de caz.

**Nr.** 5

**Titlul:** Japan - USA Symposium on Flexibel Automation

**Autor:** \*\*\*\*\*

**Anul apariției:** JULY 14-18, 1986

**Rezumat:** 1. A solution of Inverse Dynamics of Manipulators with Elasticity and Backlashes at Joints  
 2. A Trajectory Generation Algorithm for Straight Line Motion in cartezian Space  
 3. A Sliding Mode Intelligent Servo System to Improve the Path Accuracy and Power Consumption of Robot Manipulators  
 4. Optimization Principles for Computer Integrated Manufacturing Systems  
 5. Flexible Automated Production System for Automotive Radiators  
 6. The Design of Expert Systems for Planning Flexible Manufacturing  
 7. An Expert System for Automatic Process Planning of Boring Operation by PROLOG  
 8. An Inference Engine for Real-Time Fuzzy Control

---



---

**Nr.** 6

**Titlul:** Performance Modeling of Automated Manufacturing Systems

**Autor:** N. Viswanadham Y. Narahari

**Anul apariției:** 1992

**Rezumat:** Sisteme de producție automate  
-sisteme de producție  
-măsurarea performanțelor  
-mașini conduse prin calculator  
-sisteme de manevrare a materialelor  
-lay-out-ul unei secții de producție  
-sisteme de fabricație flexibile  
-sisteme de control prin calculator  
Modelarea cu lanțuri Markov  
Modelarea cu șiruri de așteptare  
Modelarea cu rețele Petri

**Nr.** 7

**Titlul:** Concurrent Engineering

**Autor:** Hamid R. Parsaei, William G. Sullivan

**Anul apariției:** 1993

**Rezumat:** Elemente de organizare in mediul concurent  
-principiile ingineriei concurente  
-implementarea sistemelor concurente  
-imbunătățirea comunicării interpersonale in cadrul sistemelor concurente  
Tehnici si metode ale ingineriei concurente  
-modele ale procesului de proiectare  
-proiectarea concurentă pe bază de decizie  
-optimizarea concurentă a procesului de proiectare si prelucrare  
-sisteme concurente conduse prin calculator  
-optimizarea proiectării multiatribut  
-proiectarea concurenta a celulei de fabricație si a sistemului de control  
-metodologie generală de evaluare a prelucrabilității  
-optimizarea concurenta a erorilor de proiectare si de fabricație  
Considerente de cost in ingineria concurentă  
-proiectarea orientata spre costuri  
-proiectarea economică in mediu concurent  
Inteligența artificială in ingineria concurenta  
-aplicații ale sistemelor expert in proiectare  
-utilizarea bazelor de cunoștințe la proiectarea orientata spre prelucrare  
folosind trasaturi esențiale  
-acumularea concurenta de cunoștințe  
-modelarea procesului de proiectare cu rețele Petri

---

---

---

**Nr.** 8

**Titlul:** Design, Analysis, and Control of Manufacturing Cells

**Autor:** \*\*\*

**Anul apariției:** 1991

**Rezumat:** Controlul parametrilor fizici ai unor procese de prelucrare într-o arhitectura deschisa;  
Controlabilitatea sistemelor flexibile;  
Sistem de proiectare a celulelor autonome de prelucrare cu rețele Petri;  
Arhitectura soft a unei celule de fabricație independente;  
Proiectarea celulelor independente-Traficul intercelular;  
Proiectarea și implementarea algoritmică a unui controler în timp real pentru o celulă de fabricație;  
Reducerea timpului de lucru cu ajutorul sistemelor celulare interconectate;  
Decuploare pentru o celulă flexibilă de extrudare.

**Nr.** 9

**Titlul:** Monitoring and Control for Manufacturing Processes

**Autor:** \*\*\*

**Anul apariției:** 1990

**Rezumat:** Monitorizarea condițiilor de prelucrare în cazul automatizării cu rețele neuronale;  
Recunoașterea on-line a uzurii burghiului cu ajutorul rețelelor neuronale;  
Aplicații ale rețelelor neuronale la probleme de control automat al calității;  
Sistem de control pe două nivele a fluxului de informație într-un sistem flexibil;

**Nr.** 1

**Titlul:** Artificial Intelligence, Simulation and Modeling

**Autor:** Lawrence E. Widman, Keneth A. Lopato, Norman R.

**Anul apariției:** 1989

**Rezumat:** 1. Issues in Qualitative Reasoning about Diffusional Processes. - Shoshana L. Hardt  
2. A Hybrid Paradigm for Modeling of Complex Systems. - Sergio Ruiz-Mier, Joseph Talavage  
3. The Role of Artificial Intelligence in Discrete-Event Simulation. - Robert M., O'Keefe

**Nr.** 11

**Titlul:** Working with Neural Networks

**Autor:** Dan Hammerstrom

---

---

---

**Anul apariției:** 1992

**Rezumat:** Prezentare generala a domeniului rețelelor neuronale, definiții de termeni, algoritmi principali

**Nr.** 22

**Titlul:** Petri Nets in Flexible and Agile Automation (collection of articles)

**Autor:** MengChu Zhou

**Anul apariției:** 1995

**Rezumat:** Introduction to Petri Nets in Flexible and Agile Automation. 1  
 Application of Petri Nets to Sequence Control Programming. 43  
 CAD of Logic Controllers with Petri Nets. 71  
 Automatic Generation of Sequence Control Programs via Petri Nets and Logic Tables for Industrial Applications. 93  
 Planning and Scheduling based on Petri Nets. 109  
 Petri Net-Based Heuristic Scheduling for Flexible Manufacturing. 149  
 Scheduling and Rescheduling of AGVs for Flexible and Agile Manufacturing. 189  
 Stochastic Petri Net Models of Communication and Flexible Systems. 207  
 Deadlock Avoidance Policy for Flexible Manufacturing Systems. 239  
 Discrete-Event Control Design for Manufacturing Systems via Ladder Logic Diagrams and Petri Nets: A Comparative Study. 265  
 From State Transition Models to DFD Extended Methods for Specifying Reactive Systems. 305  
 Supervisory Control Specification and Synthesis. 337

**Nr.** 13

**Titlul:** Conducerea automata a proceselor

**Autor:** Ion Babutia, Toma Leonida Dragomir, Ioan Muresan,

**Anul apariției:** 1985

**Rezumat:** Aspecte privind utilizarea sistemelor multimicroprocesor in conducerea automata a sistemelor pag 124-198;  
 Utilizarea SMM pentru conducerea automata in timp real a proceselor industriale pag 201-222

**Nr.** 14

**Titlul:** Automatica Management Calculatoare

**Autor:** \*\*\*

**Anul apariției:** 1983

**Rezumat:** Filtrajul optimal numeric Kalman-Bucy in rezolvarea problemelor procesuale

---

---

pag 62-87;  
Programarea in mediu concurent pag 121-142

**Nr.** 15

**Titlul:** Automatica Management Calculatoare

**Autor:** \*\*\*

**Anul aparitiei:** 1984

**Rezumat:** Studiu privind modelele instruibile de decizie in domeniul social pag 7-24;  
Un proces de alocare optima multiobiectiv a resurselor de apa pag 35-47

**Nr.** 16

**Titlul:** Automatica Management Calculatoare

**Autor:** \*\*\*

**Anul aparitiei:** 1984

**Rezumat:** Optimizarea si analiza sistemelor stocastice cu evenimente discrete cu aplicare in automatizarea fabricației;  
Rețele simple si șiruri de așteptare pag 127-147;

**Nr.** 17

**Titlul:** IEEE Transactions in Neural Networks

**Autor:** \*\*\*

**Anul aparitiei:** 1993

**Rezumat:** Implementaion of Self-Organizing Neural Networks for Visuo-Motor Control of an Industrial Robot page 86-95

**Nr.** 18

**Titlul:** Procese si sisteme informaționale

**Autor:** \*\*\*

**Anul aparitiei:** 1982

**Rezumat:** Ingineria concepției: metoda deciziilor descendent structurate pag. 215-227

**Nr.** 19

**Titlul:** Systemique-Theorie & applications

**Autor:** \*\*\*

**Anul aparitiei:** 1992

**Rezumat:** Generalități, Metodologie, Formalisme matematice, Practica sistemică,  
Cercetări sistemice

**Nr.** 20

**Titlul:** An Introduction to Neural Networks

---

---

**Autor:** Ben J. A. Krose, P. Patrick van der Smagt

**Anul apariției:** 1994

**Rezumat:** Generalități  
Teorie (Adaline and Perceptron, Back-Propagation, Self-Organizing Networks, Recurrent Networks, Reinforcement learning)  
Aplicații (Robot control, Vision)  
Implementări (General Purpose Hardware, Dedicated Neuro-Hardware)

**Nr.** 21

**Titlul:** Flexible Fertigungssysteme

**Autor:** Gunther Ropohl

**Anul apariției:** 1971

**Rezumat:** Producția industrială ca sinteză a tehnicii, tehnologiei și organizării,  
Teoria ciberneticii,  
Flexibilitatea ca soluție a postulatului automatizării sistemelor de producție,  
Flexibilitatea ca semn distinctiv al unei clase de sisteme de producție,  
Concepția tehnologic-constructivă a sistemelor de fabricație flexibile.

**Nr.** 10

**Titlul:** Computer Integrated Manufacturing Handbook

**Autor:** Eric Teicholz, Joel n. Orr

**Anul apariției:** 1987

**Rezumat:** Planificarea proceselor pag 2.115;  
Sisteme de control numeric pag. 2.122;  
Robotica pag. 2.149;  
Planificarea resurselor materiale și controlul stocurilor pag 2.166;  
Planificarea și controlul producției pag 2.216;  
Cim și comunicațiile pag 2.228;  
Rolul manipulărilor de materiale pag. 2.248;

---

## 1.11. Bibliografie

1. \*\*\*, 1982, Procese si sisteme informaționale, Editura Academiei RSR, București.
  2. \*\*\*, 1992, Systemique-Theorie & applications, Culegere de articole, Technique & Documentation-Lavoisier, Paris.
  3. Dreucean, M., 1996, Modeling and Simulation - Tools for Evaluation in Flexible Manufacturing Systems, Pohjois Savon Polytechnic, Kuopio, Finlanda.
  4. Gallou, F. le, Buchon-Meunier, B., 1992, (coordonateurs), Sistemique, Théorie et Application, Technique et documentation-Lavoisier, Paris.
  5. Hans, B., Kief, Olling, G., Waters, T., F., 1986, The International CNC Reference Book, Becker Publishing Company (UK) Ltd.
  6. Hruz, B., 1995, Control of Discrete Event Dynamic Systems in the Context with Flexible Manufacturing Systems and Petri Nets, Helsinki University of Technology, Control Engineering Laboratory, Report 100, June 1995.
  7. Kovacs, Fr., Grigorescu, S., Rădulescu, C., 1994, Sisteme de fabricație flexibilă robotizate, Părțile I și II, Litografia UPT, Timișoara.
  8. Lawrence E. W., Keneth A. L., Norman R. N., 1989, Artificial Intelligence, Simulation and Modeling, John Wiley & Sons, New York, Chichester, Brisbane, Toronto, Singapore.
  9. Ranky, Dr. P., 1990, The Design and Operation of FMS, IFS (Publications) Ltd., UK, North Holland Publishing Company.
  10. Ropohl, G., 1971, Flexible Fertigungssysteme, Otto Krausskopf-Verlag GmbH, Mainz;
  11. Shannon, G., E., 1948, A Mathematical Theory of Communication, BSTJ 27.
  12. Skach, C., 1985, Tehnica prelucrării informațiilor, Curs, ediția I-a, Litografia I.P.Timișoara.
  13. VDI - Gemeinschaftsausschuß CIM, 1991, Rechnerintegrierte Konstruktion und Produktion, Band 5: Produktionslogistik, VDI - Verlag GmbH, Düsseldorf.
  14. Viswanadham, N., Narahari, Y., 1992, Performance Modeling of Automated Manufacturing Systems, Prentice Hall, Englewood Cliffs, New Jersey.
  15. Warnecke H.-J., Steinhilper R., 1990, Flexible Manufacturing Systems, IFS (Publications) Ltd, UK, Springer-Verlag Berlin.
  16. Zhou, MengChou, 1995, Petri Nets in Flexible and Agile Automation, Kluwer Academic Publishers, Boston, MA.
-

---

---

## 2. MODELAREA ȘI SIMULAREA ÎN PROIECTAREA UNUI SISTEM FLEXIBIL DE FABRICAȚIE. CELULE DE FABRICAȚIE INDEPENDENTE

### 2.1. Cuprins

<b>2. MODELAREA ȘI SIMULAREA ÎN PROIECTAREA UNUI SISTEM FLEXIBIL DE FABRICAȚIE. CELULE DE FABRICAȚIE INDEPENDENTE</b>	<b>49</b>
2.1. Cuprins	49
2.2. Asupra semnificației noțiunilor de "modelare" și "simulare"	50
2.3. Modelarea și simularea ca etape ale proiectării sistemelor de fabricație	53
2.4. Modele de analiză a performanțelor tehnice ale sistemelor de fabricație	58
2.4.a Lanțuri Markov	58
2.4.a.a. Lanțuri Markov pentru transformări discrete	59
2.4.a.b. Lanțuri Markov pentru transformări continue	60
2.4.b Rețele de șiruri de așteptare	62
2.4.c Rețele Petri stocastice generalizate	63
2.4.d Rețele Petri colorate	67
2.5. Prezentarea unor metode și programe de simulare pentru sisteme cu evenimente discrete	71
2.5.a Modelarea și simularea cu ajutorul programelor de grafică animată	72
2.5.a.a. Utilizarea grupului de programe QUEST	72
2.5.a.b. Utilizarea programului SIMUL8	74
2.5.a.c. Utilizarea programului Taylor II	75
2.5.b Modelarea și simularea cu ajutorul tehnicilor simbolice	77
2.5.b.a. Utilizarea programului DesignCPN pentru simularea cu rețele Petri colorate	77
2.5.b.b. Programul VisualObjectNet++ pentru simularea cu ajutorul rețelelor Petri	79
2.6. Arhitectura soft a unei celule autonome de fabricație	81
2.7. Bibliografie	92

---

---

---

## 2.2. Asupra semnificației noțiunilor de "modelare" și "simulare"

În vorbirea curentă noțiunile de "*modelare*" și "*simulare*" au de multe ori semnificații foarte apropiate. O departajare semantică a acestor două noțiuni este utilă cel puțin din punct de vedere al preciziei exprimării.

Prin "*modelare*" se înțelege abstractizarea unor subsisteme sau funcții ale acestora, cu scopul unei mai bune înțelegeri, înainte de a trece la realizarea lor practică [vezi Rumbaugh, J., Blaha, M., ș. a., 1991, pagina 7]. În acțiunea de modelare, *abstractizarea* are un rol deosebit. Această noțiune definește activitatea de orientare asupra aspectelor esențiale, fundamentale, ale unei entități, ignorând proprietățile ei accidentale, nespecifice.

Prin "*simulare*" se înțelege "rularea" modelului, adică transferarea obiectelor în lumea reală. Este evident că pentru a putea desfășura o procedură de simulare este necesar să existe mai întâi un model. Cu aceste precizări, în continuarea lucrării termenii de modelare și simulare vor fi folosiți în mod propriu, deși în literatura de specialitate nu se face în mod sistematic diferențierea necesară.

Așa după cum se arată în [Ruiz-Mier, S., Talavage, J., 1989], diferite metode de simulare au fost introduse începând din anii '60, cu scopul de a face procesul de simulare un proces cât mai natural. Printre aceste procedee, *modelarea proceselor cu evenimente discrete* a devenit foarte obișnuită, pe această bază dezvoltându-se alte metode puternice, cum ar fi *modelarea pe bază de rețele*. Aceste metode bazate pe utilizarea rețelelor oferă modelatorului concepte simple dar puternice pentru a capta aspectele particulare de comportament ale sistemului. Rețelele de șiruri de așteptare, lanțurile Markov sau rețelele Petri sunt câteva exemple de astfel de abordări. Cu toate avantajele oferite de simplitatea în utilizare și de transpunerea corectă a comportamentului sistemului în model, etapa de decizie în dezvoltarea modelului nu poate fi rezolvată. În condiții de concurență și de partajare a unor resurse ale sistemului, apare un *grad de incertitudine în dezvoltarea simulării*, pe care metodele bazate pe rețele nu îl pot rezolva. Exemple de acest gen vor fi prezentate în capitolele următoare ale lucrării.

Pentru a putea completa modelul în partea de luare a deciziilor, este nevoie de folosirea elementelor de *inteligentă artificială*. Pe această linie s-au impus două metode de modelare care pot rezolva probleme de incertitudine pe baza unui sistem de evaluare de cunoștințe. Acestea sunt programarea orientată pe obiecte și programarea logică.

*Programarea orientată pe obiecte* folosește un set de simboluri care marchează obiectele, asociate cu o bază de date unică, care cuprinde proprietățile și operațiile care

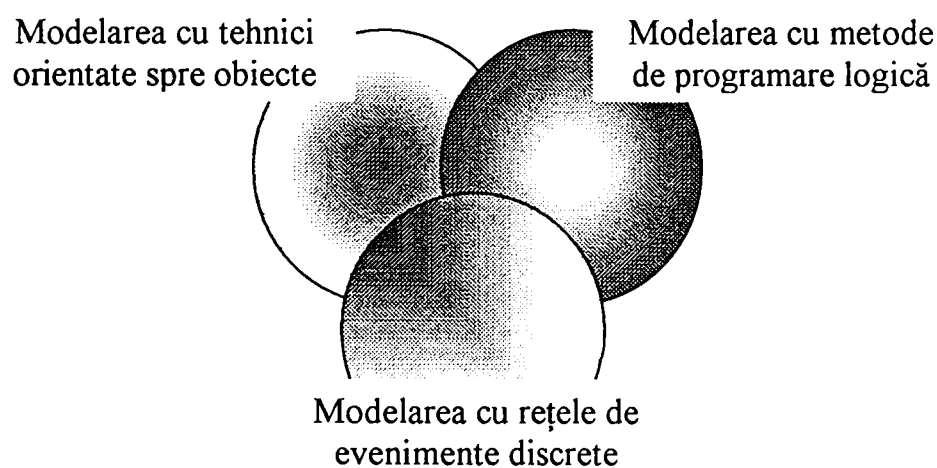
---



definesc obiectul. Baza de cunoștințe din care fac parte obiectele este organizată pe clase ierarhice. Comunicarea dintre obiectele din clase diferite se face prin transferul unor mesaje. Mesajele de comandă nu spun nimic despre felul cum trebuie îndeplinită o a numită sarcină, ci doar care este aceasta. Această paradigmă a transferului de informație dintre obiectele aparținând diferitelor clase conferă modularitate sistemului și îl apropie de modul natural de structurare a cunoștințelor într-un sistem cu inteligență umană.

*Programarea logică* are la bază observația unor cercetători că logica simplă sau cel puțin o parte a ei poate fi folosită ca un limbaj de programare. Logica are o interpretare procedurală, care o face adecvată pentru un limbaj în care propozițiile logice pot fi utilizate ca definiții sau apeluri de proceduri. Cel mai cunoscut limbaj de acest gen este limbajul PROLOG.

Intr-o aplicație reală de modelare pentru un sistem cu comportament complex care presupune luarea unor decizii folosind baze de cunoștințe, este nevoie să fie utilizate atât metodele modelării dinamice cu ajutorul rețelelor discrete, cât și metodele orientate pe obiecte cu avantajele transferului ierarhic de informații între clase, alături de metodele programării logice, care permite modelarea luării deciziei în condiții cât mai apropiate de lumea reală. Schema acestui mod de rezolvare a modelării apare în Figura 2.2-1.



**Figura 2.2-1**

În zona comună dintre cele trei cercuri s-au dezvoltat o serie de tehnici de programare care conțin elemente de inteligență artificială, cum ar fi CAYENE [Ruiz-Mier, S., Talavage, J., 1989] sau PROSS [O'Keefe M., R., 1989].

Problema principală care apare la modelarea cu metoda rețelelor de evenimente discrete sau cu metodele orientate pe obiecte este *problema luării deciziilor în sistem*. O soluție interesantă în acest sens este prezentată în [Hietiko, E., 1996], unde deciziile în proiectarea unor componente specifice se iau folosind așa-zisa "*probabilitate subiectivă*",

---

adică o probabilitate care măsoară încrederea individuală, personală, în evenimentul considerat adevărat. Acest concept este implementat în proiectare cu ajutorul teoremelor lui Bayes. Multe lucrări de referință în domeniul modelării cu elemente de inteligență artificială au folosit de asemenea acest concept [Kaplan, S., Keter, A., Epstein, S., A., ș.a., 1990, Shu, H., 1990]. În capitolul 5 vor fi prezentate principalele elemente teoretice legate de utilizarea teoremelor lui Bayes, precum și exemple de utilizare pentru domeniul sistemelor flexibile de fabricație. Pe baza acestui concept s-a încercat și s-au obținut rezultate apreciable în domeniul *rutării dinamice* într-un sistem de fabricației pe baza unor criterii de decizie “on-line”.

După cum s-a văzut anterior, “*simularea*” este procesul de transfer al modelului în lumea reală, adică reproducerea condițiilor de transformări de stare ce apar în realitate. Pașii principali în *desfășurarea simulării dinamice* [Rumbaugh, J., Blaha, M., ș. a., 1991, pag. 215 și urm.] sunt:

- *identificarea actorilor simulării*, cum ar fi procesele sau obiectele care sunt luate în considerare și cărora li se modifică în timp proprietățile;
- *identificarea evenimentelor discrete* și a succesiunii lor în timp;
- *identificarea dependențelor continue de timp* a evenimentelor și proceselor și actualizarea periodică a valorilor parametrilor;
- *definirea buclei de timp* a simulării.

Ca *suport al simulării* se folosește de obicei un program de calcul implementat cu ajutorul unui limbaj. Limbajele utilizate frecvent sunt cele din grupa ML (Meta Languages) pentru folosirea modelelor cu rețele discrete, limbajele C++ sau VisualC++ pentru modelarea orientată pe obiecte și limbajele inteligenței artificiale (limbaje logice de tip PROLOG) pentru simularea logică. Indiferent ce limbaj se va folosi, programul de calcul trebuie să conțină un *editor* care să permită crearea modelului. Funcțiile principale ale editorului, așa cum rezultă ele din [Rumbaugh, J., Blaha, M., ș. a., 1991, pag. 6 și urm.] sunt următoarele:

- crearea *modelului static* cu obiecte;
- crearea *modelului dinamic* prin definirea comportamentului în timp al modelului static;
- crearea *modelului funcțional* prin reprezentarea transformărilor valorilor parametrilor din sistem, sub forma unor diagrame de flux de date care conțin noduri (proces) și arce (fluxuri de date).

Din multitudinea de metode de modelare și de simulatoare existente în practica de proiectare curentă, un grup important îl constituie cele bazate pe metoda grafurilor. Foarte

---

---

---

multe aplicații ingineresti au fost rezolvate cu ajutorul acestor metode, mai ales după apariția în 1962 a rețelelor Petri. Printre acestea se numără studiul protocoalelor de comunicare în rețelele de calculatoare, sisteme de calcul cu mai multe microprocesoare, studiul rețelelor neuronale, linii și sisteme de producție, dar mai ales sisteme flexibile de fabricație. De ce sunt rețelele Petri atât de larg utilizate la analiza și modelarea sistemelor de fabricație flexibilă? Iată câteva dintre argumente, așa cum rezultă ele din [Hrúz, B., 1995] :

- posibilitatea efectivă de a modela interdependența dintre evenimente;
- posibilitatea de a modela concurența și sincronizarea evenimentelor;
- gradul înalt de generalitate al metodei.

### 2.3. Modelarea și simularea ca etape ale proiectării sistemelor de fabricație

Obiectul acestui paragraf îl constituie analiza procesului de proiectare a unui sistem de fabricație în scopul identificării locului ocupat de activitățile de modelare și de simulare în cadrul acestuia. Pe baza teoriei sistemelor prezentată parțial în capitolul anterior, sistemele de fabricație fac parte din categoria *sistemelor dinamice cu evenimente discrete* (SDED). Iată în continuare câteva din motivele care stau la baza afirmației de mai sus. Mai întâi se constată că *un sistem flexibil are în componență echipamente diferite*, de genul centrelor de prelucrare sau a mașinilor unelte cu comandă numerică, roboți industriali, sisteme de transport și de depozitare a materialelor, toate fiind dispuse aleator în spațiul de lucru pentru diverse layout-uri. În plus, *fiecare componentă a sistemului îndeplinește în mod individual un anumit program de lucru* localizat la acel nivel. Toate aceste programe, în fapt succesiuni de evenimente discrete, *se înlănțuiesc într-un sistem coerent*, pe baza unei logici implementate la nivelul programului general de conducere al sistemului.

În continuare sunt prezentate câteva dintre evenimentele care se produc într-un sistem flexibil, toate fiind marcate cu un început și un sfârșit, deci cu un comportament discret în timp:

- intrarea în sistem a unui nou semifabricat;
  - transferul unui semifabricat, piesă sau produs de la un post de lucru la altul;
  - prelucrarea unei piese sau produs;
  - testarea/măsurarea unei piese sau produs;
  - ieșirea din sistem a unui produs;
  - eliminarea din sistem a deșeurilor, a reziduurilor sau a rebuturilor.
- 
-

Începutul sau sfârșitul unei operații este un *eveniment* în urma căruia starea sistemului se schimbă. *Starea momentană* a sistemului este constituită de desfășurarea unei operații (sistemul este în starea de transfer a unei piese de la unitatea 1 la 2, sau sistemul este în starea de prelucrare a unei piese pe mașina 3, etc.).

Pentru a putea preciza cu mai mare exactitate rolul pe care îl are modelarea și simularea în proiectarea unui sistem flexibil de fabricație este necesar să se facă unele precizări în legătură cu diversele moduri de organizare a producției, așa cum pot fi ele întâlnite în peisajul industrial al zilelor noastre. Un răspuns la întrebarea "*de ce este necesară organizarea producției sub formă de sistem flexibil?*" poate fi extras din analiza diagramei prezentată în continuare. Aceasta este răspândită pe scară largă în literatura de specialitate și redă domeniile de aplicabilitate ale diverselor moduri de organizare a producției de bunuri materiale în funcție de varietatea de repere și de seria de fabricație.

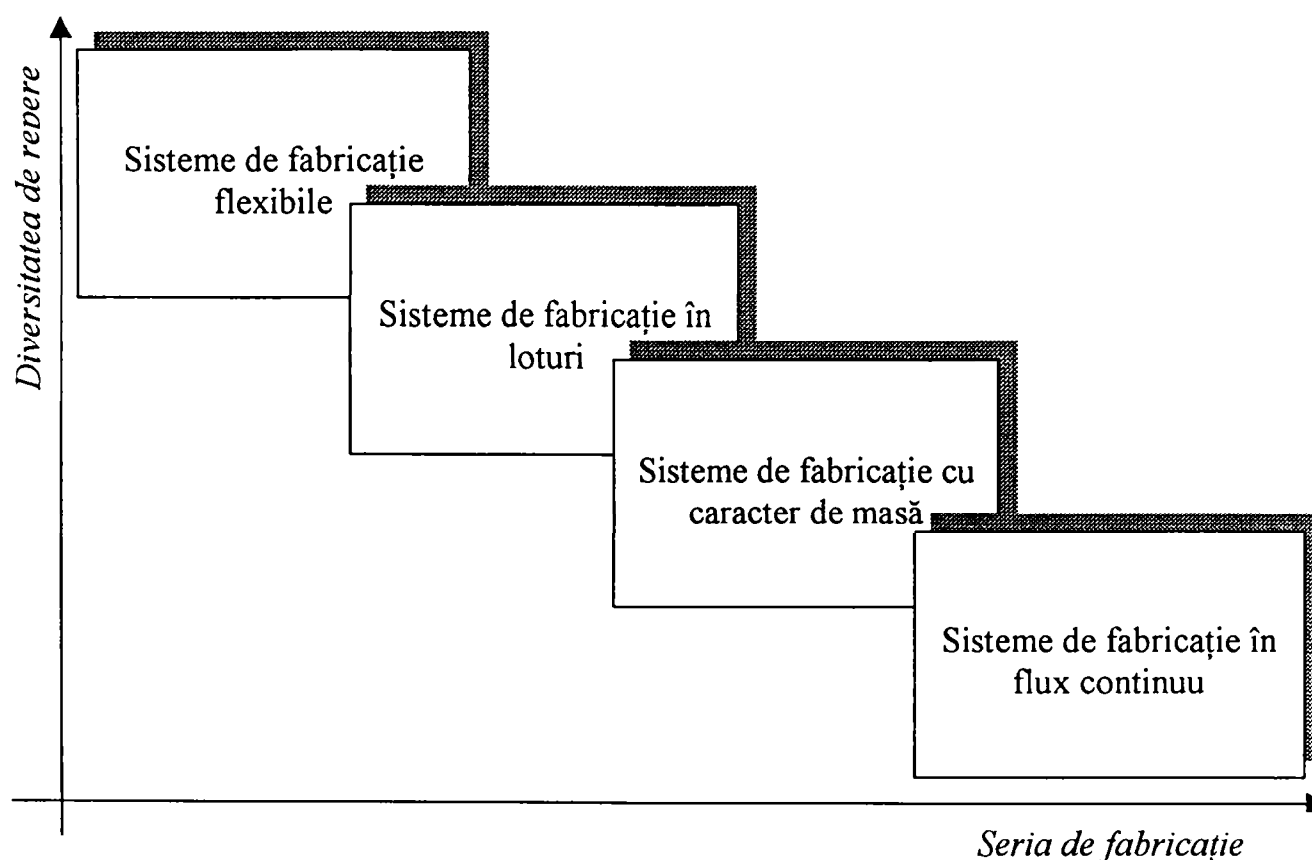
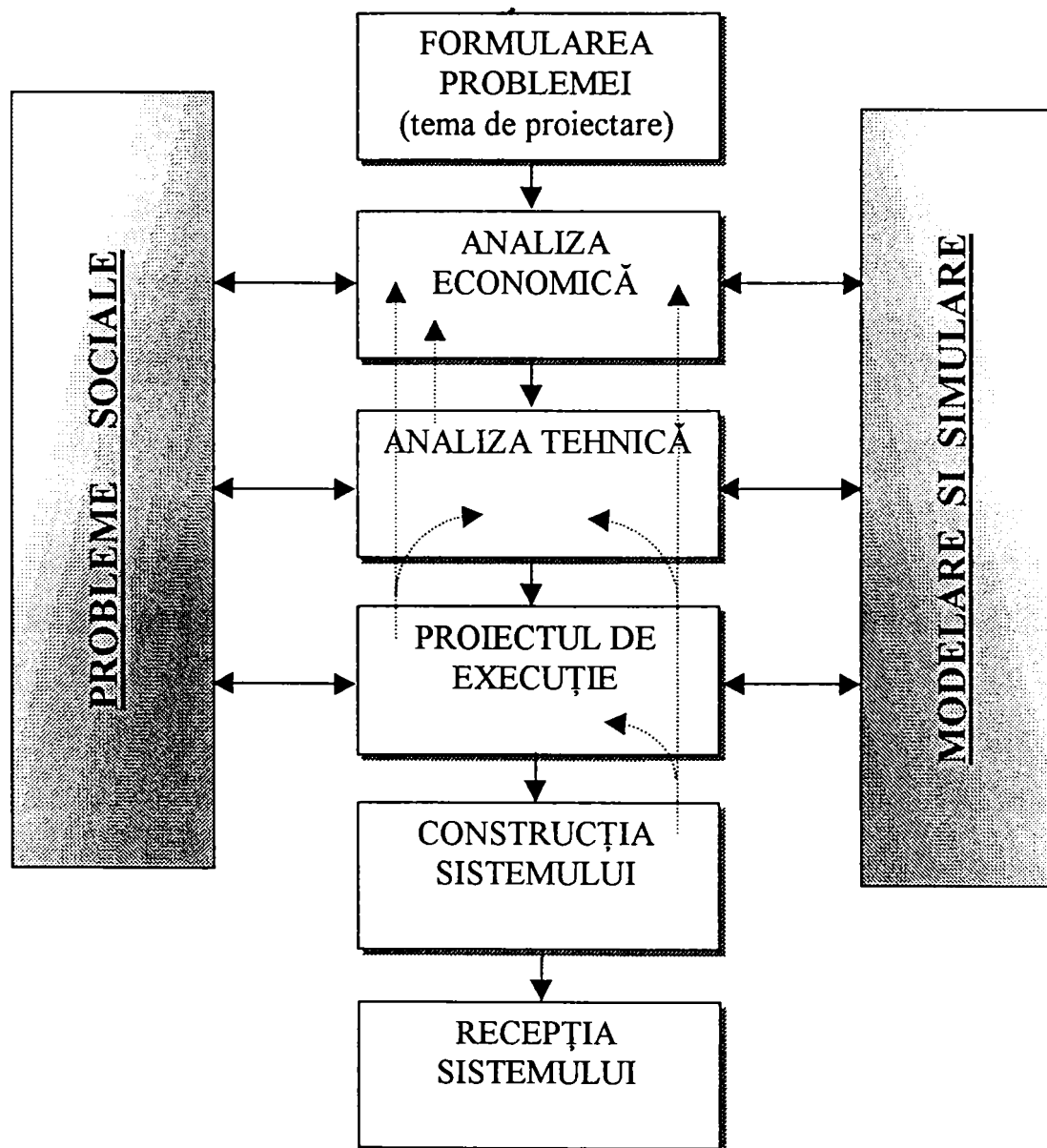


Figura 2.3-1

Este evident faptul că atunci când este vorba de serii mici de fabricație, cu o diversitate mare de repere, cel mai indicat mod de organizare al producției îl constituie organizarea sub formă de *sisteme flexibile*. Acest mod de organizare fundamental nou, atât ca și concepție cât și ca echipamente și utilaje folosite, vine în întâmpinarea cerințelor impuse de piață, care stabilește un ritm deosebit de intens în relația dintre producător și cumpărător, iar "câștigătorul" acestei curse este acel producător care poate oferi cu maximă promptitudine, cu costuri minime și la

parametrii calitativi ridicați ceea ce piața pretinde uneori chiar cu rang de unicat! La polul opus se situează organizarea producției sub formă de *fluxuri de fabricație*, caz în care nu poate fi vorba de nici un fel de flexibilitate, varietatea de repere este practic nulă, iar seria de fabricație este infinită. În acest caz se prelucrează de fapt un singur tip de reper, iar trecerea la un alt tip ar presupune mari cheltuieli de pregătire.

În faza de proiectare a unui sistem flexibil de fabricație, un rol important revine *modelării și simulării* ca instrumente de validare prealabilă a unui nou sistem, înainte de efectuarea unor investiții. Locul modelării și al simulării în proiectarea unui sistem nou este redat în diagrama din Figura 2.3-2.



**Figura 2.3-2**

Analizând diagrama prezentată se pot evidenția o serie de aspecte relativ la interdependența diverselor etape de realizare a unui sistem de fabricație. Primul pas în ierarhia deciziei îl constituie *analiza economică* a noului sistem. Aceasta poate releva o eventuală incompatibilitate între necesitățile tehnologice și de modernizare ale producției și resursele

---

materiale ale întreprinderii. De asemenea, în această etapă se impune precizarea limitelor financiare între care trebuie să se încadreze noua investiție.

Odată depășită această etapă se poate trece la *analiza tehnică* a sistemului ce se intenționează a fi realizat. Elementele de studiat în această fază sunt resursele tehnice existente în întreprindere și care pot fi înglobate în noul sistem, schema de amplasament a utilajelor (layout), schemele de transport, ciclogramele de funcționare pentru diverse tipuri de repere ce se fabrică în sistem, lista utilajelor noi ce vor trebui achiziționate. Toate aceste elemente vor fi în mod obligatoriu corelate cu aspectele financiare.

Etapa următoare se referă la *elaborarea proiectului de execuție* al noului sistem, pe baza analizelor de preț și a soluțiilor preconizate în etapele anterioare. Soluția finală care va sta la baza construcției noului sistem va determina și unele reajustări ale soluțiilor tehnice și financiare din etapele anterioare, închizând astfel o buclă de reacție.

*Aspectele sociale* ale elaborării unei noi organizări de producție sunt din ce în ce mai importante în condițiile actuale. Atitudinea oamenilor implicați în noua schemă de organizare, atât a celor disponibilizați cât și a celor reintegrați, poate fi decisivă pentru succesul noului proiect. Noile sisteme de organizare ale producției au în centrul lor omul, ambianța locului de muncă și calitatea mediului ambiant. Atitudinea conștient-pozitivă a operatorilor umani integrați într-un sistem de fabricație flexibilă se obține de obicei prin tratarea cu maxim interes a acestor aspecte de ordin social.

La acest nivel de elaborare al proiectului unui sistem de fabricație flexibilă apare necesitatea de a utiliza *tehnicele de modelare și simulare*, care pot valida sau invalida diversele soluții posibile pe baza criteriilor pur tehnice sau a celor tehnico-economice. Marele avantaj al tehnicilor de modelare și simulare este tocmai posibilitatea pe care o oferă de a testa noul sistem înainte de a începe execuția lui efectivă, deci înainte de a cheltui orice resurse materiale sau financiare. *Modelarea și simularea ca un proces unic de investigație*, are conexiuni atât cu aspectul financiar al problemei cât și cu aspectele tehnice și constructive. În general tehnicile moderne de modelare permit evidențierea unor concluzii globale legate de funcționarea sistemului, concluzii care au un caracter complex, tehnico-economic. Sub forma unor diagrame sau histograme sugestive pot fi apreciate toate elementele de performanță ale sistemului și pot fi dezvoltate diverse studii comparative între soluțiile posibile din punct de vedere tehnico-economic, cu scopul de a elabora o soluție optimă pe baza unui sistem de criterii.

O tendință actuală în abordarea formelor de organizare a producției de bunuri materiale și în general a fabricației de produse diverse, o constituie complexul de noțiuni și

---

idei organizate în jurul conceptului de "inginerie concurentă". Diversificarea procesului de producție, integrarea lui tot mai accentuată în sistemul general de antreprenariat, alături de aspectele economice, financiare, de marketing, de prognoză, fiabilitate și mentenanță, service și comportament în timp al produselor, este ceea ce marchează în aceste momente evoluția sistemelor industriale. Din ce în ce mai mulți autori se preocupă de aceste noi aspecte ale integrării procesului de fabricație în modul general de dezvoltare al unei întreprinderi [vezi Hietiko, E., 1996].

Locul pe care îl ocupă sistemul de fabricație în conceptul general de "inginerie concurentă" este prezentat în diagrama din figura următoare [Viswanadham, N., Narahari, Y., 1992, figura 2.4].

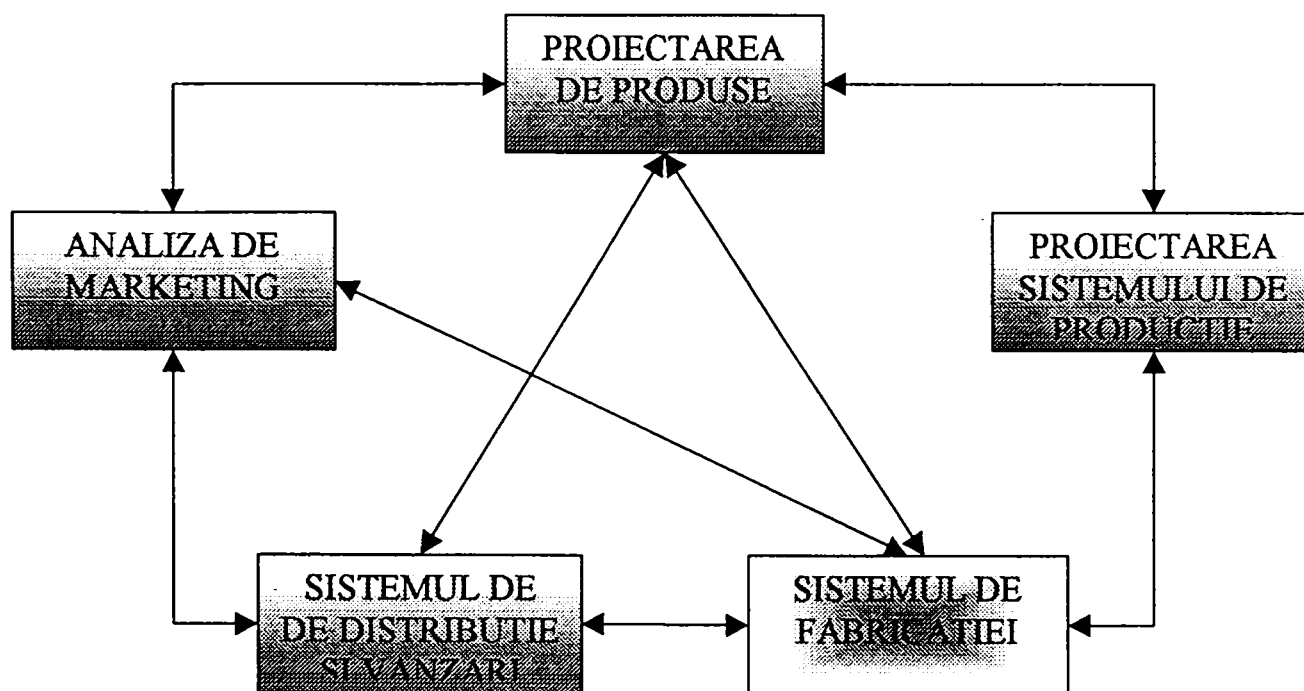


Figura 2.3-3

Analizând această diagramă, se pot observa legăturile bilaterale pe care le are sistemul de fabricație cu toate componentele sistemului antreprenorial. În condiții de concurență acerbă, când nevoile pieței trebuie să fie satisfăcute prompt și în cel mai înalt grad, sistemul de fabricație trebuie să poată să se adapteze în timp real. Fluxurile de informație care se constituie între elementele sistemului asigură coeziunea și coerența acestuia. Problema deciziei într-un astfel de sistem devine și mai complexă, modelarea și simularea având astfel un rol mult mai important.

## 2.4. Modele de analiză a performanțelor tehnice ale sistemelor de fabricație

*Optimizarea funcționării* unui sistem de fabricație poate fi realizată prin minimizarea următorilor parametri:

- timpul total de îndeplinire a tuturor sarcinilor de lucru;
- cantitatea de șpan produs într-un interval de timp în condiții de îndeplinire a sarcinilor de lucru;
- timpul de trecere a unui reper prin sistem;
- numărul de sarcini (task) ce sunt active în sistem la un moment dat;
- întârzierea medie a execuției sarcinilor de lucru.

Aceste criterii de minim se pot constitui în grupuri pentru aprecierea mai fidelă a comportării sistemului, diverse procedee euristice folosind la determinarea unor soluții optime.

Performanțele unui sistem în exploatare pot fi apreciate și prin alte criterii referitoare la *eficiență și productivitate*:

- rata de fabricație (reper/oră);
- coeficientul de utilizare al mașinilor;
- probabilitatea ca o mașină să fie blocată cu piese sau complet neîncărcată;
- numărul prezumtiv de piese dintr-un buffer.

### 2.4.a Lanțuri Markov

Un model Markov este format dintr-un sistem exhaustiv de stări discrete, care descrie toate stările posibile ale sistemului. Între două stări “i” și “j” poate avea loc o tranziție cu probabilitatea “ $p_{ij}$ ”.

Starea unui sistem de fabricație format din două mașini și un buffer poate fi analizată pe baza schemei din figura următoare.

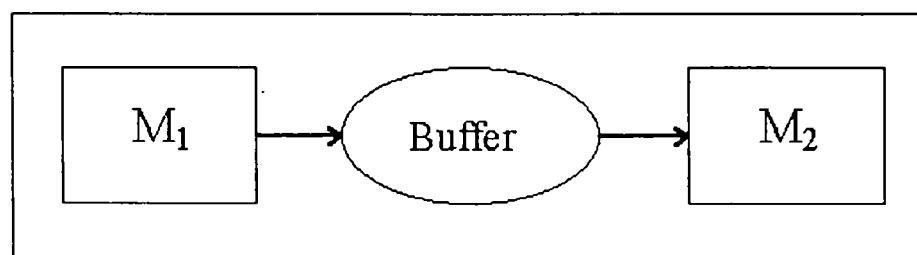


Figura 2.4-1



Parametrii prin care pot fi caracterizate *performanțele unei mașini* integrate într-un sistem de fabricație pe durata unui schimb de lucru sunt:

- timpul de lucru efectiv;
- timpul de reglaj;
- timpul de reparații.

Aceste valori pot fi deterministe sau aleatoare. Schimbările de stare ce apar în interiorul sistemului pot fi declanșate instantaneu, la un anumit moment, caz în care se vorbește de *lanțuri Markov cu stări discrete și cu tranziții discrete*, sau se pot dezvolta în intervale de timp în mod continuu, caz în care se vorbește despre lanțuri Markov provenind din *procese continui*.

Pentru a modela starea sistemului din Figura 2.4-1 se va folosi parametrul de stare “s” de valoare:

$$s = (n, \alpha_1, \alpha_2) \quad (2.4-1)$$

În această relație, “ $\alpha_1$ ” și “ $\alpha_2$ ” sunt stările posibile ale celor două mașini, iar “n” este numărul de elemente din buffer adunat cu numărul de piese din mașina 2, ceea ce reprezintă numărul de piese “în ciclu” la un moment dat.

Stările celor două mașini dau următoarele valori parametrului “ $\alpha$ ”

$$\alpha_i = \begin{cases} 1 & \text{daca masina este activa} \\ 0 & \text{daca masina este in reparatie} \end{cases} \quad (2.4-2)$$

#### 2.4.a.a. Lanțuri Markov pentru transformări discrete

Sistemul se poate afla la un moment dat în una din stările  $s_1, s_2, s_3, s_4, \dots, s_m$ . Acest set de parametrii de stare este exhaustiv și exclusiv mutual, în sensul că el conține toate stările posibile ale sistemului, fără să existe două elemente “ $s_i$ ” identice. Pentru a aprecia șansele sistemului de a ajunge dintr-o stare în alta se folosește noțiunea de “*probabilitate a tranziției*”. Sistemul poate trece din starea “i” de la timpul “k-1” în starea “j” de la timpul “k” în concordanță cu un set de probabilități “ $p_{ij}$ ”.

$$p_{ij} = P[s_j(k) | s_i(k-1)] \quad i \leq i, j \leq m \quad (2.4-3)$$

Condiția ca lanțul Markov să fie cu stări discrete se poate formula în felul următor:

$$P[s_j(k) | s_a(k-1), s_b(k-2), s_c(k-3)...] = P[s_j(k) | s_a(k-1)] \quad (2.4-4)$$

Din analiza acestei relații se poate deduce că probabilitatea de a ajunge din starea “a” în starea “j” trecând prin stările “b”, “c”, etc., este egală cu probabilitatea de trecere directă din starea “a” în starea “j”, cu alte cuvinte sistemul nu are memorie și toate stările de dinaintea stării “a” nu au nici o relevanță pentru trecerea sistemului în starea “j”.

De cele mai multe ori, în practică, probabilitatea ca sistemul să treacă dintr-o stare în alta parcurgând un număr “n” de pași nu depinde de momentul “t” de plecare. Acest lucru este exprimat de relația

$$p_{ij}(t, t+n) = p_{ij}(n) \quad (2.4-5)$$

Probabilitățile “ $p_{ij}$ ” pentru un sistem cu “m” stări posibile se pot ordona într-o *matrice a probabilităților tranzițiilor unitare de stare* “P”, unde suma probabilităților pe fiecare linie va fi 1, iar probabilitățile vor fi independente de timpul “k” la care apare tranziția:

$$P = \begin{pmatrix} P_{11} & P_{12} & P_{1m} \\ P_{21} & P_{22} & P_{2m} \\ P_{m1} & P_{m2} & P_{mm} \end{pmatrix} \quad (2.4-6)$$

Pe baza ecuației Chapman – Kologorov [vezi Viswanadham, N., Narahari, Y., 1992, pag. 188 și urm.] se poate calcula probabilitatea tranzițiilor compuse:

$$p_{ij}(m+n) = \sum_{k \in S} p_{ik}(m) p_{kj}(n) \quad (2.4-7)$$

Pornind de la această relație se poate deduce faptul că matricea de probabilitate după “k” tranziții este egală cu puterea “k” a matricii de probabilitate a tranzițiilor unitare. Ecuația următoare exprimă această concluzie:

$$P(k) = P(0)P^k \quad k = 0, 1, 2, \dots \quad (2.4-8)$$

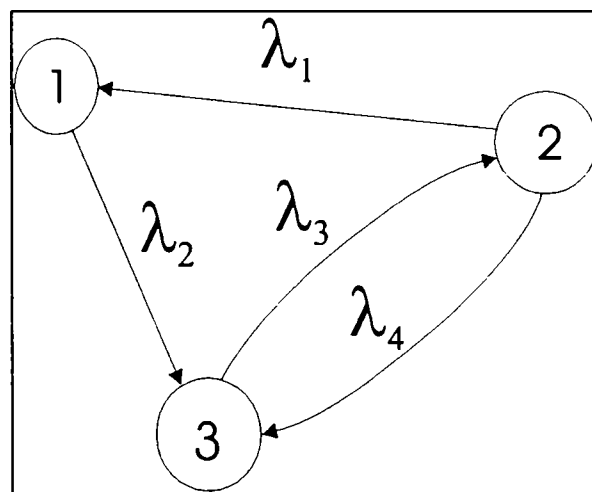
În această relație  $P(0)$  este matricea probabilităților tranzițiilor unitare la momentul “0”.

#### 2.4.a.b. Lanțuri Markov pentru transformări continue

De cele mai multe ori tranzițiile dintr-un sistem de fabricație, erorile de prelucrare sau defecțiunile utilajelor intervin la intervale neregulate de timp, distribuite aleator, ceea ce face

necesară luarea în considerare a comportamentului continuu al sistemelor, în locul comportamentului discret. Lanțurile Markov de timp continuu folosesc noțiunea de *coeficient de tranziție*, în locul noțiunii de probabilitate a tranziției. Prin definiție, *coeficientul de tranziție* “ $a_{ij}$ ” reprezintă rata sau proporția tranzițiilor din starea “i” în starea “j”. Pentru procese stabile, coeficientul de apariție al unei stări este egal cu coeficientul de dispariție al acesteia, (coeficientul de reversie) ( $a_{ij} = a_{ji}$ ) pe această bază putându-se scrie ecuațiile globale de echilibru ale sistemului. Coeficientul de tranziție se exprimă printr-un produs dintre probabilitatea de apariție a stărilor stabile “ $p_i$ ” și un coeficient de pondere  $\lambda_i$ .

Noțiunile de mai sus vor fi exemplificate pe un sistem model, cu trei stări, conform schemei din Figura 2.4-2.



**Figura 2.4-2**

Ecuațiile globale de echilibru ale acestui sistem în ipoteza stabilității vor fi următoarele:

$$\begin{cases} \lambda_2 p_1 = \lambda_1 p_2 \\ \lambda_1 p_2 + \lambda_4 p_2 = \lambda_3 p_3 \\ \lambda_3 p_3 = \lambda_4 p_2 + \lambda_2 p_1 \end{cases} \quad (2.4-9)$$

Este evident că suma probabilităților de stare va trebui să fie egală cu unitatea, deci:

$$p_1 + p_2 + p_3 = 1 \quad (2.4-10)$$

Dacă se notează cu “ $\pi$ ” matricea probabilităților, sistemul de mai sus se poate scrie sub forma:

$$\pi \begin{bmatrix} -\lambda_2 & 0 & \lambda_2 \\ \lambda_1 & -(\lambda_1 + \lambda_4) & \lambda_4 \\ 0 & \lambda_3 & -\lambda_3 \end{bmatrix} = 0 \quad (2.4-11)$$

Rezolvând acest sistem în raport cu “ $\pi$ ” se pot deduce o serie de informații cu privire la performanțele sistemului, cum ar fi productivitatea acestuia, gradul de utilizare al mașinilor, numărul probabil de piese din buffer, etc.

#### 2.4.b Rețele de șiruri de așteptare

Pentru a identifica și detalia principalele elemente ale unei rețele de șiruri de așteptare, să considerăm următorul exemplu: rețeaua este formată din “ $N$ ” noduri sau posturi de lucru (mașini unelte, buffere, transportoare, puncte de măsurare, etc.), starea rețelei la un moment dat este descrisă de vectorul  $k=(k_1, k_2, k_3, \dots, k_N)$ , unde “ $k_i$ ” este numărul de clienți (piese) la postul respectiv.

Rata de sosire a pieselor în sistem “ $\lambda$ ” depinde de numărul total de piese din sistem și este 0 dacă acest număr depășește o anumită valoare “ $k_0$ ” considerată numărul maxim de piese pe care îl poate accepta sistemul. Se poate afirma deci că numărul total de piese din sistem, “ $K$ ”, va fi:

$$K = \sum_{i=1}^N k_i$$

( 2.4-12 )

Rata de ieșire a pieselor din sistem “ $\mu$ ”, depinde de regulă de indicele “ $n$ ” al postului din rețea și de mărimea șirului de așteptare aferent acestuia, sub forma  $\mu = \mu(n, k_n)$ ,  $n=1, \dots, N$ .

Deplasarea pieselor prin rețea este modelată sub forma unui parcurs aleator între diversele posturi de lucru, trecerea unei piese de la postul “ $i$ ” la “ $j$ ” fiind caracterizată de probabilitatea “ $p_{ij}$ ” (vezi Figura 2.4-3). Matricea  $R = r(i, j)$ , unde  $i=0, \dots, N$  și  $j=1, \dots, N+1$  este matricea de rutare a sistemului.

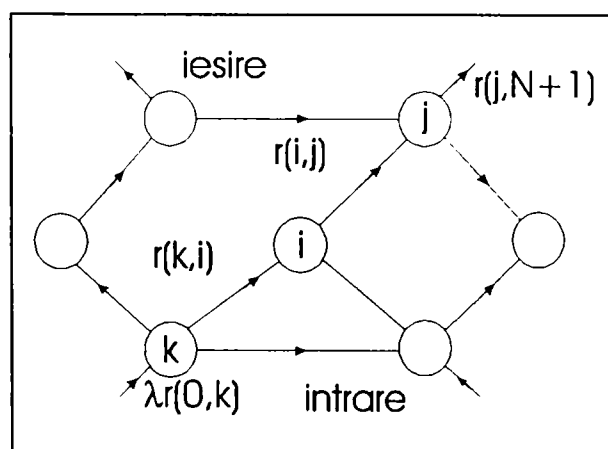


Figura 2.4-3

Pornind de la *regula de conservare a fluxului de piese*, care afirmă că numărul de piese care intră într-un nod este egal cu numărul de piese care iese din acel nod (sub aspect material) după prelucrare, se poate determina numărul de piese ce tranzitează nodul "l" cu relația:

$$T_l = \lambda r(0,l) + \sum_{j=1}^N r(j,l) T_j \quad (2.4-13)$$

În această relație "r(0,l)" este probabilitatea ca postul "l" să fie primul din rețea, iar "T<sub>j</sub>" este tranzitul de piese prin postul "j". După cum se afirmă în [Hauke Jungnitz, Alan Desrochers, 1991, pag. 74] o soluție stabilă a acestei probleme este de forma:

$$\pi(\bar{k}) = \prod_{i=1}^N f_i(k_i) \quad (2.4-14)$$

unde  $f_i(k_i)$  este probabilitatea de a găsi "k<sub>i</sub>" repere într-un șir de așteptare la postul "i".

Un domeniu de perspectivă aparținând rețelelor de șiruri de așteptare îl constituie situația în care reperul sau piesa prelucrate în sistem își schimbă calitatea pe durata tranzitului, obținându-se astfel mai multe repere, de tip diferit, cu trasee distincte în interiorul rețelei. Probleme de acest gen au fost abordate de Baskett, Muntz și Palacios.

#### 2.4.c Rețele Petri stocastice generalizate

Rețeaua Petri este un graf format din două tipuri de elemente: *poziții și tranziții*. Pozițiile sunt elementele rețelei care reprezintă (modelează) condițiile necesare pentru declanșarea unui anumit eveniment, iar tranzițiile modelează evenimentele care se produc la îndeplinirea anumitor condiții reprezentate de pozițiile de pe arcele de intrare. Relațiile dintre poziții și tranziții sunt reprezentate prin arcele orientate ale grafului [Francisc Kovacs, Sanda Grigorescu, Cornel Rădulescu, 1994, pag. 148 și urm.]

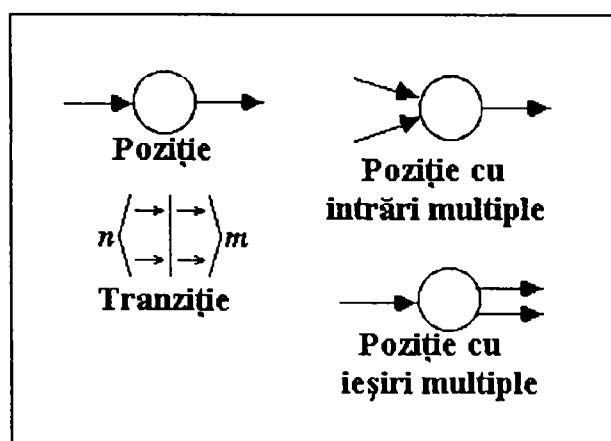


Figura 2.4-4

În Figura 2.4-4 sunt reprezentate pozițiile și tranzițiile din rețea așa cum apar ele schematic în graful de descriere a rețelei. [în Douglas Lyon, 1996, pag. 3 și urm.]

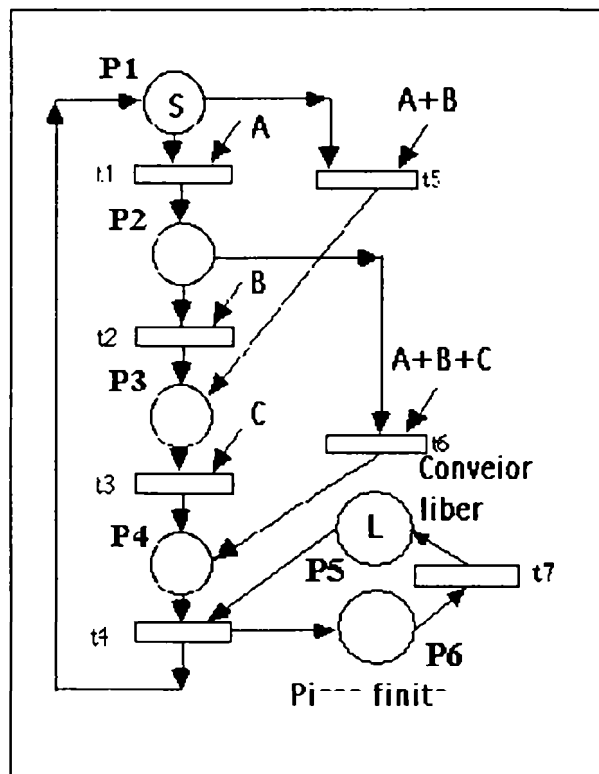


Figura 2.4-5

Relațiile care se stabilesc între poziții și tranziții pot fi reprezentate și printr-un tabel sintetic, ale cărui avantaje se remarcă în procesul de calcul. Fie de pildă rețeaua Petri din figura alăturată, care modelează funcționarea unui automat de asamblare. Acesta realizează montarea pe un șasiu "S" a unui sistem de trei piese notată cu A, B și C. Piesele pot fi adăugate pe rând sau în grupuri de câte două, astfel încât în final să se obțină sistemul "S+A+B+C". Pentru a putea trece la pasul următor, echivalent cu adăugarea unei noi piese a ansamblului existent la un moment dat, trebuie mai întâi ca procesul să fie inițializat. La nivelul fiecărei poziții se cercetează componența

ansamblului existent, după care se produce tranziția spre poziția următoare, unde se verifică din nou componența ansamblului și tot așa, până când se obține totalul de piese care va declanșa tranziția de evacuare a ansamblului din sistem cu condiția să existe un conveior liber. Aceste activități sunt sintetizate în Tabelul 2.4-1.

Intr-un mod mai general [în Hauke Jungnitz, Alan Desrochers, 1991, pag. 76 și urm.] se definește o rețea Petri ca un graf reprezentat printr-un cvadruplu  $N=(P, T, I, O)$ , unde:

- $P=\{p_1, p_2, \dots, p_r\}$  este un set de poziții;
- $T=\{t_1, t_2, \dots, t_q\}$  este un set de tranziții (sau bare);
- $I: P \times T \rightarrow \mathbb{N}$  ( $\mathbb{N}$  este mulțimea numerelor naturale) este o funcție de intrare (input) care definește mulțimea arcelor orientate de la P la T;
- $O: T \times P \rightarrow \mathbb{N}$  este o funcție de ieșire (output), care definește mulțimea arcelor orientate de la T la P.

Mulțimile P și T sunt disjuncte, deci  $P \cap T = \emptyset$ . Arcele orientate pot avea gradul de multiplicitate mai mare ca unitatea, în acest caz se spune că rețeaua Petri este cu arce multiple.

Tabelul 2.4-1

Conținut	Poziția	Decizie	Tranziție	Acțiune	Poziția următoare
S	P1	A	t1	S+A	P2
S	P1	A+B	t5	S+A+B	P3
S+A	P2	B	t2	S+A+B	P3
S+A	P2	B+C	t6	S+A+B+C	P4
S+A+B	P3	C	t3	S+A+B+C	P4
S+A+B+C	P4	Conv. liber	t4	Evacuare ans.	P6, P1
Ansamblu	P6	Evacuare	t7	Eliberare conv.	P5
S	P1	A	t1	S+A	P2

Îndeplinirea condițiilor de realizare a unui eveniment (tranziție) este simbolizată prin prezența unui jeton (marcaj) peste poziția de origine sau de intrare. Dacă rețeaua este cu arce multiple și marcajele pot fi multiple, ceea ce conduce la *definiția generală a marcajului* ca o funcție definită pe mulțimea pozițiilor P, cu valori în mulțimea numerelor naturale,  $M : P \rightarrow \mathbb{N}$ .

Pentru o anumită stare a sistemului, marcajul poate fi definit ca un vector ce conține toate seturile de jetoane din cele "r" poziții din graf  $M=(M(p_1), M(p_2), \dots, M(p_r))$ . După executarea unei tranziții marcajul dintr-o poziție dată "p<sub>i</sub>" se va schimba după regula:

$$M_1(p_i) = M_0(p_i) + O(t_j, p_i) - I(p_i, t_j)$$

( 2.4-15 )

Se pot defini două matrici de dimensiune "r×q" care să descrie funcțiile de intrare, respectiv cele de ieșire. Matricea C<sup>-</sup> (matrice de intrare sau *matrice PRE*) conține în poziția "(i,j)" ordinul de multiplicitate al arcului ce leagă tranziția "j" de poziția de intrare "i". Matricea C<sup>+</sup> (matrice de ieșire sau *matrice POST*) conține în poziția (i,j) ordinul de multiplicitate al arcului ce leagă tranziția "j" de poziția ei de ieșire "i". Aceste matrici se numesc *matrici de marcaj*. Dacă marcajele dintr-o poziție oarecare a grafului au doar valorile 0 sau 1 (fiecare poziție conține cel mult un jeton), rețeaua se numește *rețea binară*. Cu ajutorul matricilor PRE și POST se poate calcula *matricea de incidență* "C" a unei tranziții:

$$C = C^+ - C^-$$

( 2.4-16 )

Pentru ca o rețea Petri să modeleze corect un proces de fabricație real, ea va trebui să îndeplinească unele *condiții de validare*.

O primă condiție este ca rețeaua să fie viabilă, adică să conțină numai tranziții viabile. Tranziția viabilă se definește ca fiind acea tranziție care se regăsește în orice secvență "S" de tranziții ce pornește de la o matrice de marcaj "M<sub>i</sub>" dată. Altfel spus, rețeaua este viabilă dacă pentru orice matrice de marcaj dedusă din cea de start după executarea unui număr de tranziții, există o succesiune de tranziții executabile, deci rețeaua nu se blochează.

O altă condiție necesară pentru existența și funcționarea unei rețele Petri este ca rețeaua să fie proprie (reinițializabilă), ceea ce înseamnă că din orice matrice de marcaj existentă la un moment dat să existe o secvență de tranziții care să conducă la matricea de marcaj inițială.

Ideea modelării evoluției sistemelor cu ajutorul rețelelor Petri este de a urmări mișcarea jetoanelor din poziții, deci de a urmări cum evoluează acestea după trecerea unei secvențe de tranziții. Dacă se definește un vector "y" care să conțină numărul de incidente ale tranzițiilor dintr-o secvență dată, atunci matricea de marcaj finală "M<sub>n</sub>" se poate obține din cea inițială "M<sub>0</sub>" cu ajutorul relației:

$$M_n = M_0 + C \cdot y \quad (2.4-17)$$

Problematika rețelelor Petri prezentată până la acest punct se bazează pe prezumția că tranzițiile se declanșează instantaneu atunci când sunt îndeplinite condițiile necesare, fără nici un fel de întârziere, după modelul sistemelor electronice. În realitate însă, mai ales când este vorba de sisteme mecanice, cu un timp de răspuns mai îndelungat, cum ar fi durata transportului unei piese dintr-un buffer la o mașină unealtă, sau durata prelucrării unui reper la un centru de prelucrare, timpul de realizare a unei tranziții nu mai poate fi ignorat. Se ajunge astfel la rețelele Petri temporale, la care tranzițiile se realizează în intervale de timp cu distribuție exponențială. Acest gen de distribuție de probabilitate este singurul care realizează condiția de independență față de trecut, adică probabilitatea de realizare a unei tranziții nu depinde de parcursul pe care l-a avut sistemul până în acel punct (vezi § 2.4.a). Funcția care modelează densitatea de probabilitate este de forma:

$$f(x) = \mu \exp(-\mu x) u(x) \quad (2.4-18)$$

unde  $u(x)$  este funcția treaptă.

În practică se întâlnesc de obicei situații complexe, când unele tranziții au caracter atemporal, deci se produc instantaneu, iar altele au caracter temporal. Pe graficul rețelei arcele temporale se vor desena cu linie întreruptă. În abordarea acestor situații se pune problema de a găsi densitatea de probabilitate a producerii fiecărei tranziții, pornind de la un set de



parametrii de calcul cu caracter de coeficienți de pondere  $W=(\omega_1, \omega_2, \omega_3, \dots, \omega_r)$  referitor la cele “r” tranziții posibile, precum și de la un set de coeficienți de prioritate ai tranzițiilor,  $R=(r_1, r_2, r_3, \dots, r_r)$ . Pe baza acestor elemente, cu ajutorul unor programe specializate, se pot deduce parametrii de performanță ai sistemului, cum ar fi rata de transfer, coeficienții de utilizare ai utilajelor, timpii de așteptare în buffere, etc.

#### 2.4.d Rețele Petri colorate

Pornind de la structura și proprietățile rețelelor Petri, se observă că în unele situații numărul de parametrii cu care operează acestea poate fi insuficient pentru modelarea completă a unui sistem flexibil. Operând doar cu marcajele de la nivelul pozițiilor și neluând în considerare diversele aspecte particulare ale realizării unei tranziții, aceste rețele nu pot cuprinde nuanțe de genul schimbărilor de scule, al defecțiunilor și reparațiilor de utilaje, etc. [în H. Alla, P. Ladet, 1986, pag. 271 și urm.]. Din acest motiv s-a impus dezvoltarea unui nou tip de rețele Petri, numite “*rețele Petri colorate*”, care se deosebesc de cele binare prin faptul că o poziție oarecare p[ poate conține jetoane de tipuri diferite, aceste tipuri fiind denumite “culori”. De aici provine și denumirea acestui nou tip de rețele. Acestea pot realiza mai multe genuri de utilități: modelare, verificare și simulare a unor sisteme de fabricație flexibilă, etc.

*Definiția formală* a unei rețele Petri colorate este:

$$N = (P, T, C, I, O, M_0)$$

( 2.4-19 )

unde P, T, I, O, au semnificațiile din definiția dată anterior. C(p) și C(t) sunt *seturi de culori (colors)* atribuite pozițiilor și tranzițiilor.  $M_0$  este marcajul inițial. *O tranziție este inițializată atunci când toate pozițiile de intrare ale ei conțin cel puțin atâtea jetoane din fiecare culoare câte sunt cerute de inscripțiile de pe arcele ei de intrare.* Astfel se declanșează tranziția respectivă care va determina modificarea numărului de jetoane ale pozițiilor de ieșire și ale celor de intrare în conformitate cu inscripțiile de pe arce. În acest fel se va ajunge la un nou marcaj. Analitic, condiția de validare a unei tranziții pentru o anumită culoare se poate scrie:

$$M(p)(c) \geq I(p, t)(c) \quad \forall p \in \mathfrak{N}$$

( 2.4-20 )

Un exemplu de *modelare* cu rețele Petri colorate îl constituie cazul unui buffer de piese diferite, care funcționează pe principiul FIFO (first in - first out). Graful rețelei poate fi observat în Figura 2.4-6, bufferul fiind dimensionat pentru “n” piese cu distribuția “ $m_j$ ”  $j \in [1, p]$ , “p” fiind numărul variantelor de repere diferite.

Setul de culori se poate exprima prin:

$$C = \{ \langle m_j, e_k \rangle \cup \langle m_j \rangle; k \in [1, n], j \in [1, p] \}$$

( 2.4-21 )

Un marcaj “ $e_k$ ” în poziția “ $G$ ” din șir înseamnă că poziția respectivă este neocupată ( $m_j = 0$ ). Dacă  $m_j \neq 0$  se poate afirma că în poziția respectivă există un marcaj, care poate determina o tranziție.

Se definesc funcțiile “ $u$ ” și “ $v$ ”, care atribuie fiecărui tip de produs poziția primă respectiv ultimă din șir, cu relațiile:

$$u : (m_j) \rightarrow \{ \langle m_j, e_1 \rangle \} / u(m_j) = \langle m_j, e_1 \rangle$$

$$v : (m_j) \rightarrow \{ \langle m_j, e_n \rangle \} / v(m_j) = \langle m_j, e_n \rangle$$

( 2.4-22 )

Se vor defini în continuare funcțiile “ $f$ ” și “ $g$ ”, care realizează testarea umplerii unui locaș din șir, respectiv avansul cu o poziție în șirul de produse:

$$f : \{ \langle m_j, e_k \rangle \} \rightarrow (e_k) / f(\langle m_j, e_k \rangle) = e_k, k \in [1, n]$$

$$g : \{ \langle m_j, e_k \rangle \} \rightarrow \{ \langle m_j, e_k \rangle \} / g(\langle m_j, e_k \rangle) = \langle m_j, e_{k+1} \rangle k \in [1, n - 1]$$

( 2.4-23 )

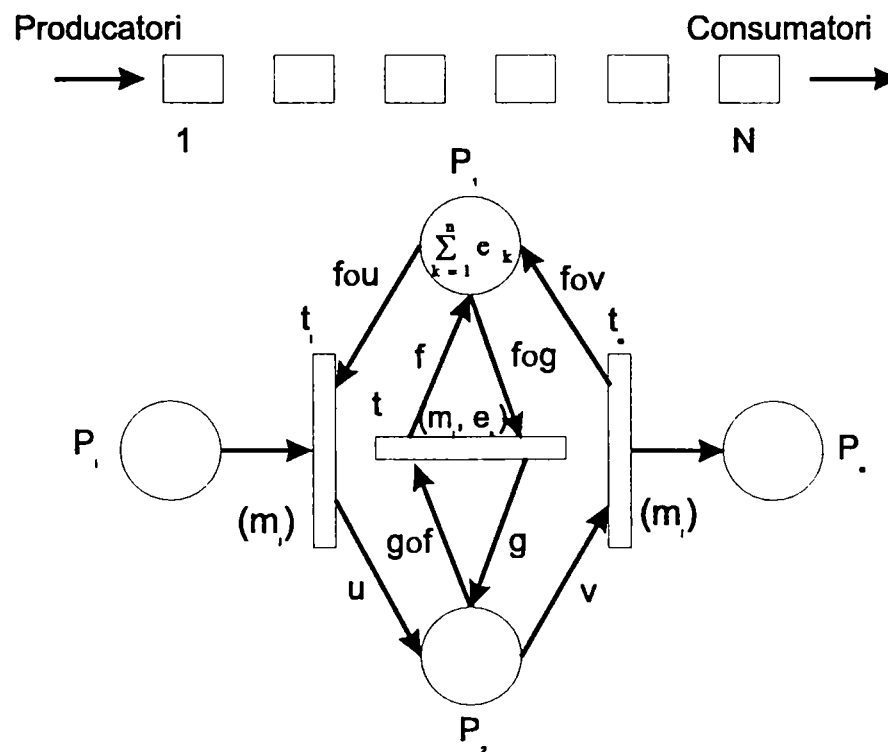


Figura 2.4-6

Setul de culori asociat pozițiilor pline din șir este definit de “ $Q$ ”, iar cel asociat pozițiilor goale, de “ $E$ ”. Astfel, pentru marcajul inițial, cu toate pozițiile goale, se poate scrie:

$$M_0(Q) = 0 \text{ si } M_0(E) = \sum_{k=1}^n e_k$$

( 2.4-24 )

Tranziția de intrare “ $t_i$ ” este posibilă raportat la culoarea “ $m_j$ ”, dacă poziția “E” conține un marcaj de culoarea  $f \circ u(m_j) = e_1$ , ceea ce înseamnă că poziția “1” din șir este liberă. Efectuarea tranziției “ $t_i$ ” determină apariția unui marcaj de culoare  $u(m_j) = \langle m_j, e_1 \rangle$  în poziția “Q”, elementul “1” conținând un marcaj de tip “j”. Acest marcaj va fi transferat de la un element la următorul prin efectuarea tranziției “t”. Să presupunem că poziția “Q” conține un marcaj  $\langle m_j, e_k \rangle$ . Tranziția “t” va fi executată conform culorii  $\langle m_j, e_k \rangle$  dacă poziția “E” conține un marcaj de culoare  $f \circ g(\langle m_j, e_k \rangle) = e_{k+1}$ , ceea ce înseamnă că poziția “k+1” trebuie să fie liberă. Efectuarea tranziției “t” determină apariția unui marcaj de culoare  $f(\langle m_j, e_k \rangle) = e_k$  în poziția “E” (poziția “k” este liberă) și un marcaj de culoare  $g(\langle m_j, e_k \rangle) = \langle m_j, e_{k+1} \rangle$  în poziția “Q”, deci poziția “k+1” din șir va fi ocupată. Acest proces se va desfășura atâta timp cât va mai exista loc liber în șir, deci până la umplerea acestuia și apariția unui marcaj în poziția “n”. Apoi reperul din această poziție va fi evacuat prin tranziția de ieșire “ $t_o$ ”, astfel încât ultima poziție din șir va rămâne liberă.

Ca instrument de *validare* al unui sistem de fabricație, rețelele Petri colorate se bazează pe determinarea invariantilor liniari ai marcajelor. Așa după cum s-a arătat mai devreme, (vezi ecuația ( 2.4-17 )), marcajul existent după efectuarea unei secvențe “s” pornind de la  $M_0$ , se poate scrie funcție de marcajul de pornire, de matricea de incidență și de un vector “y” care conține informații despre numărul de incidente ale fiecărei tranziții din secvența “s”. Dacă se consideră un vector “J” care are proprietatea că  $J^t \cdot C = 0$ , atunci acest vector este *un invariant liniar al matricii marcajelor*. Pe această bază, combinat cu relația  $M_n = M_0 + C \cdot y$ , se va obține:

$$J^t \cdot M = J^t \cdot M_0 + J^t \cdot C \cdot y = J^t \cdot M_0$$

( 2.4-25 )

Se observă în expresia de mai sus că membrul din dreapta al egalității este constant, el depinzând doar de marcajul inițial. Existența unor astfel de invarianti este sursa unor concluzii referitoare la proprietățile naturale ale unei rețele, cum ar fi mărginirea, lipsa blocajelor, viabilitatea, etc.

Aplicând teoria de mai sus la exemplul prezentat anterior, matricea de incidență a rețelei se va putea scrie:

$$C = \begin{matrix} & \begin{matrix} Q \\ t_i & t & t_o \end{matrix} \\ \begin{matrix} E \\ u & g - id & -v \end{matrix} \\ \begin{matrix} -f \circ u & f - f \circ g & f \circ v \end{matrix} \end{matrix}$$

( 2.4-26 )

Soluția unică a ecuației  $J^1 \cdot C = 0$  pentru forma de mai sus a matricei de incidență este  $J^1 = [f \quad id]$ , unde față de notațiile cunoscute, "id" este funcția identică. Invariantul obținut astfel conduce la următoarele ecuații:

$$\begin{aligned} [f \quad id] \cdot \begin{vmatrix} M(Q) \\ M(E) \end{vmatrix} &= [f \quad id] \cdot \begin{vmatrix} M_0(Q) \\ M_0(E) \end{vmatrix} = [f \quad id] \cdot \begin{vmatrix} 0 \\ \sum_{k=1}^n e_k \end{vmatrix} \\ \Rightarrow f(M(Q)) + M(E) &= \sum_{k=1}^n e_k \end{aligned}$$

( 2.4-27 )

Acest rezultat poate fi interpretat în felul următor: dacă poziția "E" conține un marcaj " $e_k$ ", aceasta înseamnă că nu există nici un marcaj de tipul  $\langle m_j, e_k \rangle$  în poziția "Q". Elementul "k" din șir este gol, ceea ce concordă cu semnificația poziției "E" (poziție liberă); elementul "k" poate conține un singur marcaj de indice "k". În caz contrar transformata prin funcția "f" ne-ar conduce la rezultatul  $2e_k$ , ceea ce este în contradicție cu membrul doi al relațiilor de mai sus.

Mai mult, se poate demonstra că:

- rețeaua este mărginită pentru  $M(E) < \sum_{k=1}^n e_k$  și  $M(Q) < \sum_{k=1}^n \langle m_j, e_k \rangle$ ;
- rețeaua nu se poate bloca.

Să presupunem că M este un marcaj posibil pornind de la cel inițial. Din expresia invariantului se poate deduce:

- $M(E) = \sum_{k=1}^n e_k$ , deci tranziția de intrare  $t_i$  este posibilă;
- $M(E) = 0$ , deci  $M(Q) = \sum_{k=1}^n \langle m_j, e_k \rangle$  și deci tranziția de ieșire  $t_o$  este posibilă;
- $M(E) = e_{k_1} + e_{k_2} + e_{k_3} + \dots + e_{k_s}$   $s \in [1, n-1]$  Din această prezentare se pot trage două concluzii referitoare la blocajele din sistem:
- $\forall r \in [1, s], k_r \neq n$ , Q conține  $\langle m_j, e_n \rangle$  și tranziția " $t_o$ " este declanșabilă;
- $\exists r \in [1, s], k_r = n$ , atunci  $k \in [1, n-1]$  astfel încât Q conține pe  $\langle m_j, e_k \rangle$  și nu conține pe  $\langle m_j, e_{k+1} \rangle$  și tranziția " $t$ " este executabilă.

Din relațiile de mai sus se poate deduce că sistemul nu prezintă blocaje.

Rețelele Petri colorate pot fi utilizate și ca *mijloc de simulare* a funcționării unui sistem. În acest caz se va ține cont și de variabila timp în desfășurarea tranzițiilor. În mod concret timpul apare în calcule prin intermediul unei întârzieri “d” asociată fiecărui marcaj de o anumită culoare specific unei anumite poziții. Această întârziere poate reprezenta un timp de prelucrare, un timp de așteptare într-un buffer sau un timp de transport, sau orice alt interval de timp consumat prin desfășurarea unei transformări de stare a sistemului. Spre deosebire de rețelele Petri obișnuite, *rețelele Petri temporale* nu permit validarea unei tranziții până nu se derulează intervalul de timp “d” specific marcajului în care are loc validarea.

## 2.5. Prezentarea unor metode și programe de simulare pentru sisteme cu evenimente discrete

Paragraful de față se ocupă de prezentarea succintă a unor programe folosite de autor în faza de documentare și de elaborare a lucrării de doctorat, sau cu ocazia stagiilor de pregătire desfășurate în străinătate.<sup>a</sup> Programele au fost grupate în două mari categorii, după metoda de simulare folosită:

- programe care folosesc pentru simulare *grafica animată*;
- programe de simulare simbolică bazate pe *diagrame active*.

Deosebirea esențială dintre cele două categorii constă în felul în care se face simularea, adică în modul de aducere a modelului în realitate. Dacă programele de animație folosesc medii grafice 2D sau 3D sau chiar realitatea virtuală pentru a “vedea” ce se întâmplă în realitate în sistemul modelat, celelalte programe, bazate pe diagrame (rețele) active, folosesc pentru simulare mișcarea unor jetoane între pozițiile de pe diagramă, de-a lungul unor arce și trecând prin tranziții care se validează în anumite condiții, schimbând astfel starea sistemului.

În general, toate programele de simulare prezentate fac parte din categoria simulatoarelor pentru sisteme cu evenimente discrete, acestea fiind cele mai potrivite pentru abordarea sistemelor de fabricație. Totuși, există situații în care pe fondul unei evoluții cu evenimente discrete apar transformări continue, care pot fi descrise de ecuații matematice în care parametrii sistemului evoluează continuu în timp. Unele din programele ce se prezintă în continuare au astfel de posibilități.

---

<sup>a</sup> August-Octombrie 1993 și Septembrie-Decembrie 1996, la Kuopio Institute of Technology (KUTOL), Finlanda

## 2.5.a Modelarea și simularea cu ajutorul programelor de grafică animată

### 2.5.a.a. Utilizarea grupului de programe QUEST

Pachetul de programe de modelare – simulare oferit de firma Deneb<sup>b</sup> se numără printre cele mai performante aplicații de acest fel existente pe piața de software la ora actuală. Programele rulează pe stații grafice UNIX sau HPIX, precum și pe platforme WindowsNT. Acest pachet integrat conține următoarele componente:

- ENVISION® folosit ca mediu virtual pentru proiectare, analiză și validarea unor soluții;
- IGRIP<sup>™</sup> pentru proiectare interactivă a pieselor și procese;
- Virtual NC® utilizat la modelarea și simularea proceselor de prelucrare pe mașini unelte cu comandă numerică (vezi Figura 2.5-1);
- QUEST® folosit pentru simularea sistemelor cu evenimente discrete;
- Deneb/ERGO destinat simulării spațiilor de lucru cu operatori umani;
- UltraArc® folosit la simularea și programarea off – line a roboților de sudare cu arc electric (vezi Figura 2.5-2);

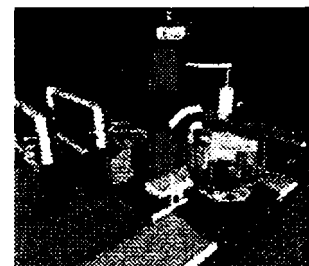


Figura 2.5-1

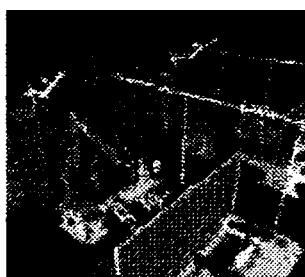


Figura 2.5-2

- UltraGRIP® conceput pentru modelarea și simularea unei largi palete de aplicații robotizate de diverse genuri;
- UltraPaint® destinat aplicațiilor de vopsire robotizată;
- UltraSpot® utilizat în programarea roboților de sudare în puncte.

Programul de modelare și simulare Quest este destinat sistemelor cu evenimente discrete din care fac parte și sistemele de fabricație. Acest program se bucură de câteva facilități de o mare utilitate, printre care se pot enumera:

- o logică naturală asociată implicit obiectelor uzuale din spațiul de lucru (centre de prelucrare, operatori umani, sisteme de transport, etc.) precum și unor strategii tipice de conducere integrată a sistemului (metoda “Just in Time”, metoda Kanban);
- posibilitatea de a controla proprietățile fizice ale sistemului, cum ar fi vitezele de deplasare ale mijloacelor de transport, distanțele de parcurs între posturile din sistem, masele și dimensiunile pieselor, traiectoriile de mișcare ale elementelor mobile;

<sup>b</sup> URL: <http://www.deneb.com>

- cu ajutorul unui “Batch Control Language” se pot configura diverse scenarii de simulare precum și diverse modalități de colectare și de utilizare a rezultatelor simulării;
- prin folosirea limbajului structurat “Simulation Control Language” poate fi controlat foarte amănunțit modul de comportare al aplicației în situații speciale, care nu fac parte din logica uzuală;
- un aparataj matematic foarte dezvoltat pentru analiza economică a modelului și a rezultatelor simulării, putându-se astfel deduce o serie de indici de productivitate și de eficiență.

Toate programele din pachetul QUEST dispun de o interfață grafică foarte evoluată, permițând modelarea 3D a obiectelor utilizate cu ajutorul unui modul CAD încorporat. De asemenea pot fi utilizate obiectele aflate în bibliotecile foarte bogate ale programului sau pot fi importate modele din majoritatea aplicațiilor CAD/CAM aflate în utilizare curentă, cum ar fi Pro/Engineer, CaDDy, Autocad<sup>c</sup>. În Figura 2.5-3 se poate observa un model realizat cu ajutorul programului QUEST<sup>d</sup>.



**Figura 2.5-3**

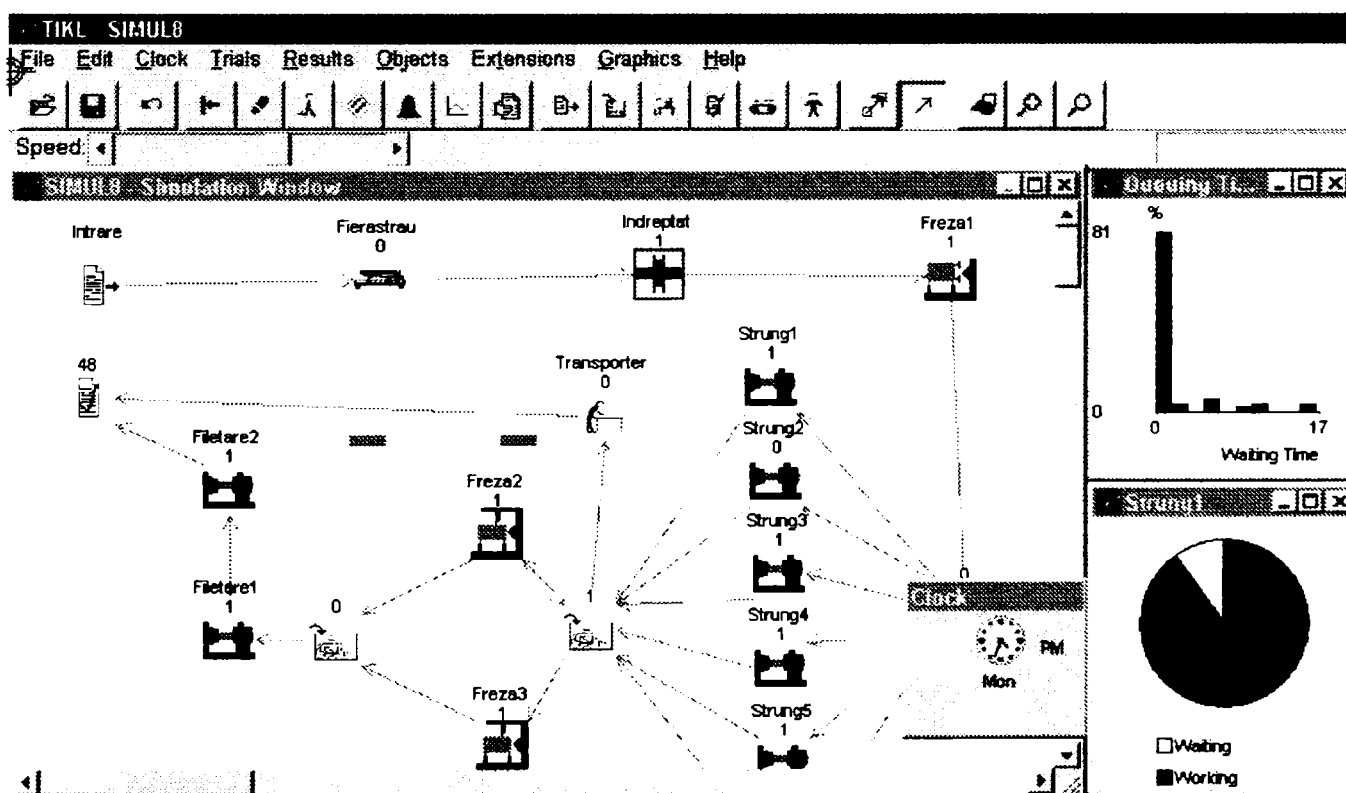
<sup>c</sup> Pro/Engineer este proprietatea firmei “Parametric Technology” USA, CaDDy este proprietatea firmei “Ziegler Informatics” Germania iar Autocad este proprietate firmei “Autodesk” USA

<sup>d</sup> Modelul a fost realizat în scop didactic la Kuopio Institute of Technology, Finlanda

## 2.5.a.b. Utilizarea programului SIMUL8

Tot în categoria programelor de simulare bazate pe grafică animată se include și programul Simul8<sup>e</sup>. Programul este scris pentru mediul Windows, fiind de mai mică amploare și deci mai puțin pretențios la nivelul resurselor hard ale sistemului de calcul. Animația ce însoțește simularea este realizată într-un mediu 2D, folosind obiecte grafice foarte simple, importate din biblioteci sau create ad-hoc cu ajutorul unui editor la nivel de bitmap. O caracteristică interesantă a acestui program o constituie interfața cu programul Excel/VisualBasic<sup>f</sup> prin intermediul căreia se poate conduce operația de simulare cu ajutorul unor parametri furnizați pe parcursul rulării în ferestre de dialog. Un alt atribut al acestei aplicații îl constituie posibilitatea de urmărire a performanțelor sistemului prin intermediul unor grafice specifice fiecărui obiect din mediul grafic.

În Figura 2.5-6 este redată fereastra grafică a programului cu ceasul de simulare și cu câteva grafice și diagrame reprezentând parametrii simulării pentru câteva obiecte din model.



**Figura 2.5-4**

Programul folosește obiecte individuale de tipul “work center”, “work entry point”, “work exit point”, “conveyor”, precum și obiecte de tipul “resources” care se comportă ca resurse partajate între celelalte tipuri de obiecte (operatori umani, scule, sisteme de transport, dispozitive diverse, etc.). Piesele care circulă în sistem sunt configurate inițial într-o bază de

<sup>e</sup> Simul8 este proprietatea firmei Visual Thinking International Limited, URL: [www.VisualT.com](http://www.VisualT.com)

<sup>f</sup> Programele Excel și VisualBasic sunt proprietatea firmei Microsoft



date sub numele de "work item". Acestora li se asociază imagini grafice simple care sunt folosite în timpul desfășurării animației. Pentru a realiza simularea, inclusiv animația corespunzătoare la nivel de grafică 2D, se folosesc proprietățile pieselor definite anterior, sub numele de "attributes". Acestea se modifică pe parcursul desfășurării simulării în conformitate cu logica de desfășurare a procesului.

### 2.5.a.c. Utilizarea programului Taylor II

Un program de modelare-simulare deosebit de elaborat pentru folosirea pe platforme PC este programul Taylor II<sup>8</sup>. Acest program permite utilizarea unei interfețe grafice până la nivel 3D, în funcție de puterea de redare grafică a echipamentului de calcul. Pe această interfață se pot dispune obiecte foarte diverse preluate dintr-o bibliotecă deosebit de bogată, sau se pot crea obiecte noi cu ajutorul unui editor de imagini. Fiecărui obiect i se pot conferi proprietăți de animație și un anumit comportament în timpul rulării programului. De asemenea se poate defini o logică de rutare a pieselor în sistem pe baza unor ferestre de dialog sau pe baza unor extensii de cod care sunt scrise într-un limbaj special denumit TLI care face parte din grupa limbajelor orientate pe obiecte.

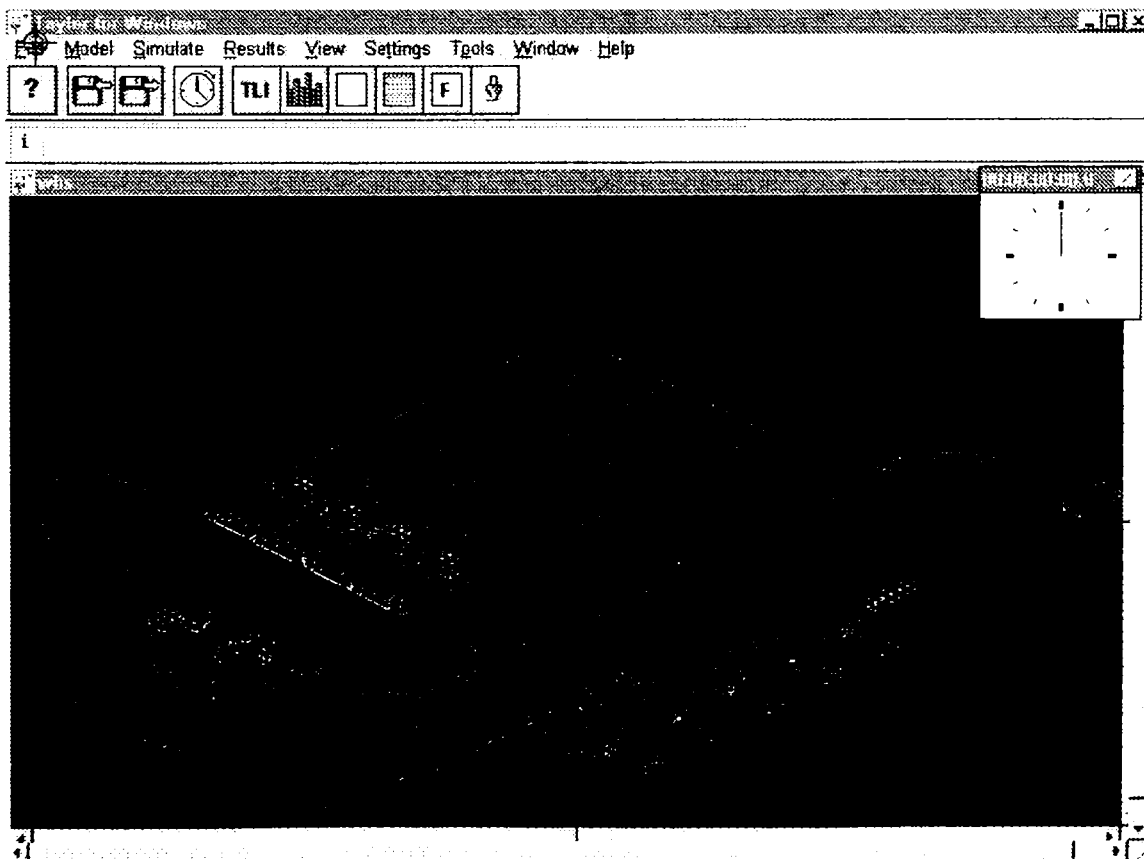


Figura 2.5-5

<sup>8</sup> Taylor II este proprietatea firmei F&H Simulations Inc. URL: <http://www.taylorii.com>

Figura anterioară redă fereastra principală a aplicației, care conține spre exemplificare un model al unei magazii automatizate. Se pot observa meniurile aplicației precum și ceasul care redă scurgerea timpului de simulare. Fiecare obiect prezent în model are posibilitatea de a fi configurat prin precizarea unor proprietăți, fie prin intermediul unei ferestre specializate, fie prin intermediul unor secvențe de cod. O astfel de fereastra de configurare este prezentată în Figura 2.5-6. Obiectul configurat este un buffer dispus în fața magaziei, prin intermediul căruia sunt transferate piesele în/din conveior dinspre/înspre alimentatorul matricial care deservește magazia.

Figura 2.5-6

Din analiza figurii de mai sus se poate observa că fereastra permite configurare simultană a trei categorii de parametri:

- parametrii specifici elementului selectat (capacitate, condiții de intrare/ieșire, etc.);
- parametrii specifici sarcinii de lucru ce se desfășoară în postul respectiv (timpul de lucru, mărimea lotului, timpii de întrerupere accidentală pentru reparații, etc.);
- parametrii de legătură cu celelalte componente ale modelului (legături de intrare, legături de ieșire).

2.5.b Modelarea și simularea cu ajutorul tehnicilor simbolice

2.5.b.a. Utilizarea programului DesignCPN pentru simularea cu rețele Petri colorate

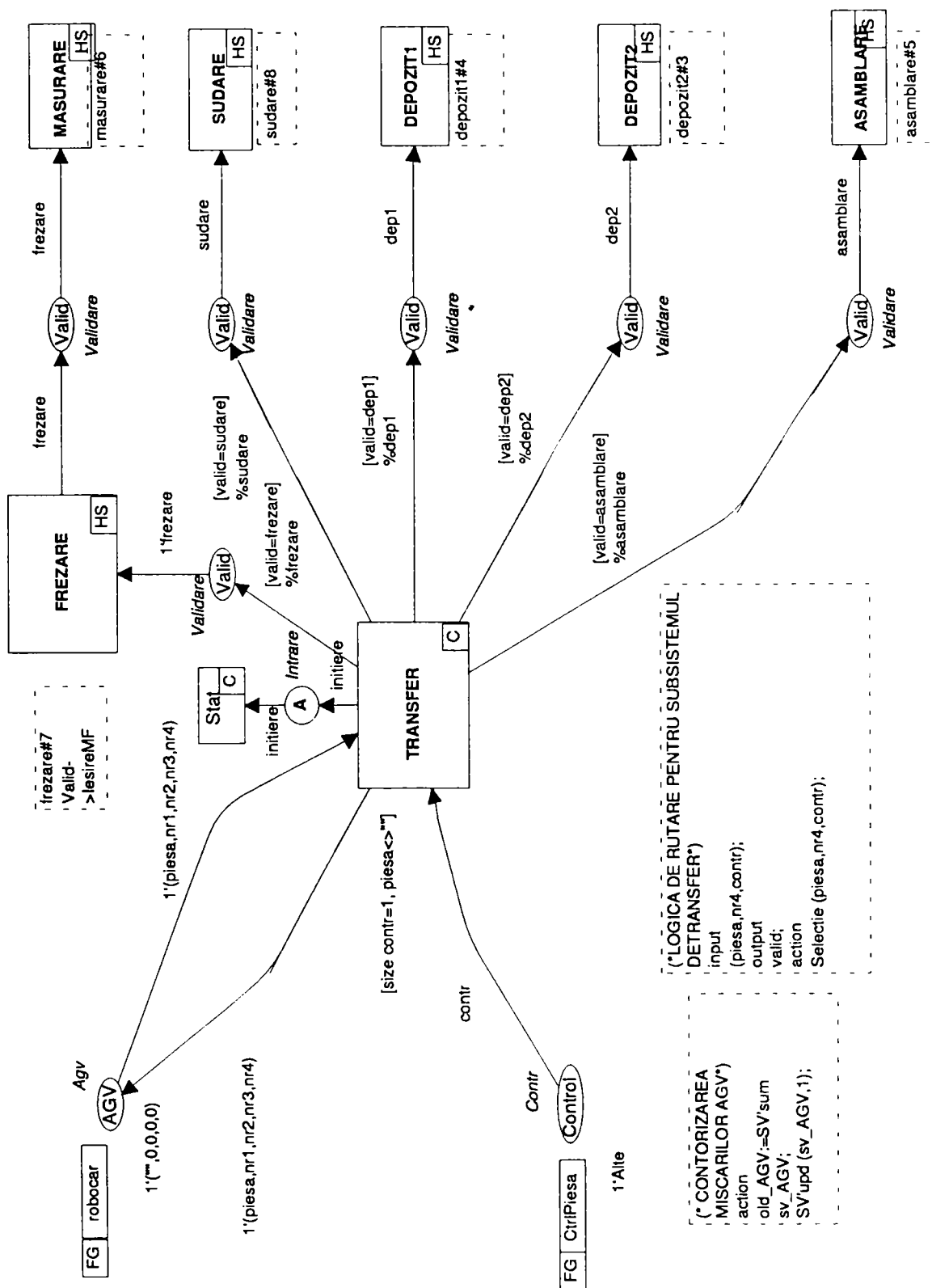


Figura 2.5-7

Metoda de modelare-simulare bazată pe utilizarea rețelelor Petri a debutat ca o metodă matematică, bazată pe calcule matriciale. Ideea de simulare se materializează prin transferarea

---

---

unor jetoane dintr-un loc în altul într-o rețea imaginară, pe baza unor reguli bine precizate. Puterea de calcul a computerelor actuale face posibilă vizualizarea mișcării acestor jetoane într-un mediu grafic ce are trei componente principale: poziții, tranziții și arce.

Implementarea cunoscută sub numele de DesignCPN se bazează pe utilizarea teoriei rețelelor Petri colorate, care sunt “animate” cu ajutorul unui limbaj special din grupa limbajelor orientate pe obiecte denumit Meta Language<sup>h</sup>. Acest limbaj se bazează pe o rețea de poziții, tranziții și arce realizată cu ajutorul unui editor grafic într-un mediu X-Windows<sup>i</sup> specific sistemelor de operare Unix. Figura 2.5-7 prezintă o pagină dintr-o diagramă mai complexă realizată cu acest program, folosită și mai departe în prezenta lucrare pentru susținerea unor afirmații teoretice. Pe baza unor diagrame de acest fel se realizează întreaga logică de “funcționare” a modelului, care trebuie să reproducă cu maximă fidelitate comportamentul real al sistemului. Pentru a realiza acest lucru, programatorul are la dispoziție următoarele elemente:

- *un set de culori*, care reprezintă diversele clase de “obiecte” ale modelului (piese, dispozitive, condiții de validare, proprietăți, stări, etc.);
- *un set de variabile*, care aparțin claselor anterioare și care reprezintă conținutul momentan al acestora;
- *inscripțiile de pe arce*, cu ajutorul cărora sunt controlate condițiile de validare ale tranzițiilor;
- *condițiile de gardă ale tranzițiilor*, care sunt condiții booleene care permit sau inhibă validarea unor tranziții;
- *secvențele de cod*, asociate tranzițiilor, prin intermediul cărora sunt controlate valorile variabilelor de ieșire sau sunt efectuate diverse alte operații specifice limbajului ML (actualizarea unor variabile statistice, actualizarea unor reprezentări grafice, calculul unor parametri de eficiență, etc.).

Sistemul permite și reprezentarea grafică a unor parametri de stare, actualizați pe baza secvențelor de cod asociate tranzițiilor. Din multitudinea de reprezentări grafice posibile, în Figura 2.5-8 este redat un exemplu din care se poate deduce numărul de mișcări ale unui AGV în comparație cu numărul operațiilor de frezare, sudare și asamblare desfășurate în sistem.

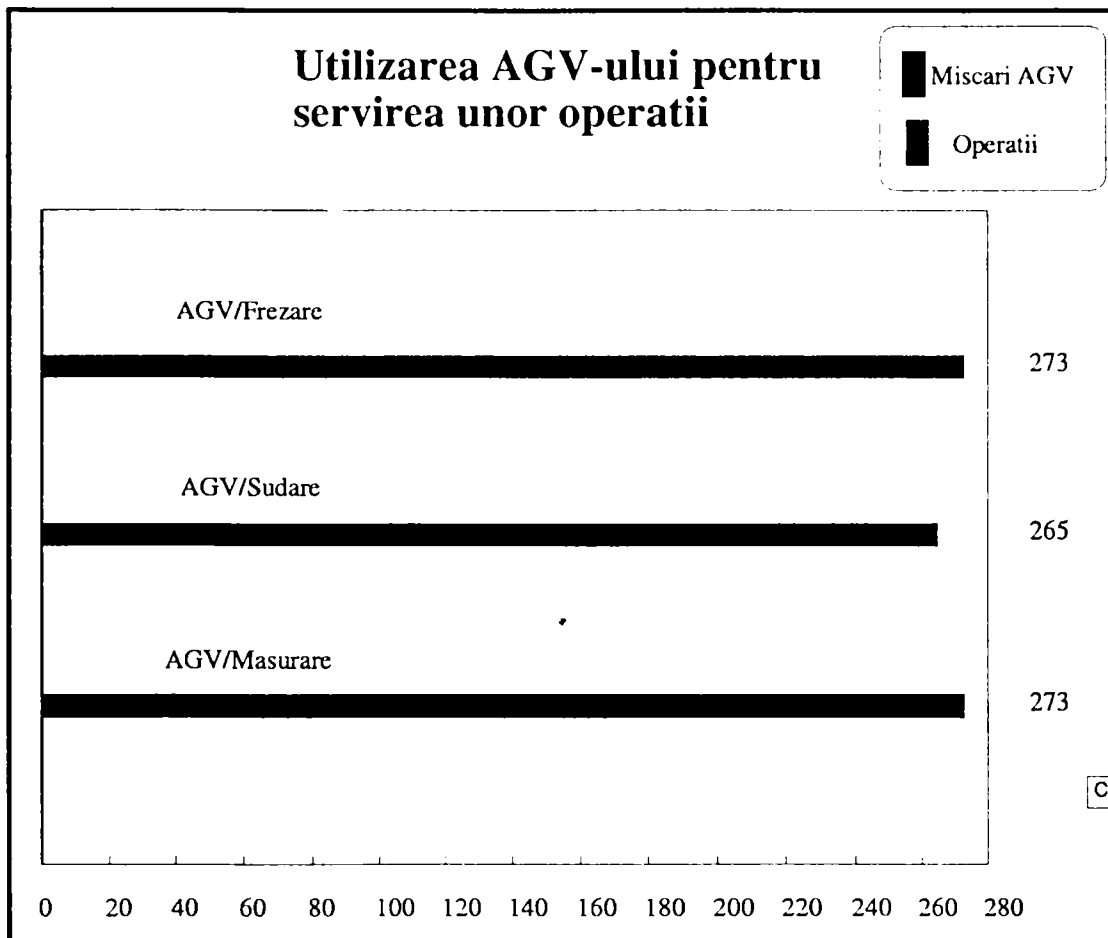
---

<sup>h</sup> Meta Language este proprietatea lui Meta Software Corporation, Cambridge MA, URL: [www.metasoft.com](http://www.metasoft.com)

<sup>i</sup> X-Windows este proprietatea lui Massachusetts Institute of Technology

---

---



```

init
SV'init sv_AGV;
SV'init sv_Fre;
SV'init sv_Sud;
SV'init sv_Mas;

action
SC_upd_chart{
sc = "Bar Chart 1",
values = [
(1, [!old_AGV+1, !old_Fre+1], true),
(2, [!old_AGV+1, !old_Sud+1], true),
(3, [!old_AGV+1, !old_Mas+1], true)];

```

Figura 2.5-8

### 2.5.b.b. Programul VisualObjectNet++ pentru simularea cu ajutorul rețelelor Petri

Programul, a cărui interfață grafică este prezentată în Figura 2.5-9, face parte din categoria simulatoarelor cu rețele Petri. Ceea ce îl distinge de programul DesignCPN prezentat anterior, este faptul că *pot fi modelate și transformări continue*, descrise de funcții matematice sau ecuații diferențiale, alături de transformările discrete. O diagramă construită cu acest program poate cuprinde o varietate mai mare de fenomene dar are dezavantajul de a

folosi rețele binare, cu limitările binecunoscute, provenind din imposibilitatea de a dispune de seturi complexe de jetoane într-o anumită poziție la un moment dat.

Programul a fost scris în C++ și poate fi compilat pentru diverse platforme de lucru. Varianta utilizată în unele părți ale lucrării de față (doar pentru exemplificare) a fost rulată sub WindowsNT 4.0.<sup>j</sup> Autorul programului este Dipl.-Ing. Rainer Drath<sup>k</sup> de la Universitatea Tehnică din Ilmenau, Germania.

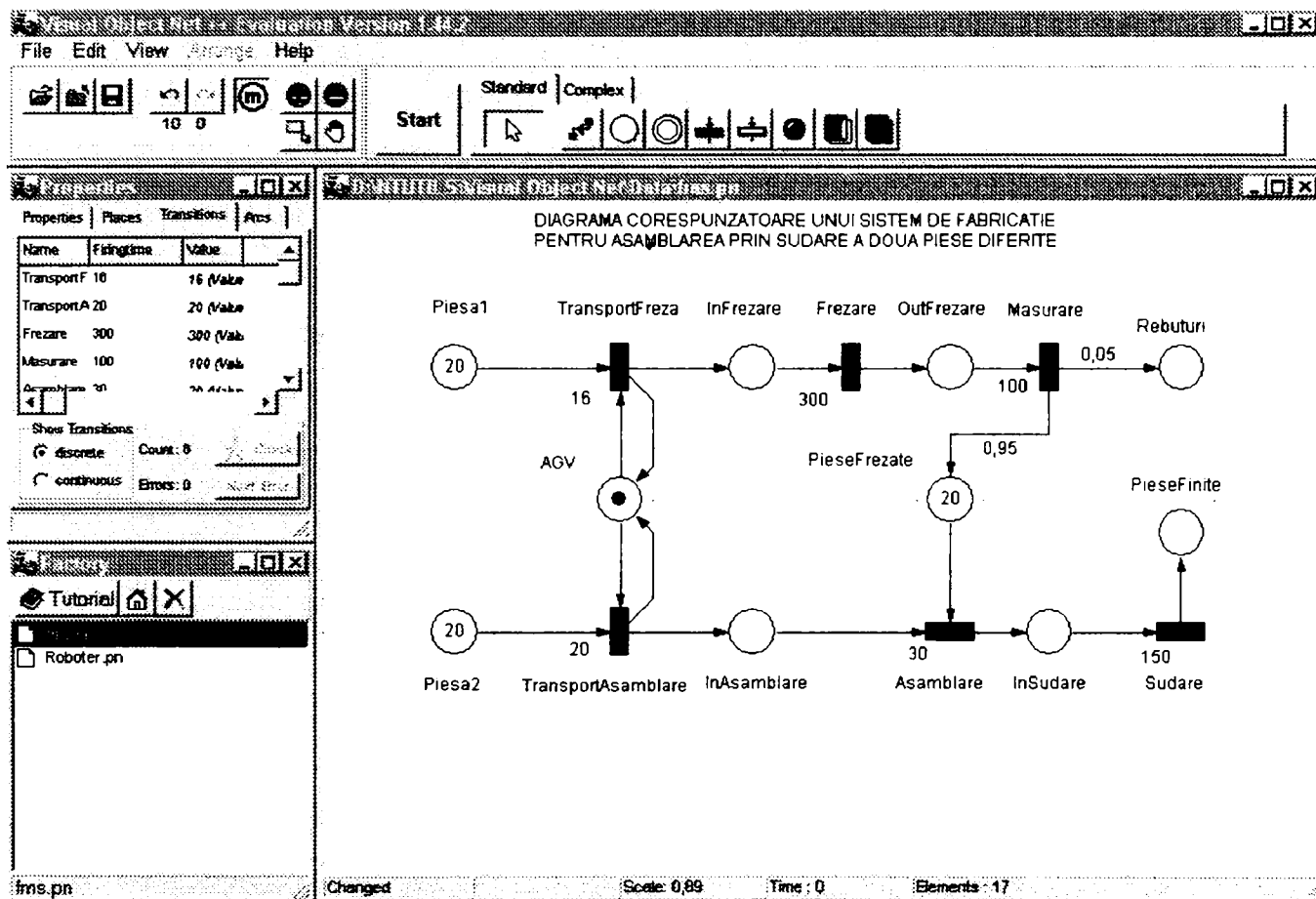


Figura 2.5-9

După cum se poate observa din figura de mai sus, programul oferă o interfață grafică pe care se poate desena diagrama și se pot preciza în ferestre text independente diferite detalii legate de construcția și funcționarea acesteia. Meniul principal și butoanele rapide ale aplicației sunt dispuse în partea superioară a ecranului. În partea stângă, sub meniul principal, este dispusă o altă fereastră, în care se introduc parametrii caracteristici ai fiecărui obiect din diagramă. De asemenea mai există încă o fereastră tot în partea stângă, care permite gestionarea aplicațiilor la nivel de fișiere, încărcarea unei diagrame, lansarea secțiunilor de help ș.a.m.d. Interfața grafică a aplicației permite salvarea diagramei în mai multe formate grafice, inclusiv formate post script.

<sup>j</sup> WindowsNT 4.0. este proprietatea firmei Microsoft.

<sup>k</sup> URL: <http://www.systemtechnik.tu-ilmenau.de/~drath/>

---

## 2.6. Arhitectura soft a unei celule autonome de fabricație

Celulele autonome de fabricație sunt componentele de bază ale unui sistem de fabricație flexibil, autonom și descentralizat [Michiko Matsuda, Kuniko Inoue, 1991, pag. 173]. O asemenea celulă autonomă de fabricație impune trei funcții de bază:

- selecția unei sarcini de fabricație;
- execuția sarcinii de fabricație;
- raportarea rezultatului după execuția sarcinii.

Mai multe celule de fabricație autonome sunt conectate la o bază de date comună și la un depozit comun de materiale. *Fluxul de materiale din depozit corespunde fluxului de informații din producție*. Celula autonomă primește din magazie un material care are atașate informații despre procesul de producție și îl returnează în magazie cu o anumită operație executată și astfel cu un alt conținut informațional. Conducerea centralizată a sistemului flexibil prin intermediul unui computer central de sistem introduce o oarecare limitare a flexibilității, prin ierarhizarea prea accentuată a fluxului de informații. Descentralizarea informației și concentrarea ei la nivelul celulei deschide noi perspective procesului de organizare a sistemelor flexibile.

În cele ce urmează va fi prezentat un *model de conducere centralizată ierarhică* a unui sistem flexibil. Un controler de nivel superior furnizează sarcini de producție pentru componentele de nivel inferior, sub formă de seturi de date sau sub formă de secvențe de program. Informația se transmite în mod rigid de la nivelul superior spre cel inferior, unde se execută instrucțiunile de bază de prelucrare a semifabricatului. Schema de organizare a unui asemenea flux de informații organizat pe principii ierarhice este prezentată în Figura 2.6-1. Informațiile de producție sunt divizate în *informații despre produs* și *informații despre proces*.

*Informațiile despre produs* se referă la produsul propriu-zis și ele sunt furnizate din etapa de proiectare a produsului.

*Informațiile despre proces* sunt divizate la rândul lor în:

- date de nivel sarcină de producție;
  - date de nivel secție de producție;
  - date de nivel bază de cunoștințe de producție.
-

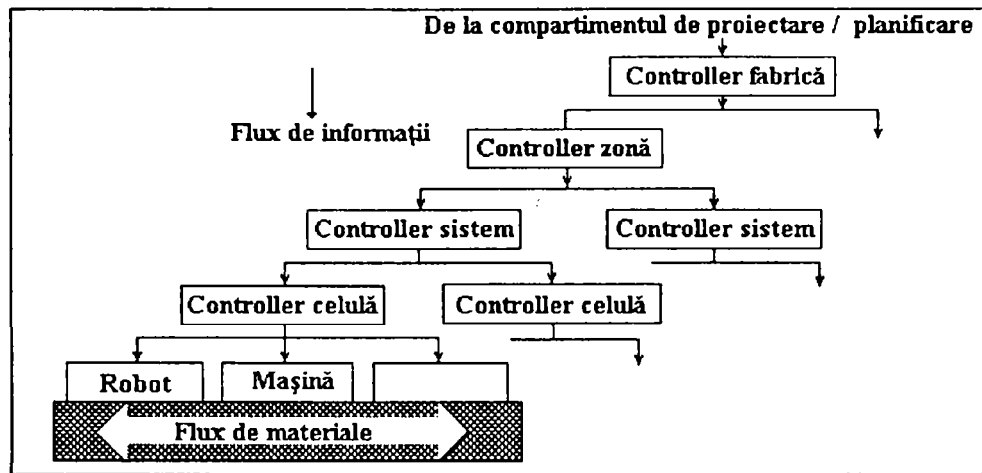


Figura 2.6-1

Astfel *datele la nivel de sarcină de producție (production task)* se vor referi la procedurile de lucru. În orice celulă de fabricație execuția unui program de fabricație duce la mișcări ale diverselor componente ale celei, cum ar fi mișcări ale roboților, ale centrelor de prelucrare de strunjire, frezare sau altele, etc. Datele la nivel de sarcină organizează de fapt toate aceste mișcări într-o anumită succesiune, impusă de programul de fabricație.

*Datele la nivel de secție* constau din informații dinamice sau statice despre structura celulelor autonome, tipurile de mașini utilizate, parametri tehnologici nominali ai acestora, precum și datele provenite din inspecția tehnică periodică a acestora.

*Bazele de cunoștințe de producție* sunt conținute de regulă în sisteme expert, care pot fi utilizate atât la elaborarea unor programe de fabricație optimale, cât și la depanarea sistemului. Legăturile ce se stabilesc pe fluxurile de date dintr-o celulă flexibilă între diferitele categorii de date prezentate anterior sunt redată schematic în Figura 2.6-2.

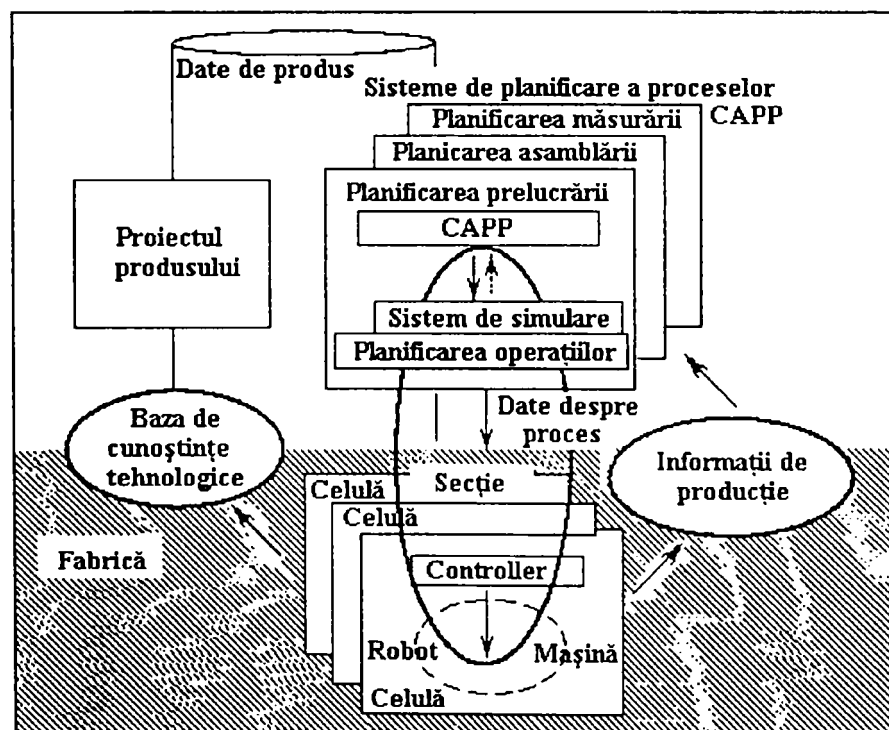


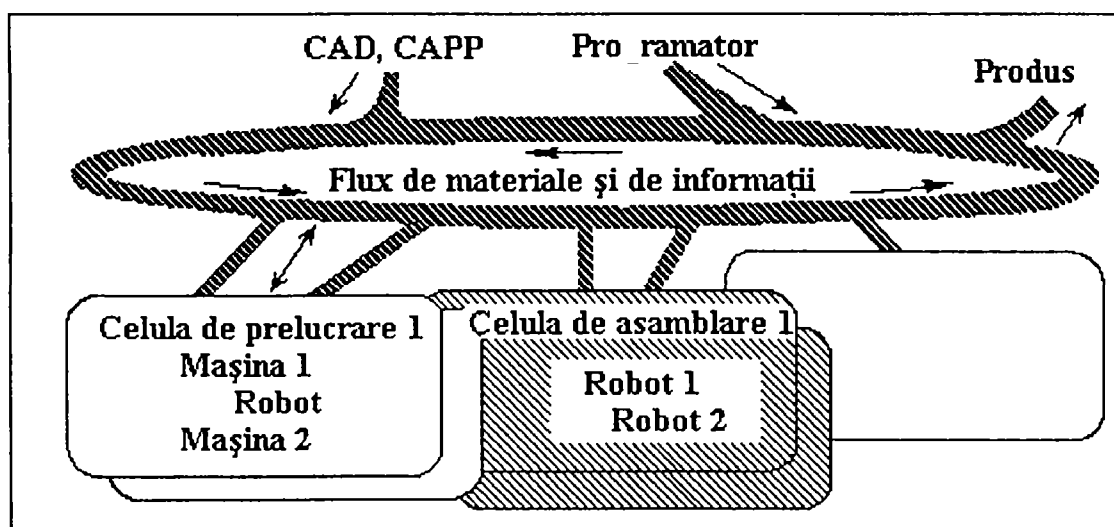
Figura 2.6-2



În cazul unui *sistem cu componente autonome descentralizate*, toate componentele sunt conectate pe același nivel al fluxului de date, așa cum se poate observa în Figura 2.6-3. Sistemul de gestiune a producției și celulele de fabricație autonome comunică prin intermediul fluxului de informații și de materiale. Celula de fabricație autonomă primește materialele odată cu informații despre produs și planul de fabricație, generate în etapele de proiectare ale acestora. La nivelul celulei sunt elaborate sarcinile de lucru în scopul desfășurării operațiilor de prelucrare. După desfășurarea completă a procesului dintr-o celulă, materialul, care are acum atașat un alt set de informații, va fi promovat în celula următoare și așa mai departe, până când la o extremitate a fluxului se va obține un nou produs. În acest mod fiecare celulă a sistemului flexibil va lucra independent dar cooperant. Sistemul de fabricație autonom nu este controlat de un computer central unic așa cum este îndeobște cazul la un sistem flexibil clasic. Dimpotrivă, acest sistem va fi construit din celule individuale independente, angajate într-un proces permanent de cooperare.

*Particularitățile de compunere și organizare a fabricației* în beneficiul ideii de autonomie, la nivel de celulă sau de sistem, se pot grupa în două categorii:

- particularități legate de funcționarea celulei;
- particularități legate de organizarea bazelor de date și a fluxului de informații care să suporte funcțiunile de bază ale celulelor autonome.



**Figura 2.6-3**

*Particularitățile legate de funcționarea celulei* se manifestă la toate tipurile de celule autonome, fie că ele sunt de prelucrare, de măsurare, sau de asamblare. Așa după cum se observă în Figura 2.6-4, *funcțiile de conducere obligatorii ale unei celule autonome* sunt următoarele:

- *selecția unei sarcini de prelucrare executabile.* La nivelul celulei se cunoaște tipul și amploarea sarcinilor de prelucrare ce se pot executa. La apariția unui reper în spațiul celulei aceasta își testează capacitățile și starea, precum și nivelul de prioritate al operației cerute. Dacă operația se încadrează în limitele celulei și aceasta este vacantă sau are în lucru un reper cu nivel de prioritate mai scăzut, atunci piesa este reținută în celulă pentru prelucrare.
- *generarea de comenzi* pentru execuția unei sarcini de prelucrare. La nivelul celulei sunt elaborate comenzile concrete necesare precum și seturile de date pentru execuția unui reper: itinerar tehnologic, comenzi de control, programe NC, programe de supraveghere a prelucrării.
- *raportarea rezultatului* operațiilor desfășurate. Celula de prelucrare validează rezultatul acțiunilor sale precum și stadiul în care a ajuns prelucrarea reperului. În raportul furnizat de celulă se găsesc date despre acuratețea prelucrării, lista operațiilor care au fost executate, lista operațiilor care au mai rămas de executat, sau cel puțin operația în mod necesar următoare.

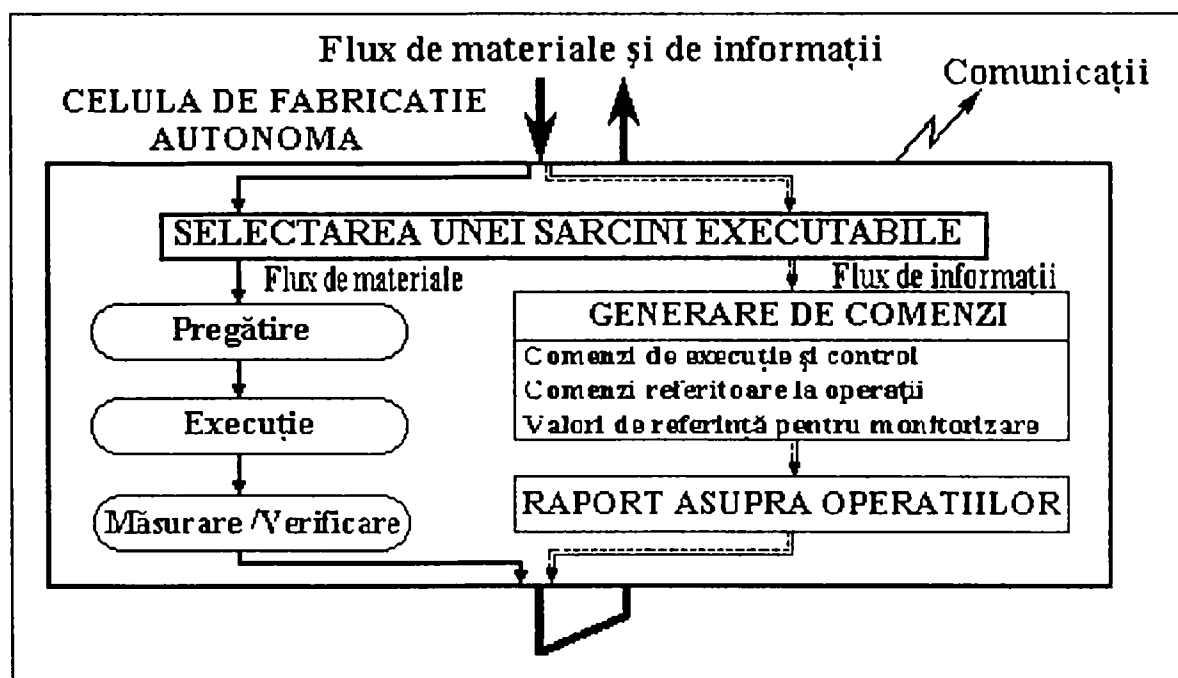


Figura 2.6-4

Pe lângă aceste trei funcții de producție, este nevoie de o *funcție de comunicație*, care să organizeze aceste celule autonome descentralizate.

*Bazele de date și gestiunea lor* sunt atribute proprii ale celulei autonome. Aceste baze de date conțin date de producție a celulei, incluzând structura acesteia, specificații despre mașini, reguli de translație de la comenzi virtuale la comenzi fizice, reguli de organizare,

reguli de alegere a sarcinilor. Câteva tipuri de date și modalități de gestionare a lor sunt prezentate în Figura 2.6-5.

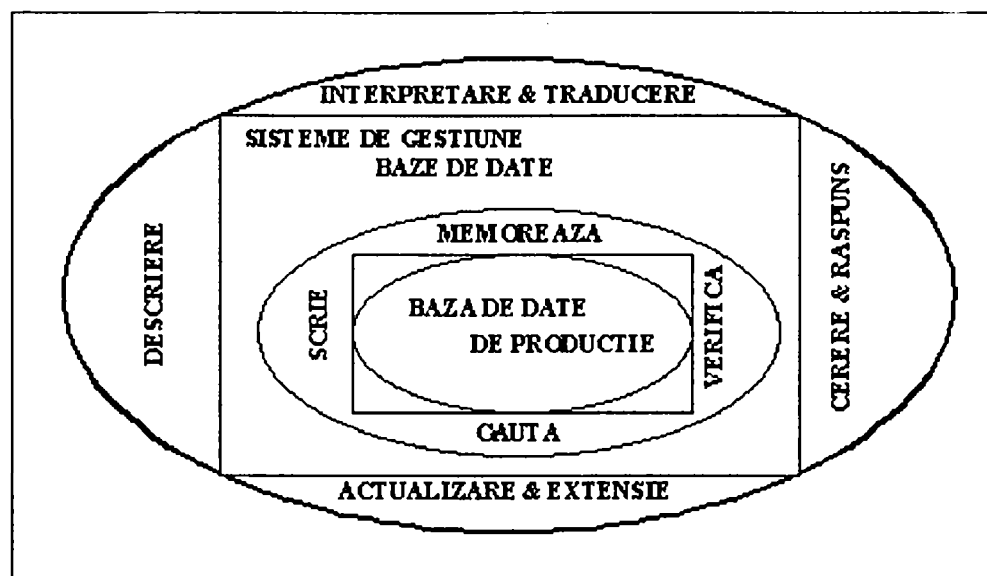


Figura 2.6-5

Principalele activități care se desfășoară în cadrul gestiunii bazelor de date sunt:

- *cerere și răspuns.* Serviciul de răspuns stabilește care dintre mașini este capabilă să îndeplinească o anumită sarcină de lucru, sau care este starea celulei la un moment dat. Pentru a răspunde la o anumită cerere, este necesar nu numai să existe accesată baza de date, dar și să se ruleze anumite programe de simulare pentru a vedea care este răspunsul optim al sistemului.
- *interpretare și traducere.* În cadrul acestei atribuții se desfășoară un proces de integrare în contextul real a comenzilor virtuale lansate în sistem, iar apoi o traducere a acestora în comenzi executabile în conjunctura respectivă, pe baza cărora sistemul poate emite ordine de mișcare.
- *actualizare și extensie.* Acest tip de serviciu permite sistemului să-și lărgască conținutul cu noi componente sau structuri și să-și dezvolte baza de date de producție în consecință. În plus, serviciul determină noi relații între sistemele de date și permite actualizarea periodică a informației provenite de la senzori în condițiile reale de lucru.

În cele ce urmează se va prezenta pe scurt un sistem de fabricație structurat pe celule de fabricație flexibile autonome. În Figura 2.6-6 sunt redate principalele structuri și procese dintr-un sistem de fabricație bazat pe celule autonome de prelucrare. Fiecare celulă autonomă este conectată la depozitul de informații și de materiale. Prin materiale se înțeleg nu numai materiile prime, semifabricatele sau piesele finite, ci și scule, dispozitive, palete, etc. Fiecare material conține informații despre el însuși și poate răspunde la întrebări legate de procesele

care mai sunt de executat asupra lui, care este starea momentană, care va fi forma finală. Informațiile din baza de date corespund cu materialele din depozit. Materialele curg în sistem atașate la datele de produs și planificarea producției. O celulă de prelucrare autonomă ia materialul din magazie cu un anumit conținut de informații și îl depune înapoi cu informațiile actualizate. Circulația materialelor în magazie este controlată de o celulă specială de monitorizare a informației în depozit.

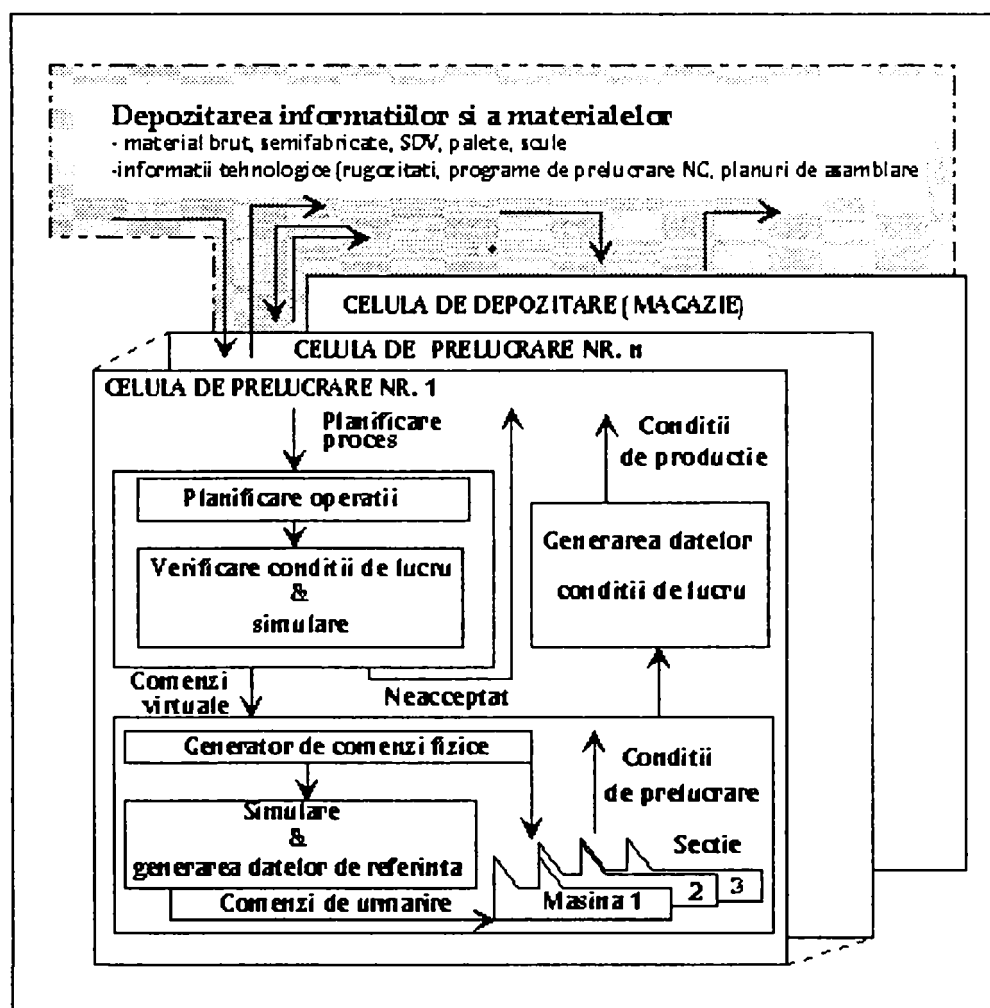


Figura 2.6-6

O celulă de fabricație autonomă procesează operațiile pe baza informațiilor conținute în magazie. Procesul care se desfășoară într-o celulă autonomă este descris în continuare. Baza de date a celulei și serviciile pe care aceasta le poate asigura sunt elemente de care se va ține cont în întregul proces. *Acțiunile principale desfășurate în sistem* sunt următoarele:

- celula *distribuie* o anumită sarcină la una din mașinile componente în concordanță cu un plan de producție acceptat în prealabil. După aceasta, celula creează un plan de operații pentru fiecare mașină, verifică starea sarcinilor existente la momentul respectiv în celulă și decide asupra acceptării sarcinii de prelucrare folosind simularea. Dacă sarcina este acceptată, procesul înaintază spre pasul următor;

- pe baza planului de operații, celula *generează comenzi* pentru sistemul de comandă numerică, robot, etc. În plus, celula generează *criterii de urmărire* pe bază de simulare;
- rezultatul și starea după o anumită operație este *tradus în informație necesară în pasul următor* în procesul de prelucrare. Celula returnează în magazie materialul prelucrat împreună cu acest set de informații.

*Arhitectura soft a sistemelor bazate pe celule autonome* include trei nivele principale, așa după cum se poate urmări în Figura 2.6-7:

- bazele de date și serviciile din celulă;
- nivelele de descriere în fluxul de informații;
- simularea.

Inima sistemului soft prezentat în figura de mai sus este o *bază de date de producție* cu servicii speciale de prelucrare a datelor-răspuns, interpretare, actualizare. Fiecare celulă are propria ei bază de date de producție. Intrările și ieșirile soft la nivelul unei celule autonome sunt informațiile despre produs și planul de producție. Conținutul informațiilor referitoare la produs se modifică de-a lungul itinerarului de prelucrare.

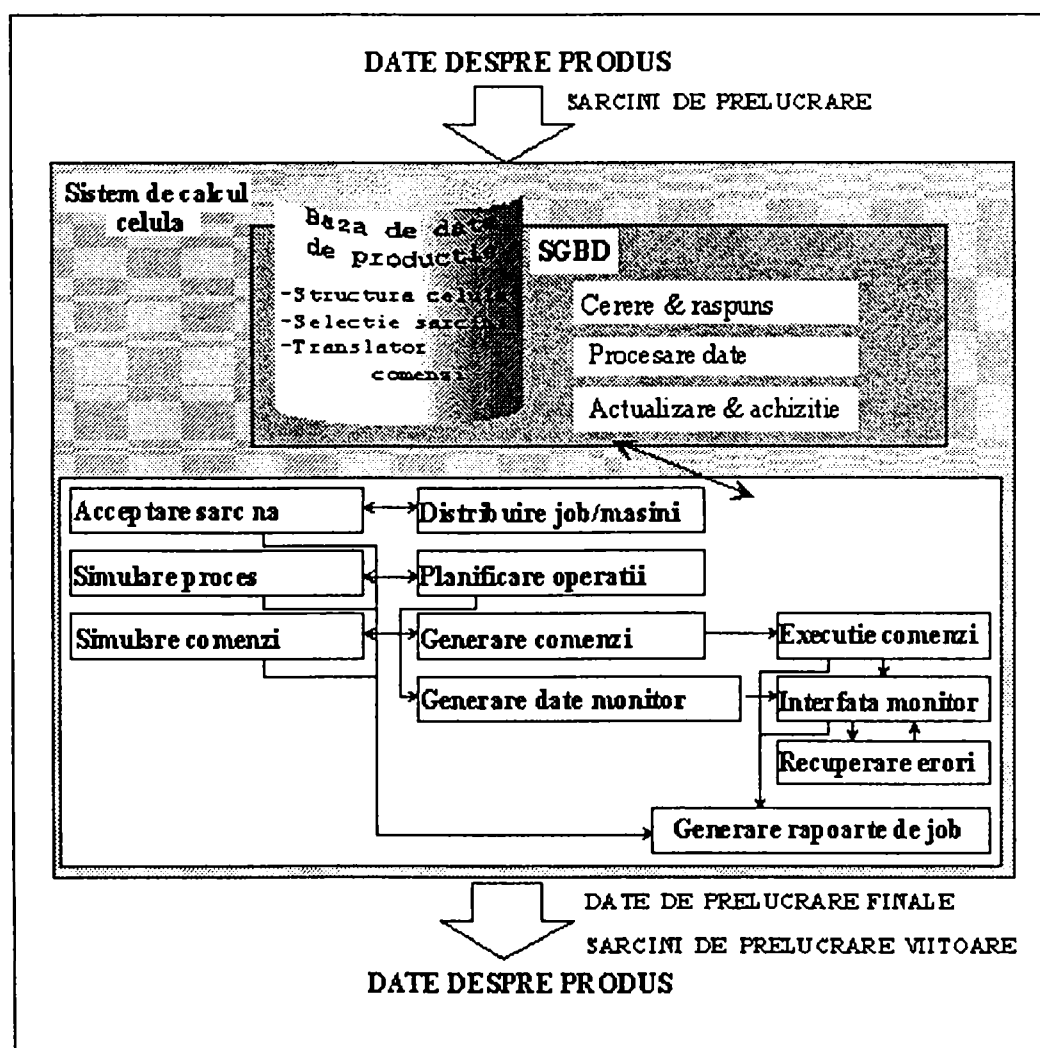


Figura 2.6-7

*Serviciul de acceptare a sarcinilor* ține cont de rezultatele furnizate de serviciile de distribuire a sarcinilor, planificare a operațiilor și simulare a proceselor. Serviciul de distribuire a sarcinilor folosește serviciul de răspuns al bazei de date. Serviciile de planificare a operațiilor și de simulare a procesului de fabricație se referă de asemenea la serviciile de răspuns ale bazelor de date de producție. Serviciul de generare a comenzilor folosește serviciile de interpretare care pot transforma comenzile virtuale în comenzi specifice unei anumite mașini unelte particulare.

*Serviciul de generare a datelor de supraveghere* (monitorizare) produce seturi de date folosind simulatorul de comenzi precum și datele prelevate la nivelul secției de producție.

Funcția sau *serviciul de execuție* include compilatoarele de comenzi și monitorizează starea mașinilor unelte și a centrelor de prelucrare. Dacă în timpul lucrului apare o eroare, se activează *serviciul de recuperare în caz de eroare*. Astfel este apelat serviciul de simulare a comenzilor și baza de cunoștințe folosită la generarea acestora. Dacă celula nu a mai întâlnit o asemenea eroare, baza de date va fi actualizată cu acest nou set de cunoștințe. Serviciul de generare a rapoartelor de execuție furnizează pe baza datelor preluate din proces rapoarte structurate în funcție de cerințele impuse de etapele ulterioare de lucru asupra aceluiași reper.

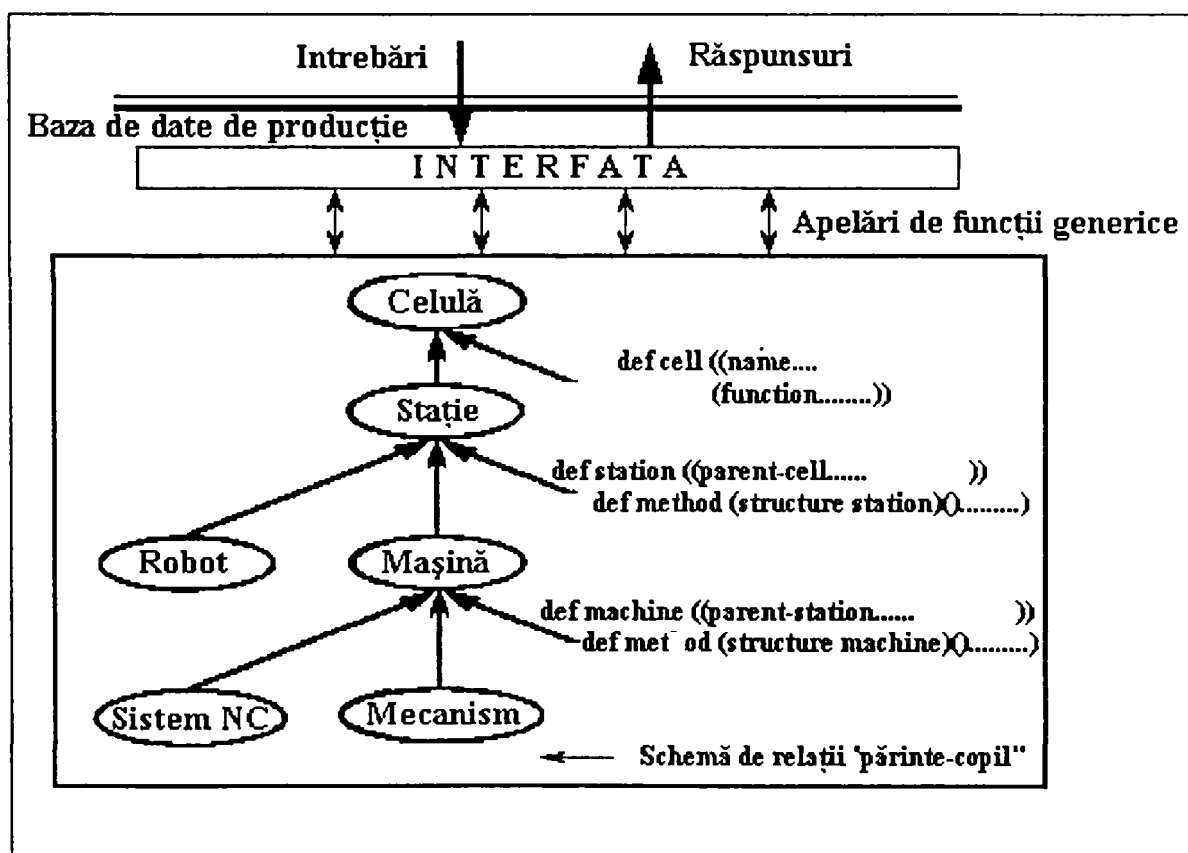


Figura 2.6-8

*Bazele de date de producție și serviciile orientate pe obiecte* sunt componentele esențiale ale unei arhitecturi soft de celulă independentă. În ultimul timp sistemele de gestiune

```

*structure cell
CELL 1
STATION 1
HG500
(MECHANISM1, NC1)
6PPL
STATION2
HG650
(MECHANISM2, NC2)
8PPL
*show device
HG500_____STATION1
6PPL_____STATION1
HG630_____OFF
8PPL_____STATION2
HG650_____STATION2
*change HG500 HG630
STATION1
*structure cell
CELL1
STATION1
6PPL
HG630
(MECHANISM1, NC1)
STATION2
8PPL
HG650
(MECHANISM2, NC2)

```

ale bazelor de date au numeroase facilități de programare orientată pe obiecte. Avantajele acestei abordări constau în posibilitățile foarte diverse de descriere a informației și în posibilitățile de manipulare a unei mari varietăți de tipuri de date. Datele pot fi asociate cu obiecte complexe între care pot fi realizate relații nemijlocite. În Figura 2.6-8 este reprezentată organizarea unei celule experimentale pentru care a fost scris un fragment de program folosind limbajul Flavor, o variantă a limbajului Lisp. [în \*\*\*\* Symbolics Inc., 1988, pag. 368-490].

Celula se compune din unități de prelucrare, descompuse la rândul lor în centre de prelucrare, roboți, etc. Sub acest nivel se pot distinge mecanisme, unități de control CNC, etc. Fiecare element al celulei constituie un obiect, între acestea putându-se stabili relații diverse. Atributele unui obiect sunt constituite din caracteristicile sale și toate celelalte elemente de descriere ale acestuia. Chiar și apartenența lui la o anumită categorie superioară constituie un atribut. Fiecare element de pe un nivel inferior se poate raporta la elementul situat imediat deasupra lui. Elementele de pe un anumit nivel nu au în general informații despre obiectele desfășurate pe nivelele inferioare. Structura celulei poate fi construită prin lansarea unei rutine de întrebare-răspuns de sus în jos, obținându-se astfel întreaga ierarhie a celulei, cu toate atributele elementelor componente. În acest fel înlocuirea unui anumit obiect din structură cu un

**Figura 2.6-9**

altul echivalent presupune doar declararea corectă a atributelor noului obiect, fără să fie

necesară notificarea expresă a acestei manevre. Câteva manevre tipice de tipul întrebare-răspuns sunt prezentate în fragmentul de program cuprins în Figura 2.6-9. Prima întrebare, marcată cu o săgeată, se referă la structura celulei 1. În răspuns se afirmă că stația 1 este compusă din centrul de prelucrare HG500 și dintr-un transportor de palete 6PLL.

Următoarea problemă este legată de starea de moment a componentelor din celula 1. Se pot astfel remarca stațiile 1 și 2 formate dintr-un centru de prelucrare și un transportor de palete, precum și un centru de prelucrare denumit HG630 care nu este conectat. O altă comandă este cea de schimbare a utilizării centrelor de prelucrare HG500 și HG630 prin asocierea lor la alte celule de prelucrare. În urma acestei manevre la următoarea comandă de afișare a structurii celulei, în cadrul celulei 1 va fi afișat centrul de prelucrare HG630.

*Fluxurile de informații și limbajele de programare* au drept obiect datele de producție și planificarea proceselor. Sistemele de planificare a proceselor generează planuri de proces pentru celulele virtuale. De exemplu un sistem de planificare a proceselor poate genera un plan de prelucrare de genul: 1. frezare contur A, 2. găurire orificiu B, etc. Prin intermediul unor programe speciale aceste comenzi sunt transformate în altele mult mai detaliate, care sunt adecvate centrului de prelucrare pe care se va executa operația respectivă, comenzi care se referă la tipul de scule utilizate, regimurile de așchiere, generarea traiectoriilor de mișcare a sculelor, etc. Într-o etapă ulterioară aceste comenzi vor fi traduse într-un limbaj specific echipamentelor de comandă numerică cu care sunt echipate centrele de prelucrare. Dacă operațiile sunt executate, va fi generat un raport asupra tuturor acestor operații. Dacă acestea nu se execută, atunci materialul va fi returnat în magazie împreună cu planul de operații. Acest proces de transformare a caracterului informației este prezentat în Figura 2.6-10.

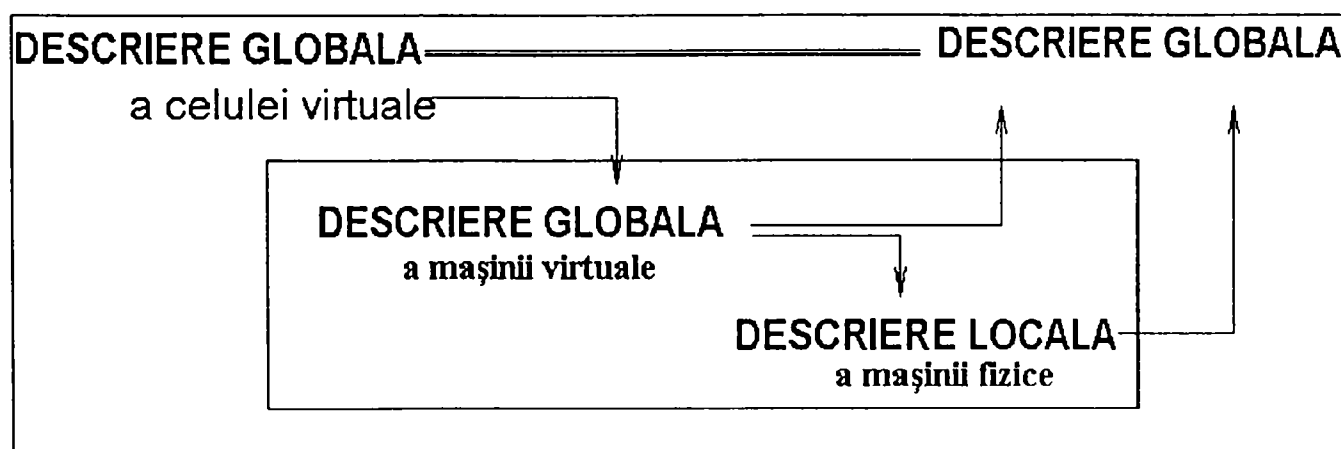


Figura 2.6-10



---

---

În concluzie, se impune elaborarea unui protocol standard pentru comanda celulei virtuale și pentru descrierea relațiilor dintre obiectele care o compun, implementat cu ajutorul unui limbaj orientat pe obiecte. În urma implementării acestui limbaj de programare se vor situa toate celelalte proceduri de comandă concretă a tuturor componentelor celulei, folosind de această dată limbaje proprii și comenzi specifice fiecărui obiect.

*Funcția de simulare* stă la baza oricărui proces de decizie într-o celulă de fabricație autonomă. Abilitatea și calitatea simulării au un efect major asupra nivelului de autonomie al unei celule de fabricație. Tehnicile de simulare se pot referi la simularea programului de fabricație, la simularea proceselor sau la simularea comenzilor.

---

---

## 2.7. Bibliografie

1. \*\*\*\* Symbolycs Inc., 1988, Symbolics Common Lisp-Language Concepts, #999055.
  2. Abel, D., 1990, Petri-Netze für Ingenieure. (Springer-Verlag, Berlin).
  3. Alla, H., Ladet, P., 1986, Coloured Petri Nets: A Tool for Modelling, Validation and Simulation of FMS, in A. Kusiak (Editor), Flexible Manufacturing Systems, Methods and Studies, Elsevier Science Publishers B. V. (North - Holland).
  4. David, R., Alla, H., 1994, Petri Nets for Modeling of Dynamic Systems- a survey. *Automatica*, 30, 175-202.
  5. Douglas Lyon, 1996, On the Use of Stochastic Petri Nets for the Performance of Real-time N<sup>th</sup> Order Stochastic Composition, [www.bridgeport.edu/subpage](http://www.bridgeport.edu/subpage).
  6. Francisc Kovacs, Sanda Grigorescu, Cornel Rădulescu, 1994, Sisteme de fabricație flexibilă robotizate, partea a II-a, Litografia UPT, Timișoara.
  7. Hauke Jungnitz, Alan Desrochers, 1991, An Overview of Analytical Performance Analysis Models for Manufacturing Systems, in Design, Analysis and Control of Manufacturing Cells, ASME, PED- Vol. 53.
  8. Hietiko, E., 1996, Computer Aided System for Preliminary Design of Screen Cylinder Variants. C Technica 90, Acta Universitatis Ouluensis Technica, Department of Mechanical Engineering, Oulu.
  9. Hruz, B., 1995, Control of Discrete Event Dynamic Systems in the Context with Flexible Manufacturing Systems and Petri Nets. Report 100, Helsinki University of Technology, Control Engineering Laboratory.
  10. Kaplan, S., Keter, A., Epstain, S., A., ș.a., 1990, COPILOT-A PC-Based Expert System for Reactor Operational Assistance Using a Bayesian Diagnostic Module. *Reliability Engineering and System Safety* 30, 219-237.
  11. Katz, R., 1994, Contemporary Logic Design. Benjamin/Cummings Publishing Company, Inc., New York.
  12. L'Ecuyer, P., Blouin, F., Couture, R., 1993, A Search for Good Multiple Recursive Random Number Generators. *ACM Transactions on modeling and Computer Simulation*. 3(2):87-98.
  13. Michiko Matsuda, Kuniko Inoue, 1991, Software Architecture of Autonomous Manufacturing Cells, ASME, PED -vol. 53, Design Analysis and Control of Manufacturing Cells.
  14. O'Keefe M., R., 1989, The Role of Artificial Intelligence in Discrete-Event Simulation. *Artificial Intelligence, Simulation and Modeling* (edited by Laurence E. Widman ș.a., Jonh Wiley & Sons, New York, 1989).
  15. Peterson, J., 1977, Petri Nets. *ACM Computing Surveys*. 9(3):223-252.
  16. Rembold, U., Dillman, R., 1986, Computer-Aided Design and Manufacturing. Methods and Tools. Springer-Verlag, Berlin.
  17. Ruiz-Mier, S., Talavage, J., 1989, A Hybrid Paradigm for Modeling of Complex Systems. *Artificial Intelligence, Simulation and Modeling* (edited by Laurence E. Widman ș.a., Jonh Wiley & Sons, New York, 1989).
  18. Rumbaugh, J., Blaha, M., ș. a., 1991, Object-Oriented Modeling and Design. (Prentice-Hall International, Inc.).
  19. Shu, H., 1990, A Prototype Expert System for Pressure Vessel Design. Linköping Studies in Science and Technology, Linköping University, 95p.
  20. Viswanadham, N., Narahari, Y., 1992, Performance Modeling of Automated Manufacturing. (Prentice-Hall, Englewood Cliffs, New Jersey).
- 
-

### 3. UTILIZAREA REȚELELOR PETRI LA ANALIZA PERFORMANȚELOR TEHNOLOGICE ALE SISTEMELOR FLEXIBILE DE FABRICAȚIE

#### 3.1. Cuprins

<b>3. UTILIZAREA REȚELELOR PETRI LA ANALIZA PERFORMANȚELOR TEHNOLOGICE ALE SISTEMELOR FLEXIBILE DE FABRICAȚIE</b>	<b>93</b>
<b>3.1. Cuprins</b>	<b>93</b>
<b>3.2. Principalii parametri cantitativi folosiți în analiza sistemelor de fabricație</b>	<b>96</b>
3.2.a Timpul principal de fabricație (TPF)	96
3.2.a.a. Timpul de pregătire	96
3.2.a.b. Timpul principal de prelucrare	97
3.2.a.c. Timpul de manipulare (de transfer)	97
3.2.a.d. Timpul de așteptare	98
3.2.b Numărul de piese în lucru (PIL)	98
3.2.c Rata de fabricație (RF)	98
3.2.d Capacitatea de fabricație (CF)	99
3.2.e Flexibilitatea	99
3.2.f Performabilitatea	99
3.2.g Calitatea	100
<b>3.3. Prezentarea sistemului de fabricație flexibilă din laboratorul Catedrei OMM a Facultății de Mecanică din Timișoara</b>	<b>101</b>
3.3.a Prezentare generală	102
3.3.b Probleme tehnologice	102
3.3.c Proiectarea planului de amplasament (lay-out)	104
3.3.c.a. Celula de gestionare a conveiorului și a depozitelor	106
3.3.c.b. Celula de frezare	106
3.3.c.c. Celula de măsurare	107
3.3.c.d. Celula de sudare	108
3.3.d Ciclogramele sistemului de fabricație	109
3.3.e Analiza structurală a sistemului de fabricație	110

---

---

<b>3.4.</b>	<b>Modelul cu rețele Petri folosit în analiza parametrilor cantitativi ai sistemului de fabricație</b>	<b>113</b>
<b>3.5.</b>	<b>Elemente de analiză cantitativă</b>	<b>115</b>
3.5.a	Timpul principal de fabricație	120
3.5.b	Indicele de utilizare al dispozitivului de transfer Uagv	121
3.5.c	Indicele de utilizare al mașinii de tăzat (Ufre) și indicele de utilizare al robotului de sudare(Usud)	122
3.5.d	Indicele de blocaj Ib	123
3.5.e	Indicele de blocaj a pieselor în ciclu Ibc	125
<b>3.6.</b>	<b>Anexe</b>	<b>126</b>
<b>3.7.</b>	<b>Bibliografie</b>	<b>156</b>

---

---

---

---

Sistemele flexibile de fabricație fac parte în esență din categoria *sistemelor cu evenimente discrete*, la care evoluția în timp a sistemului depinde de interacțiunea diverselor evenimente separate, cum ar fi alimentarea cu semifabricate a unei mașini, ieșirea din sistem a unei piese finite, defectiunile apărute la unele mașini, etc. În evoluția unui astfel de sistem se pot identifica situații în care *unele subsisteme prezintă un comportament continuu în timp*. De exemplu pe durata prelucrării unei piese, deși starea sistemului general nu se modifică, la nivelul subsistemului de prelucrare se produc transformări continue a masei de material sau de reziduri, a conținutului informațional al piesei rezultate, etc. Starea unui astfel de sistem se modifică însă esențial doar la anumite momente și nu continuu în timp, așa cum se întâmplă de exemplu la un sistem de transfer de căldură sau de curgere a unor fluide. Modelarea funcționării sistemelor cu evenimente discrete are două aspecte distincte:

- *modelarea calitativă*, care urmărește aspecte cum ar fi controlabilitatea sistemului, stabilitatea, existența punctelor de blocare;
- *modelarea cantitativă*, având drept obiective determinarea unor parametrii cum ar fi productivitatea sistemului, cantitatea de produse aflată în proces, precum și alți parametrii de ordin cantitativ.

După cum este prezentat în [Viswanadham, N., Narahari, Y., 1992, pag. 3 și urm.], principalele probleme la care trebuie să răspundă modelarea calitativă sunt:

- care este probabilitatea ca un produs să fie livrat înainte de un anumit termen;
  - care este numărul minim de mașini de lucru necesare pentru ca productivitatea medie a sistemului să atingă o anumită valoare;
  - câte dispozitive de prindere și palete sunt necesare pentru ca indicele de utilizare al utilajelor să depășească 80%;
  - capacitatea de producție este suficientă pentru a produce și livra o anumită cantitate de produse până la un anumit termen;
  - care este "lay-out"-ul care oferă cea mai mare flexibilitate;
  - care este numărul minim de resurse din sistem (mașini, dispozitive de transfer, magazii intermediare) care asigură o probabilitate de minim 95% pentru producerea unui anumit număr de repere în condițiile prezenței întreruperilor accidentale ale mașinilor;
  - care este efectul blocării unei mașini asupra productivității sistemului și asupra timpului principal de prelucrare;
  - care sunt punctele înguste în sistem ;
  - dacă sistemul prezintă blocaje și care este timpul mediu până la apariția acestora;
- 
-

- 
- 
- care sunt influențele numărului de componente de un anumit tip din sistem asupra productivității acestuia și a timpului principal de fabricație;
  - dacă există capacități disponibile în sistem pentru preluarea unor sarcini de fabricație de prioritate mai redusă.

### 3.2. Principalii parametri cantitativi folosiți în analiza sistemelor de fabricație

În continuare vor fi prezentați parametrii principali de analiză cantitativă (modelare cantitativă) pentru un sistem de fabricație [Viswanadham, N., Narahari, Y., 1992, pag. 37 și urm.].

#### 3.2.a Timpul principal de fabricație (TPF)

*Timpul principal de fabricație (TPF) este timpul total necesar pentru obținerea unui produs la nivelul unei întreprinderi sau sistem de fabricație.*

*Timpul total de fabricație (TTF) este timpul scurs de la comandarea materiilor prime până la livrarea produsului finit către beneficiar.*

În mod ideal, timpul principal de fabricație ar trebui să fie egal cu suma timpilor de prelucrare și de asamblare. Aceasta poate fi valabilă dacă lotul de fabricație este de mărime 1, nu există timpi de manipulare a materialelor, timpi de pregătire, timpi de întrerupere sau de defectare a utilajelor, etc. Firește că astfel de condiții ideale nu pot fi întâlnite în practică. De aceea vor fi prezentate în continuare principalele componente ale TPF, împreună cu factorii principali care le influențează.

##### 3.2.a.a. Timpul de pregătire

*Timpul de pregătire este timpul necesar pentru o mașină sau pentru un sistem de fabricație pentru a trece de la un produs la altul.*

În categoria timpilor de pregătire se include timpul necesar pentru prindere-desprindere, schimbarea sculelor și pregătirea locului de muncă. Reducerea timpilor de pregătire are un profund efect asupra flexibilității unui sistem de fabricație, constituind baza filozofiei de producție "just in time". Timpul de pregătire se manifestă de fiecare dată când un nou lot de produse este încărcat pe sistem. *Mărimea economică a lotului de fabricație "Q"* este acel număr de repere pentru care suma cheltuielilor de pregătire și a celor de inventar este minimă.

---

---

Costurile totale pe unitate de produs din lot, "C", sunt date de ecuația ( 3.2-1 ):

$$C = \frac{R}{Q}S + \frac{Q}{2}I$$

( 3.2-1 )

unde:

S = suma costurilor de pregătire pe lot;

R = rata de apariție a unui anumit reper în lot;

I = costurile de inventar pe reper.

Prin derivarea acestei ecuații în raport cu "Q" și formularea condiției de minim "dC/dQ=0" se poate obține mărimea optimă a lotului "Q" pentru care costurile sunt minime, conform relației ( 3.2-2 ) :

$$Q = \sqrt{\frac{2SR}{I}}$$

( 3.2-2 )

Se observă din analiza acestor relații că diminuarea timpilor de pregătire de "n" ori va conduce la o diminuare a lotului optim de  $\sqrt{n}$  ori, deci implicit o reducere a costurilor de inventar.

### 3.2.a.b. Timpul principal de prelucrare

*Timpul principal de prelucrare este timpul necesar pentru schimbarea proprietăților fizico-chimice ale semifabricatului la un anumit post.*

Acesta este singurul interval de timp în care se schimbă valoarea produsului. Toate celelalte intervale de timp nu modifică valoarea semifabricatului și trebuie minimizate. Relațiile de calcul ale timpului principal de prelucrare sunt specifice diverselor procedee tehnologice.

### 3.2.a.c. Timpul de manipulare (de transfer)

*Timpul de transfer este considerat timpul folosit pentru deplasarea pieselor dintr-un loc de muncă la altul.*

Manevrarea (manipularea, transferul, transportul) piesei se poate face în interiorul spațiului de lucru al mașinii, în interiorul unei secții, al unei întreprinderi, sau între diverși subcontractanți care participă la realizarea unui anumit produs. Evident că raționalizarea timpilor de manevră constă în reducerea lor la valori minimale și suprapunerea cu timpii de mașină. Există în principal trei căi de reducere a acestor timpi de manevră:

- *utilizarea unor centre de prelucrare evaluate*, care dispun de magazii de scule foarte cuprinzătoare, capabile să execute un număr mare de sarcini de prelucrare fără manevrarea pieselor pe alte mașini;
- organizarea producției pe *principiul tehnologiilor de grup*, astfel încât toate mașinile unelte necesare pentru realizarea unei anumite familii de repere să fie grupate și aliniată într-o succesiune logică;
- utilizarea unor *sisteme de transfer de mare eficiență*, cum ar fi transportoarele cu lanțuri, AGV-uri inteligente, încărcătoare frontale și multe altele.

### 3.2.a.d. Timpul de așteptare

*Timpul de așteptare este intervalul de timp petrecut de un reper în așteptarea eliberării unei resurse care să-l transfere în etapa următoare a procesului de fabricație.*

Aceste resurse sunt de cele mai multe ori centrele de prelucrare sau sistemele de transfer care sunt partajate de întregul sistem de fabricație și care au de îndeplinit simultan mai multe sarcini de producție.

### 3.2.b Numărul de piese în lucru (PIL)

*Numărul de piese în lucru (PIL) reprezintă cantitatea de repere în diverse faze de fabricație aflate la un moment dat în sistem.*

În accepțiunea clasică, numărul de piese în lucru era o garanție pentru trecerea cu succes a unor momente de întrerupere în funcționare sau în alimentarea cu semifabricate. Într-o accepțiune mai modernă, numărul mare de piese în lucru înseamnă o reducere a flexibilității și o creștere a timpilor de așteptare a reperelor în vecinătatea utilajelor. Acestea sunt aspecte care trădează vicii de organizare și care sunt, deci, nedorite.

PIL se poate aprecia prin produsul dintre rata de transfer a liniei (sau a celulei) și timpul necesar pentru ca un reper să iasă de pe linie, altfel spus TPF.

În mod ideal, PIL ar trebui să fie egal cu numărul de mașini al celulei, astfel încât nici o mașină să nu aștepte vreun semifabricat iar acestea să nu se acumuleze în așteptarea eliberării vreunui utilaj.

### 3.2.c Rata de fabricație (RF)

Pentru un sistem de fabricație, *rata de fabricație* se exprimă prin numărul de repere sau piese obținute într-o unitate de timp, oră sau zi. Inversul ratei de fabricație este intervalul



---

---

de timp necesar producerii unui reper. Pornind de la această definiție, în cazul unei linii de transfer tehnologic rata de fabricație va fi inversul tactului liniei (unități de timp pe reper). În cazul unor celule flexibile, relația de calcul pentru rata de fabricație este mai dificil de obținut. În această situație, simularea pe baza unui model fidel poate oferi valori convenabile pentru acest parametru.

#### 3.2.d Capacitatea de fabricație (CF)

În cazul unor celule de fabricație *capacitatea de fabricație* se poate exprima prin numărul de repere ce pot fi produse pe linia respectivă într-un anumit interval de timp de mare amploare (numărul de repere pe schimb sau pe 24 de ore, de exemplu). Acest parametru nu se obține prin simpla multiplicare a ratei de fabricație cu timpul de referință ci se ține cont și de aspectele de fiabilitate a celulei, cu caracter statistic. Uneori este dificil de apreciat capacitatea unei celule de fabricație sau a unei întreprinderi printr-un număr de repere produse, mai ales dacă acestea nu au un caracter omogen. De aceea se pot folosi și alți parametri, cum ar fi *timpul total de mașină* pe un interval de referință.

#### 3.2.e Flexibilitatea

Un *sistem flexibil* este un sistem capabil să răspundă la schimbări, iar *flexibilitatea* este proprietatea unui sistem de a răspunde efectiv la schimbare.

Schimbările care pot afecta un sistem pot avea proveniență internă (defecțiuni ale echipamentelor, variații ale timpului de așchiere pe diverse mașini, absenteismul personalului angajat, probleme de calitate) sau proveniență externă (schimbări ale documentației, modificări ale cerințelor de piață). Noțiunea de flexibilitate este strâns legată de cea de *competitivitate*. Puterea de a răspunde prompt cerințelor pieței prin produse noi, de bună calitate și cu timpi de realizare cât mai reduși, atribut ce se leagă de flexibilitate, face ca o întreprindere sau o celulă de fabricație să fie competitivă din punct de vedere economic și tehnic.

#### 3.2.f Performabilitatea

Aprecierea performanțelor unui sistem trebuie să includă și aspectele probabilistice legate de timpii de întrerupere datorati defecțiunilor de utilaj. Din acest punct de vedere, se utilizează două noțiuni distincte, ambele legate de caracterul mai mult sau mai puțin performant al unui sistem: fiabilitatea și disponibilitatea.

---

---

*Fiabilitatea*  $F(t)$  a unui sistem este probabilitatea “P” ca sistemul să lucreze continuu pe un interval de timp  $[0,t]$  și să fabrice produse corespunzătoare calitativ.

Dacă se notează cu “T” variabila aleatoare care reprezintă timpul de întrerupere din sistem, atunci definiția fiabilității pe un interval de timp  $[0,t]$  se poate exprima prin relația:

$$F(t) = P\{T < t\} \quad (3.2-3)$$

Este evident faptul că valoarea fiabilității depinde de *distribuția cumulată a timpului de întrerupere*, notată cu “C(t)”:

$$F(t) = 1 - C(t) \quad (3.2-4)$$

Se notează cu “f(t)” densitatea de probabilitate a lui “T”. Cu aceste notații, timpul mediu până la apariția unei defecțiuni (TMD) se va determina cu relația:

$$TMD = \int_0^{\infty} tf(t)dt \quad (3.2-5)$$

Dacă definim variabila aleatoare “ $T_R$ ” ca fiind timpul de reparații, iar cu “f(t)” densitatea de probabilitate a acestei variabile, atunci se va putea calcula timpul mediu de reparație (TMR) cu relația:

$$TMR = \int_0^{\infty} tf(t)dt \quad (3.2-6)$$

*Disponibilitatea* “D” a unui sistem la un moment “t” este considerată a fi probabilitatea ca sistemul să se afle în funcțiune la momentul “t”. Dacă nu există defecțiuni, este evident că disponibilitatea sistemului va fi 1, deci el va fi în funcțiune în orice moment. Se poate demonstra că disponibilitatea unui sistem de fabricație este:

$$D = \frac{TMD}{TMD + TMR} \quad (3.2-7)$$

### 3.2.g Calitatea

Satisfacerea pretențiilor de calitate ale partenerilor de fabricație, fie că ei sunt subcontractori sau clienți de produse finite, este cel mai înalt deziderat la care trebuie să se supună un proces de fabricație. Dinamica deosebit de accentuată a producției în ultimii ani, impusă de o competiție din ce în ce mai acerbă pe piață, a dus la cristalizarea unui nou

---

---

concept de asigurare a calității și de organizare a controlului de calitate: *principiul calității totale*. Principalele componente ale acestui principiu sunt:

- *controlul în proces*, care presupune organizarea unor puncte de control individual la fiecare post de lucru, unde sunt controlate toate reperetele care se produc;
- *calitatea transparentă*, care presupune deschiderea întreprinderilor și a secțiilor de producție către clienți, care pot aprecia organizarea producției și indicii de calitate obținuți chiar la fața locului;
- *transferul de autoritate* în domeniul calității la nivelul lucrătorului bine calificat, care are posibilitatea de a opri întreg ciclul de fabricație, dacă constată că nu sunt respectați indicii de calitate;
- *controlul total*, care presupune verificarea întregii producții realizate, bucată cu bucată.

Pe baza acestor principii se poate obține o reducere a costurilor de mentenanță ale produsului, care vor compensa creșterile de costuri de producție, astfel încât, pe ansamblu, sporirea indicilor de calitate ai produselor nu trebuie să însemne în mod necesar creșterea prețului de producție!

### 3.3. Prezentarea sistemului de fabricație flexibilă din laboratorul Catedrei OMM a Facultății de Mecanică din Timișoara

O primă abordare din partea autorului a domeniului evaluării cantitative a unui sistem de fabricație pe bază de modelare a fost făcută în lucrarea [Dreucean, M., 1996]. Alături de alte considerații asupra unor aspecte ale modelării sistemelor cu evenimente discrete, în lucrarea amintită sunt prezentate și definițiile principalilor parametrii cantitativi implicați în acest demers.

Ulterior, pe baza experienței acumulate cu ocazia stagiilor de documentare din străinătate și a studiilor efectuate, autorul a contribuit la organizarea unui sistem de fabricație automatizată flexibilă la sediul Catedrei de Organe de Mașini și Mecanisme a Facultății de Mecanică din Timișoara, sistem finanțat într-un program Tempus. Acest sistem a fost folosit în lucrarea de față ca suport real al tuturor metodelor de analiză și conducere prezentate. Pentru o mai bună înțelegere a etapelor de elaborare a modelului și a celor de simulare care vor urma, se consideră necesară prezentarea în detaliu a construcției acestui sistem, pornind de la tipurile de piese ce se vor prelucra. La proiectarea și realizarea acestui sistem a lucrat susținut o echipă condusă de Prof. dr. ing. Francisc Kovacs, echipă din care a făcut parte și autorul prezentei lucrări.

---

---

### 3.3.a Prezentare generală

Finanțarea proiectului de realizare a sistemului flexibil de fabricație de la sediul Catedrei OMM a fost făcută în cadrul proiectului TEMPUS JEP 3517-92. Acest proiect Tempus a fost orientat spre dezvoltarea învățământului de producție la Facultatea de Mecanică din Timișoara. Amplasamentul sistemului a fost stabilit la parterul corpului de laboratoare din curtea Facultății de Mecanică, unde există o hală de dimensiuni corespunzătoare. Destinația acestui sistem de fabricație este în primul rând didactică și de cercetare, deși nu sunt excluse și întrebuințări în scop direct productiv.

Sistemul a fost realizat prin integrarea unor echipamente existente, într-o structură unitară bazată pe două variante de piese de tip flanșă cu butuc, denumite în prezenta lucrare “Flanșa 1” și “Flanșa 2”. Acestor echipamente li s-au adăugat câteva dispozitive de depozitare și transfer care au fost proiectate ad hoc.

Principalele operații tehnologice realizate în sistem sunt frezarea, măsurarea și sudarea. Servirea acestor operații se face de către patru roboți care au atât rol de manipulare a materialelor cât și de transfer a pieselor pe distanțe scurte, unul din roboți având translația orizontală pe o distanță de 2000 [mm].

Conducerea sistemului este realizată în momentul de față cu ajutorul unor calculatoare PC orientate exclusiv pe controlul axelor robotului, fără posibilități de programare și compunere a mișcărilor. În acest stadiu se pot executa doar mișcări limitate de capetele de cursă cu confirmările necesare pentru trecerea de la o fază la alta. Nu există un program de conducere integrată a sistemului. Elementele principale pentru realizarea unui astfel de program sunt prezentate în continuarea lucrării de față.

### 3.3.b Probleme tehnologice

Piese reprezentative sunt de două tipuri distincte, formând cele două jumătăți ale unui suport de rolă pentru benzi transportoare. Cele două jumătăți se vor îmbina prin sudare. Prima piesă (piesa 1 sau “Flanșa 1” în cele ce urmează) are o gaură centrală și un șanfren în jurul acesteia destinat îmbinării prin sudare. Desenul acestei piese apare în Figura 3.3-1.

Operațiile tehnologice impuse de piesa 1 sunt următoarele:

- găurire cu burghiu de diametrul  $\varnothing 20$  pe adâncimea de 75 de mm;
- găurire cu burghiu de diametrul  $\varnothing 50$  pe adâncimea de 50 de mm;
- lamare la fundul găurii de  $\varnothing 50$ ;
- teșirea găurii  $\varnothing 50$  pentru facilitarea asamblării.

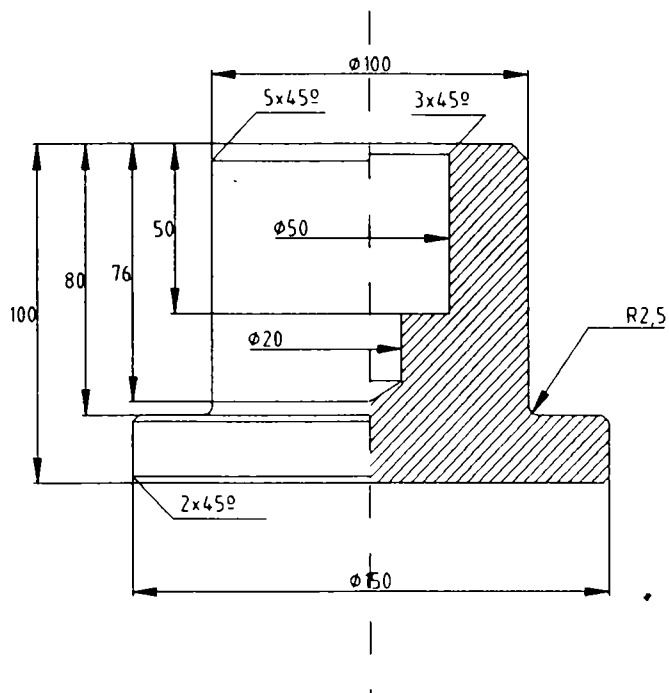


Figura 3.3-1

nu necesită prelucrări mecanice. Sudarea celor două piese se va realiza cu ajutorul unui robot

Pentru a realiza aceste operații este nevoie de o mașină de frezat sau de găurit în coordonate. Semifabricatele au forma prezentată în Figura 3.3-3. Acestea nu au nici un detaliu de formă interioară, toate detaliile interne urmând a fi realizate în cadrul sistemului de fabricație flexibilă.

A doua piesă, (piesa 2 sau "Flanșa 2"), care se va îmbina cu prima prin sudare, are un cep cilindric la capătul opus flanșei, destinat centrării pe alezajul din contra-piesă. Această piesă

este redată în Figura 3.3-2. Desenul acestei piese

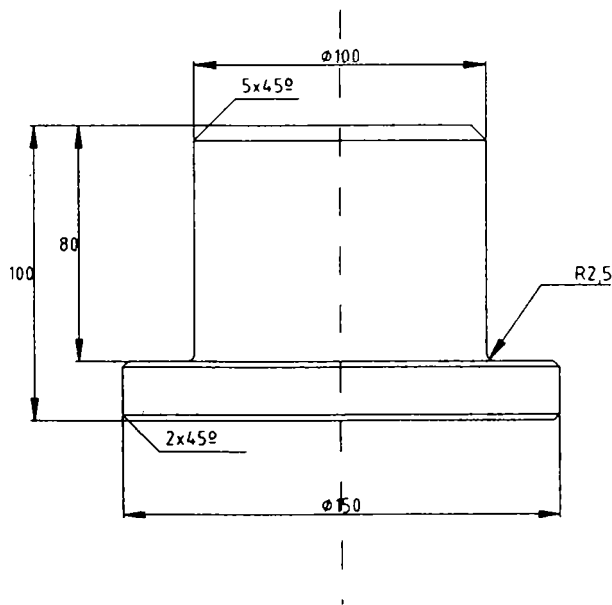


Figura 3.3-3

este redat în Figura 3.3-2.

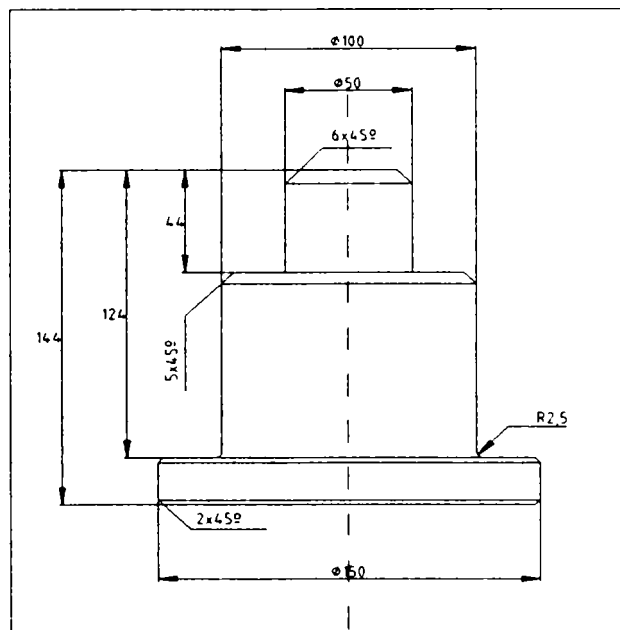


Figura 3.3-2

Făcând un inventar al tuturor operațiilor tehnologice impuse de piesele reprezentative descrise anterior se poate concluziona că sistemul în care se vor prelucra are nevoie de următoarele mașini de lucru:

- mașină de frezat sau de găurit în coordonate pentru prelucrarea piesei 1;
- instalație de sudare cu dispozitiv rotativ;
- instalație de măsurare (opțional).

### 3.3.c Proiectarea planului de amplasament (lay-out)

Proiectarea planului de amplasament a fost făcută pe baza condițiilor existente în hala în care funcționează sistemul și pornind de la dimensiunile și spațiile de lucru ale echipamentelor aflate la dispoziție, cu respectarea indicațiilor din [Kovacs, Fr., Grigorescu, S., Rădulescu, C., 1994].

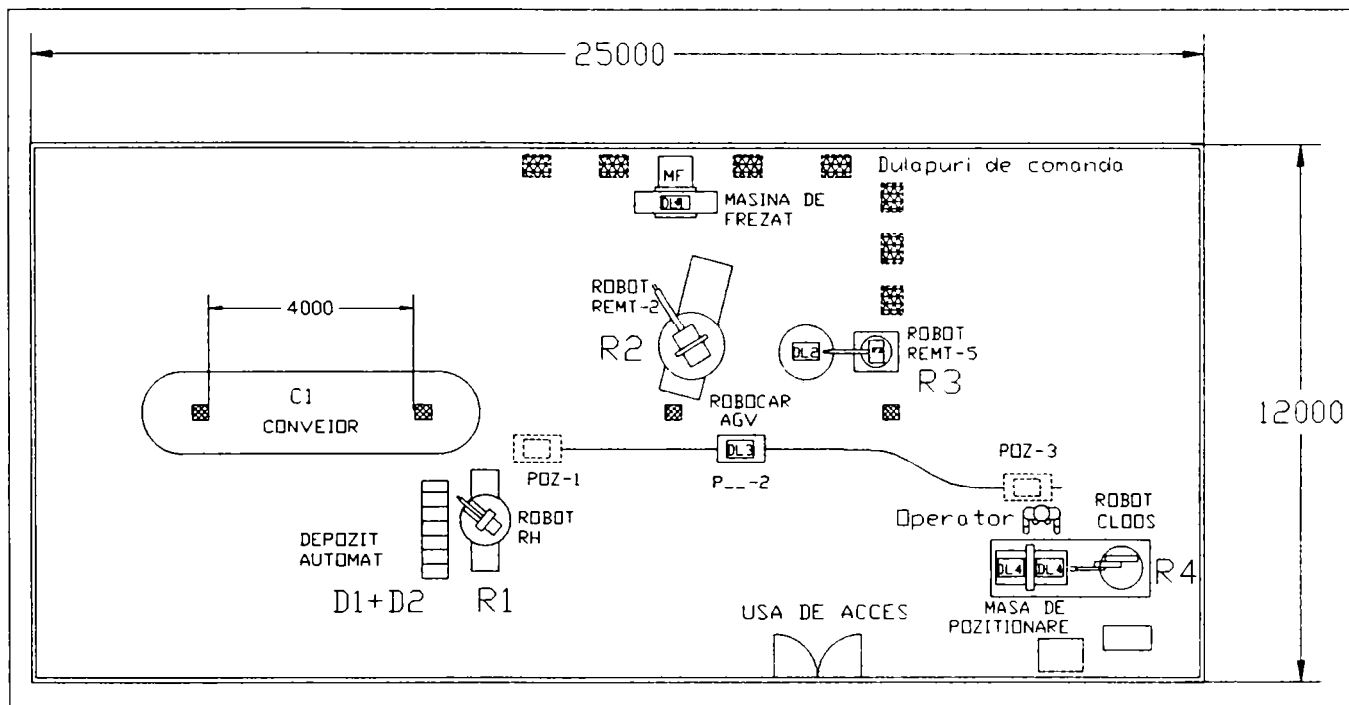


Figura 3.3-4

Planul general de amplasament al sistemului este reprezentat în Figura 3.3-4. Așa după cum reiese și din figură, sistemul este format din următoarele componente:

- o mașină de frezat cu cap revolver cu 6 poziții, masă orizontală și comandă numerică, de tip WMW Heckert. Mașina este prevăzută cu un echipament de comandă numerică iar puterea instalată a mașinii este de 11 KW;
- un robot de sudare fix, de tip Cloos, cu echipament de comandă Cloos și instalație de sudare MIG;
- un robot de servire a mașinii de frezat cu translație de bază lungă, de tip REMT-2;
- un robot de măsurare de tip REMT-5 care poartă un palpator electronic;
- un robot hidraulic pentru servirea depozitelor D1 și D2 și pentru extragerea pieselor de pe conveior;
- un conveior suspendat cu lanț;

- un dispozitiv de transfer la sol de tip vehicul ghidat automat (AGV) care se deplasează rectiliniu pe o traiectorie fixă și realizează un acces serial al echipamentelor pe care le servește;
- un operator uman care servește robotul de sudare pentru schimbarea pieselor și încărcarea/descărcarea lor de pe dispozitivul de transfer.

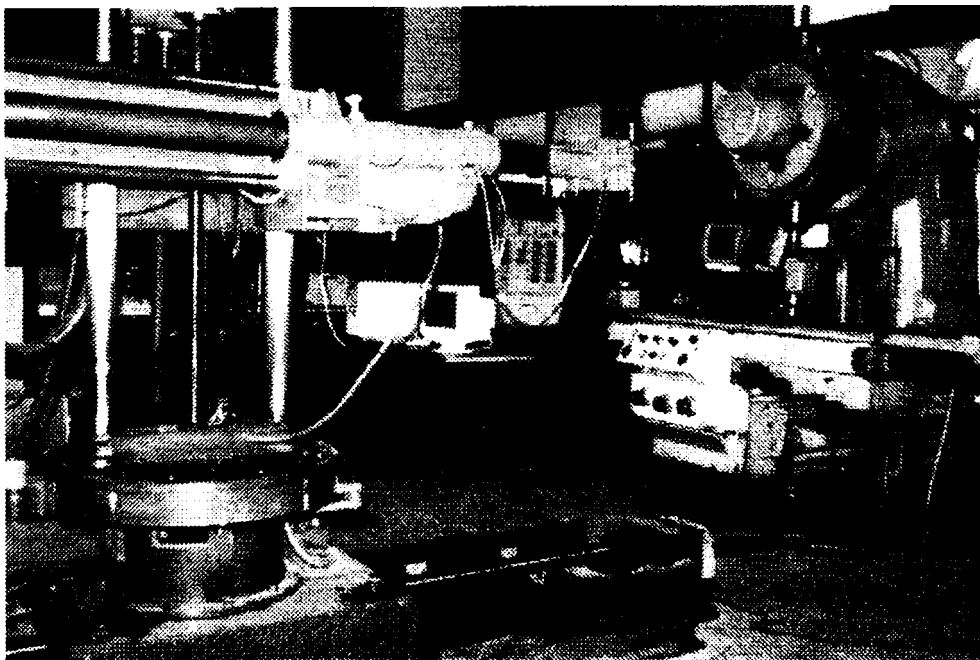
*Operațiile distincte* care se pot desfășura în acest sistem sunt următoarele:

- alimentare de pe conveior;
- frezare;
- verificare (măsurare);
- asamblare;
- sudare;
- transfer la sol;
- manipulare
- depozitare.

Pentru realizarea acestor operații de bază s-au proiectat și realizat *patru celule de fabricație independente*:

- celula de gestionare a conveiorului și a depozitelor;
- celula de frezare
- celula de măsurare;
- celula de sudare.

În Figura 3.3-5 este reprezentat un detaliu al celulei de fabricație.



**Figura 3.3-5**

### 3.3.c.a. Celula de gestionare a conveiorului și a depozitelor

Celula de gestionare a depozitelor și a conveiorului conține în primul rând un robot hidraulic "R1" pe post de manipulator. Robotul are structura R.T.T. Tot în acest post sunt incluse și depozitele "D1" și "D2" de tip matricial care adună piesele finite ("D1"), respectiv piesele rebut ("D2"). Conveiorul "C1" (vezi Figura 3.3-6) are rolul de dispozitiv de intrare în sistem, el conținând semifabricatele care se prelucreză în sistem, într-o ordine aleatoare. Piesele sunt preluate de pe conveior de robotul "R1" și depuse pe dispozitivul de transfer (AGV) aflat în poziția 1 ("POZ-1" în figură). Piesele care ies din sistem sunt preluate din aceeași poziție și manipulate spre depozitele 1 sau 2 după necesități. Manipularea pieselor se face cu ajutorul brațului de robot care este echipat cu un dispozitiv de prehensiune cu trei degete comandat hidraulic. Piesele sunt prinse pe zona cilindrică de diametru  $\varnothing 100$  (vezi Figura 3.3-1 și Figura 3.3-2).

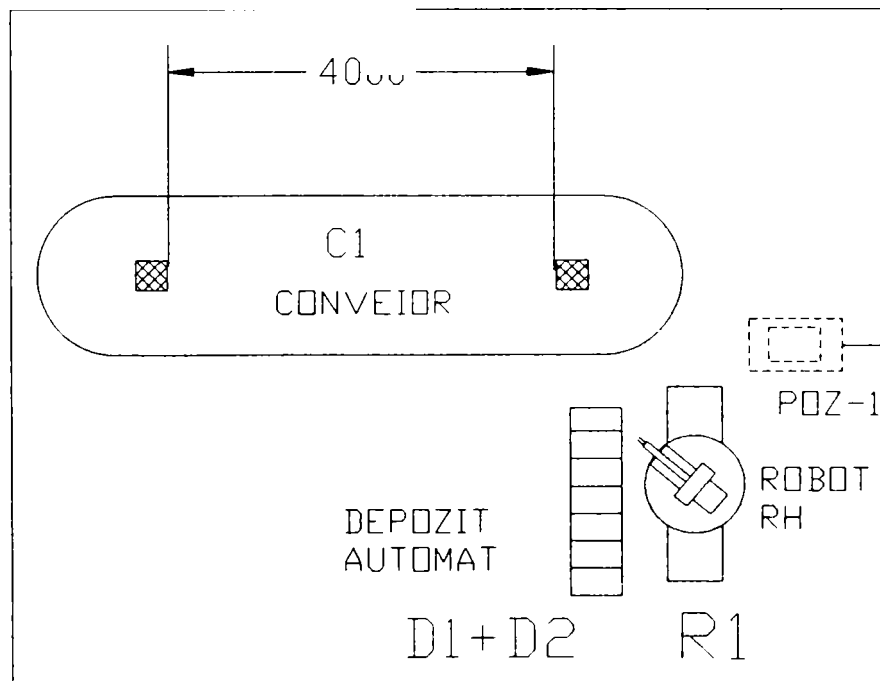


Figura 3.3-6

### 3.3.c.b. Celula de frezare

Se observă în Figura 3.3-7 că mașina de frezat este echipată cu un dispozitiv de lucru "DL1" cu acționare pneumatică, dispozitiv care este folosit pentru fixarea pieselor pe masa mașinii de frezat la nivelul cotei  $\varnothing 100$  sau al cotei  $\varnothing 150$ , după necesități. Dispozitivul are o cursă suficientă a bacurilor de fixare pentru a acoperi această diferență de diametre.

Servirea mașinii de frezat este asigurată de un robot "R2" de tip REMT-2, echipat cu o translație inferioară lungă (2000 mm), care poate efectua astfel și mișcări de transfer. Acesta



efectuează operațiile de alimentare a mașinii de frezat cu piesele care necesită astfel de operații, în speță piese de tip “Flanșal”. Piesele sunt preluate de pe dispozitivul de transfer AGV parcat în poziția 2 (“POZ-2” în figură) care le aduce în această poziție de la robotul “R1” de încărcare/descărcare. După prelucrare piesele se transferă cu ajutorul robotului “R2” pe masa robotului de măsurare.

Pe lângă sarcina de servire a mașinii de frezat, robotul “R2” mai are și rolul de a manipula piesele de la postul de măsurare. Astfel, robotul va prelua din acest post piesele care ies de la măsurare cu verdictul “OK” și le va transfera pe dispozitivul de transfer AGV unde se va face asamblarea cu piesa de tip “Flanșă2”. Piesele care vor avea la măsurare verdictul “Rebut” vor fi de asemenea transferate pe AGV pentru transferul spre depozitul “D2”.

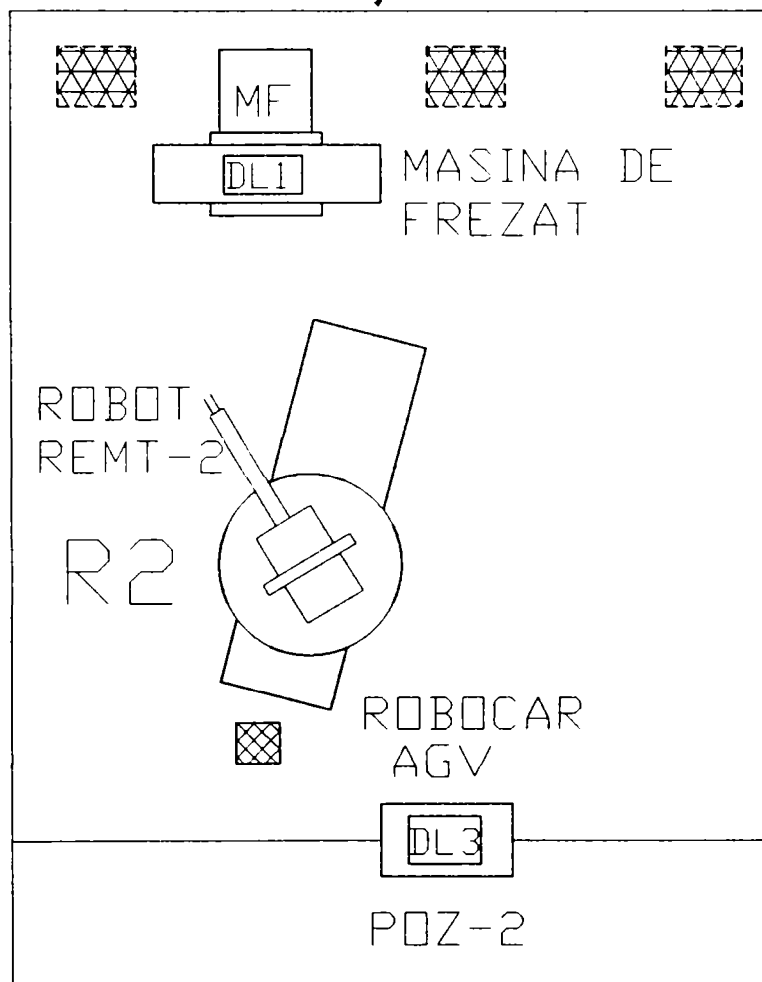


Figura 3.3-7

### 3.3.c.c. Celula de măsurare

Ciclul de măsurare presupune efectuarea operațiilor de verificare asupra reperelor care au fost prelucrate prin frezare, în vederea trecerii lor la asamblare sau, eventual, în magazia de rebuturi “D2”. Măsurarea propriu-zisă se efectuează cu ajutorul unui palpator instalat în sistemul de prehensiune al robotului “R3” de tip REMT-5. Piesa se găsește în

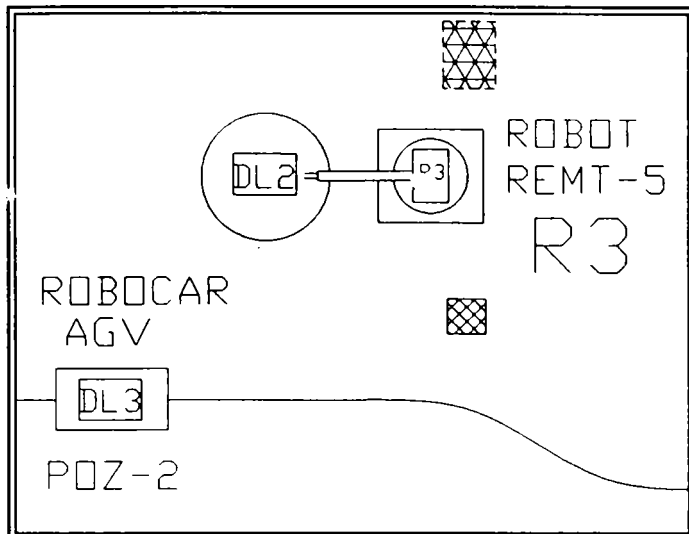


Figura 3.3-8

timpul măsurării așezată într-un dispozitiv “DL2”. Pentru efectuarea măsurătorilor sistemul are nevoie de setarea unui punct de referință pe suprafața piesei iar pentru calculul dimensiunilor sunt folosite cotele de poziție ale robotului din momentul în care palpatorul atinge diverse puncte de pe suprafața piesei în conformitate cu planul de măsurători.

### 3.3.c.d. Celula de sudare

O altă celulă distinctă aflată în componența sistemului de fabricație flexibilă este celula de sudare, reprezentată în Figura 3.3-9. Această celulă este deservită de un robot de sudare “R4” de tip Cloos și de o masă de poziționare cu două posturi în care se găsesc două dispozitive de lucru “DL4”.

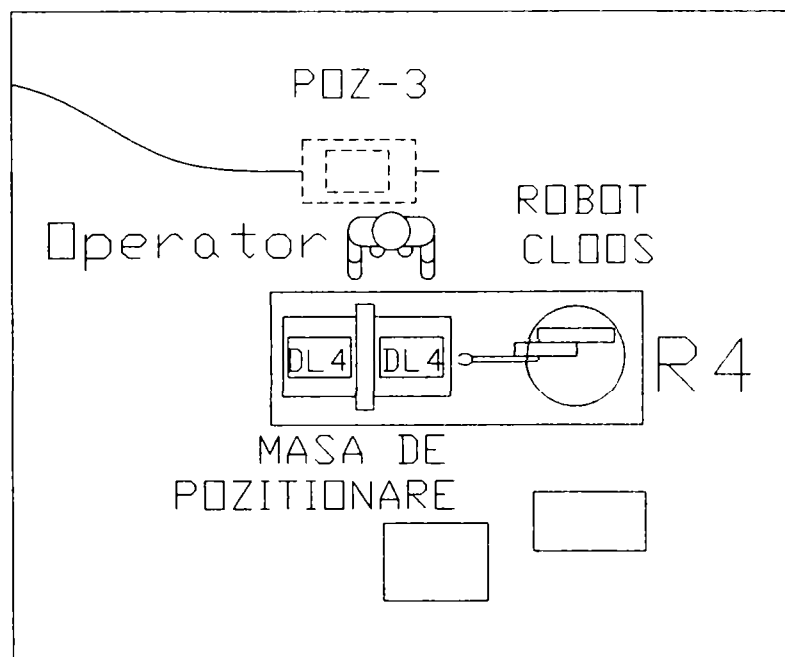


Figura 3.3-9

Ciclul de sudare beneficiază de serviciul unui operator uman. Acesta are rolul de a efectua încărcarea/descărcarea dispozitivelor de sudare și transferul pieselor de pe dispozitivul de transfer AGV în zona robotului de sudare. Dispozitivul de transfer se află parcat în cea de-a treia poziție fixă (“POZ-3” în figură). Robotul de sudare efectuează cordonul circular de sudură la îmbinarea celor două piese. În timpul sudării uneia din piese, în al doilea post al

---

mesei de sudare se realizează schimbarea piesei sudate cu un nou set de piese pregătit pentru sudare, astfel încât timpii de pregătire la sudare să fie cât mai reduși.



**Figura 3.3-10**

Sistemul prezintă particularitatea că unele dintre componentele sale sunt partajate de mai multe alte componente. În această situație se află dispozitivul de transfer de tip AGV, roboții de servire a depozitelor și a conveiorului, robotul de servire a mașinii de frezat. Această particularitate pune unele probleme de conflict în realizarea conducerii sistemului, probleme care au fost rezolvate prin alegerea unei logici de transfer corespunzătoare.

#### 3.3.d Ciclogramele sistemului de fabricație

În sistem se introduc două tipuri de piese: piesa 1 ("Flanșă1") care are necesități de prelucrare și piesa 2 ("Flanșă2") care nu se prelucurează ci doar se assemblează cu primul tip de piesă după ce aceasta a fost prelucrată. Asamblarea celor două piese se face la nivelul dispozitivului "DL3" aflat pe platforma superioară a dispozitivului de transfer. În urma asamblării în sistem va circula un nou tip de piesă denumită "Ansamblu". Această piesă va fi transferată la robotul de sudare "R4" de unde se va întoarce cu ajutorul AGV-ului în depozitul "D1".

Toate cele de mai sus sunt valabile în cazul în care după frezare rezultă o piesă "OK", adică o piesă bună dimensional. Dacă însă din procesul de frezare rezultă o piesă incorectă

---

dimensional, adică un “Rebut”, atunci aceasta nu va mai fi transferată la asamblare ci va fi depozitată în depozitul “D2” unde ajunge prin manipularea cu “R2” și transferul cu dispozitivul AGV, urmat de manipularea cu robotul “R1”.

În ciclogramele care vor urma sunt prezentate operațiile care se execută în sistem pentru prelucrarea pieselor de tip 1 (Figura 3.3-11) și a pieselor de tip 2 (Figura 3.3-12).

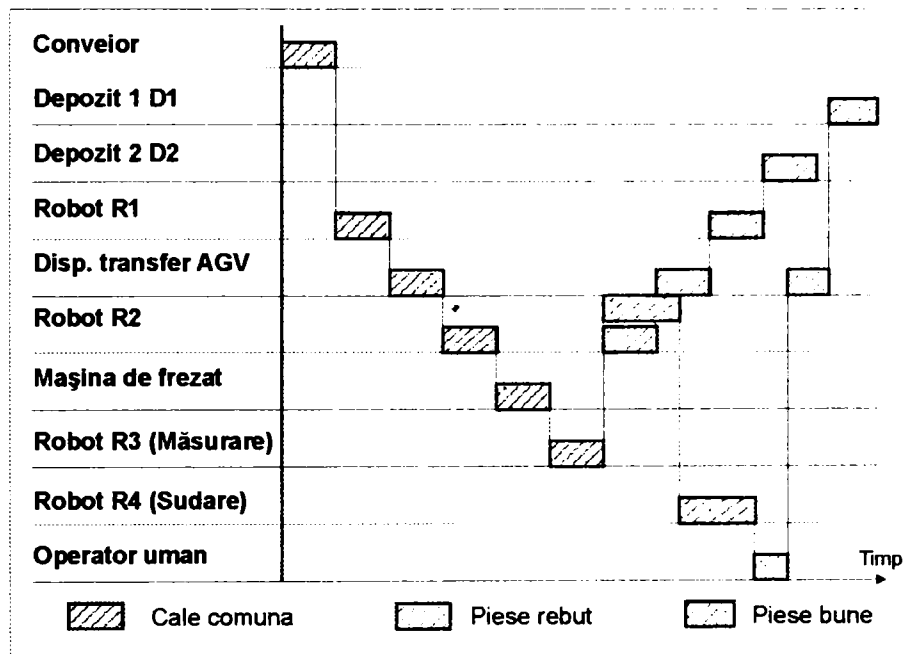


Figura 3.3-11

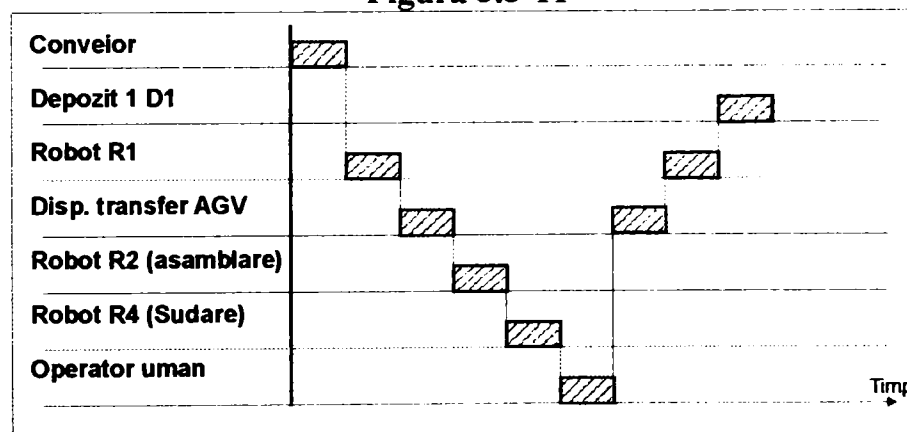


Figura 3.3-12

### 3.3.e Analiza structurală a sistemului de fabricație

Analiza structurală a sistemului a fost efectuată pe baza celor prezentate în capitolul I al lucrării. Sistemul are în componența lui un număr de 5 subsisteme interconectate. Legăturile dintre ele apar în Figura 3.3-13. Așa după cum s-a afirmat și în capitolul I, la ieșirea sistemului de fabricație se va regăsi un flux mixt, de materie și informație, fapt care se explică prin faptul că prin prelucrare mecanică se modifică în bună măsură conținutul informațional al reperelor în măsura în care forma lor se schimbă.

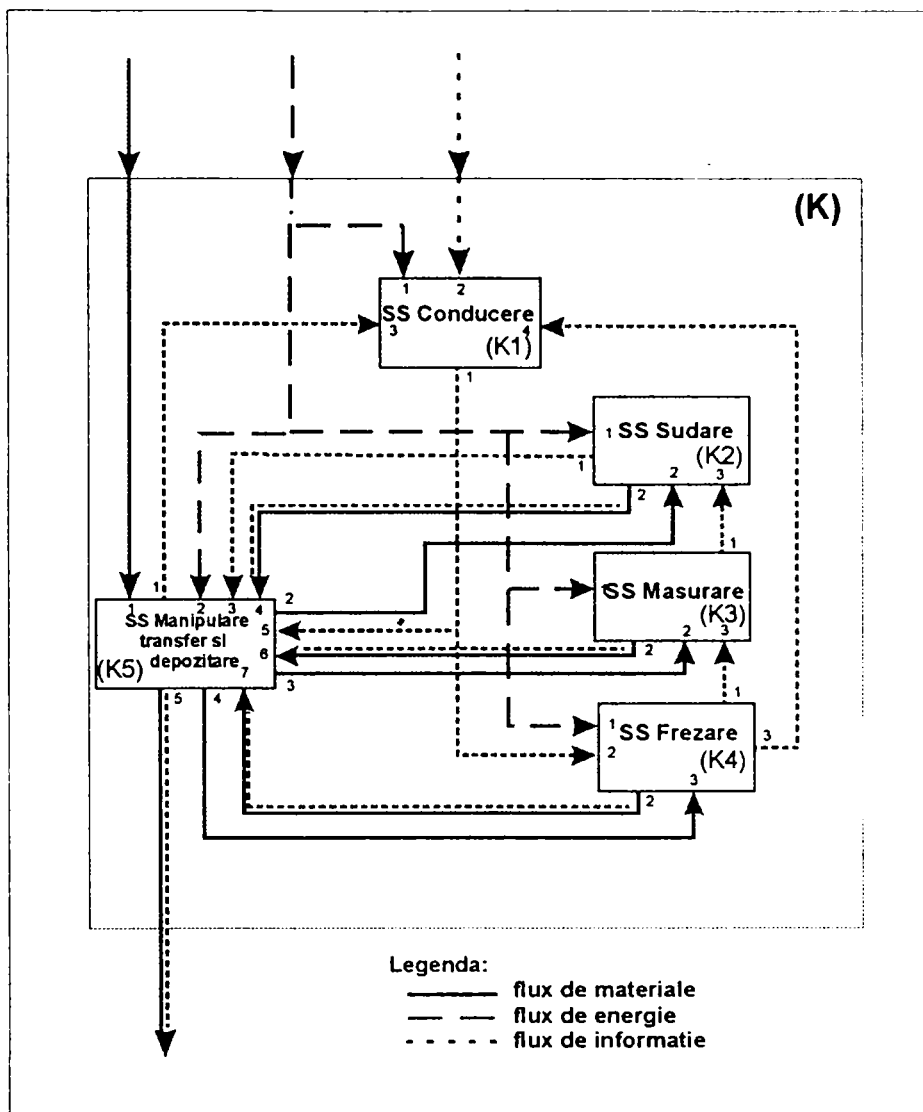


Figura 3.3-13

S-a considerat că dispozitivele de transport de tip AGV, conveiorul și roboții fac parte dintr-un singur subsistem și anume subsistemul “K5”. De asemenea, toate echipamentele de comandă au fost incluse într-un singur subsistem, “K1”.

Matricea de structură a sistemului va avea dimensiunile 5X5 și va fi de forma:

$$K = \begin{bmatrix} 0 & 0 & 0 & K_{14} & K_{15} \\ 0 & 0 & 0 & 0 & K_{25} \\ 0 & K_{32} & 0 & 0 & K_{35} \\ K_{41} & 0 & K_{43} & 0 & K_{45} \\ K_{51} & K_{52} & K_{53} & K_{54} & 0 \end{bmatrix}$$

( 3.3-1 )

In continuare se vor prezenta câteva dintre matricile de cuplare ale sistemului.

$$K_{14} = [0 \ 1 \ 0] \quad K_{15} = [0 \ 0 \ 0 \ 0 \ 1 \ 0 \ 0]$$

$$K_{25} = \begin{bmatrix} 0 & 0 & 1 & 0 & 0 & 0 & 0 \\ 0 & 0 & 0 & 1 & 0 & 0 & 0 \end{bmatrix} \quad K_{32} = \begin{bmatrix} 0 & 0 & 1 \\ 0 & 0 & 0 \end{bmatrix}$$

$$K_{45} = \begin{bmatrix} 0 & 0 & 0 & 0 & 0 & 0 & 0 \\ 0 & 0 & 0 & 0 & 0 & 0 & 1 \\ 0 & 0 & 0 & 0 & 0 & 0 & 0 \end{bmatrix}$$

( 3.3-2 )

Unul dintre aspectele principale ale studiului desfășurat în lucrarea de față se referă la arhitectura de conducere a sistemului de fabricație. Așa după cum a fost descris mai devreme, sistemul de fabricație flexibilă nu are un soft de conducere centralizată, așa încât doar celula de frezare poate fi controlată în mișcarea coșelată cu robotul de servire al mașinii de frezat "R2". Pentru această celulă a fost conceput în faza de proiectare a ei un program C pentru controlul celor 4 axe ale robotului "R2" precum și pentru transferul secvențial al frazelor programelor NC la mașina de frezat. Celelalte celule din componența sistemului funcționează secvențial, pe baza unor confirmări primite de la celulele cu care cooperează pe fluxul de prelucrare, fiind conduse de controlere locale. Pentru a putea evidenția diferențele care apar în arhitectura de conducere a sistemului în urma implementării unei noi metode de conducere propusă de autor, s-a elaborat și o schemă structurală a sistemului actual de conducere care este prezentată în Figura 3.3-14.

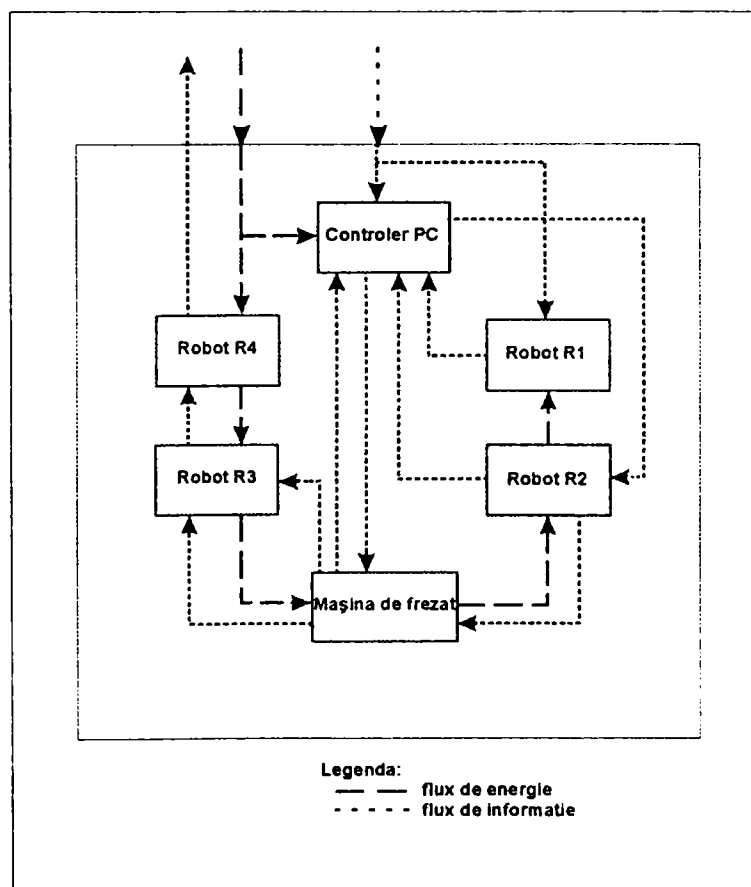


Figura 3.3-14

---

Este demn de remarcat faptul că pentru arhitectura actuală a sistemului de conducere controlerul PC are schimb de informație doar cu roboții “R1” și “R2” precum și cu mașina de frezat. Celelalte echipamente sunt conectate informatic în mod secvențial.

### 3.4. Modelul cu rețele Petri folosit în analiza parametrilor cantitativi ai sistemului de fabricație

Din acest motiv resursele partajate apar pe toate diagramele din model care conțin nodurile deservite.

În analiza performanțelor unui sistem de fabricație se folosesc multe procedee și metode, dintre care se pot aminti metoda șirurilor de așteptare, metoda lanțurilor Markov, metoda rețelelor Petri stocastice. Pentru “lay-out”-ul din Figura 3.3-4 s-a elaborat un model sub forma unei diagrame cu rețele Petri. Programul de calcul utilizat pentru realizarea diagramei și rularea simulărilor este “DesignCPN” pe o platformă LinuxPC. În scopul evidențierii importanței strategiei de rutare (de transfer) în funcționarea sistemului, diagramele din model au fost realizate în două variante:

- varianta I, la care s-a modelat o logică de transfer a materialelor foarte simplă, bazată în principal pe *partajarea resurselor* și pe câteva reguli de excludere a unor marcaje care duc în mod evident la blocaje;
- varianta II, la care modelul include o logică de transfer mult mai severă, bazată tot pe partajarea resurselor dar în prezența unor *restricții impuse de tehnologia de execuție a pieselor*. Acest model conține o pagină suplimentară față de varianta I, în care este implementată această nouă logică de rutare, pagina “general”.

În Anexa 3-1 și Anexa 3-2 sunt prezentate toate paginile celor două diagrame.

Semnificația claselor (color) și a variabilelor (var) folosite în model este prezentată în paginile “declarații” și “temporar” din cele două modele, așa cum apar ele în anexe. După cum se poate observa, a fost declarată mai întâi o clasă de tip “Piesa”. Aceasta conține variabile șir care sunt definite de utilizator în momentul precizării tipurilor de piese de pe conveior. Aceste variabile au conținut identic cu numele pieselor ce se vor încărca în sistem. O altă clasă este “Paleta”. Ea conține un produs de cinci variabile, dintre care primul este numele piesei, iar celelalte sunt destinațiile pieselor aflate pe paletă, după cum urmează: 0-nici o destinație, 1-frezare, 2-măsurare, 3-asamblare, 4-sudare. Piesele denumite “Flansa1” sunt piese care nu necesită prelucrări în sistem. Ele se assemblează cu piesele “Flansa2” și generează prin asamblare piesele “Ansamblu”. Structura reperului “Ansamblu” este

---

1“Flansa1” + 1“Flansa2”. Sistemul poate genera și piese de tip “Rebut”, într-un procent controlat prin funcția “Ok(s)”. Valorile parametrului “s” sunt generate aleator de către sistem cu o distribuție uniformă pe intervalul de numere întregi 0...100. Valoarea generată este apoi comparată cu un prag care dă limita de rebuturi. Aceste piese rezultă în urma prelucrărilor de frezare a reperelor de tip “Flansa1”.

Itinerarul tehnologic care a stat la baza modelului elaborat este redat în Figura 3.4-1

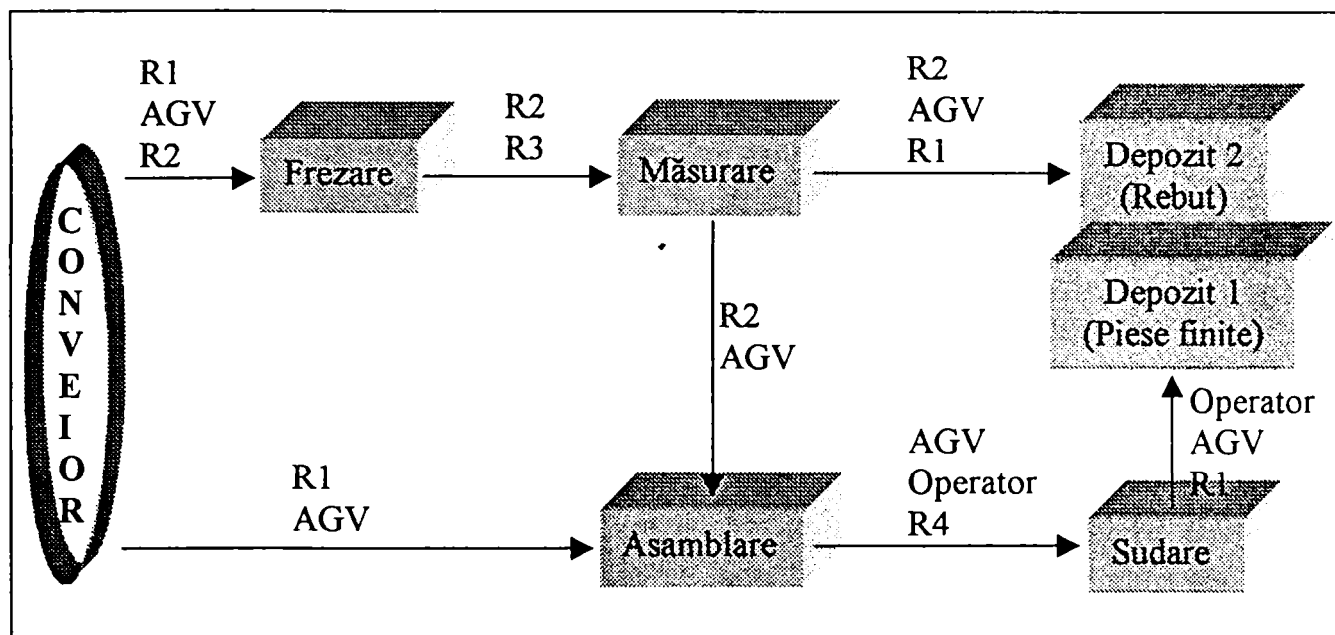


Figura 3.4-1

Metoda de simulare bazată pe utilizarea rețelelor Petri permite considerarea parametrului “timp”. Acesta apare în inscripțiile de pe arcele de legătură dintre poziții și tranziții sau la nivelul tranzițiilor sub forma unor “time region”. În acest mod toate marcajele din sistem care sunt modificate prin declanșarea tranzițiilor cu inscripții de timp vor avea o “etichetă” de timp care se modifică în timpul rulării modelului. Pe toate paginile din diagrame pot fi observate în anexe inscripțiile de timp care apar sub forma “@+<întârziere>”.

Una din problemele majore ale funcționării în ciclu automat a sistemelor de fabricație o constituie apariția blocajelor. Acestea pot fi de mai multe feluri, în funcție de cauzele care le produc. Pe baza analizei făcute în capitolul 1 asupra acestui fenomen de apariție a blocajelor se poate afirma că în cazul modelului elaborat în prezenta lucrare este vorba de *blocaje de excludere mutuală*, care apar datorită faptului că resursa “AGV” este partajată de mai multe noduri ale rețelei și atunci când ea este cerută de un proces poate fi chiar atunci folosită de un altul, apărând astfel un blocaj și sistemul se va opri. În Figura 3.4-2 este redată starea de blocaj a sistemului datorată resursei “AGV”.



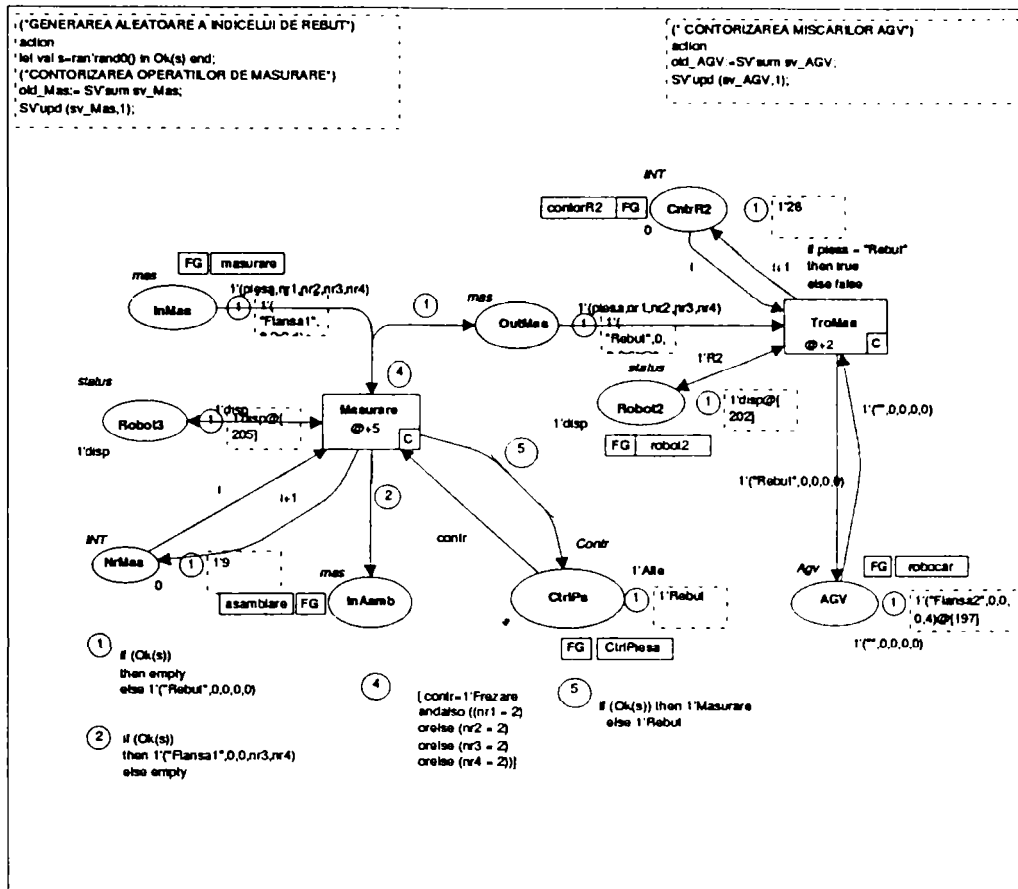


Figura 3.4-2

Blocajul apare datorită generării aleatoare a rebuturilor. Sistemul funcționând doar pe baza logicii simple de transfer bazată pe partajarea resurselor, în momentul în care dispozitivul de transfer “AGV” este liber el poate accepta o piesă de tip “Flanșa2”, aleasă la întâmplare de pe conveior, piesă care va aștepta în dispozitiv terminarea frezării piesei de tip “Flanșa1”. Dacă operația de frezare va genera un rebut, cum dispozitivul de transfer este deja ocupat cu piesa de tip “Flanșa2” care nu necesită prelucrări, acesta (rebutul) nu mai poate fi transferat la depozitul de rebuturi, deci întregul sistem se va bloca și trebuie oprit. În cazul celei de-a doua variante de logică de transfer, bazată pe tehnologia de execuție a reperelor, blocajele de excludere mutuală sunt complet evitate, datorită eliminării din șirul marcajelor posibile ale acelor care duc la blocaje.

### 3.5. Elemente de analiză cantitativă

Programul de modelare/simulare utilizat oferă posibilitatea de analiză cantitativă a funcționării sistemului. Prima dintre posibilități este de a urmări modificările cantitative ce se produc, direct pe diagramele din model. Pe diagramele din anexe se poate observa că fiecare poziție are în vecinătatea ei un chenar (“current marking”) în care este redat marcajul curent și etichetele de timp ale elementelor (“token”) care îl compun.

O altă modalitate de analiză cantitativă a unui sistem pe baza modelării o constituie *generarea dinamică a unor diagrame*, cu ajutorul programului de modelare. Fiecare din cele

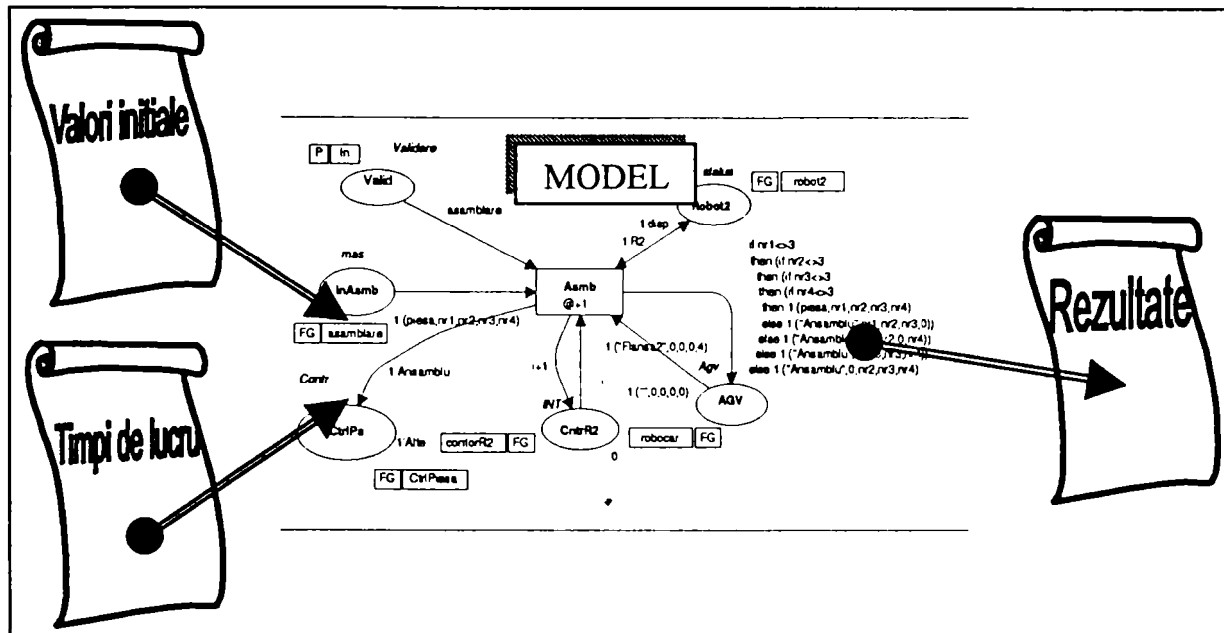


Figura 3.5-1

două variante de diagrame din anexe conține câte o pagină denumită “diagrame”, unde apar astfel de reprezentări grafice ale elementelor cantitative din model. Prelevarea valorilor parametrilor reprezentați în diagrame pe parcursul desfășurării simulării se face cu ajutorul unor variabile de tip special, numite *variabile statistice* și care sunt definite inițial în pagina de declarații din model.

Cea mai flexibilă metodă de determinare a parametrilor cantitativi ai modelului, metodă folosită și în lucrarea de față, constă în utilizarea unor secvențe de cod asociate unora dintre tranzițiile sistemului, secvențe care actualizează valorile variabilelor statistice pe de o parte, sau calculează anumiți parametri care apoi sunt salvați în fișiere speciale ce se vor prelucra ulterior cu metode numerice specifice. În Figura 3.5-1 sunt redată componentele procesului de simulare, în care sunt evidențiate, pe lângă modelul propriu-zis și fișierele de intrare care conțin parametrii inițiali, precum și cele de ieșire, unde sunt acumulate rezultatele simulării. O primă pagină dintr-un fișier de date se poate consulta în Anexa 1 a prezentului capitol. Toate mărimile care apar în acest fișier sunt determinate direct din simulare, fie ca valori momentane ale variabilelor statistice, fie ca valori calculate cu ajutorul acestora. Modul în care se constituie fișierul de date poate fi consultat în paginile “temporar” din model, cuprinse de asemenea în anexe, în secțiunea ocupată de funcția “ScrieValStat()”. Prezentă analiză cantitativă are drept scop determinarea influenței logicii de transfer (rutare) asupra parametrilor cantitativi ai sistemului. Pentru cele două variante de modele cu logici de transfer

diferite după cum s-a arătat mai sus, s-au extras din fișierele de date obținute din simulare următoarele valori:

- timpul principal de fabricație (TPF), considerat de la începutul simulării până la oprirea ei, indiferent de cauzele care au determinat-o;
- numărul de mișcări ale dispozitivului de transfer (AGV);
- numărul de piese finite (Fin);
- numărul de piese frezate (Fre);
- numărul de piese sudate (Sud);
- numărul de rebuturi (Reb);
- numărul de piese în ciclu (Pic1 și Pic2);
- timpul mediu de transfer al unei piese ( $t_a$ );
- timpul mediu de lucru la frezare ( $t_f$ );
- timpul mediu de lucru la sudare ( $t_s$ );
- numărul de piese de tip 1 rămase neprelucrate (NF1);
- numărul de piese de tip 2 rămase neprelucrate (NF2);
- numărul total de piese de tip 1 din lot (TF1);
- numărul total de piese de tip 2 din lot (TF2).

Pe baza acestor valori s-au determinat prin calcul următorii *parametrii cantitativi ai funcționării sistemului*:

- timpul principal de fabricație (TPF), definit de relația

$$TPF = \frac{TTL}{Fin} \text{ [min/piesa]}; \quad (3.5-1)$$

- indicele de utilizare al dispozitivului de transfer ( $u_{agv}$ ), definit de relația

$$u_{agv} = \frac{AGV * t_a}{TTL} \times 100 \text{ [%]}; \quad (3.5-2)$$

- indicele de utilizare al mașinii de frezat ( $u_f$ ), definit de relația

$$u_f = \frac{Fre * t_f}{TTL} \times 100 \text{ [%]}; \quad (3.5-3)$$

- indicele de utilizare al robotului de sudare ( $u_s$ ), definit de relația

$$u_s = \frac{\text{Sud} * t_s}{\text{TTL}} \times 100 \quad [\%]$$

( 3.5-4 )

- indicele de blocaj ( $i_b$ ), definit de relația

$$i_b = \frac{\text{NF1} + \text{NF2}}{\text{TF1} + \text{TF2}} \times 100 \quad [\%]$$

( 3.5-5 )

- indicele de blocaj a pieselor în ciclu ( $i_{bc}$ ), definit de relația

$$i_{bc} = \frac{\text{Pic1} + \text{Pic2}}{\text{TF1} + \text{TF2}} \times 100 \quad [\%]$$

( 3.5-6 )

Prin intermediul acestor parametrii poate fi caracterizată în mod global comportarea unui sistem de fabricație. Evoluția lor spre optim este însă contradictorie, ținând cont că unii dintre ei se pot influența reciproc. Considerați însă individual, parametrii prezentați mai sus au valorile de optim conform datelor din Tabelul 3.5-1.

**Tabelul 3.5-1**

Parametrul	TPF	$u_{agv}$	$u_r$	$u_s$	$i_b$	$i_{bc}$
	[min/piesă]	[%]	[%]	[%]	[%]	[%]
Tendința optimă	↘	↗	↗	↗	↘	↘
Valoarea optimă	Suma timpilor de mașină	100	100	100	0	0

Parametrii globali ai simulărilor au fost:

- *mărimea lotului de fabricație*, exprimată prin numărul de piese de tip 1 și 2 care au fost așezate în conveiorul de intrare în sistem;
- *procentajul de rebuturi admis*, care este de 15%, respectiv 10%.

Valorile relativ mari ale procentajului de rebuturi se justifică prin necesitatea de a putea evidenția influențele acestui parametru. Ele nu sunt neapărat valori realiste.

Toate determinările de coeficienți și indici de performanță s-au făcut pentru diverse combinații ale acestor parametrii. Valorile parametrilor globali ai încercărilor au fost preluate din fișiere text existente pe sistemul de calcul. În acest fel, pentru același model, la fiecare rulare a simulării au putut fi utilizate diverse valori ale parametrilor globali ai încercărilor.

Tabelul 3.5-2

Indici	Rebut [%]		30_25		60_50		120_100	
			partajarea resurselor	transfer tehnologic	partajarea resurselor	transfer tehnologic	partajarea resurselor	transfer tehnologic
TPF	15	M	26,135	36,0836	30,4445	36,1796	30,4445	36,1796
	%	D	11,9441	1,91369	10,7855	1,18431	10,7855	1,18431
	10	M	25,9225	33,9133	24,8828	33,88	24,8828	33,88
	%	D	6,42080	0,88415	8,80681	0,75299	8,80681	0,75299
U <sub>agv</sub>	15	M	25,4661	24,2574	20,6769	24,2284	20,6769	24,2284
	%	D	8,36251	0,27128	2,66314	0,19345	2,66314	0,19345
	10	M	31,6834	25,2250	20,7683	25,2318	20,7683	25,2318
	%	D	7,42033	0,15810	3,48246	0,13356	3,48246	0,1335
U <sub>fre</sub>	15	M	35,2281	19,9138	32,6398	19,8264	32,6398	19,8264
	%	D	8,57624	0,29897	9,12893	0,22431	9,12893	0,22431
	10	M	30,9440	20,4591	34,6860	20,2951	34,6860	20,2951
	%	D	5,31636	0,20055	10,6271	0,17291	10,6271	0,17291
U <sub>sud</sub>	15	M	24,6817	13,8907	21,1160	13,8340	21,1160	13,8340
	%	D	9,85255	0,69331	9,47933	0,47192	9,47937	0,47192
	10	M	21,0211	14,7533	24,6602	14,7650	24,6602	14,7650
	%	D	5,85254	0,39503	10,9701	0,32888	10,9701	0,32888
I <sub>b</sub>	15	M	64,2045	2,20779	89,6212	1,21212	89,6212	1,21212
	%	D	38,3558	2,03948	9,14575	1,83190	9,14575	1,83190
	10	M	40,2424		80,6060		80,6060	
	%	D	37,9887		20,8986		20,8986	
I <sub>bc</sub>	15	M	6,0227	1,03896	2,91666	0,45454	2,91666	0,45454
	%	D	2,45903	0,93373	1,00230	0,47475	1,00230	0,47475
	10	M	5,93939	1,74242	3,28282	0,84639	3,28282	0,84639
	%	D	2,22327	0,65207	1,21323	0,23443	1,21323	0,23443

In Tabelul 3.5-2 sunt concentrate toate valorile medii obținute în urma simulărilor, pentru loturi de fabricație de 30+25, 60+50, respectiv 120+100 de piese de tip “Flanșal” și

“Flanşa2”. Variația tuturor indicilor de performanță ai sistemului poate fi consultată în graficele cuprinse în anexele prezentului capitol.

Analizând tabelul menționat mai sus se pot formula mai multe *observații generale*:

- indicii de performanță nu depind practic de mărimea lotului de fabricație pentru aceeași variantă de logică de transfer;
- logica de transfer influențează decisiv valoarea indicilor de performanță;
- procentajul de rebuturi influențează evident parametrul TPF;
- dispersiile indicilor de performanță calculați (D) sunt mult mai mari în cazul logicii de transfer cu partajarea resurselor (varianta 1) decât în cazul logicii bazate pe tehnologia de execuție (varianta 2)

O analiză mai detaliată a rezultatelor din Tabelul 3.5-2 va fi desfășurată în cele ce urmează.

### 3.5.a Timpul principal de fabricație

În graficele de mai jos se poate observa că parametrul TPF este practic constant în funcție de mărimea lotului de fabricație. Acest lucru se explică prin faptul că ponderea timpului de mașină în totalul timpului de lucru este aceeași indiferent de numărul de piese din lot. În ambele variante de logică de transfer nu apar influențe semnificative ale mărimii lotului asupra parametrului TPF

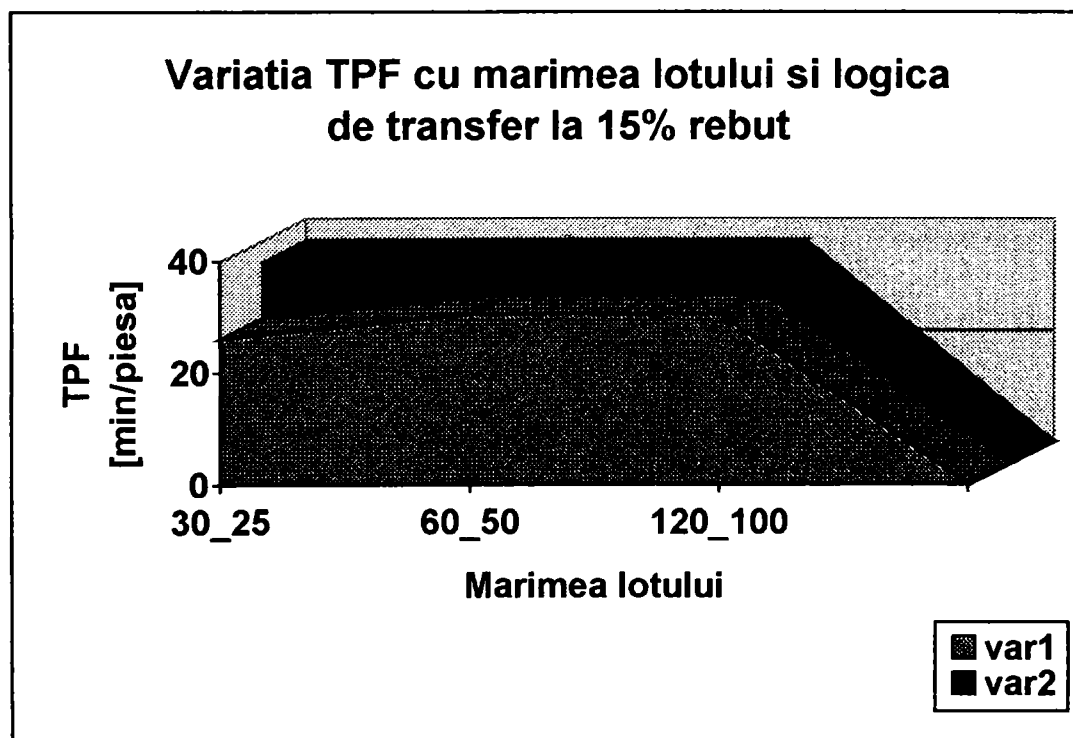
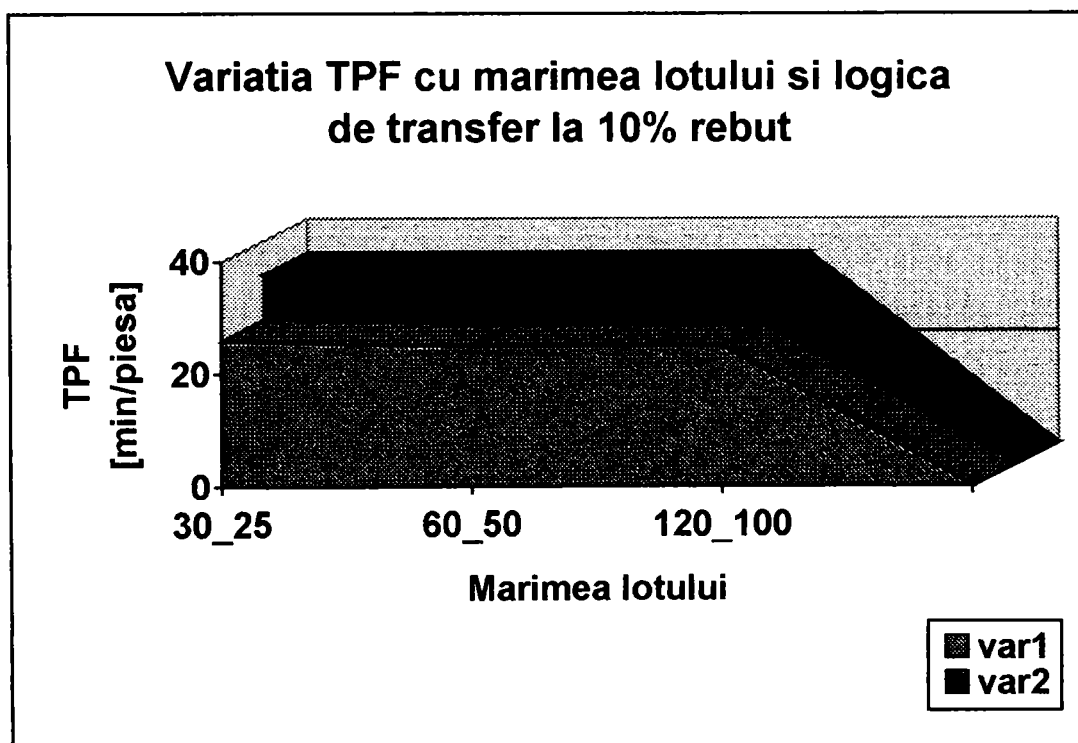


Figura 3.5-2

Dacă ne referim însă la logica de transfer, se poate observa că în varianta 1 valorile parametrului analizat sunt mai mici decât în varianta 2 pentru toate loturile simulate. Această diferență se poate explica prin faptul că opririle datorate blocajelor nu mai permit efectuarea unor operații de transfer sau de alimentare care “încarcă” bilanțul de timp al sistemului. O altă explicație ar fi legată de faptul că varianta 2 de logică de transfer, bazată pe tehnologia de execuție este mult mai rigidă decât logica bazată pe simpla partajare a resurselor și nu permite suprapunerea unor operații cu pericol de determinare a blocajelor. În acest fel timpul sistemului pentru același număr de piese prelucrate va crește, deci va crește implicit și valoarea parametrului TPF. În graficul următor este redată variația aceluiași parametru pentru nivelul de rebuturi de 10%. Datorită scăderii procentajului admis de rebuturi se obține o variație mult mai mică a valorilor parametrului TPF cu mărimea lotului de fabricație în comparație cu primul caz.



**Figura 3.5-3**

### 3.5.b Indicele de utilizare al dispozitivului de transfer $U_{agv}$

Numărul de mișcări efectuat de dispozitivul de transfer de tip AGV este apreciat prin intermediul indicelui de utilizare al dispozitivului de transfer  $U_{agv}$ . La fel ca și în cazul anterior, acest indicator de performanță al sistemului are valori mai mari în cazul logicii de transfer varianta 2. Acest lucru denotă faptul că în cazul unei logici bazate exclusiv pe

partajarea resurselor este mai puțin folosit. Graficul următor redă spre exemplificare variația indicelui analizat cu mărimea lotului și logica de transfer pentru cazul 10% rebut.

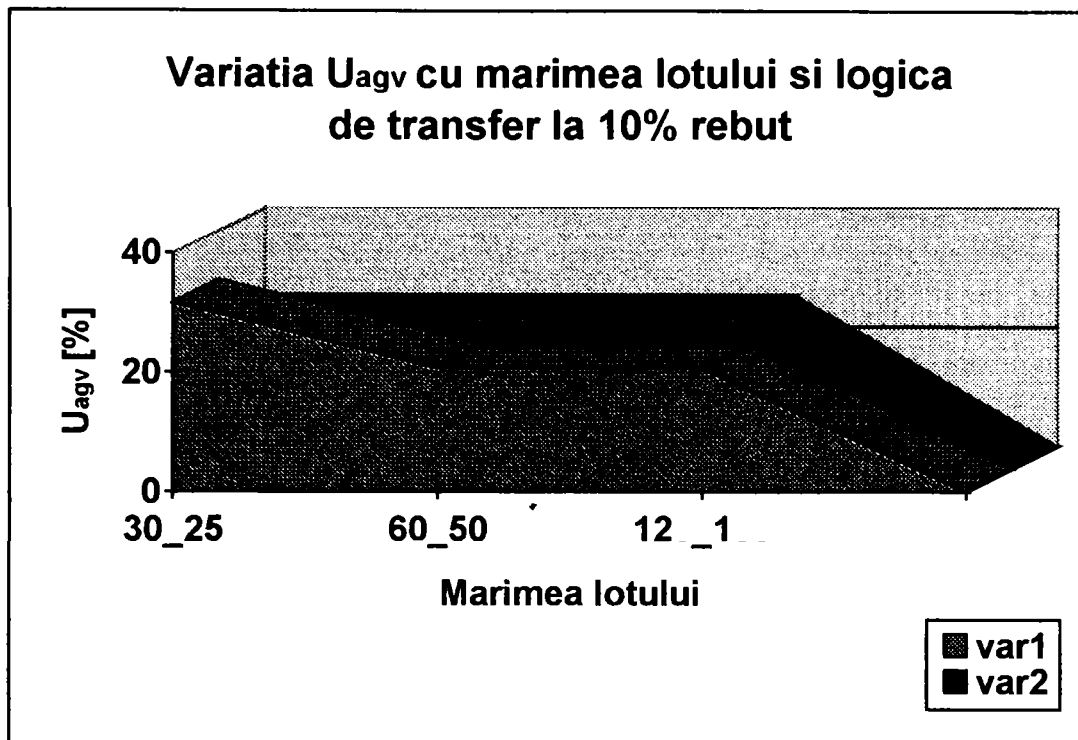


Figura 3.5-4

### 3.5.c Indicele de utilizare al mașinii de frezat ( $U_{fre}$ ) și indicele de utilizare al robotului de sudare ( $U_{sud}$ )

Acești doi indici vor fi analizați împreună, deoarece conform datelor din Tabelul 3.5-2 variația lor în timpul simulării este aproape identică. Se poate observa faptul că valorile indicilor scad în cazul variantei 2 a logicii de transfer. Valorile mai reduse ale celor doi indici vin să confirme realitatea care a demonstrat deja o utilizare mai intensă a dispozitivului de transfer atunci când logica de transfer se bazează pe itinerarul tehnologic al piesei, ceea ce înseamnă că din bilanțul general de timp al modelului se folosește pentru freză și robotul de sudare un timp ceva mai redus. Diagramele din Figura 3.5-5 și Figura 3.5-6 redau variația indicilor " $U_{fre}$ " și " $U_{sud}$ " pentru cazul 10% rebut în cele două variante ale logicii de transfer.

O altă observație bazată pe rezultatele simulărilor repetate este că valorile indicilor se mențin practic constante în funcție de procentajul de rebuturi admis. Acest lucru este evident mai ales în cazul logicii de transfer tehnologic, ceea ce denotă că sistemul echipat cu o astfel de logică este mult mai stabil. Simpla partajare a resurselor nu este întotdeauna soluția cea mai favorabilă pentru logica de rutare, din mai multe motive, unul dintre ele fiind și faptul că nu se poate asigura o repetabilitate acceptabilă a funcționării sistemului din cauza blocajelor care apar aleator în sistem.



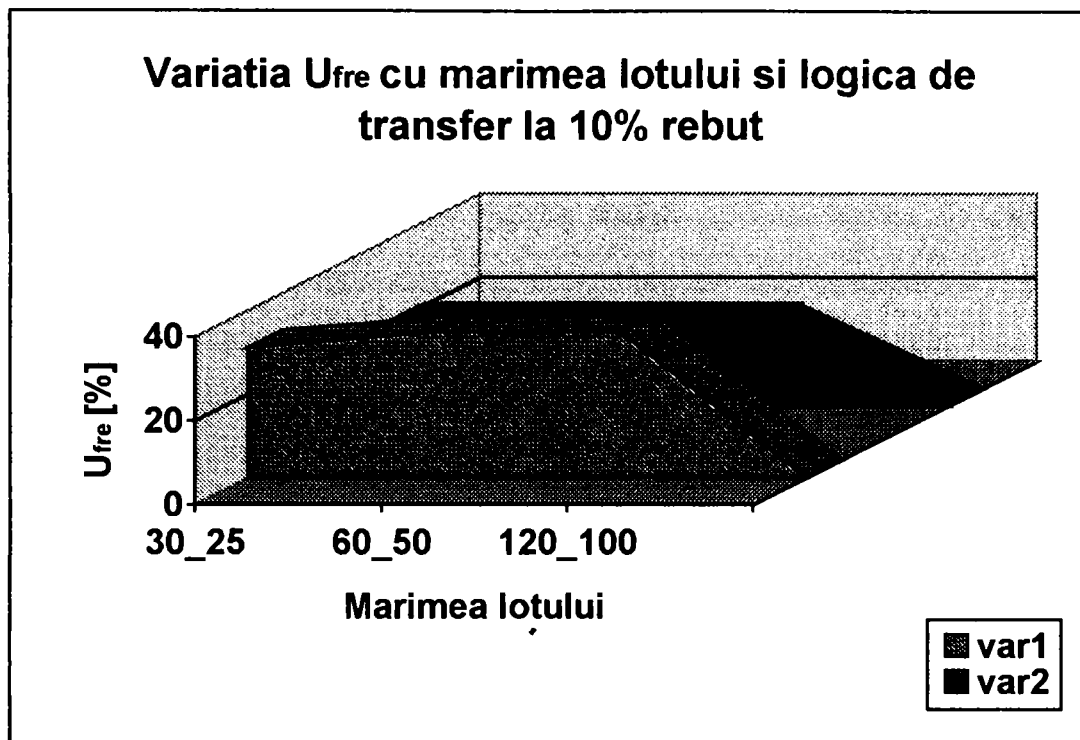


Figura 3.5-5

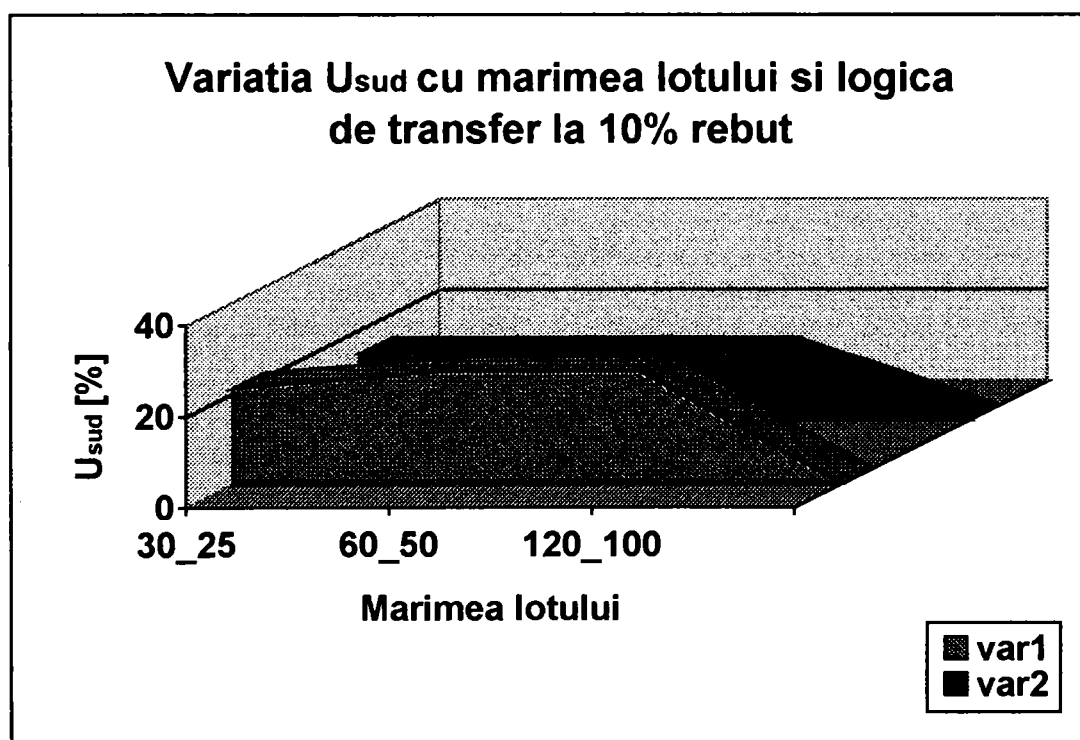
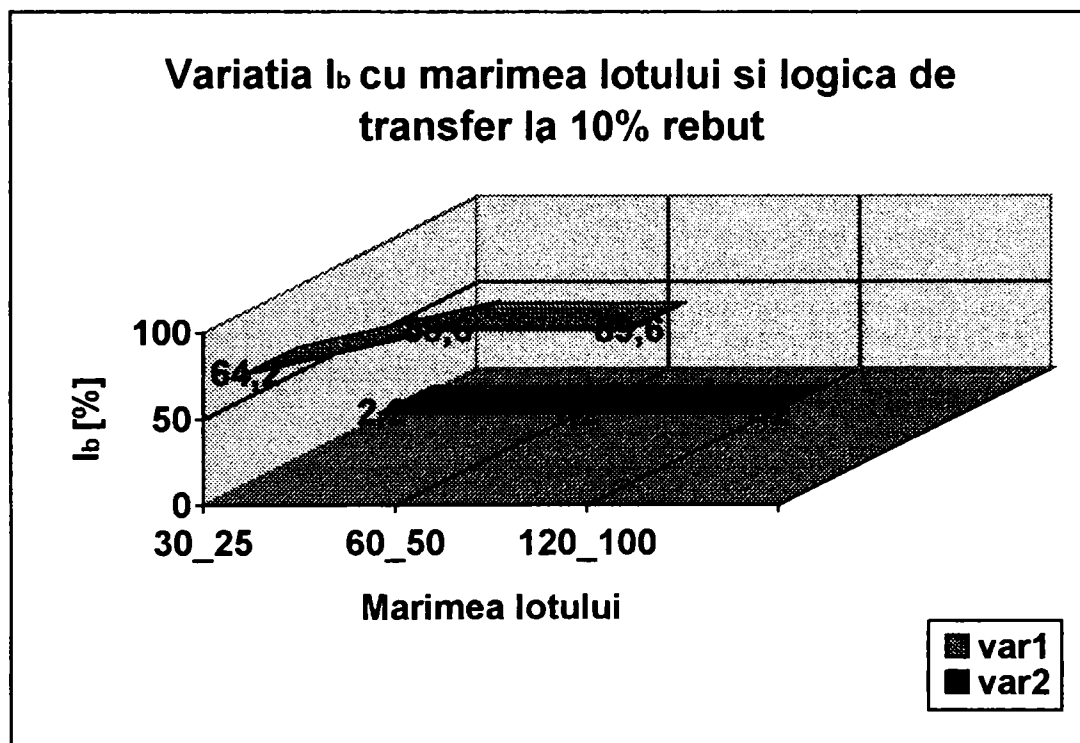


Figura 3.5-6

#### 3.5.d Indicele de blocaj $I_b$

Parametrul care depinde în cel mai ridicat grad de tipul logicii de transfer este indicele de blocaj. Acesta a fost definit în relația ( 3.5-5) sub forma unui raport între numărul de piese din lot neprelucrate în momentul apariției blocajului și numărul total de piese din lot. Definit astfel, coeficientul de blocaj poate fi interpretat ca un coeficient de nesiguranță al sistemului,

exprimând riscul ca sistemul să intre într-o formă de blocaj înainte de epuizarea întregului lot de piese de prelucrat. Se observă astfel că în cazul organizării transferului pe baza partajării resurselor, riscul de blocaj este foarte ridicat, variind între 64,2% și 89,6%. Pentru cazul transferului tehnologic, riscul de blocaj scade foarte mult, la valori de câteva procente, datorate mai ales faptului că lotul de piese deși echilibrat inițial, adică cu o diferență între numerele de piese de cele două tipuri egală cu numărul de piese posibil de rebutat, devine dezechilibrat prin generarea aleatoare de rebuturi și astfel vor rămâne piese neprelucrate de un tip sau altul.



**Figura 3.5-7**

Variația indicelui de blocaj este redată în figura de mai sus. Valorile foarte mici ale acestuia pentru varianta 2 a logicii de transfer sunt o dovadă a utilității organizării transferului pe principii tehnologice.

Din analiza valorilor din Tabelul 3.5-2 se poate remarca și lipsa indicilor de blocaj în cazul procentajului de rebut de 10%. În această situație nu au mai rămas piese neprelucrate și astfel indicele de blocaj a avut valori nule. Practic întregul lot de piese a fost prelucrat, în condițiile în care lotul a fost echilibrat în sensul prezentat mai sus. De asemenea se poate remarca faptul că valorile indicilor de blocaj sunt în general mai mici pe măsură ce scade procentajul de rebuturi admis la frezare. În mod ideal, dacă rebuturile ar apărea cu probabilitate nulă, indicele de blocaj ar fi și el nul.

### 3.5.e Indicele de blocaj a pieselor în ciclu $I_{bc}$

Acest parametru “măsoară” cantitatea de piese care se găsesc în ciclu în momentul apariției unui blocaj sau la epuizarea lotului. Aceste piese sunt de cele mai multe ori greu de recuperat sau de reintegrat în ciclu, fapt pentru care numărul de piese în ciclu trebuie să fie redus la un minim impus de funcționarea eficientă a sistemului. Procentajul calculat este în raport cu numărul total de piese din lot. Si în acest caz, la fel ca și în cazurile anterioare, valorile sunt mai ridicate în cazul logicii de transfer varianta 1, care presupune un grad mai mare de incertitudine în funcționarea sistemului. In a doua variantă a logicii de transfer, când practic blocajele sunt eliminate, numărul de piese în ciclu provine din echilibrarea incorectă a lotului și din jocul imprevizibil al apariției rebuturilor. In Figura 3.5-8 este redată variația parametrului  $I_{bc}$  în cazul procentajului de 15% rebut.

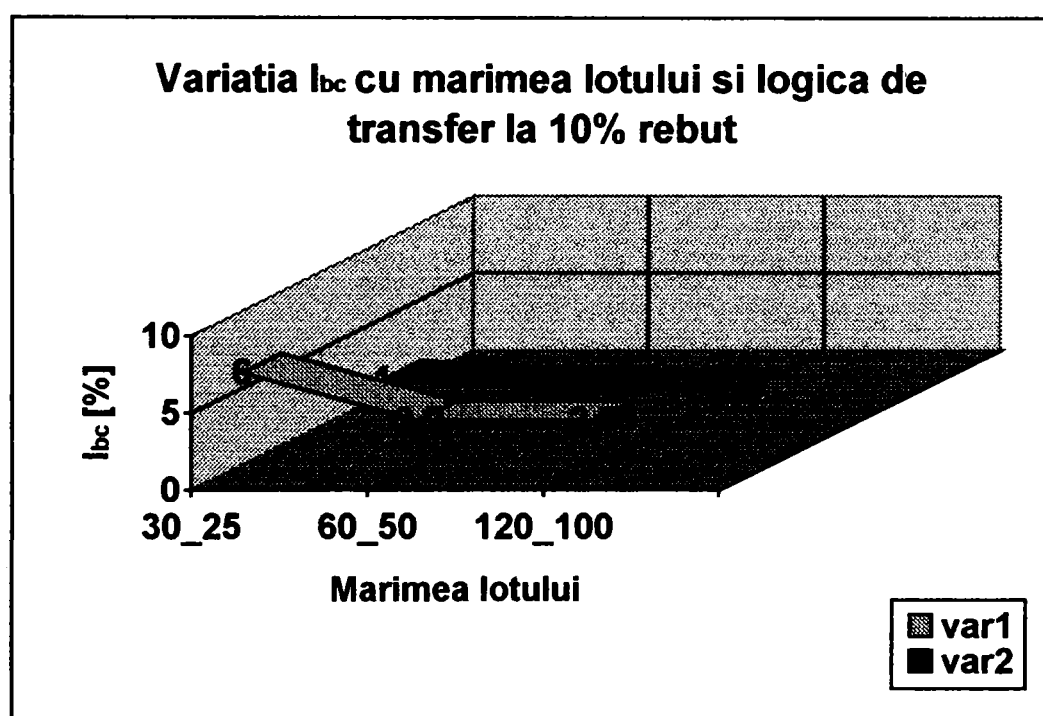


Figura 3.5-8

Firește că pe lângă generarea aleatoare de rebuturi în sistem mai pot apare și alte surse de întreruperi aleatoare care nu au fost luate în considerare în această etapă. Modelul permite de pildă generarea unor valori aleatoare pentru timpii de mașină, care se citesc dintr-un fișier extern la fiecare validare a tranzițiilor corespunzătoare (vezi diagramele din anexe). Se pot de asemenea declara indisponibile anumite resurse ale sistemului, cum ar fi roboții de servire ai mașinilor sau dispozitivului de transfer. Toate aceste procedee, care apropie din ce în ce mai mult modelul de lumea reală, nu fac decât să sporească gradul de incertitudine în

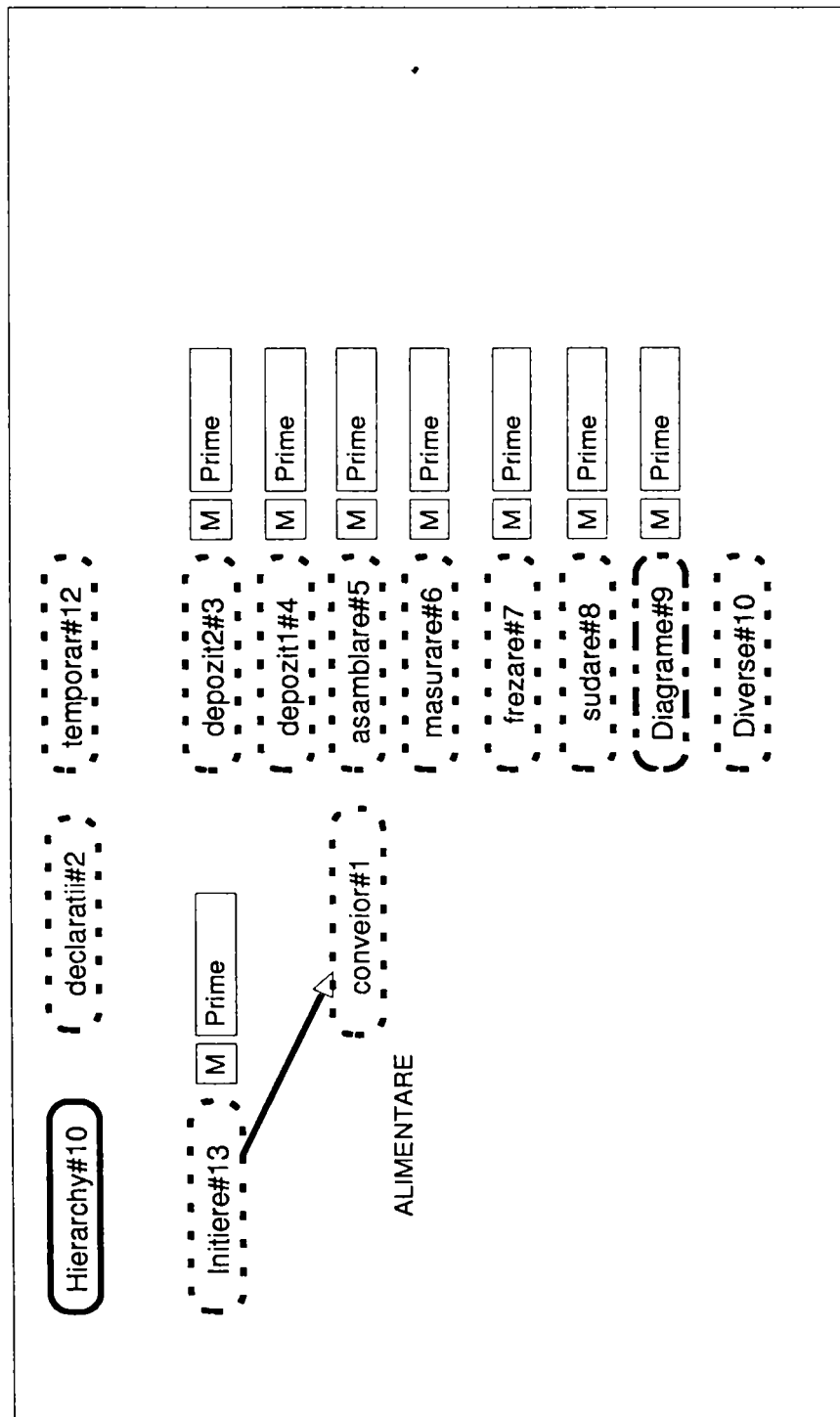
funcționarea celulei de fabricație în ciclu automat și pot constitui obiectul unor studii ulterioare.

*In concluzie, se poate afirma că optimizarea valorilor parametrilor cantitativi ai funcționării sistemului constituie un aspect important al optimizării fluxurilor de materiale.*

### 3.6. Anexe

#### Anexa 3-1 Modelul DesignCPN pentru sistemul de fabricație în variante de transfer bazată pe partajarea resurselor

##### Ierarhia sistemului



Declarații

```

color Piesa = string timed;
color Nr1 = int with 0..4 timed;
color Nr2 = int with 0..4 timed;
color Nr3 = int with 0..4 timed;
color Nr4 = int with 0..4 timed;
color Paleta = product Piesa * Nr1 * Nr2 * Nr3 * Nr4;
color Agv = Paleta;
color status = with disp timed;
color mf = Paleta;
color cloos = Paleta;
color mas = Paleta;
color depozit1 = Paleta;
color depozit2 = Paleta;
color Contr = with Flansa1 | Flansa2 | Ansamblu | Rebut | Alte | Frezare | Sudare |
Masurare ;
color INT = int;
color Intrare = with intrare;
color Validare = with frezare | sudare | dep1 | dep2 | asamblare | liber timed;

var valid: Validare;
var contr: Contr ms;
var piesa: Piesa;
var R1, R2, om: status;
var nr1: Nr1;
var nr2: Nr2;
var nr3: Nr3;
var nr4: Nr4;
var cnt, nr_piesa1, nr_piesa2, t_frezare, t_sudare, i: INT;
var initiere: Intrare;
var intr: Paleta ;
color rand0 = int with 1..100;
(*color rand1 = int with 1..100;*)
var s: rand0;
(*var r: rand1;*)

(*Functia care controleaza nivelul de rebuturi*)
use "/usr/local/DesignCPN/InputOutputLib.sml";

fun Ok(s:rand0) =

let

(* DESCHIDEREA FISIERULUI DE DATE *)
val infile = open_in "/home/mircea/Valori_initiale";

(* CITIREA VALORII PROCENTAJULUI DE PIESE BUNE *)
val skip_comments = (skiplab (infile); skip(infile); skiplab(infile); skiplab(infile)
);
val bun = (skip (infile); getint (infile));

(* INCHIDEREA FISIERULUI DE DATE *)
val close_file = (close_in infile);
in s<=bun
end;

(*Variabile statistice*)
val sv_AGV = SV'createint ();
val sv_Fre = SV'createint ();
val sv_Sud = SV'createint ();
val sv_Mas = SV'createint ();
val sv_Fin = SV'createint ();
val sv_Reb = SV'createint ();
val sv_Fl1 = SV'createint ();
val sv_Fl2 = SV'createint ();

(*Variabile de referinta*)
val old_AGV = ref 0;
val old_Fre = ref 0;
val old_Sud = ref 0;
val old_Mas = ref 0;
val old_Fin = ref 0;
val old_Reb = ref 0;
val old_Fl1 = ref 0;
val old_Fl2 = ref 0;

(*Variabila de stocare a timpului de sistem si a numarului de pasi*)
val Pas=step;
val Time=time;

```

Temporar

```

val par = !;
val OutText=ref "";
(* CITIREA VALORILOR PARAMETRILOR DE INCARCARE AI CONVEIORULUI *)
use "/home/DesignCPN/TutorialDiagrams/InputOutputL...sml";
fun LoadInputParameters () =
let
(* DESCHIDEREA FISIERULUI DE DATE *)
val infile = open_in "/home/mircea/Valori_initiale";
(*{DSFileDialog
    {prompt="Selecteaza fisierul de intrare: Valori_initiale",
    okButtonLabel="Da-i!", path="/home/mircea/", writeBox=false}};*)

(* CITIREA DATELOR REFERITOARE LA NUMARUL INITIAL DE PIESE *)
val skip_comments = (skiplab (infile); skip (infile); skiplab (infile));
val nr_piesal = (skip (infile); getint (infile));
val nr_piesa2 = (skip (infile); getint (infile));

(*INITIALIZAREA VARIABILELOR STATISTICE REFERITOARE LA NUMARUL DE PIESE*)
val nr_de_piese = (old_F11:=nr_piesal;
    old_F12:=nr_piesa2);

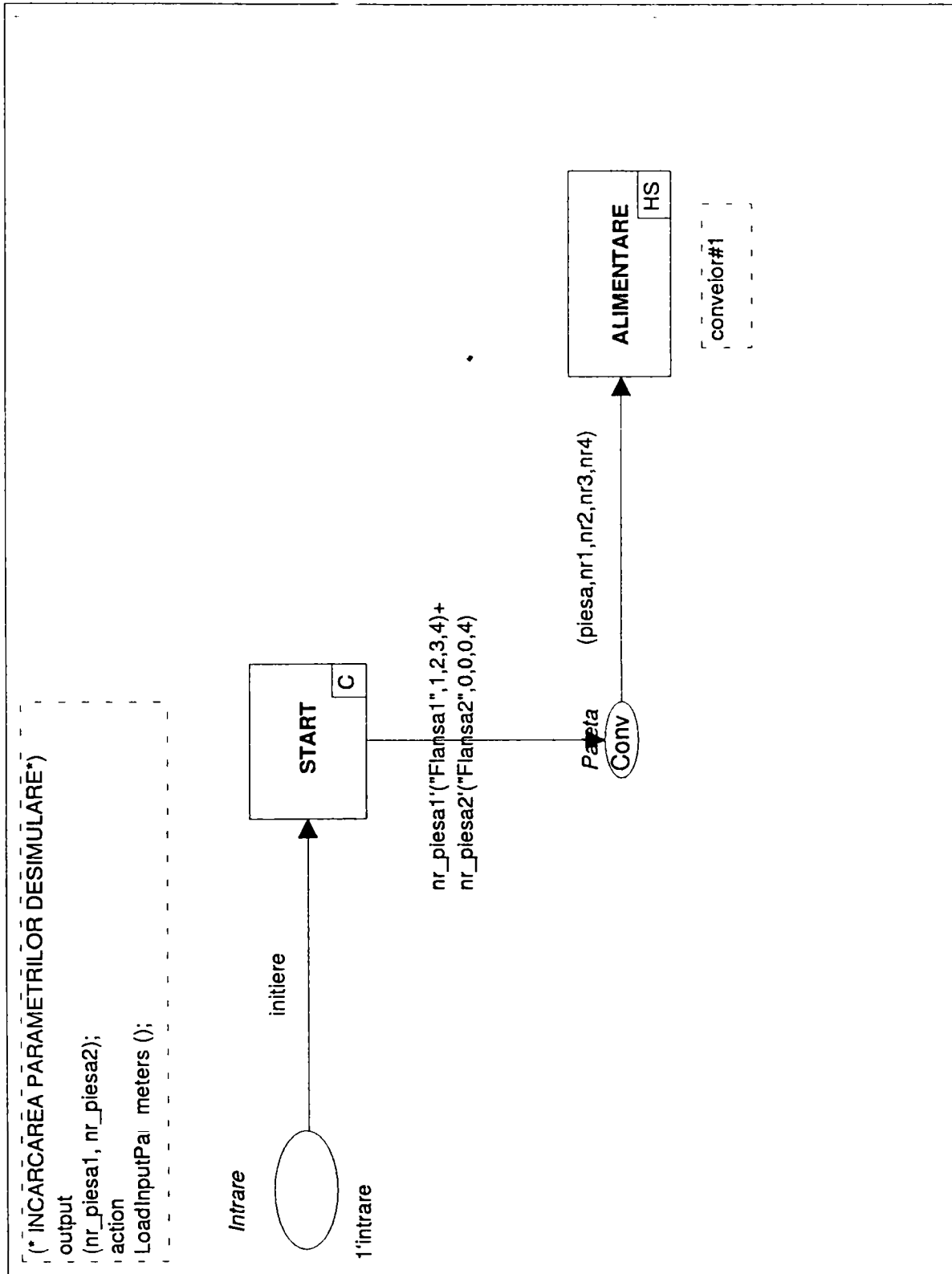
val initial_sv = (SV'upd(sv_F11, !old_F11);
    SV'upd(sv_F12, !old_F12));

(* INCHIDEREA FISIERULUI DE DATE *)
val close_file = (close_in infile);

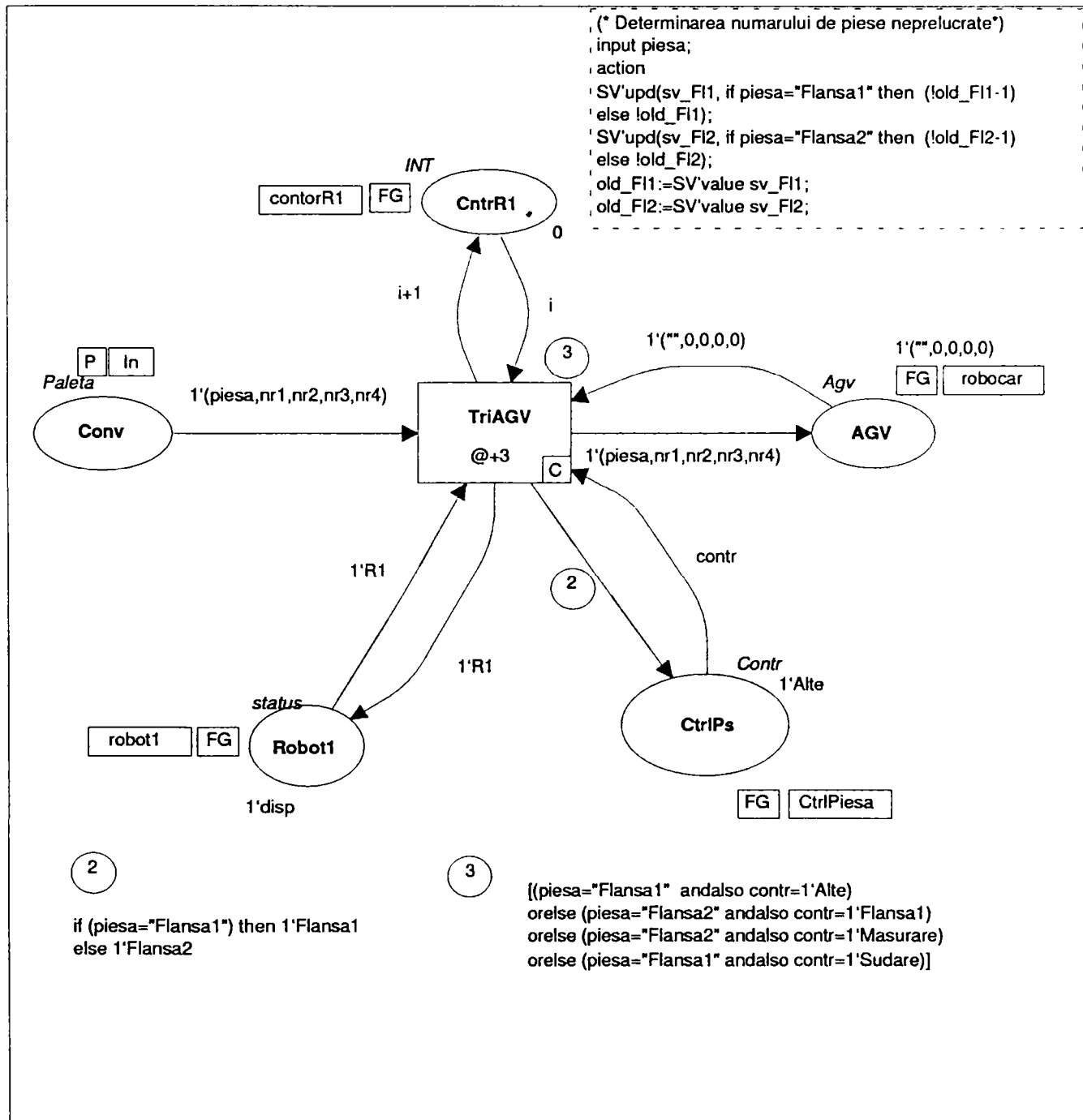
(*PARAMETRII CARE VOR FI ASOCIATI CU VARIABILELE DE PE ARCELE DE IESIRE*)
in
(nr_piesal, nr_piesa2)
end;
(*
(* OPERATIA DE VALIDARE A UNUI TRASEU DE TRANSPORT*)
fun Selectie (piesa:string, nr4:int, contr:Contr ms) =
let
val valid= (if (piesa="Flansal") andalso (contr=1'Flansal)
    then frezare
else if (piesa="Flansa2") andalso (contr=1'Masurare)
    then asamblare
else if (piesa="Ansamblu") andalso (contr=1'Ansamblu)
    then sudare
else if (piesa="Ansamblu") andalso (nr4=0) andalso (contr=1'Sudare)
    then depl
else if (piesa="Rebut") andalso (contr=1'Rebut)
    then dep2
else liber)
in valid
end;
*)
(* FUNCTIA PENTRU SCRIEREA PARAMETRILOR DE IESIRE AI SISTEMULUI*)
fun ScrieValstat () =
let
val outfile = open_append "/home/mircea/date_ies"
in
{output (outfile, "***** \n");
(*output (outfile, (!OutputText));*)
output (outfile, " \n ");
output (outfile, "Miscari AGV= "^makestring(par old_AGV+1)^" La momentul T=
"^makestring(Time ());
output (outfile, " \n \n");
output (outfile, "Piese frezate= "^makestring(par old_Fre+1));
output (outfile, " \n \n");
output (outfile, "Piese sudate= "^makestring(par old_Sud+1));
output (outfile, " \n \n");
output (outfile, "Piese masurate= "^makestring(par old_Mas+1));
output (outfile, " \n \n");
output (outfile, "Piese finite= "^makestring(par old_Fin+1));
output (outfile, " \n \n");
output (outfile, "Piese rebut= "^makestring(par old_Reb + SV'value sv_Reb));
output (outfile, " \n \n");
output (outfile, "Productivitatea celulei= "^makestring(real(par old_Fin+1)/real(
Time()))^" Piese finite/minut");
output (outfile, " \n \n");
output (outfile, "Timpul mediu de prelucrare= "^makestring(real(Time())/real(!
old_Fin+1))^" minute/piesa");
output (outfile, " \n \n");
output (outfile, "Numarul de piese tip 1 in ciclu= "^makestring(SV'max sv_F11 -
SV'value sv_F11 - SV'sum sv_Fin - SV'sum sv_Reb));
output (outfile, " \n \n");
output (outfile, "Numarul de piese tip 2 in ciclu= "^makestring(SV'max sv_F12 -
SV'value sv_F12 - SV'sum sv_Fin));
output (outfile, " \n \n");
output (outfile, "Numarul de piese tip 1 neprelucrate= "^makestring(SV'value sv_F11))
;
output (outfile, " \n \n");
output (outfile, "Numarul de piese tip 2 neprelucrate= "^makestring(SV'value sv_F12))
;
output (outfile, " \n \n");
output (outfile, " \n");
close_out (outfile)
end;
(*****)

```

Inițiere

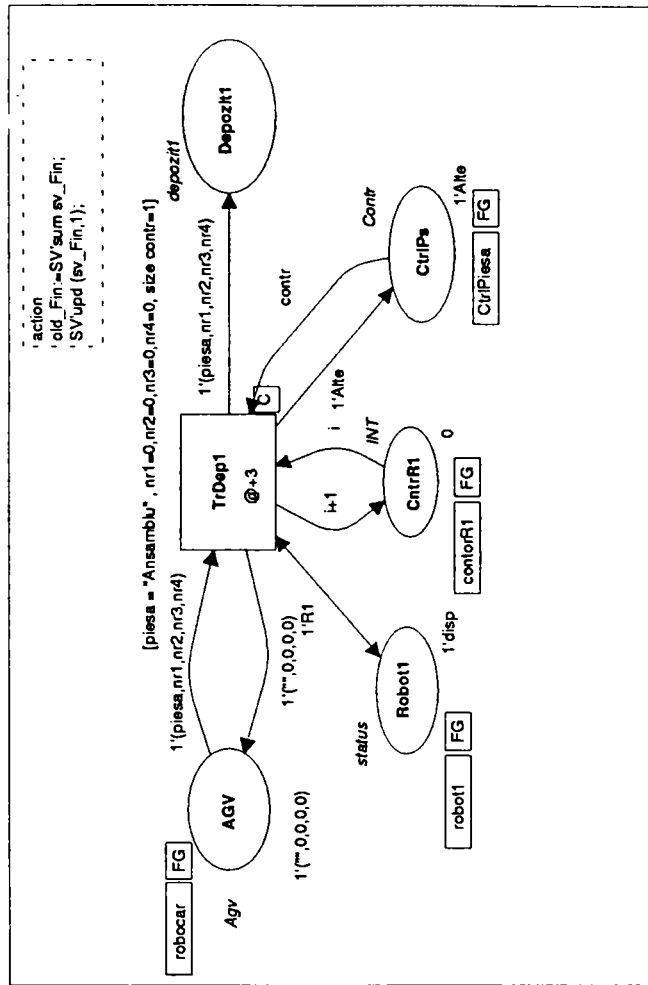


Conveior

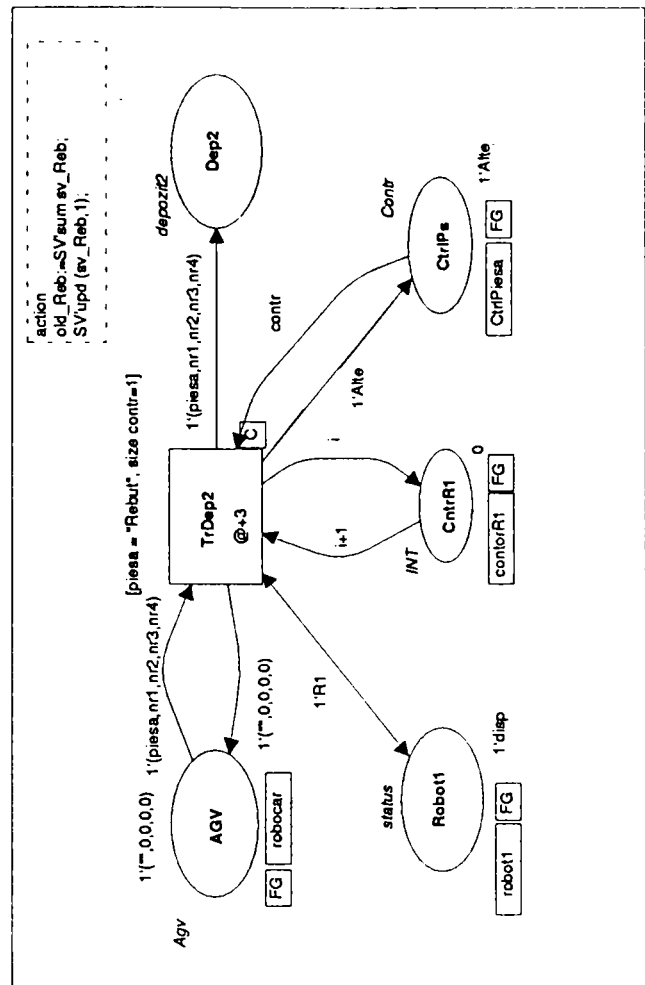




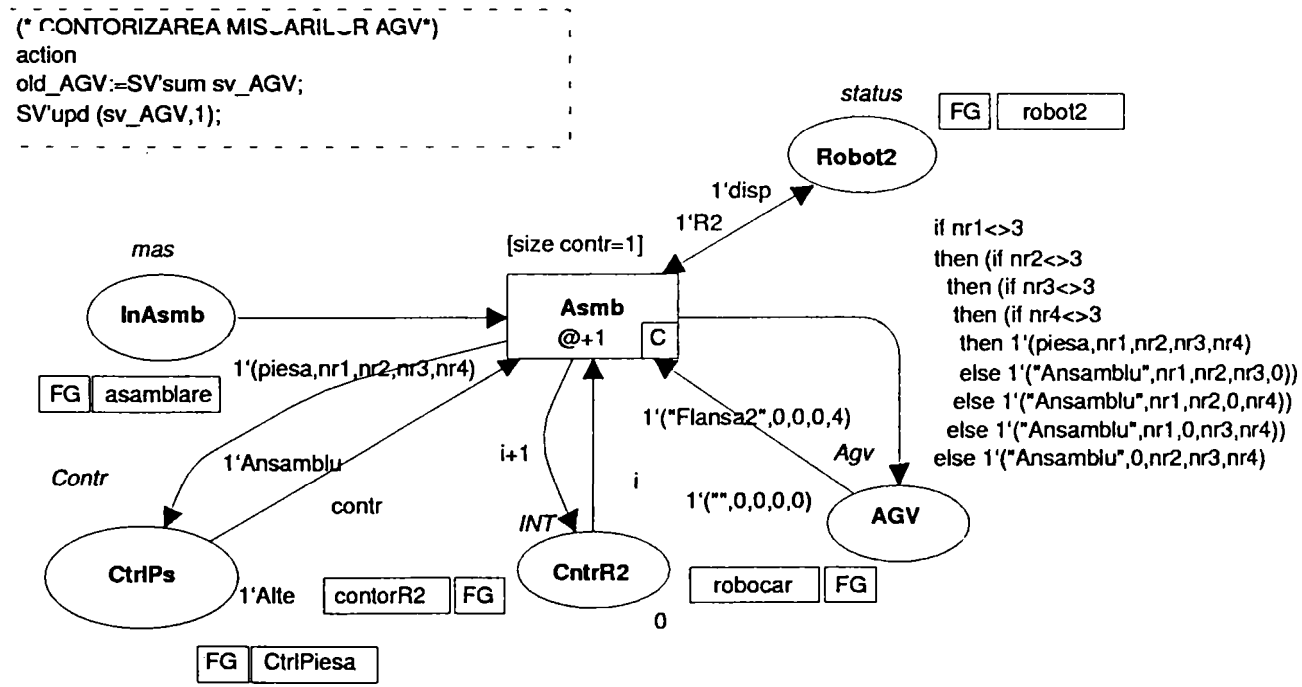
Depozit1



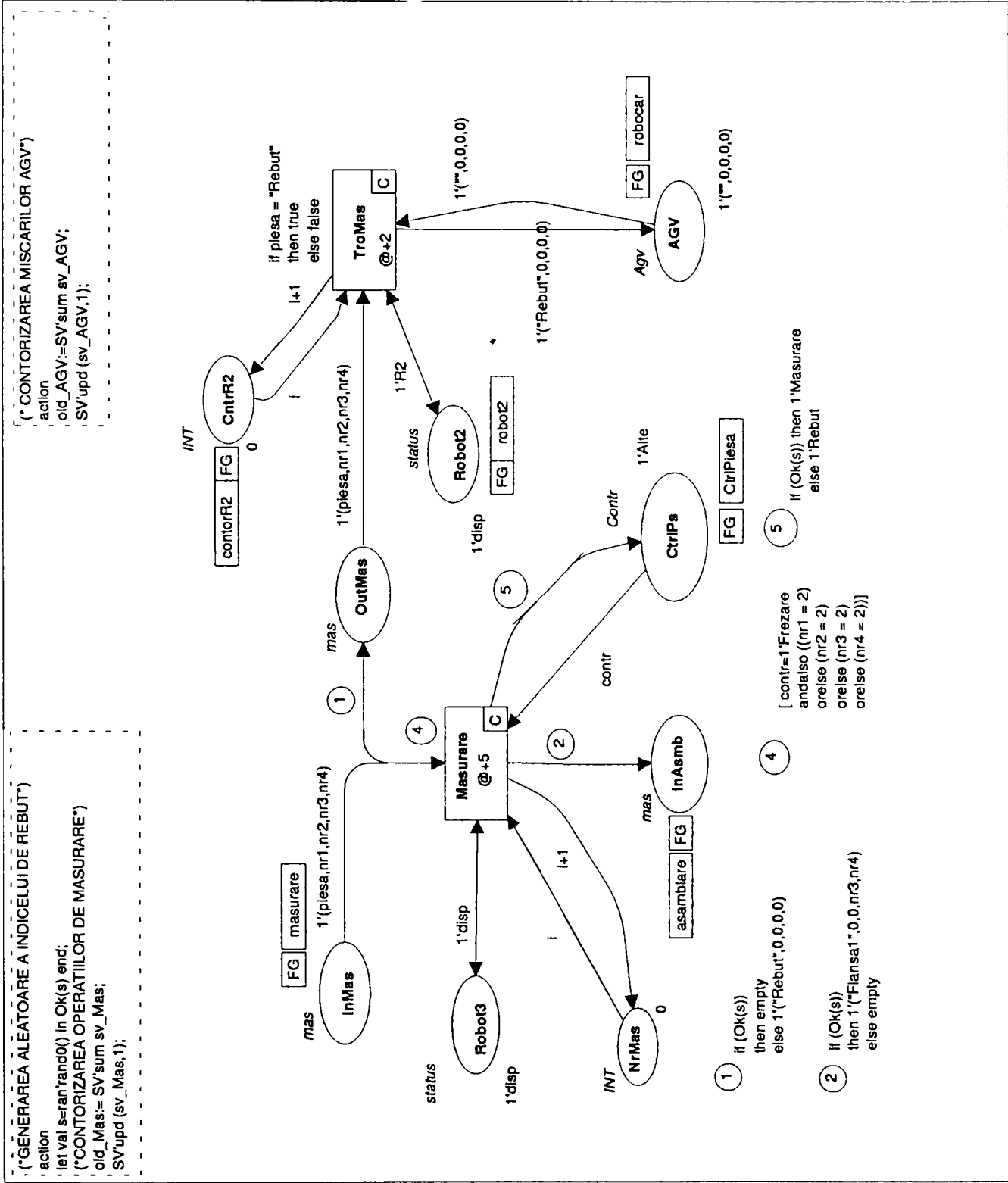
Depozit2



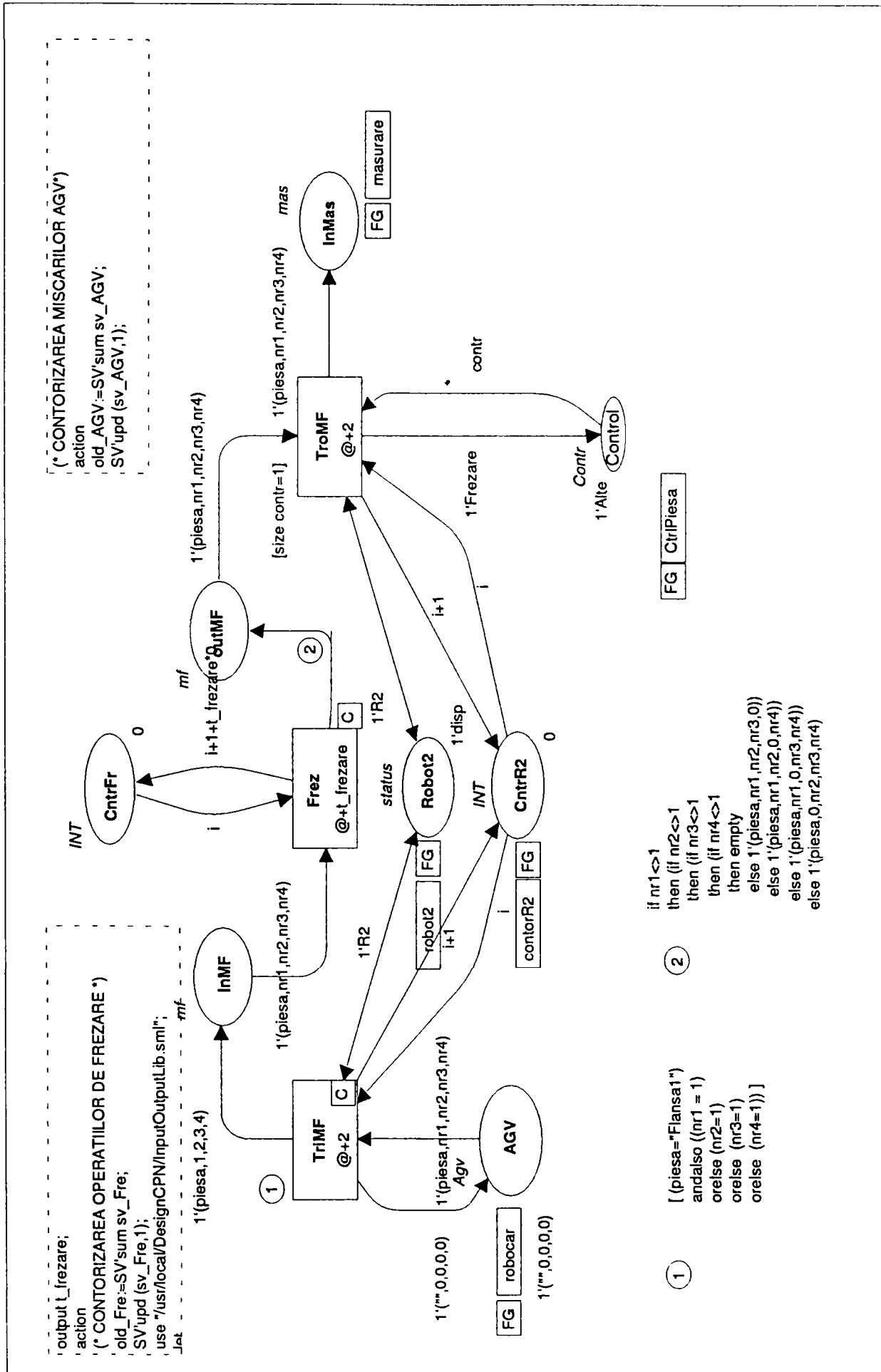
Asamblare



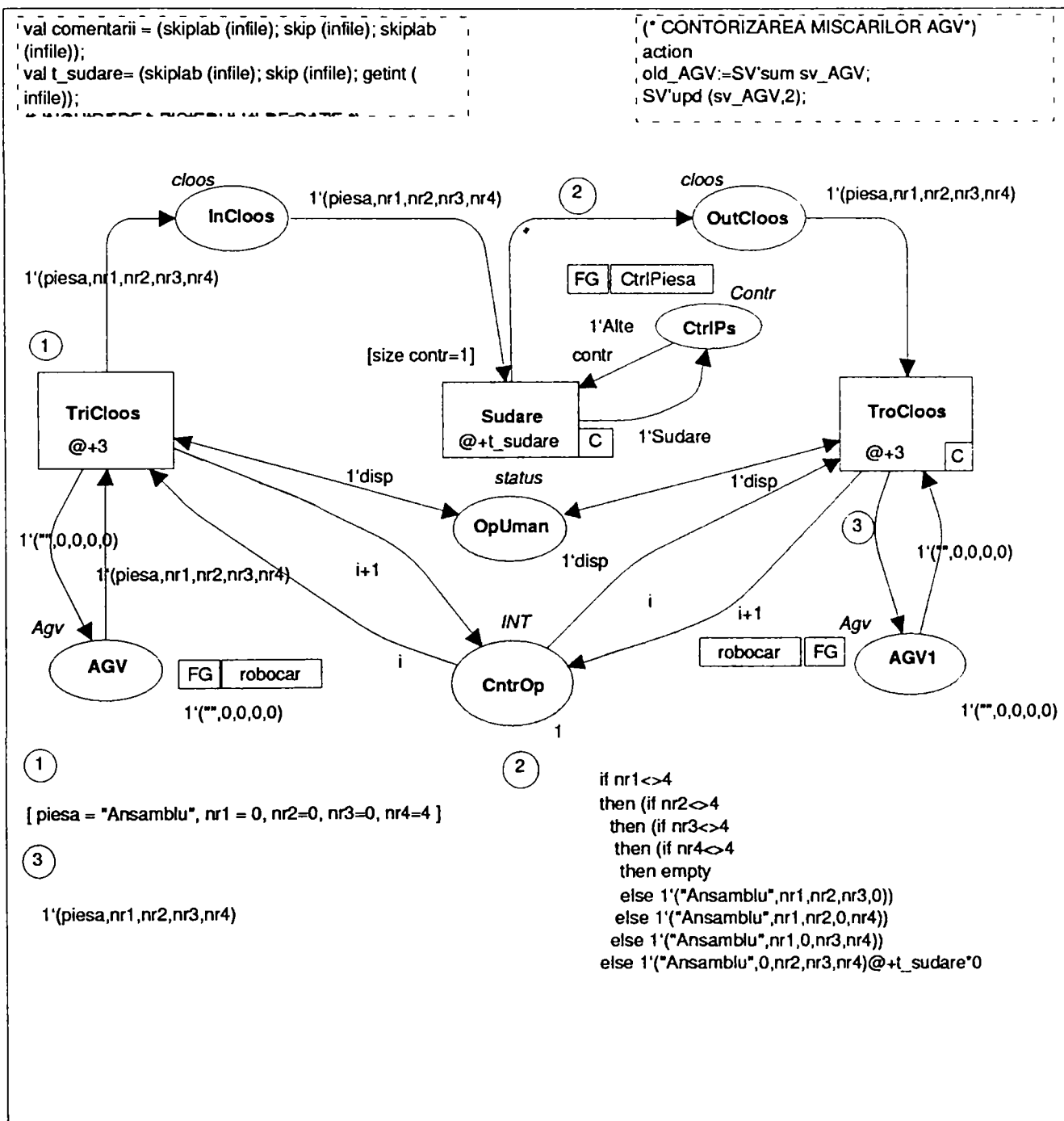
Măsurare



Frezare

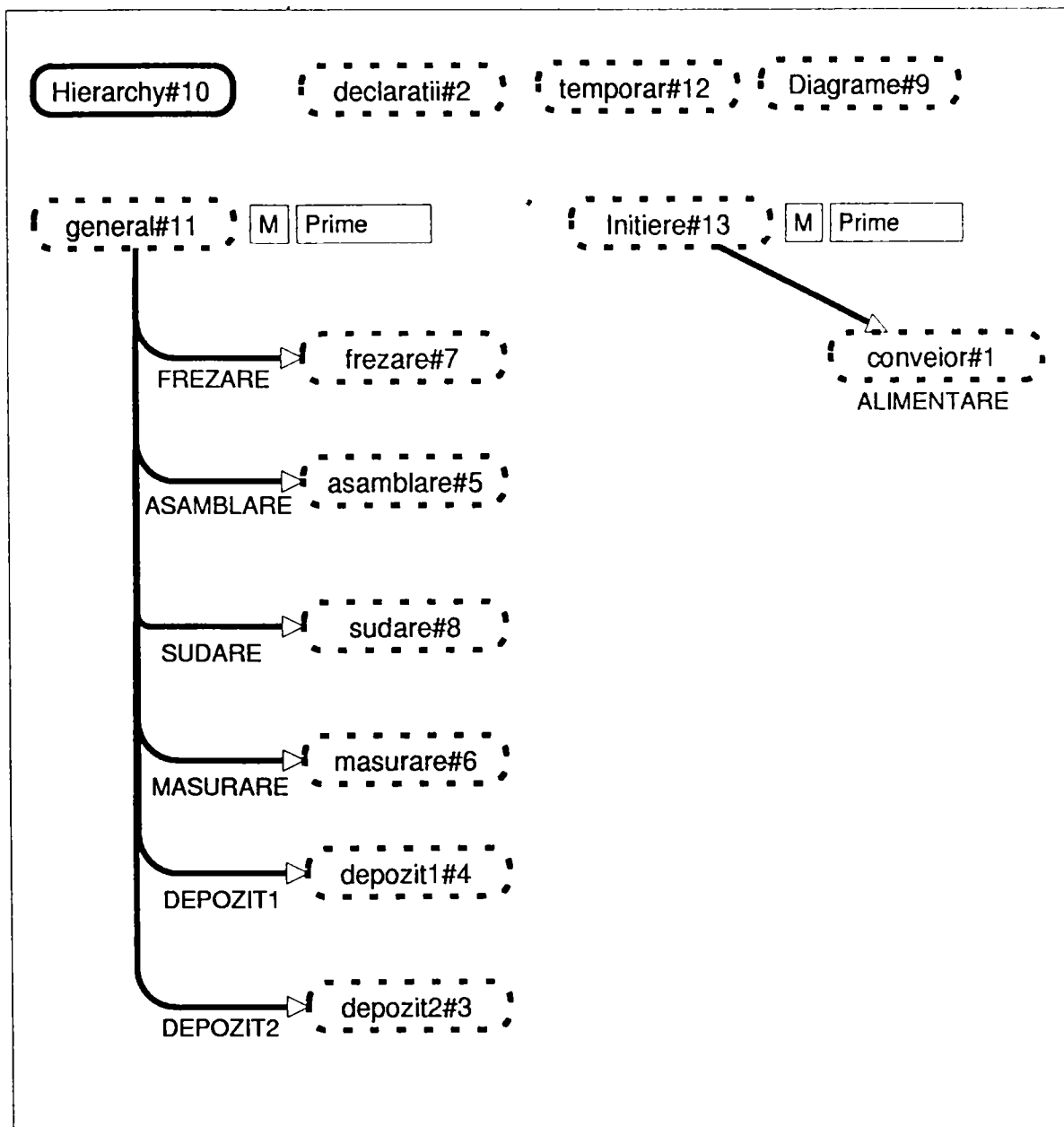


Sudare



Anexa 3-2 Modelul DesignCPN pentru sistemul de fabricație în varianta de transfer bazat pe tehnologia de fabricație

Ierarhia sistemului



## Declaratii

## Temporar

```

color Piesa = string timed;
color Nr1 = int with 0..4 timed;
color Nr2 = int with 0..4 timed;
color Nr3 = int with 0..4 timed;
color Nr4 = int with 0..4 timed;
color Paleta = product Piesa * Nr1 * Nr2 * Nr3 * Nr4;
color AGV = Paleta;
color status = with disp timed;
color sf = Paleta;
color cloos = Paleta;
color mas = Paleta;
color deprec1 = Paleta;
color deprec2 = Paleta;
color Contr = with Flansa1 | Flansa2 | Ansamblu | Rebut | Alte | Frezare |
Sudare | Masurare ;
color INT = int;
color Intrare = with intrare;
color Validare = with frezare | sudare | depl | dep2 | asamblare | liber timed;

var valid: Validare;
var contr: Contr;
var piesa: Piesa;
var R1, R2, om: status;
var nr1: Nr1;
var nr2: Nr2;
var nr3: Nr3;
var nr4: Nr4;
var Pas, Time, cnt, bun, nr_piesal, nr_piesa2, t_frezare, t_sudare, i: INT;
var initiere: Intrare;
var intr: Paleta;
color rand0 = int with 1..100;
(*color rand1 = int with 1..100;*)
var s: rand0;
(*var r: rand1;*)

(*Functia care controleaza nivelul de rebuturi*)
use "/usr/local/DesignCPN/InputOutputLib.eml";

fun Ok(s:rand0) =
let
(* DESCHIDEREA FISIERULUI DE DATE *)
val infile = open_in "/home/mircea/Valori_initiale";
(* CITIREA VALORII PROCENTAJULUI DE PIESE BUNE *)
val skip_comments = (skiplab(infile); skip(infile); skiplab(infile));
val bun = (skip(infile); getint(infile));
(* INCHIDEREA FISIERULUI DE DATE *)
val close_file = (close_in infile);
(*PARAMETRII CARE VOR FI ASOCIATI CU VARIABILELE DE PE ARCELE DE IESIRE*)
in s<bun
end;

(*Variabile statistice*)
val sv_AGV = SV#createint ();
val sv_Fre = SV#createint ();
val sv_Sud = SV#createint ();
val sv_Mas = SV#createint ();
val sv_Reb = SV#createint ();
val sv_Fin = SV#createint ();
val sv_F11 = SV#createint ();
val sv_F12 = SV#createint ();

(*Variabile de referinta*)
val old_AGV = ref 0;
val old_Fre = ref 0;
val old_Sud = ref 0;
val old_Mas = ref 0;
val old_Fin = ref 0;
val old_Reb = ref 0;
val old_F11 = ref 0;
val old_F12 = ref 0;

(*Variabila de stocare a timpului de sistem*)

val Pas=step;
val Time=time;

```

```

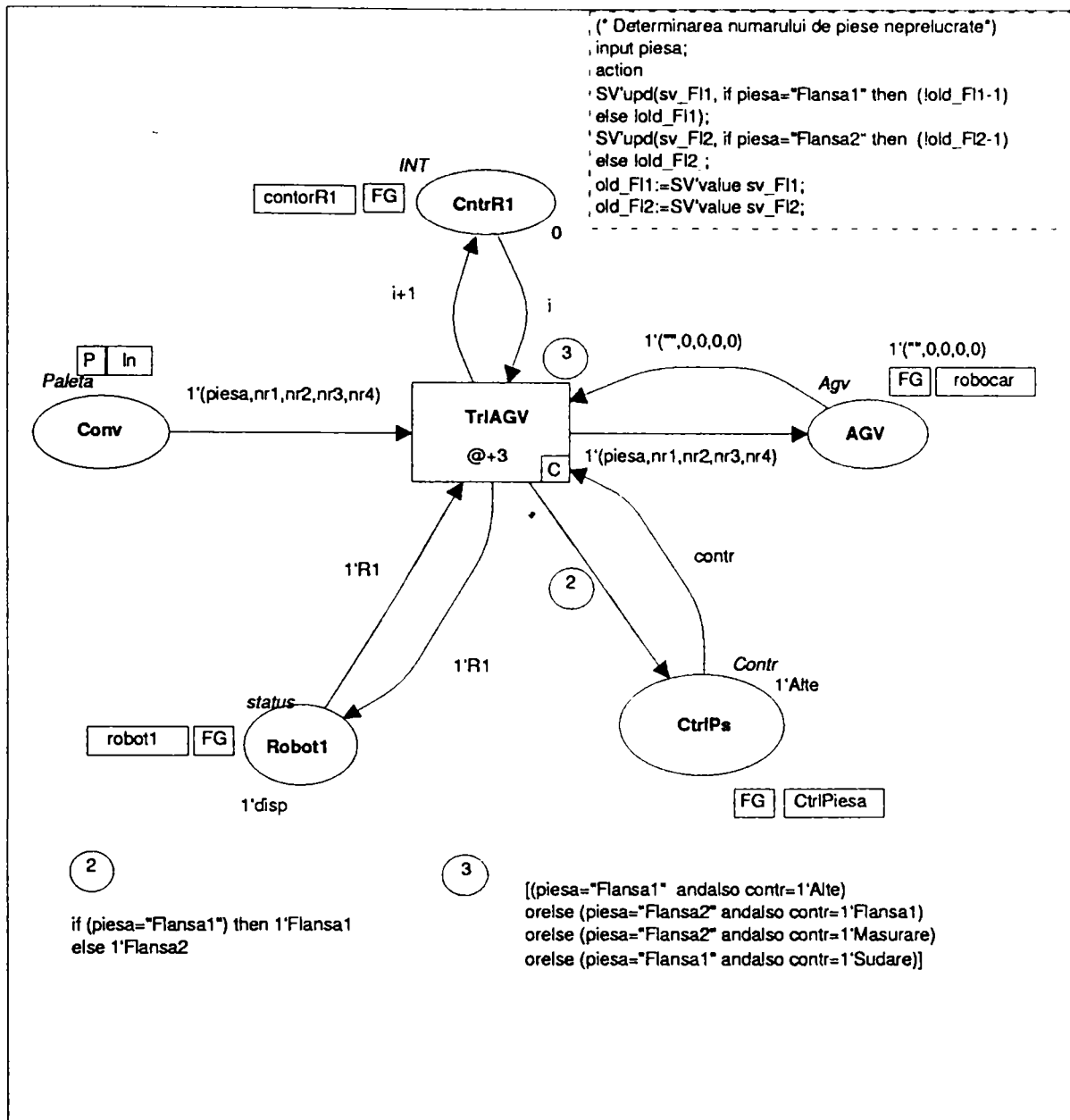
val par = ();
(* CITIREA VALORILOR PARAMETRILOR DE INCARCARE AI CONVEIORULUI *)
use "/usr/local/DesignCPN/InputOutputLib.eml";
fun LoadInputParameters () =
let
(* DESCHIDEREA FISIERULUI DE DATE *)
val infile = open_in "/home/mircea/Valori_initiale";
(*open_in (DSFile_NameDialog
(prompt="Select Input File. Valori_initiale", osButtonLabel="De-!";
path="/home/mircea/"; writeBox=false));*)
(* READ JOB STREAM PARAMETERS FROM THE PARAMETERS FILE *)
val skip_comments = (skiplab(infile); skip(infile); skiplab(infile));
val nr_piesal = (skip(infile); getint(infile));
val nr_piesa2 = (skip(infile); getint(infile));
(*INITIALIZAREA VARIABILELOR STATISTICE REFERITOARE LA NUMARUL DE PIESE*)
val nr_de_piesa = (old_F11:=nr_piesal;
old_F12:=nr_piesa2);
val initial_sv = (SV*upd(sv_F11, old_F11);
SV*upd(sv_F12, old_F12));
(* INCHIDEREA FISIERULUI DE DATE *)
val close_file = (close_in infile);
(*PARAMETRII CARE VOR FI ASOCIATI CU VARIABILELE DE PE ARCELE DE IESIRE*)
in
(nr_piesal, nr_piesa2)
end;

(* OPERATIA DE VALIDARE A UNUI TRASEU DE TRANSPORT*)
fun Selectie (piesa:string, nr4:int, contr:Contr mas) =
let
val valid = (if (piesa="Flansa1") andalso (contr="Flansa1")
then frezare
else if (piesa="Flansa2") andalso (contr="Masurare")
then asamblare
else if (piesa="Ansamblu") andalso (contr="Ansamblu")
then sudare
else if (piesa="Ansamblu") andalso (nr4=0) andalso (contr="Sudare")
then depl
else if (piesa="Rebut") andalso (contr="Rebut")
then dep2
else liber)
in valid
end;

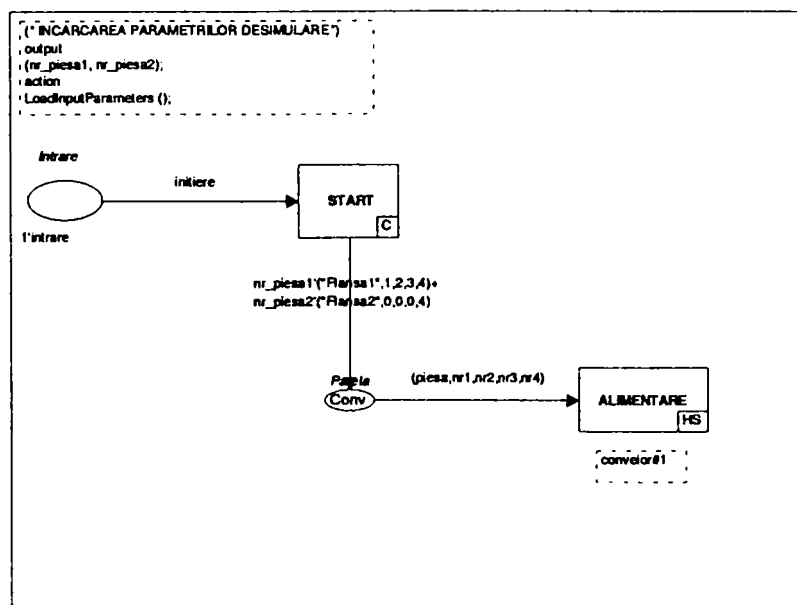
(* FUNCTIA PENTRU SCRIEREA PARAMETRILOR DE IESIRE AI SISTEMULUI*)
fun ScrieValstat () =
let
val outfile = open_append "/home/mircea/data_log"
in
(output (outfile, "*****\n");
(*output (outfile, (OutputText));*)
output (outfile, "Miscari AGV= "makestring(per old_AGV)~" La momentul T=
"makestring(Time ());
output (outfile, "\n\n");
output (outfile, "Piese frezate= "makestring(per old_Fre+1));
output (outfile, "\n\n");
output (outfile, "Piese sudate= "makestring(per old_Sud+1));
output (outfile, "\n\n");
output (outfile, "Piese masurate= "makestring(per old_Mas+1));
output (outfile, "\n\n");
output (outfile, "Piese finite= "makestring(per old_Fin+1));
output (outfile, "\n\n");
output (outfile, "Piese rebut= "makestring(per old_Reb + SV'value sv_Reb));
output (outfile, "\n\n");
output (outfile, "Productivitatea celulei= "makestring(real(per old_Fin+1)/real(Time
)))~" Piese finite/minute";
output (outfile, "\n\n");
output (outfile, "Timpul mediu de prelucrare= "makestring(real(Time ())/real(
old_Fin+1))~" minute/piesa";
output (outfile, "\n\n");
output (outfile, "Numarul de piese tip 1 in ciclu= "makestring(SV'mas sv_F11 -
SV'value sv_F11 - SV'sum sv_Fin - SV'sum sv_Reb));
output (outfile, "\n\n");
output (outfile, "Numarul de piese tip 2 in ciclu= "makestring(SV'mas sv_F12 -
SV'value sv_F12 - SV'sum sv_Fin));
output (outfile, "\n\n");
output (outfile, "Numarul de piese tip 1 neprelucrate= "makestring(SV'value sv_F11));
output (outfile, "\n\n");
output (outfile, "Numarul de piese tip 2 neprelucrate= "makestring(SV'value sv_F12));
output (outfile, "\n\n");
close_out (outfile);
end;

```

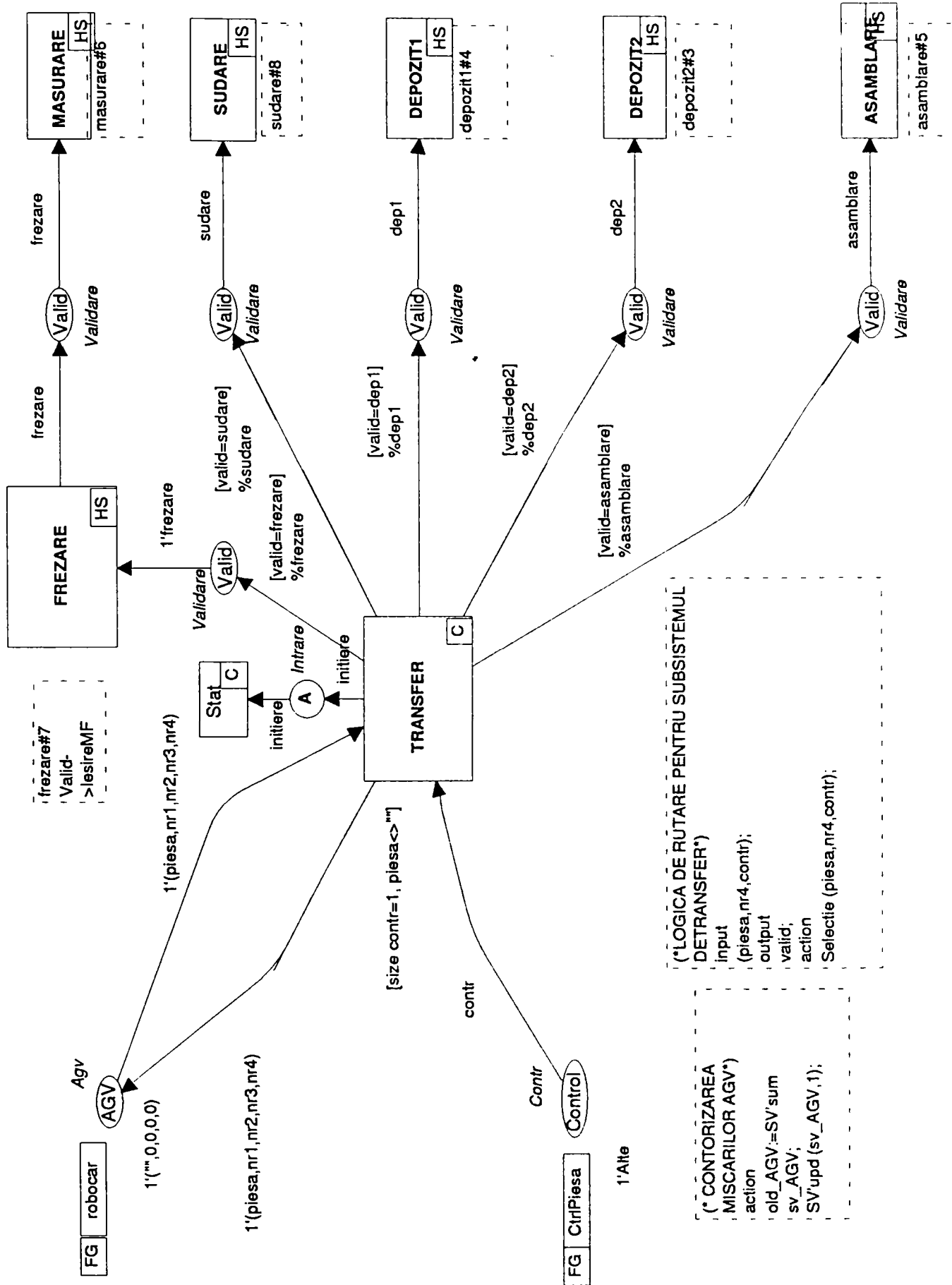
Conveior



Initiere

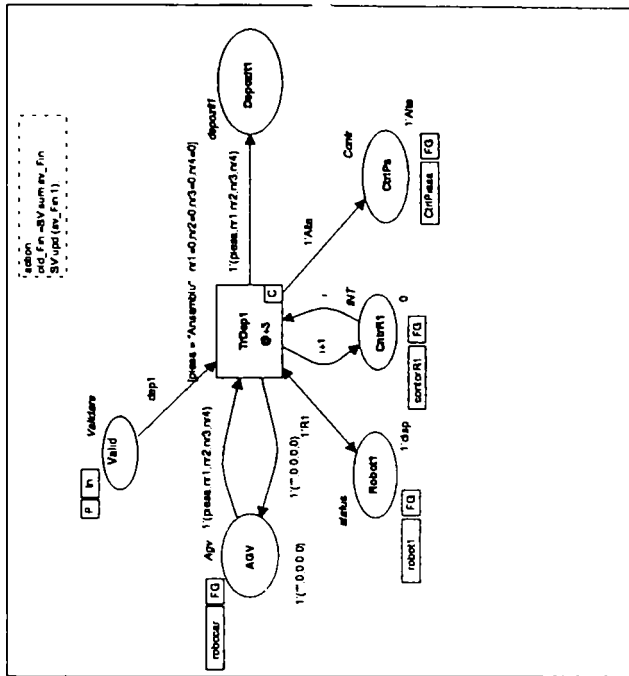


General

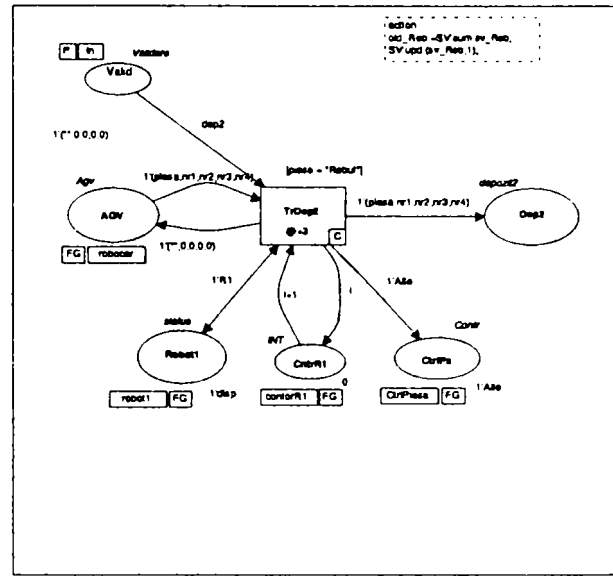




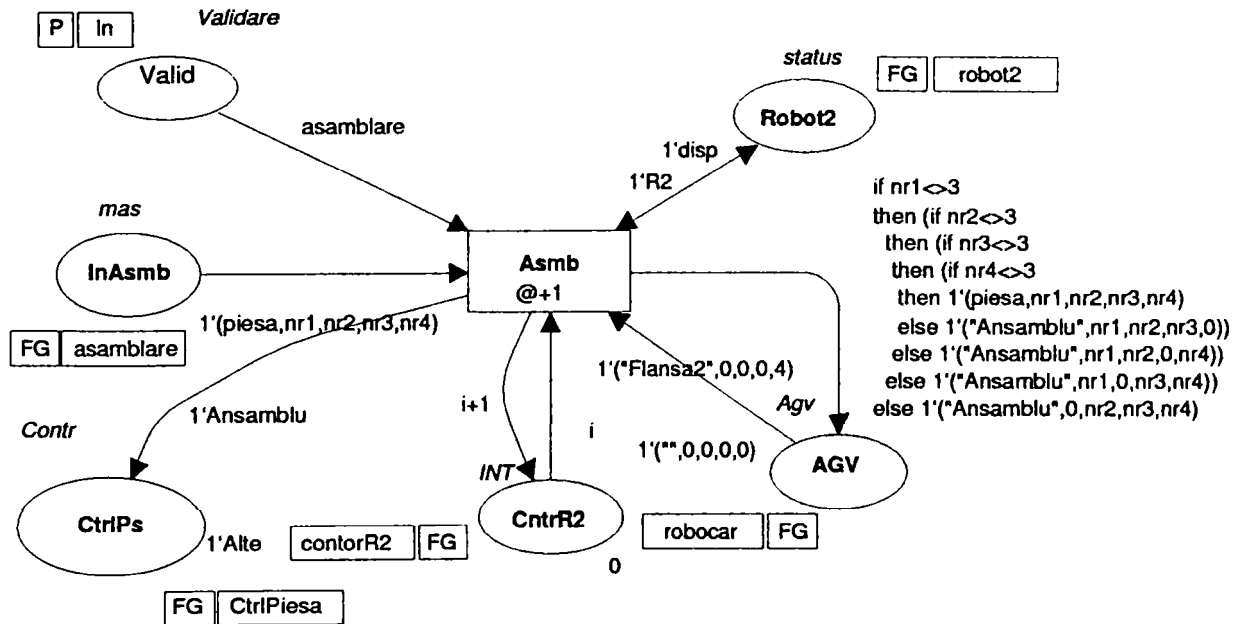
Depozit1



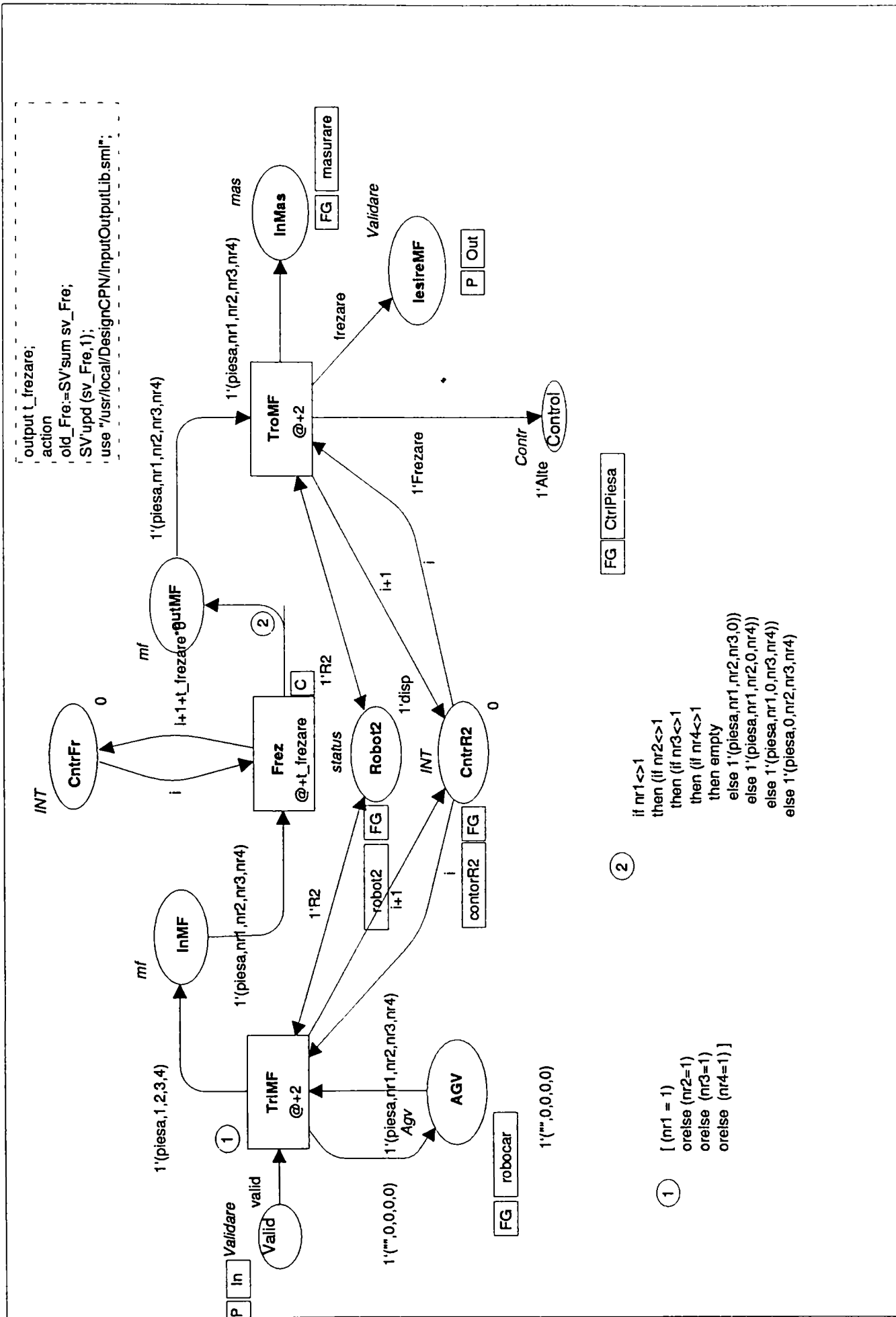
Depozit2



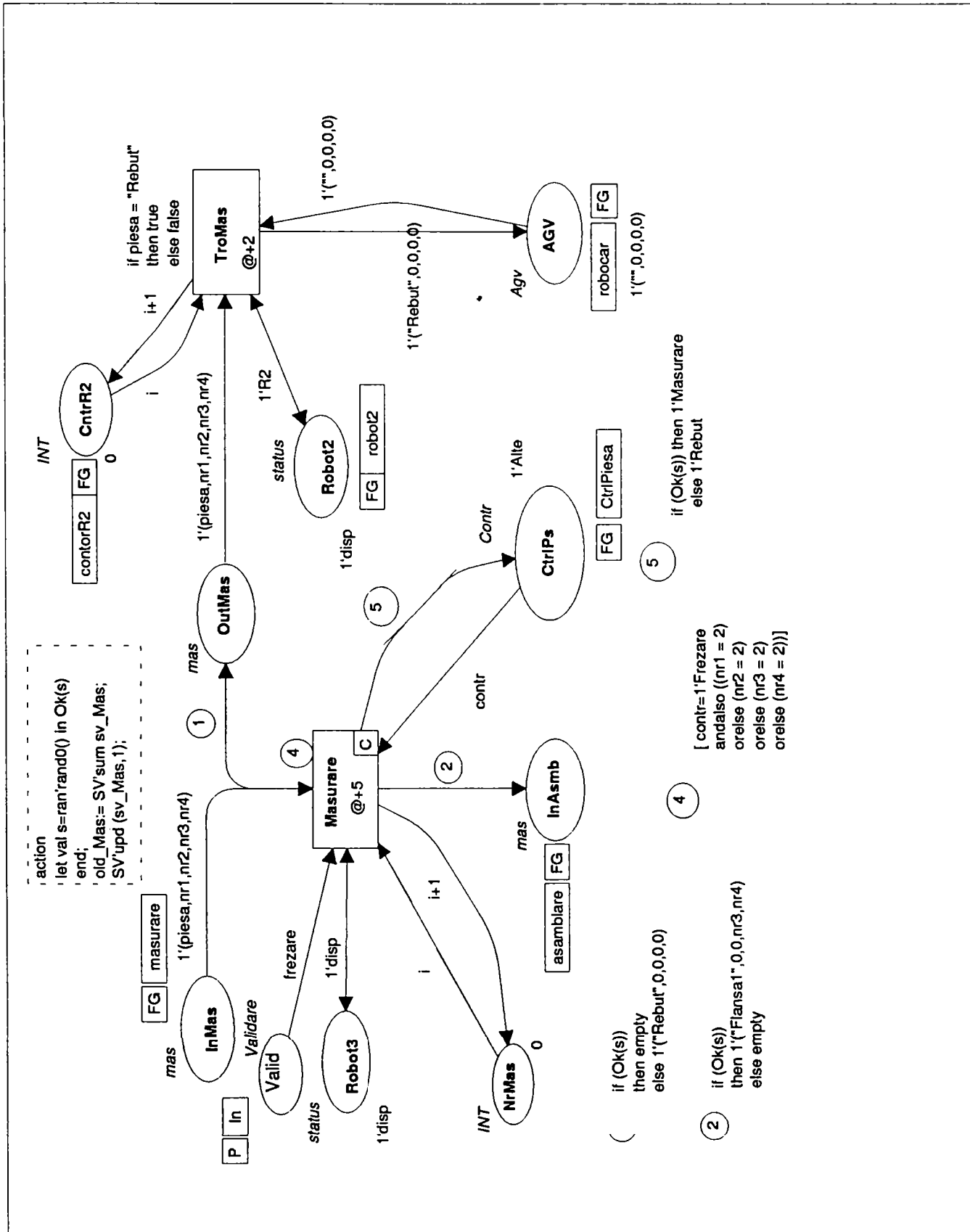
Asamblare



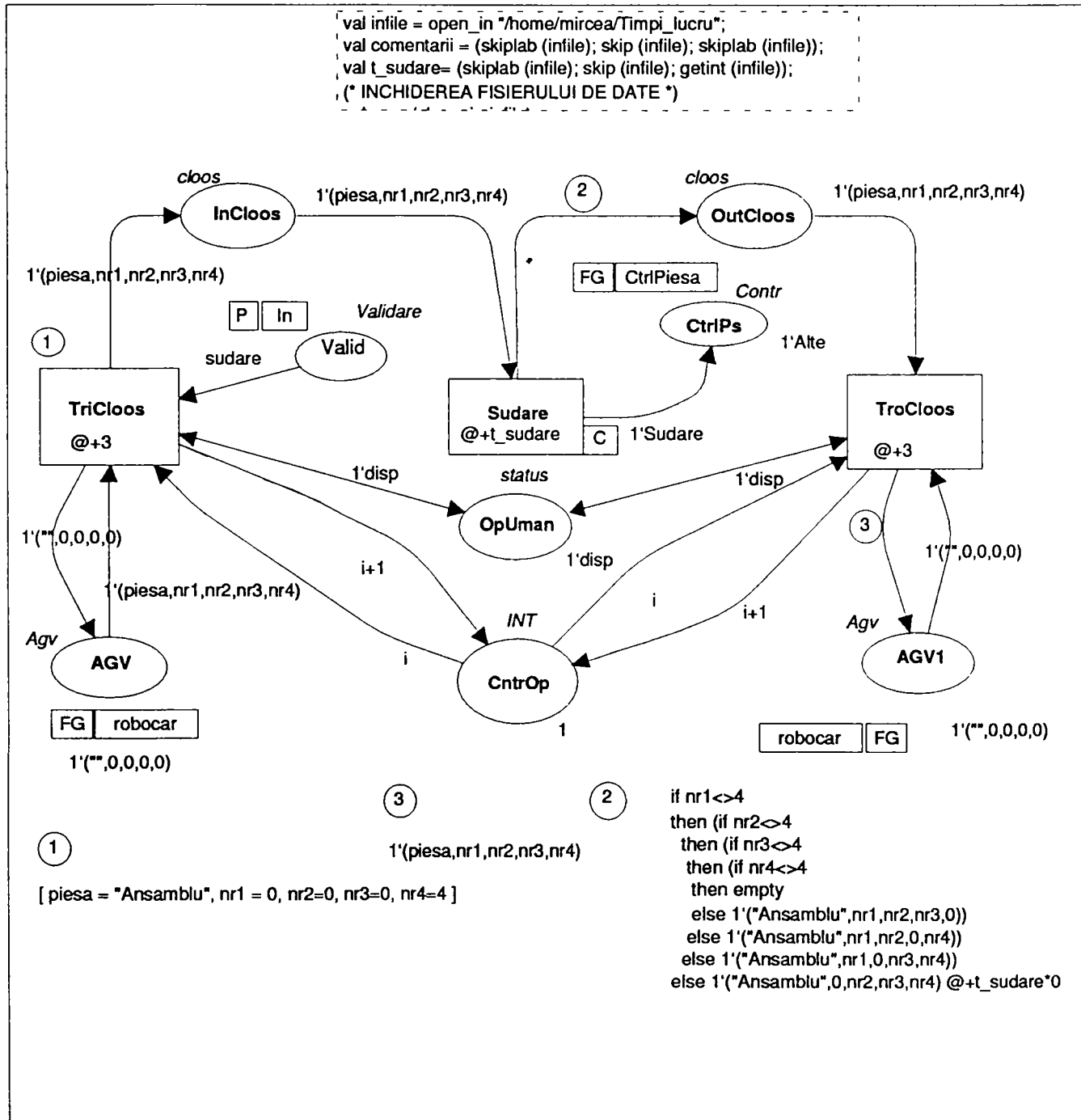
Frezare



Măsurare



Sudare



## Fișier cu date de ieșire (fragment)

```
*****
Miscari AGV= 215 La momentul T= 1708
Piese frezate= 58
Piese sudate= 50
Piese masurate= 58

Piese finite= 50

Piese rebut= 7

Productivitatea celulei= 0.0292740046838408 Piese finite/minut

Timpul mediu de prelucrare= 34.16 minute/piesa

Numarul de piese tip 1 in ciclu= 1

Numarul de piese tip 2 in ciclu= 0
*****

Miscari AGV= 213 La momentul T= 1687

Piese frezate= 57

Piese sudate= 50

Piese masurate= 57

Piese finite= 50

Piese rebut= 6

Productivitatea celulei= 0.02963841138115 Piese finite/minut

Timpul mediu de prelucrare= 33.74 minute/piesa

Numarul de piese tip 1 in ciclu= 1

Numarul de piese tip 2 in ciclu= 0
*****

Miscari AGV= 215 La momentul T= 1708

Piese frezate= 58

Piese sudate= 50

Piese masurate= 58

Piese finite= 50

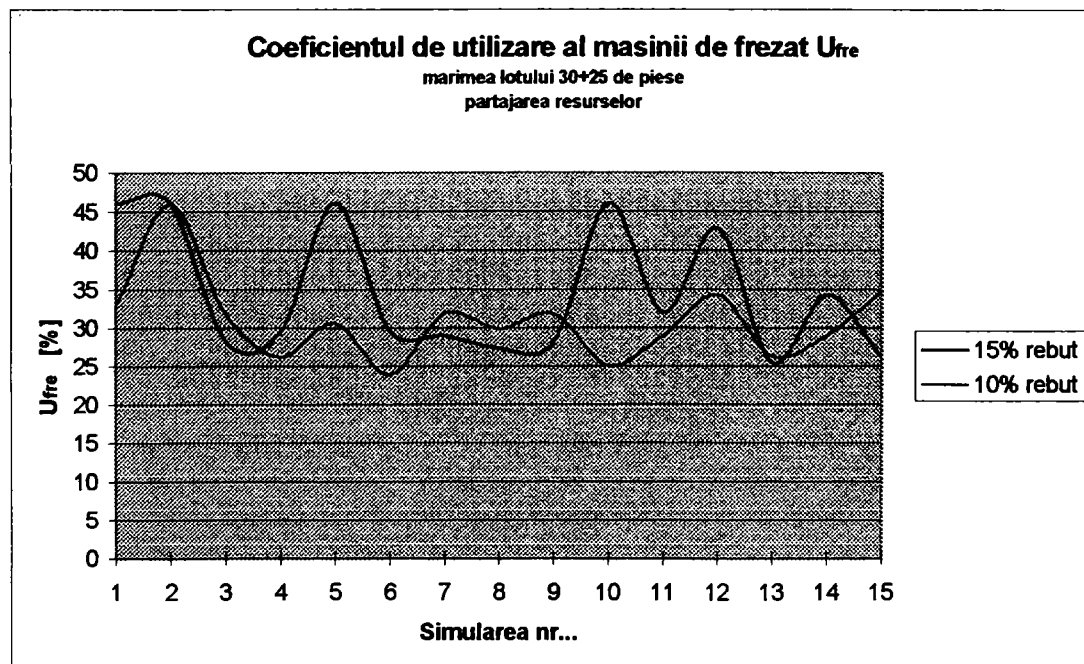
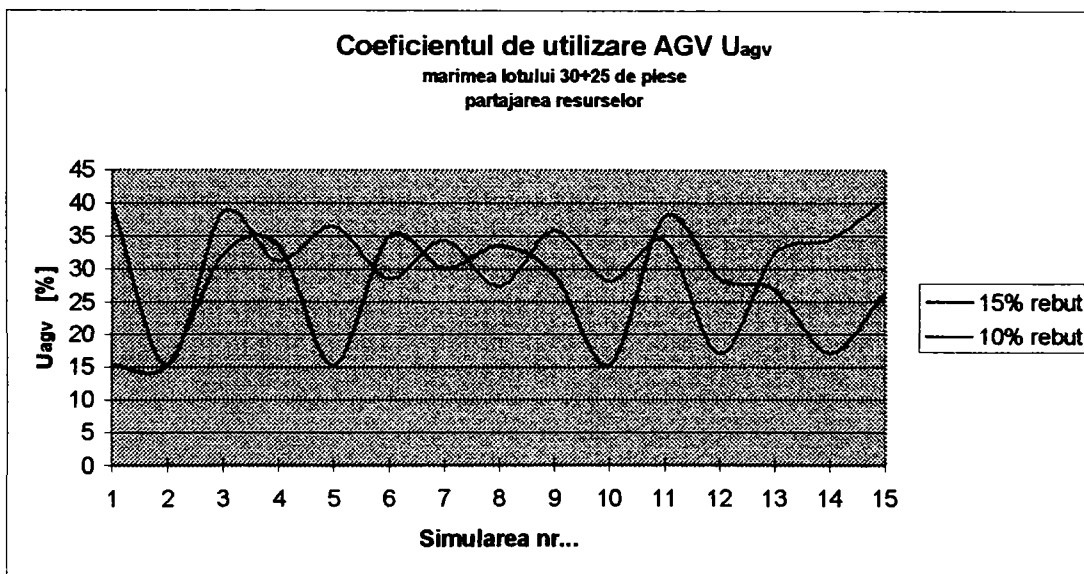
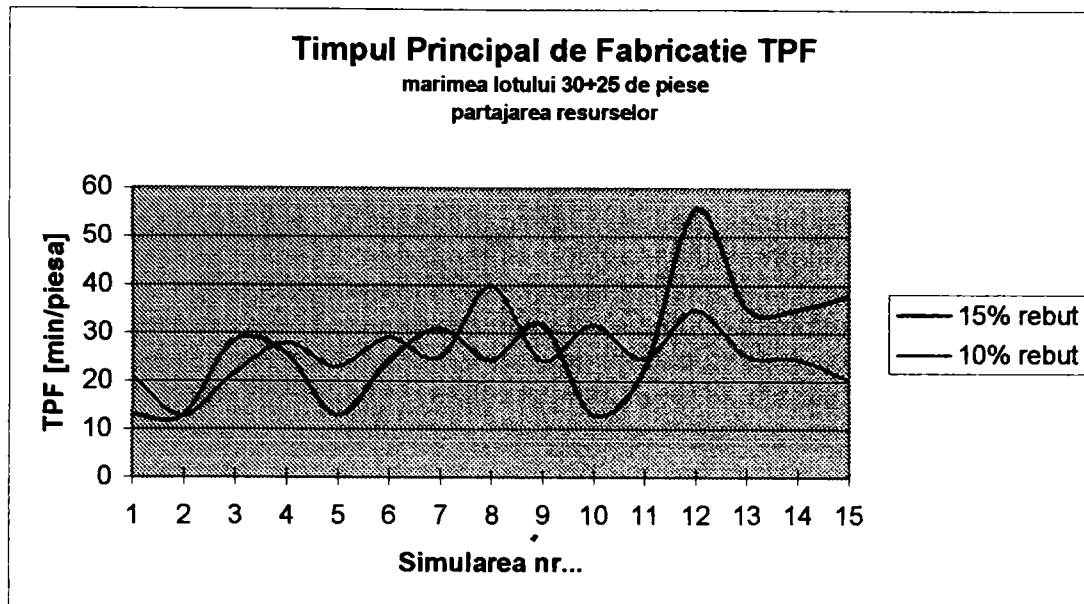
Piese rebut= 7

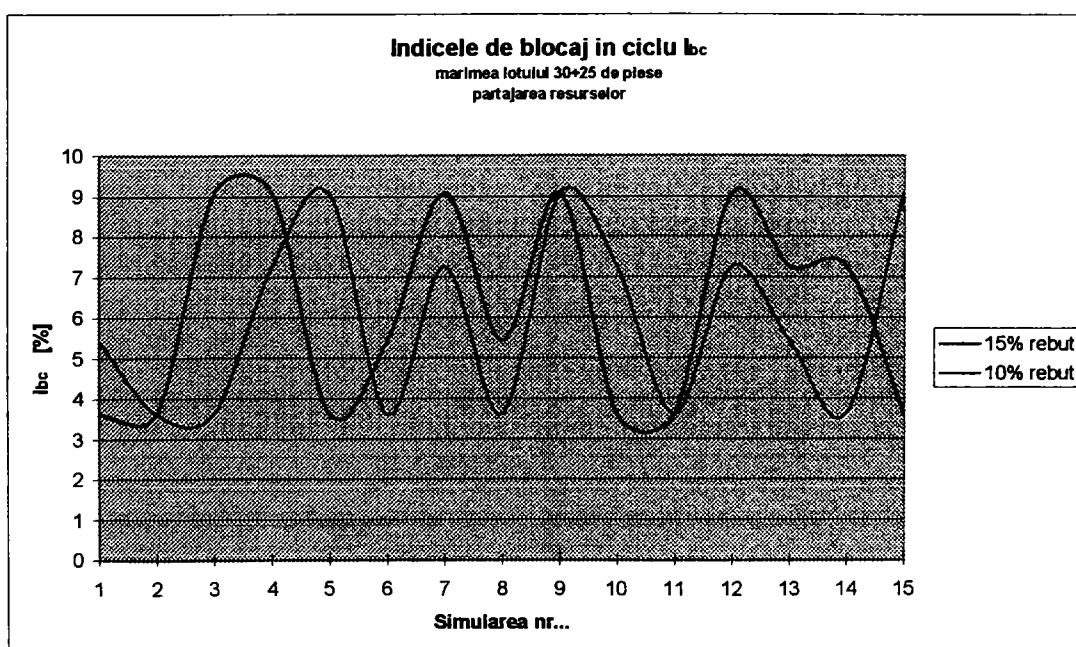
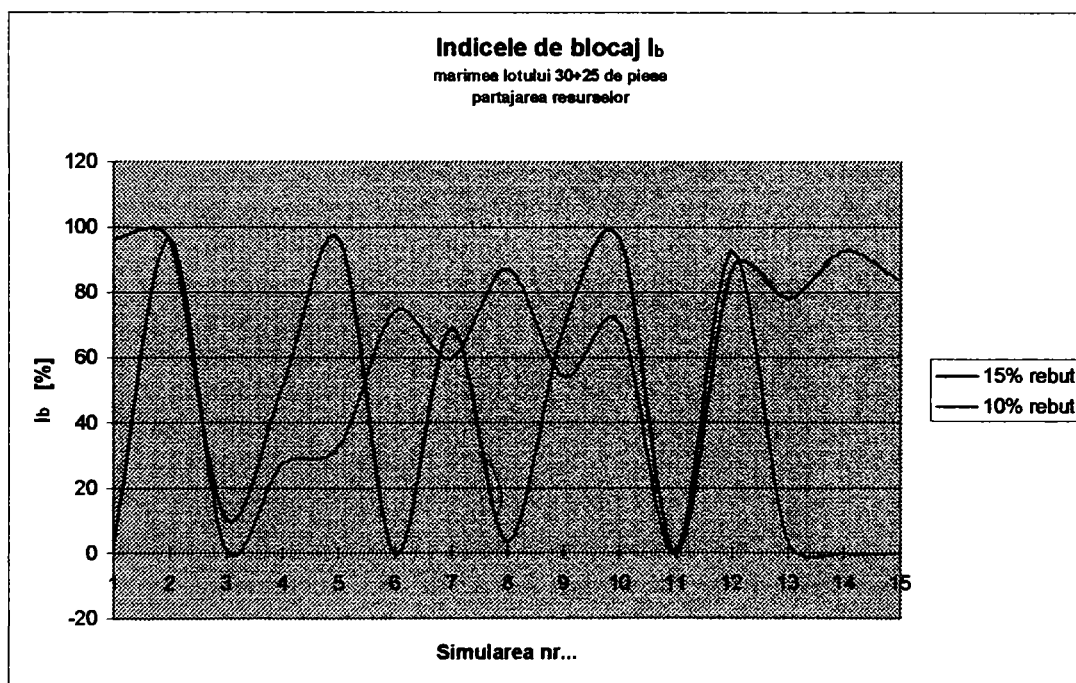
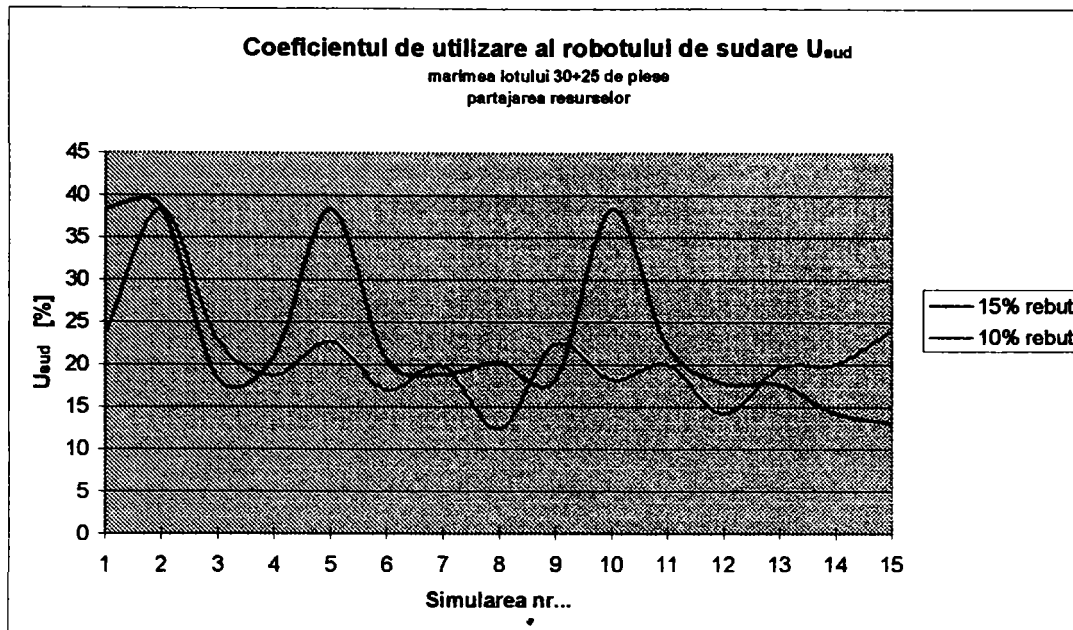
Productivitatea celulei= 0.0292740046838408 Piese finite/minut

Timpul mediu de prelucrare= 34.16 minute/piesa

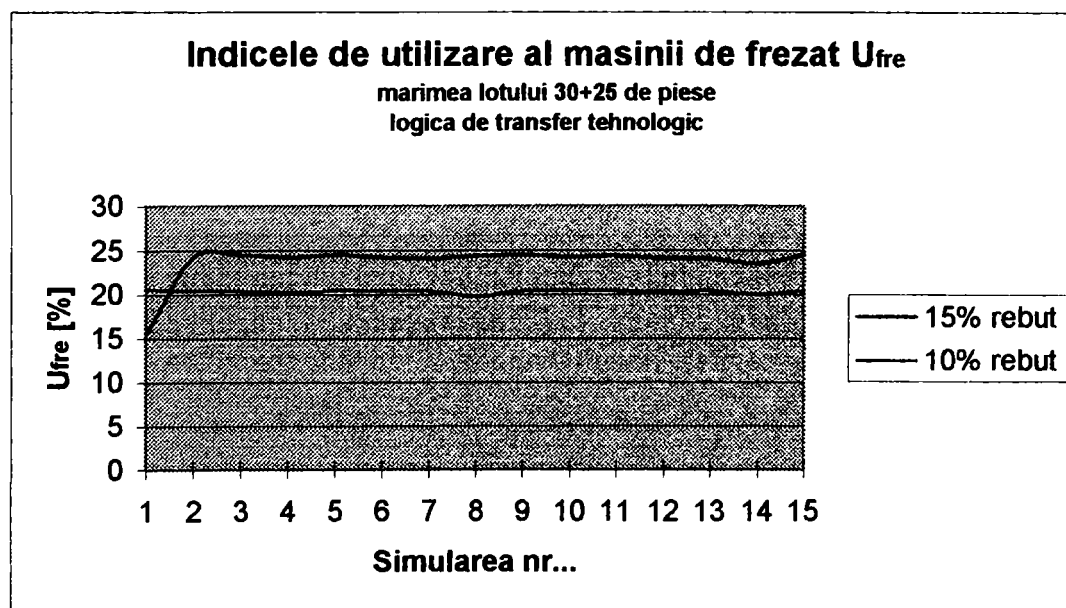
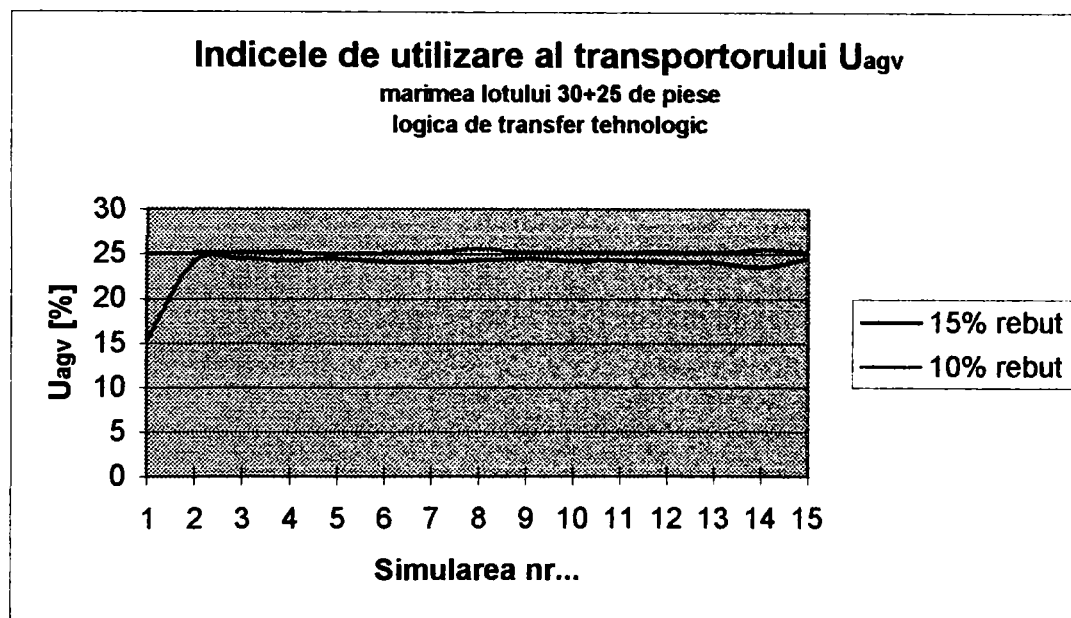
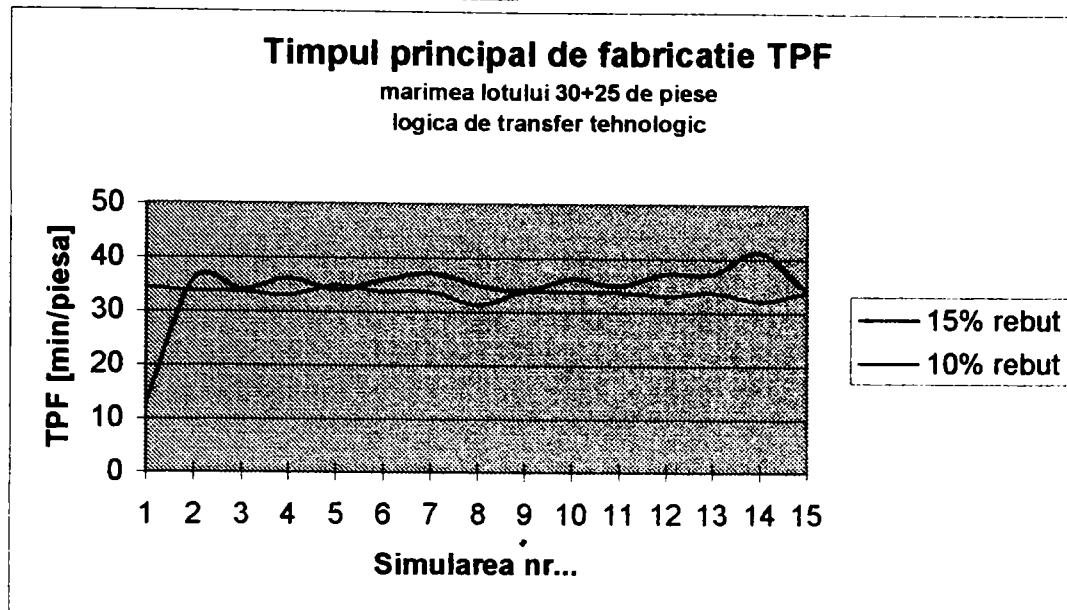
Numarul de piese tip 1 in ciclu= 1
```

**Anexa 3-3** Diagramele de variație a indicilor de performanță pentru lotul 30+25 și logica de transfer bazată pe partajarea resurselor





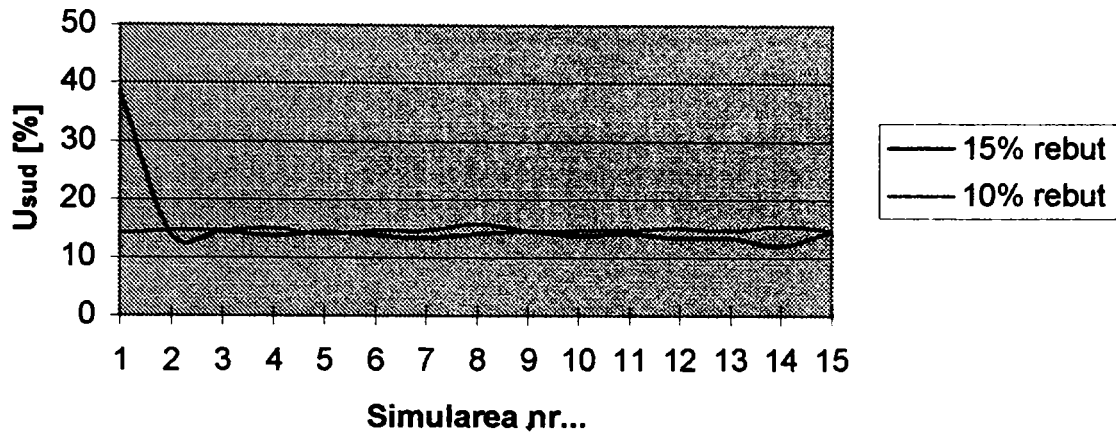
**Anexa 3-4** Diagramele de variație a indicilor de performanță pentru lotul 30+25 și logica de transfer bazată pe tehnologia de execuție





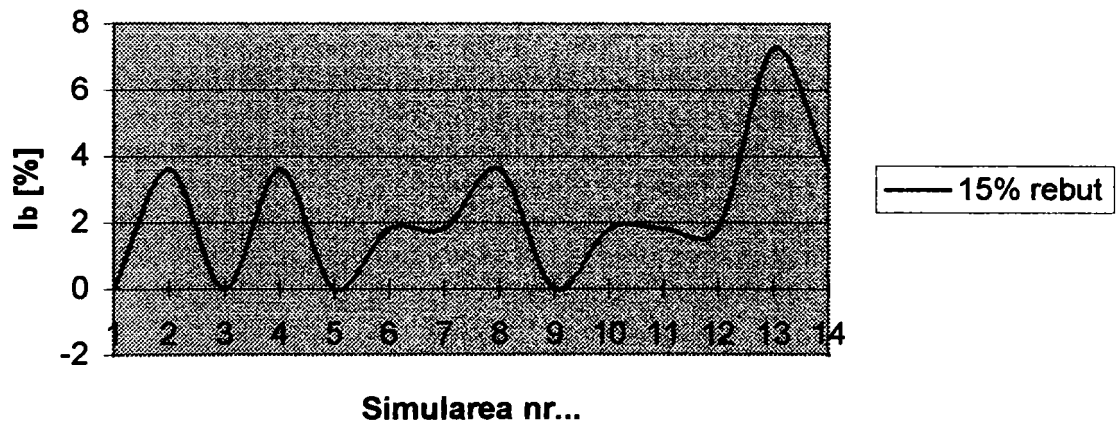
### Indicele de utilizare al robotului de sudare $U_{sud}$

marimea lotului 30+25 de piese  
logica de transfer tehnologic



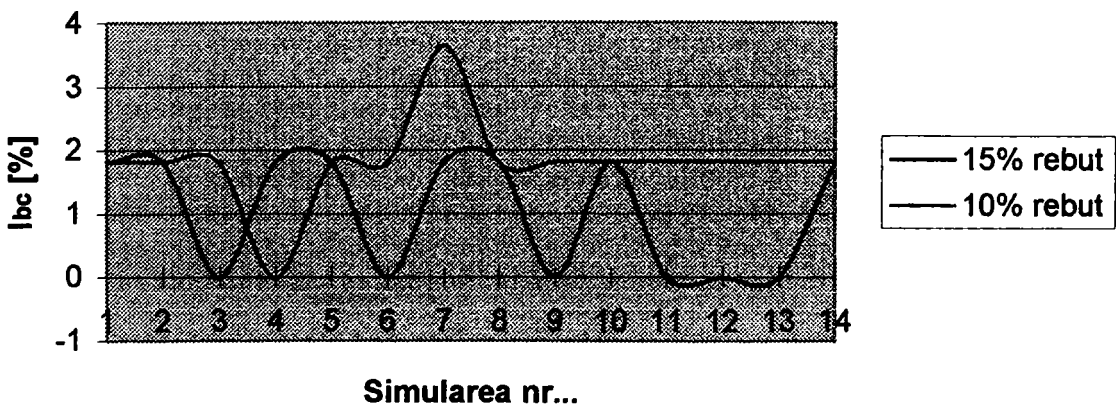
### Indicele de blocaj $I_b$

marimea lotului 30+25 de piese  
logica de transfer tehnologic

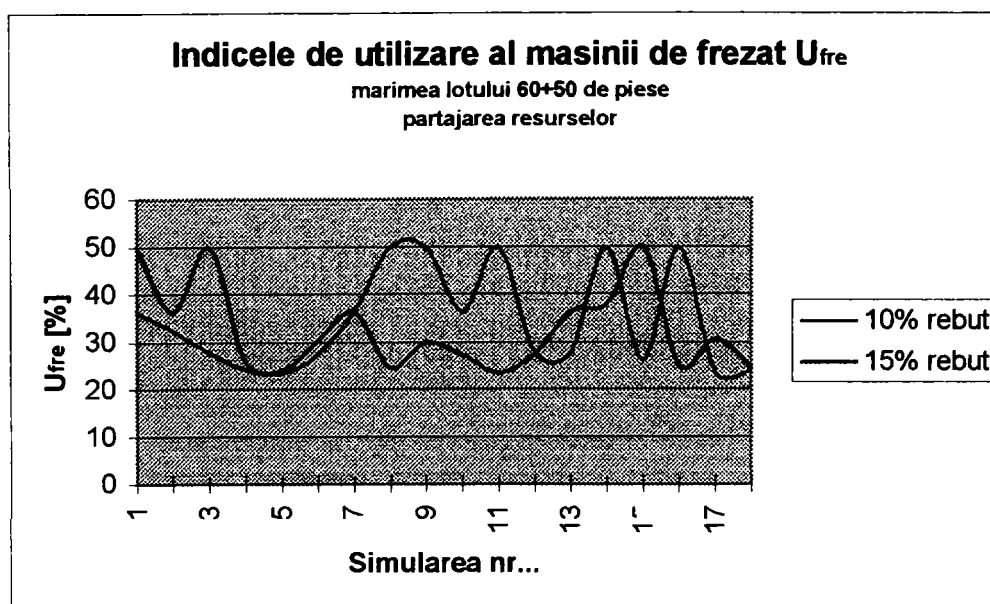
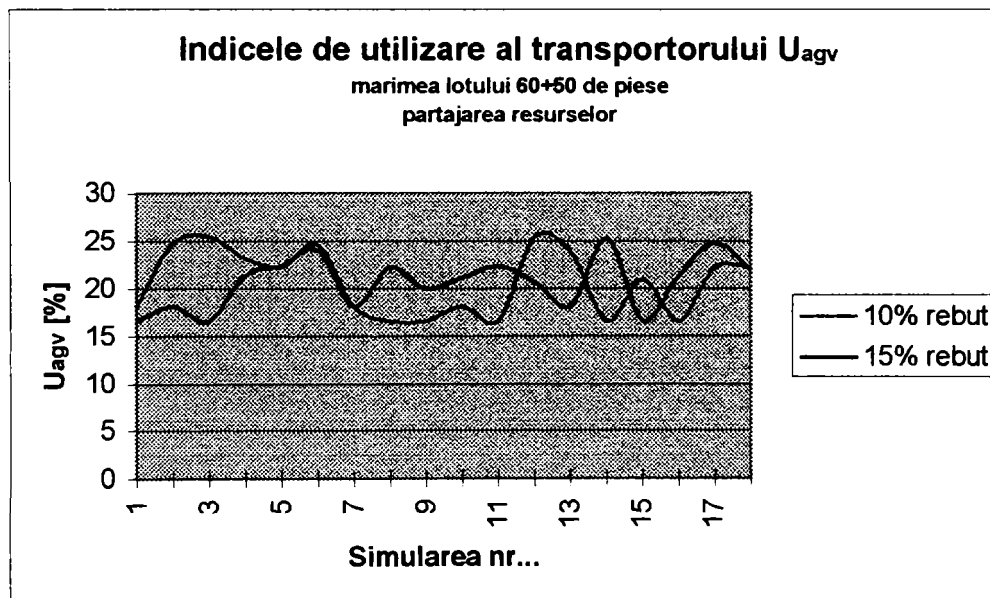
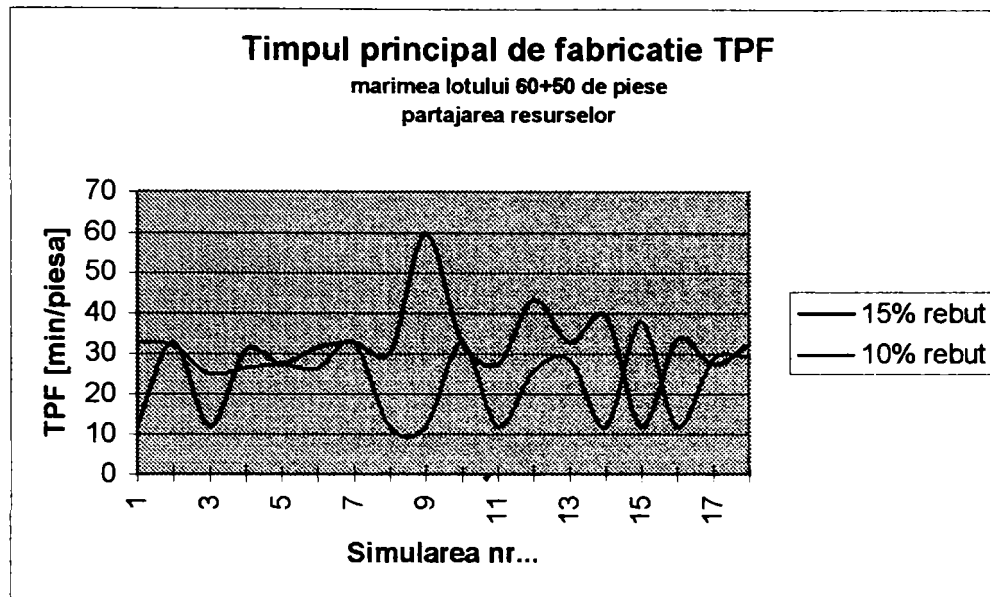


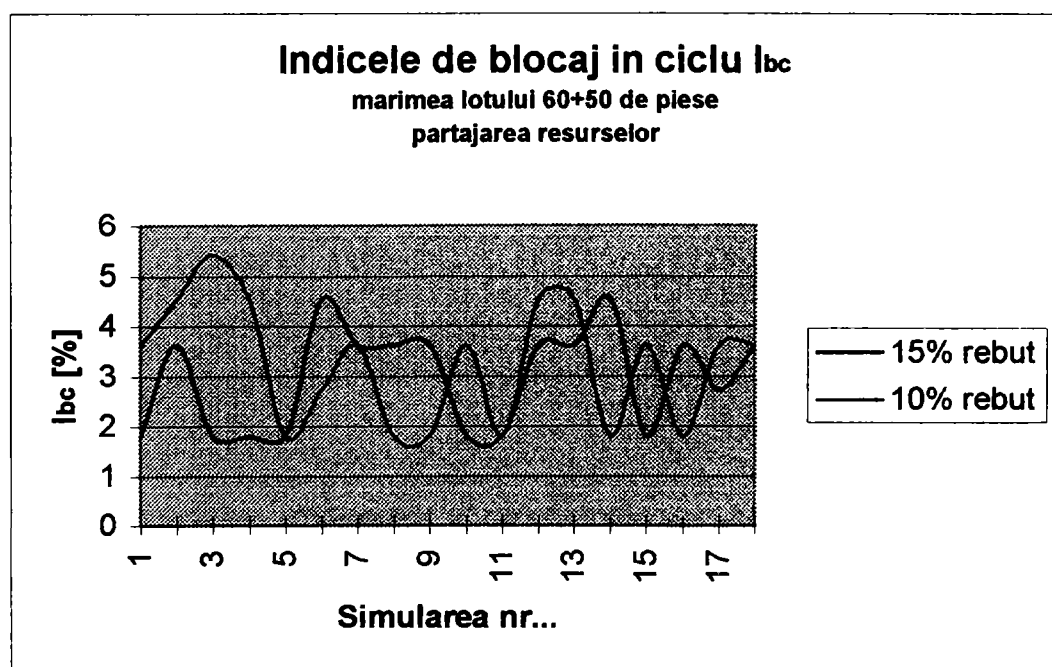
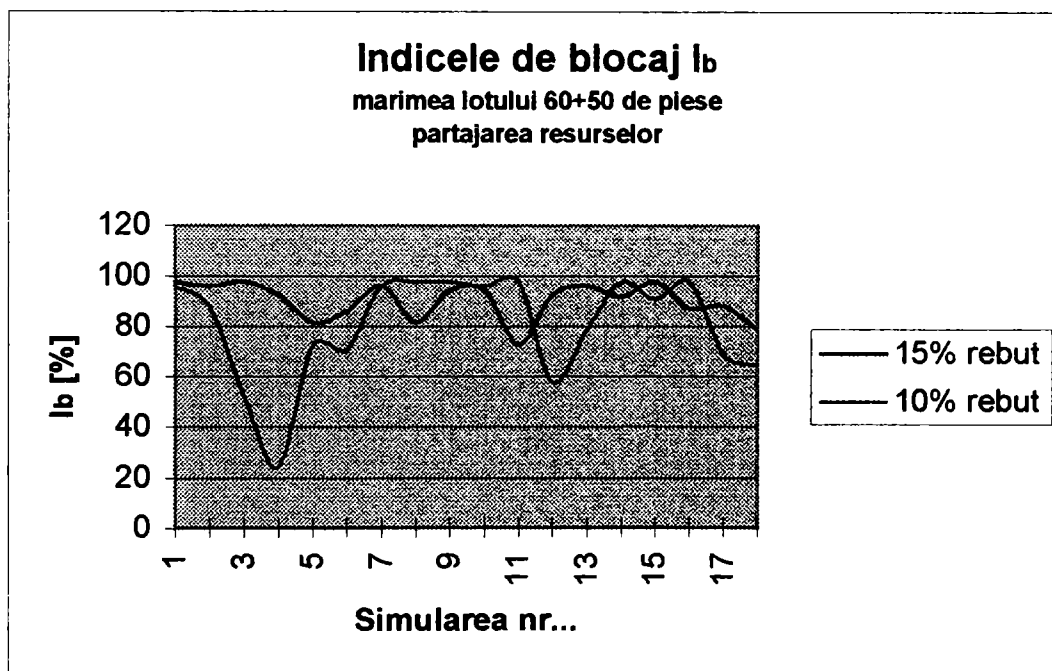
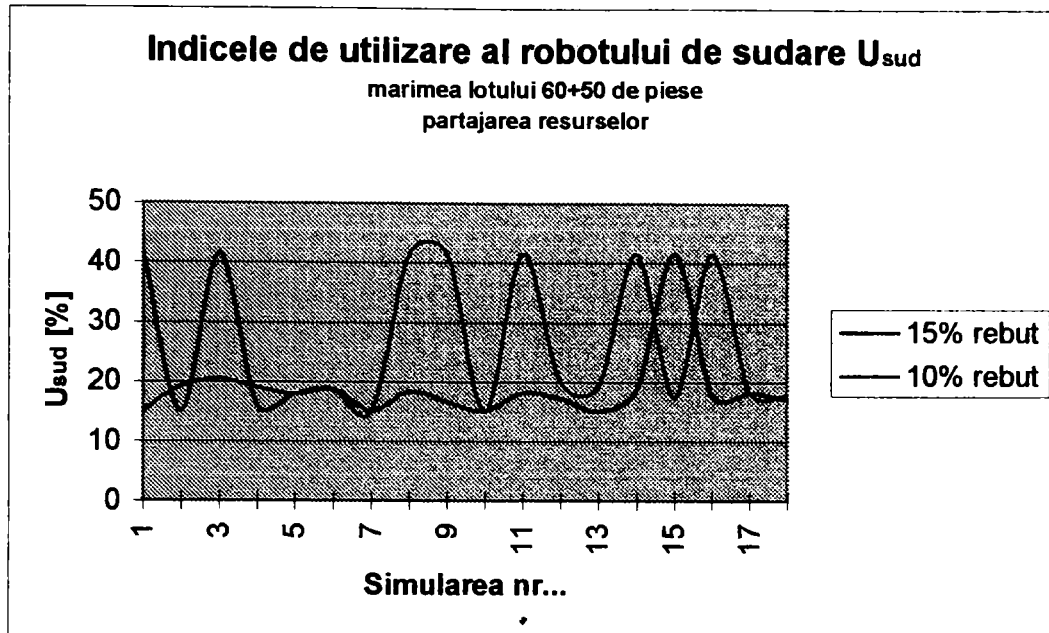
### Indicele de blocaj in ciclu $I_{bc}$

marimea lotului 30+25 de piese  
logica de transfer tehnologic

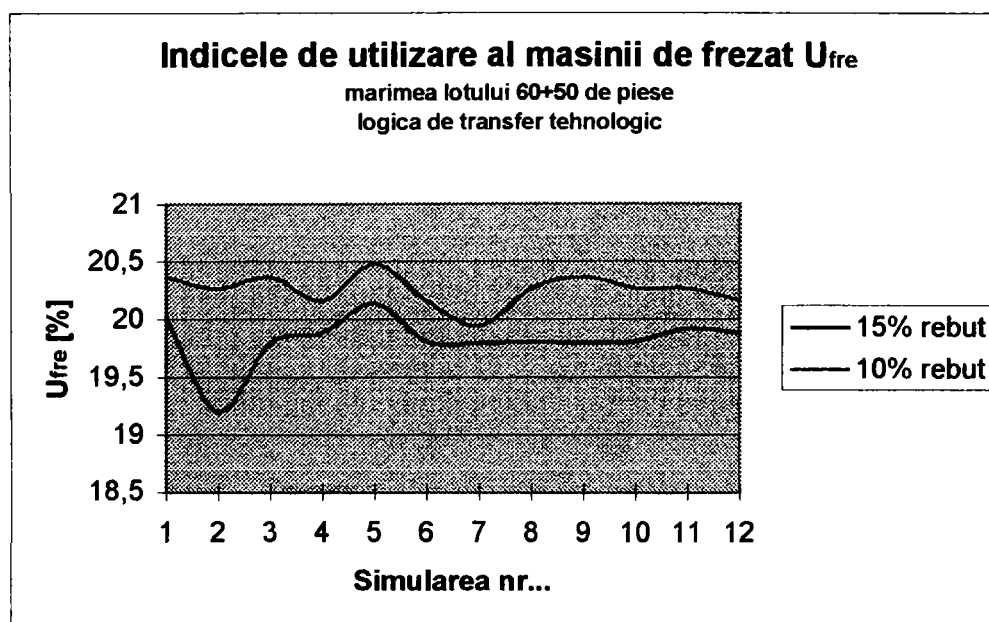
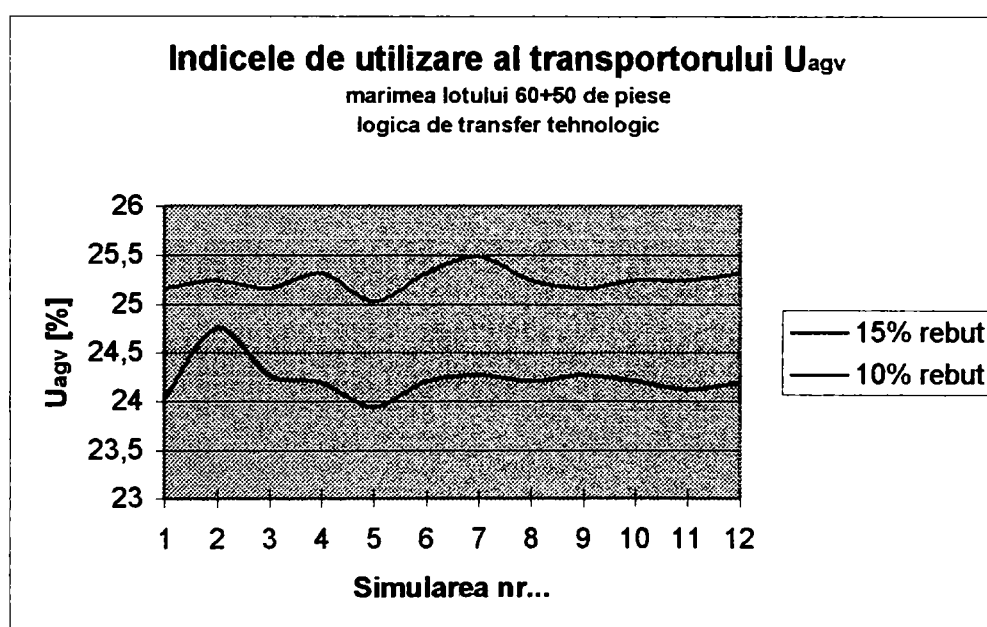
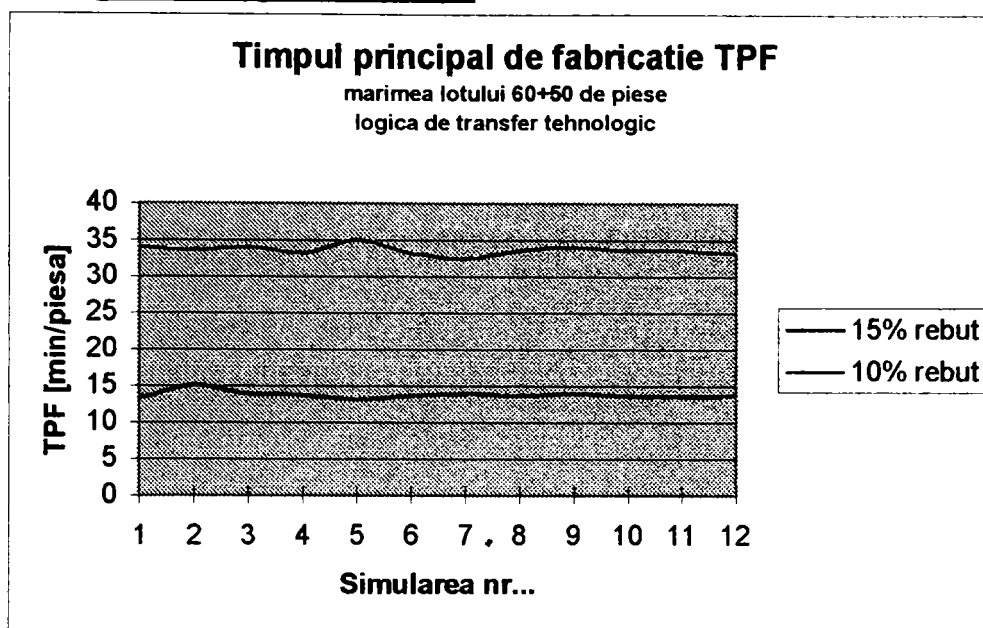


**Anexa 3-5** Diagramele de variație a indicilor de performanță pentru lotul 60+50 și logica de transfer bazată pe partajarea resurselor



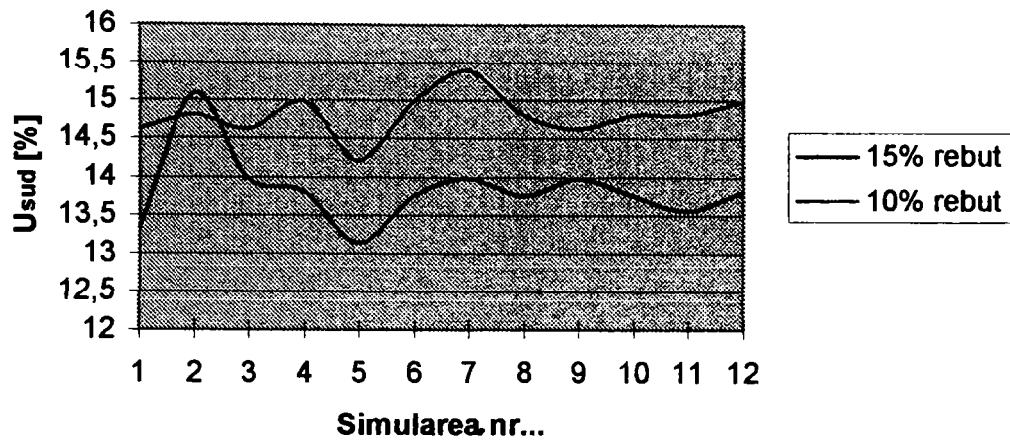


**Anexa 3-6** Diagramele de variație a indicilor de performanță pentru lotul 60+50 și logica de transfer bazată pe tehnologia de execuție



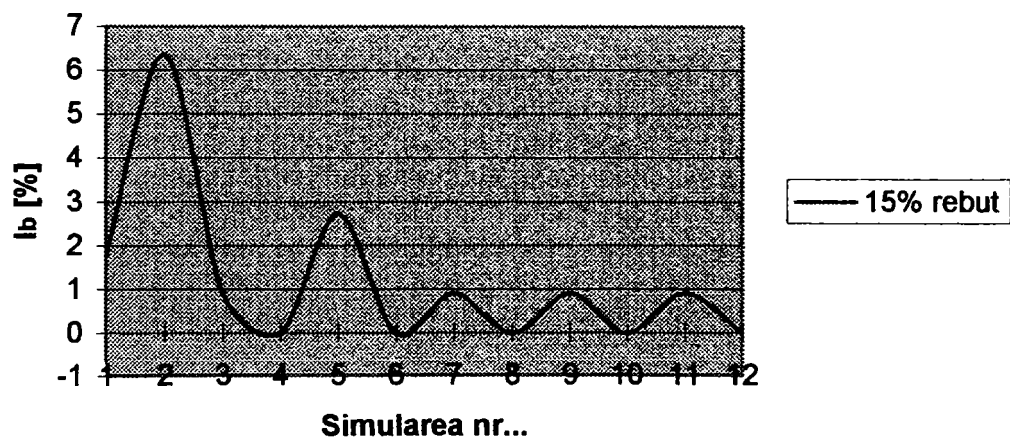
### Indicele de utilizare al robotului de sudare $U_{sud}$

marimea lotului 60+50 de piese  
logica de transfer tehnologic



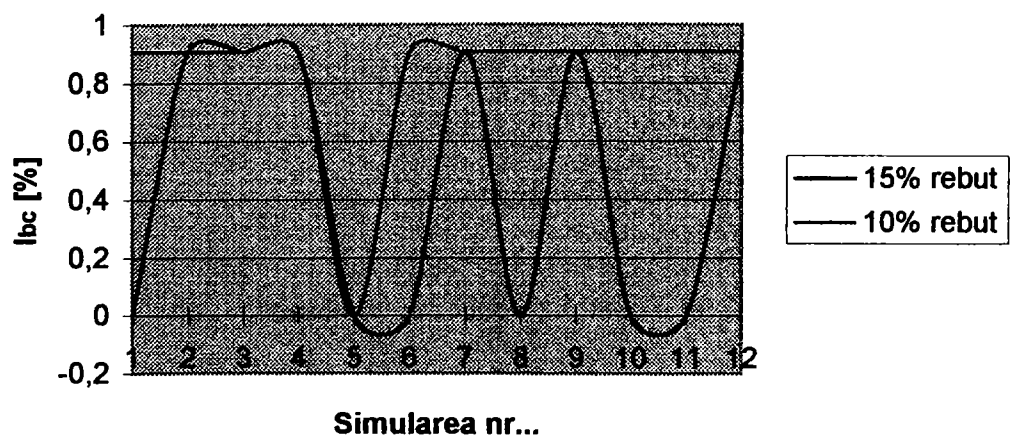
### Indicele de blocaj $I_b$

marimea lotului 60+50 de piese  
logica de transfer tehnologic

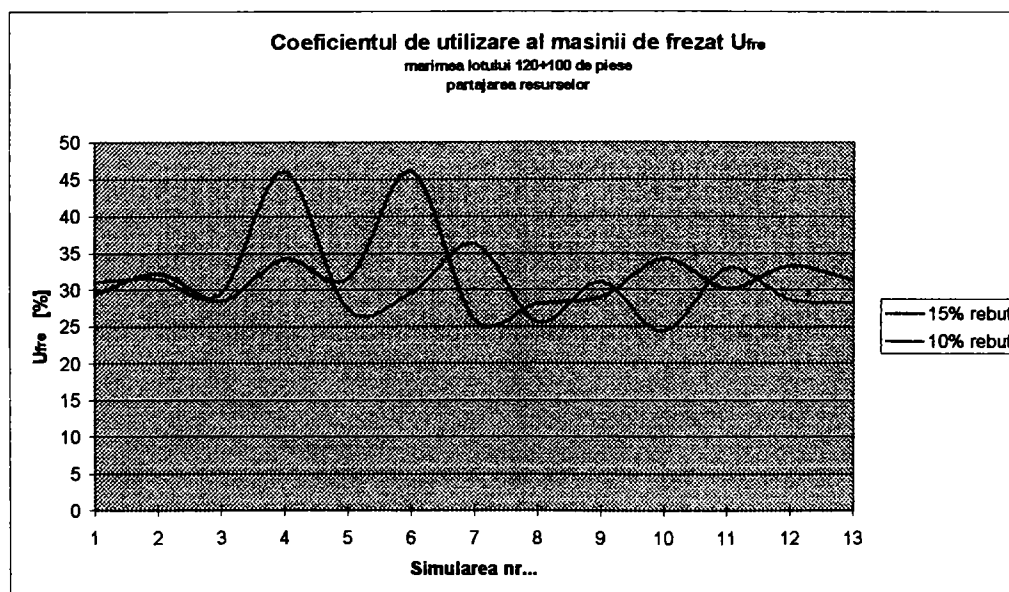
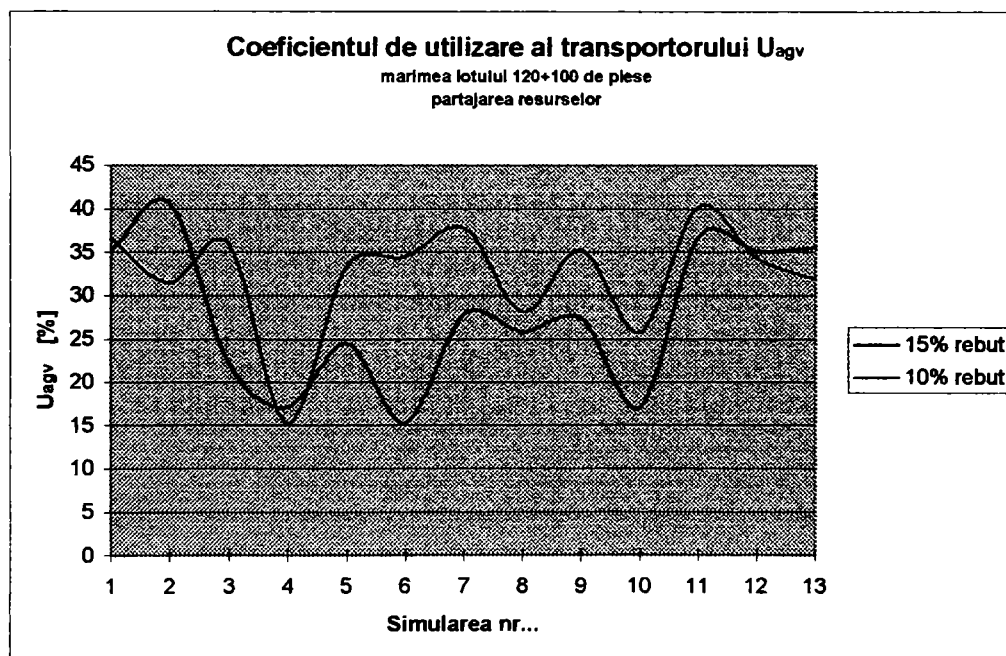
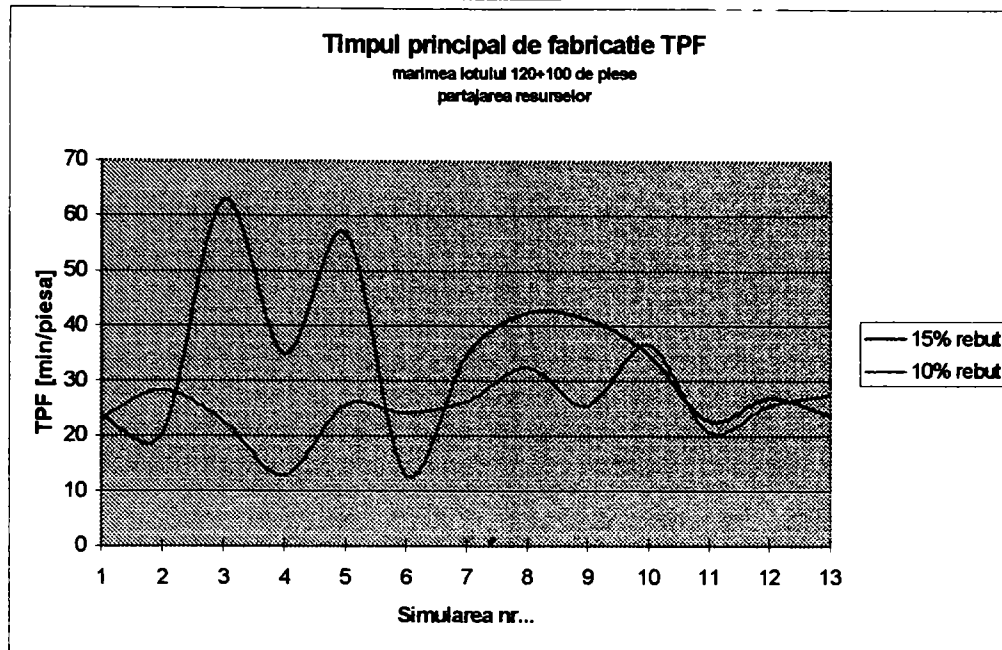


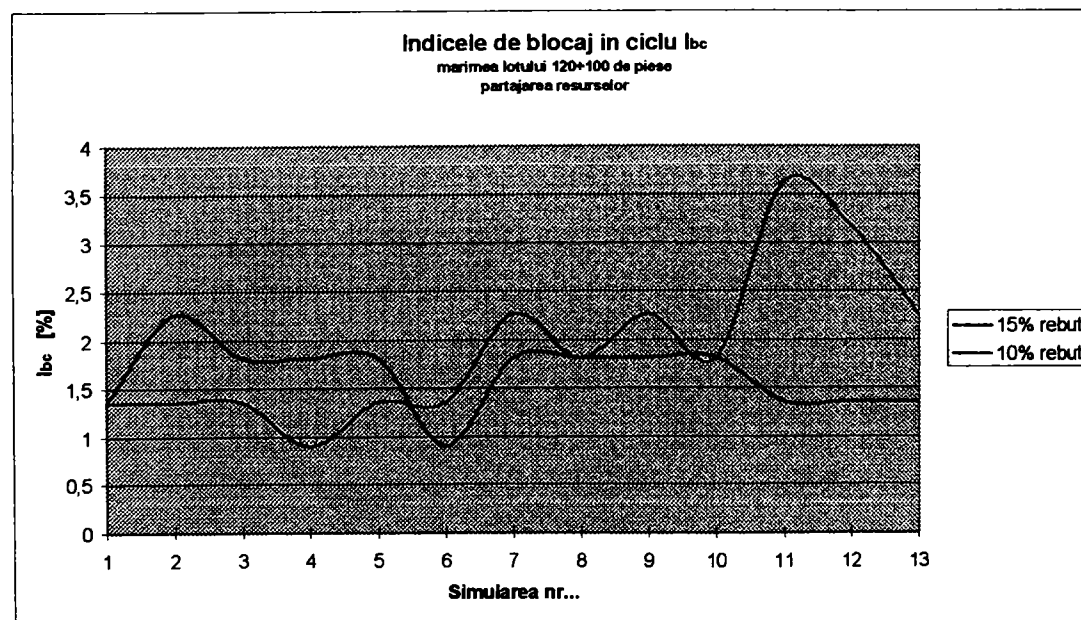
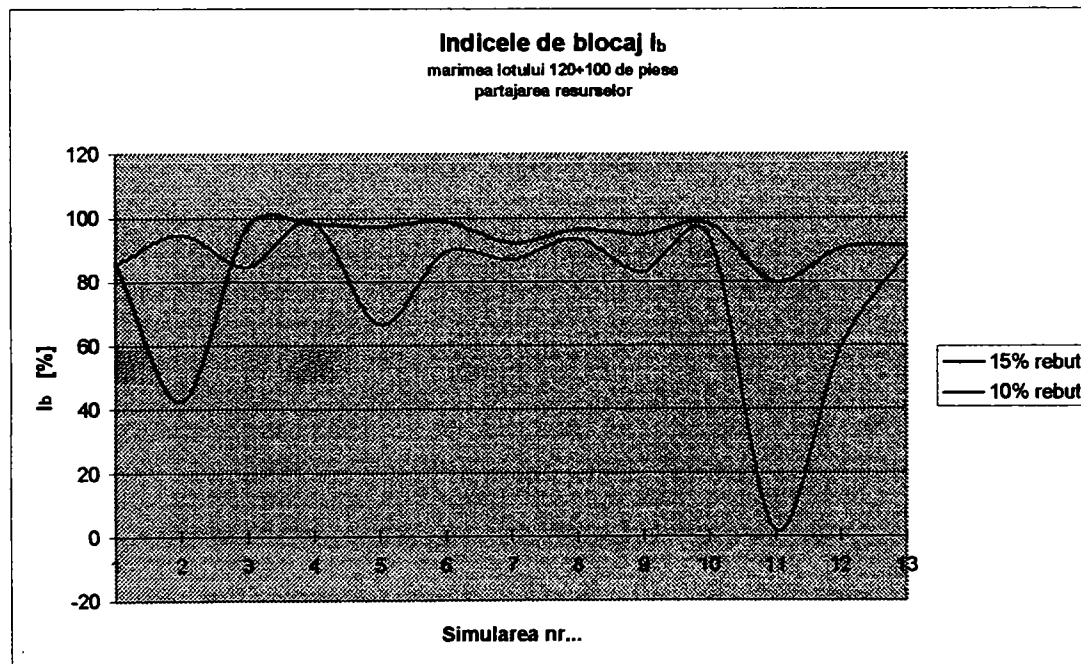
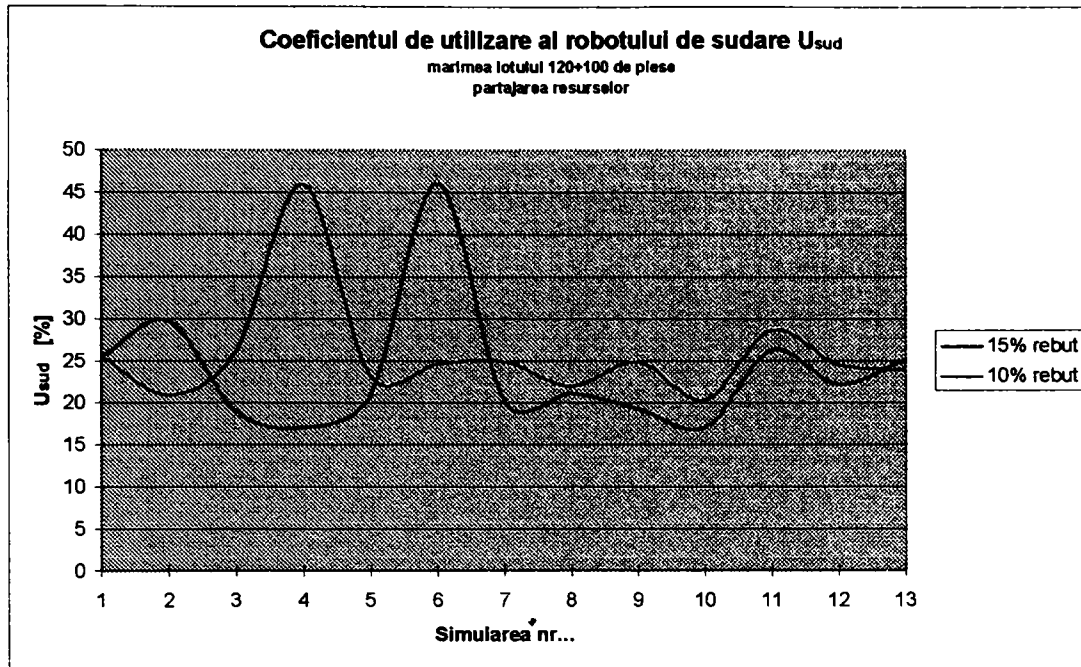
### Indicele de blocaj in ciclu $I_{bc}$

marimea lotului 60+50 de piese  
logica de transfer tehnologic

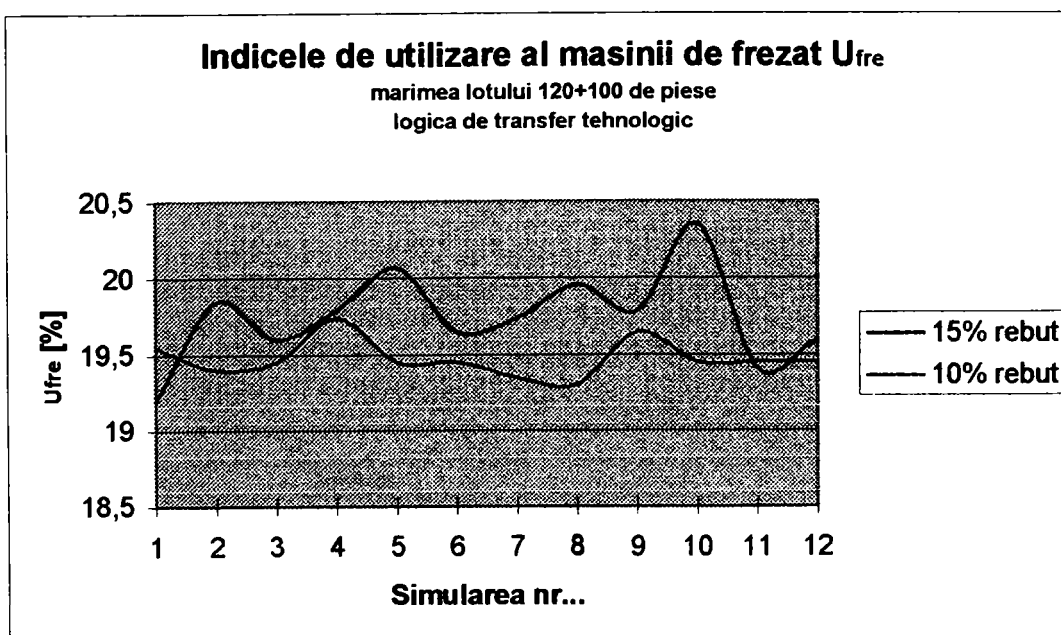
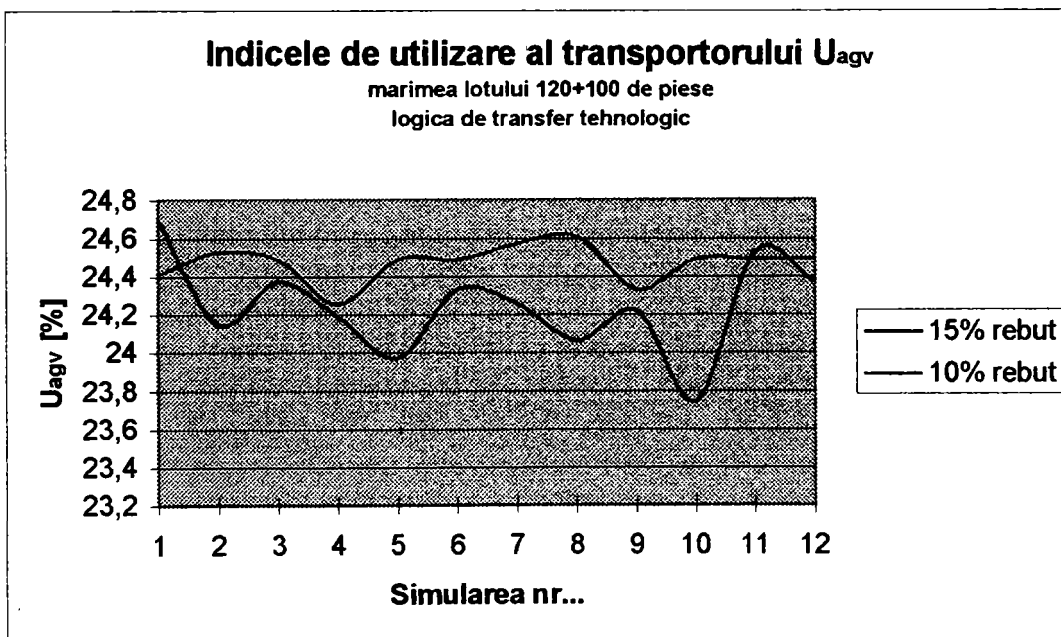
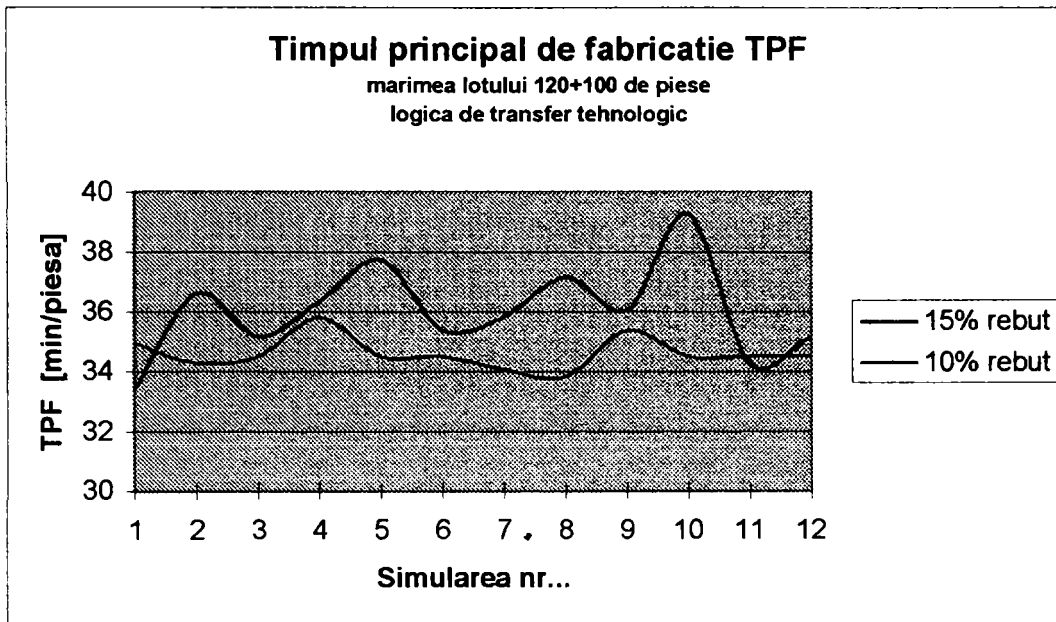


**Anexa 3-7** Diagramele de variație a indicilor de performanță pentru lotul 120+100 și logica de transfer bazată pe partajarea resurselor

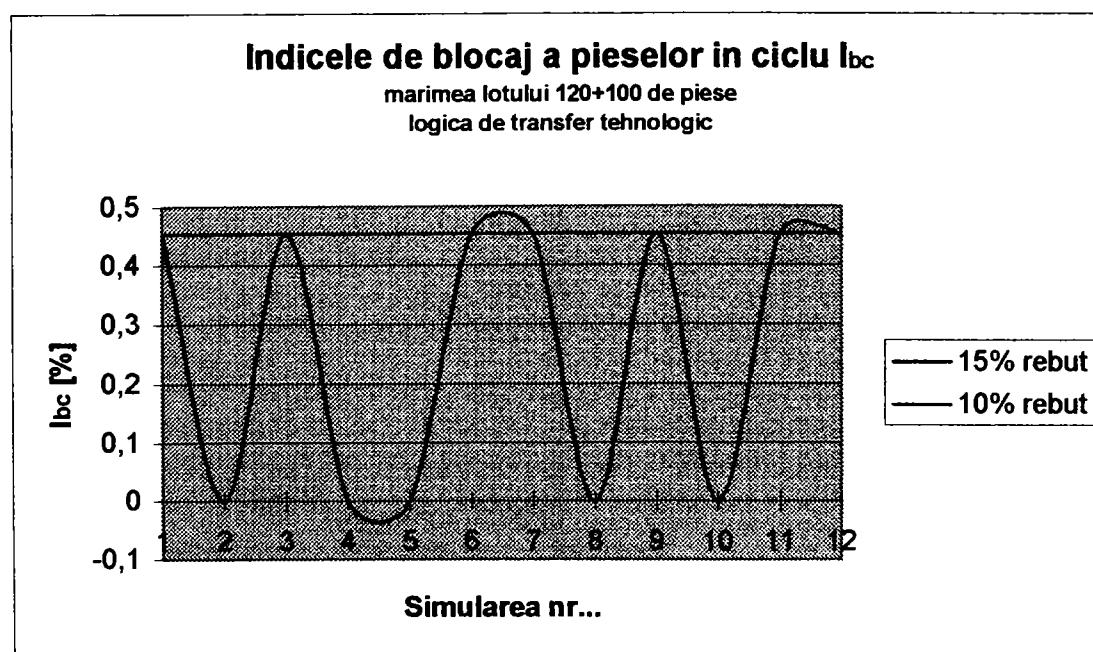
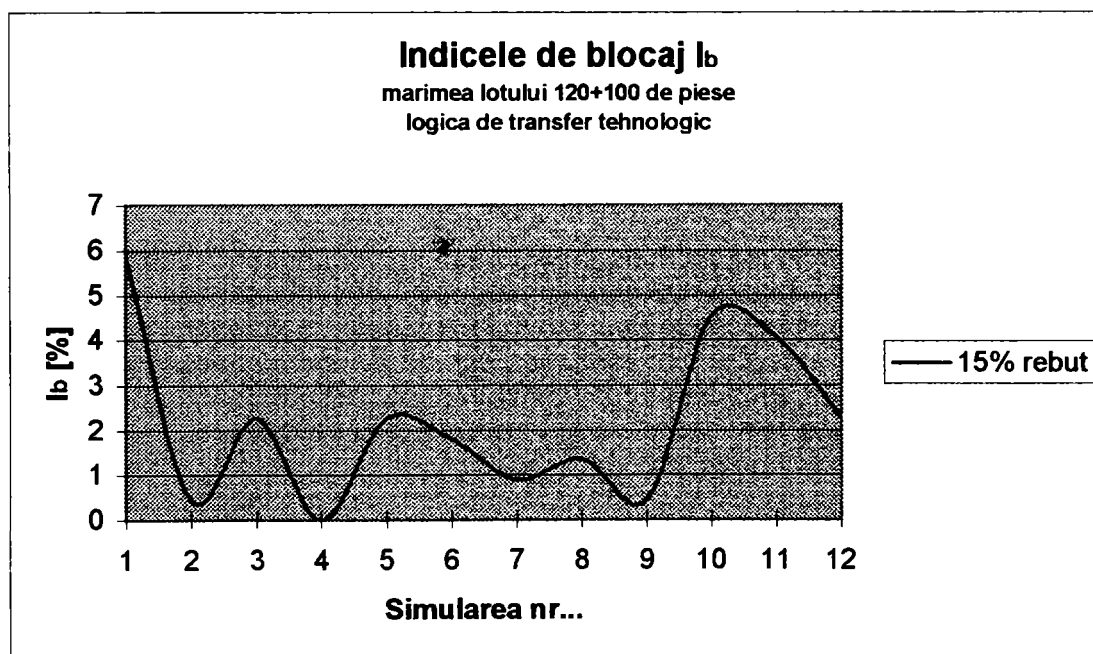
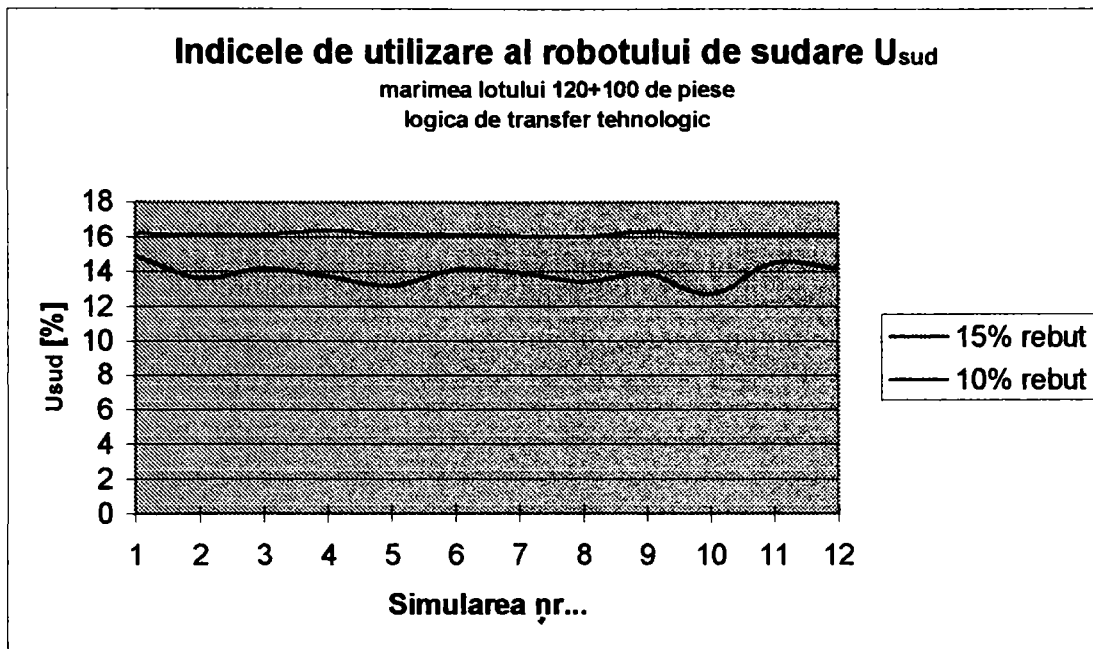




**Anexa 3-8** Diagramele de variație a indicilor de performanță pentru lotul 120+100 și logica de transfer bazată pe tehnologia de execuție







---

### 3.7. Bibliografie

1. \*\*\*, 1986, Japan - USA Symposium on Flexibel Automation.
  2. David, R., Alla, H., 1992, Petri Nets and Grafcet. Tools for Modeling Descrete Events Systems. Prentice Hall, London, New York, Toronto.
  3. Davidoviciu, A., Drăgănoiu, Gh., Moangă, A., 1986, Modelarea, simularea și comanda manipuloarelor și roboților industriali. Editura Tehnică, București.
  4. Di Mascolo, M., Frein, Y., Dallery, Y., David, R., 1990, A Unified Modeling of Kanban Systems using Petri Nets in International Journal of Flexible Manufacturing Sytems.
  5. Doo Yong Lee, Frank DiCesare, 1995, Petri Net-Based Heuristic Scheduling for Flexible Manufacturing. In "Petri Nets in Flexible and Agile Automation", Kluewer Academic Publishers, Boston , Dordrecht, London.
  6. Dreucean, M., 1996, Modeling and Simulation-Tools for Evaluation in Flexible Manufacturing Systems, Institute of Technology, Kuopio, Finland.
  7. Dreucean, M., 1996, Stadiul actual al cercetărilor și realizărilor în domeniul sistemelor de fabricație flexibilă robotizate, Referatul nr. 1, Timișoara.
  8. Dreucean, M., 1997, Modelarea fluxurilor de materiale și de informație în sisteme de fabricație flexibile, Referatul nr. 2, Timișoara.
  9. Dreucean, M., Ioanovici, Fr., jr., 1996, Mașini de lucru în procese robotizate. Editura "Politehnica", Timișoara.
  10. Jensen, K., 1992, Coloured Petri Nets. Basic Concepts, Analysis Methods and Practical Use. Volume 1, Basic Concepts. Springer-Verlag, Berlin, London, New-York, Toronto.
  11. Kovacs, Fr., Gheorghiu, N., Dreucean, M., 1989, Asupra posibilităților de robotizare a operațiilor de nituire în Industria aeronautică. Simpozion "Robot", Baia Mare, 1989.
  12. Kovacs, Fr., Grigorescu, S., Rădulescu, C., 1994, Sisteme de fabricație flexibilă robotizate, Părțile I și II, Litografia UPT, Timișoara.
  13. Picoș, C., Ailincăi, Gh., Bohosievici, C., Pruteanu, O., Coman, Gh., Braha, V., Paraschiv, D., 1974, Calculul adaosurilor de prelucrare și al regimurilor de așchiere. Editura Tehnică, București.
  14. Picoș, C., Coman, Gh., Dobre, N., Pruteanu, O., Rusu, C., Rusu, St., trufinescu, St., 1982, Normarea tehnică pentru prelucrări prin așchiere. Editura Tehnică, București.
  15. Ralston, A., 1983, Encyclopedia of Computer Science and Engineering, Second Edition. Van Nostrand Reinhold Company, New York.
  16. Shifang Li, Toshi Takamori, Satoshi Tadokoro, 1995, Scheduling and Rescheduling of AGVs for Flexible and Agile Manufacturing. In "Petri Nets in Flexible and Agile Automation", Kluewer Academic Publishers, Boston , Dordrecht, London.
  17. Silva, M., Valette, R., 1990, Petri Nets and Fexible Manufacturing. Advances in PN'89, LNCS 84, Springer-Verlag, Berlin.
  18. Takashi Sato, Kazuo Nose, 1995, Automatic Generation of Sequence Control Programs via Petri Nets and logic Tables for Industrial Applications. In "Petri Nets in Flexible and Agile Automation", Kluewer Academic Publishers, Boston , Dordrecht, London.
  19. Teicholz, E., Joel, n. Orr, 1987, Computer Integrated Manufacturing Handbook. McGraw-Hill Book Company, New-York.
  20. Viswanadham, N., Narahari, Y., 1992, Performance Modeling of Automated Manufacturing. (Prentice-Hall, Englewood Cliffs, New Jersey).
  21. Vlase, A., Sturzu, A., Neagu, C., Stanescu, C., Atanase, M., 1989. Tehnologii de prelucrare pe strunguri. Editura Tehnică, București.
  22. Widman, L., Lopato, A., Niel, R., 1989, Artificial Inteligence, Simulation and Modeling. John Wiley & Sons, New York, Chichester, Brisbane, Toronto, Singapore.
-

---

---

## 4. PROBLEME DE OPTIMIZARE A FLUXURILOR ÎN SISTEME FLEXIBILE DE FABRICAȚIE

### 4.1. Cuprins

<b>4. PROBLEME DE OPTIMIZARE A FLUXURILOR ÎN SISTEME FLEXIBILE DE FABRICAȚIE</b>	<b>157</b>
4.1. Cuprins	157
4.2. Graful de incidență al nodurilor funcționale ale unui sistem de fabricație	158
4.3. Strategia de conducere a sistemului pentru evitarea blocajelor	162
4.3.a Schema bloc a modului de conducere a sistemului în scopul evitării blocajelor	162
4.3.b Determinarea nodurilor de blocaj și a magistrelor de blocaj. Scrierea descriptorilor de noduri și arce	165
4.3.c Metodă și algoritm de selecție a rutelor de evitare a blocajelor	167
4.3.d Propunere de arhitectură de conducere a sistemului de fabricație	171
4.4. Descrierea încercărilor de conducere a echipamentului de frezare pe baza grafului de incidență	173
4.5. Anexe	176
4.6. Bibliografie	190

---

---

---

---

În capitolele anterioare au fost prezentate diverse particularități funcționale ale sistemelor de fabricație flexibilă. Așa după cum este prezentat în capitolul 1 §1.7, una din problemele de maximă importanță este *identificarea condițiilor de apariție a blocajelor și prevenirea apariției acestora*. În capitolul de față sunt prezentate încercările teoretice ale autorului îndreptate în această direcție, precum și descrierea aplicației practice prin care s-a pus în evidență viabilitatea soluției propuse. Programele elaborate se bazează pe datele obținute în urma simulării funcționării sistemului cu rețele Petri iar *algoritmul de conducere a sistemului în vederea evitării blocajelor* precum și programele “C” scrise în acest scop sunt originale.

La baza acestor încercări de conducere a sistemului pentru evitarea blocajelor stau observațiile legate de cauzele care produc în general blocaje într-un sistem de fabricație așa cum au fost ele definite teoretic în capitolele anterioare și așa cum au rezultat în urma analizei cu rețele Petri din capitolul anterior. Pe baza acestor concluzii s-a trecut la formularea unei *strategii de detectare a nodurilor de blocaj* din sistem, înțelegând printr-un “nod” o anumită stare stabilă. În final, cu ajutorul unor programe scrise în C, s-a reușit conducerea sistemului astfel încât **să fie evitate nodurile de blocaj, adică acele stări ale sistemului care nu mai au nici un succes, deci care nu oferă nici o perspectivă ca sistemul să mai funcționeze.**

#### 4.2. Graful de incidență al nodurilor funcționale ale unui sistem de fabricație

Modelul cu rețele Petri construit pentru sistemul de fabricație prezentat în capitolul anterior permite trasarea unui *graf de incidență* corespunzător tuturor nodurilor funcționale ale sistemului. Acesta se regăsește în teoria generală a rețelelor Petri sub denumirea de “Occurrence Graph”. Determinarea acestui graf poate fi făcută cu ajutorul meniurilor mediului grafic în care este rulată simularea sau cu ajutorul unor secvențe de cod asociate unor tranziții ale modelului.

Fiecare nod din graful astfel obținut va reprezenta o anumită stare a sistemului. Prin afișarea *descriptorului de nod* se poate vedea conținutul real de jetoane din fiecare poziție din model. În Figura 4.2-1 este redat un astfel de fișier text corespunzător nodului 240 al grafului de incidență. Comparând acest fișier cu diagramele prezentate în anexele capitolului anterior se observă că apar toate pozițiile din paginile diagramei, fără excepție. De asemenea se poate observa că toate nodurile au un descriptor care respectă aceeași structură, lucru important pentru procedeele de analiză ulterioară a acestora.

---

---

Trecerea de la un nod la altul în evoluția reală a sistemului este dirijată de arcele de legătură dintre noduri. Fiecare arc asigură legătura dintre un nod de origine și unul dintre succesorii lui, astfel încât rețeaua de noduri care formează graful de incidență se dezvoltă din

```

240
depozit1'Depozit1 1: 2`("Ansamblu",0,0,0,0)@[49,59]
depozit1'Robot1 1: 1`disp@[69]
depozit1'CntrR1 1: 1`10
depozit1'CtrlPs 1: 1`Frezare
depozit1'AGV 1: 1`("",0,0,0,0)@[69]
depozit2'AGV 1: 1`("",0,0,0,0)@[69]
depozit2'Dep2 1: 1`("Rebut",0,0,0,0)@[69]
depozit2'Robot1 1: 1`disp@[69]
depozit2'CntrR1 1: 1`10
depozit2'CtrlPs 1: 1`Frezare
conveior'Conv 1: 1`("Flansa2",0,0,,0,4)@[0]
conveior'AGV 1: 1`("",0,0,0,0)@[69]
conveior'Robot1 1: 1`disp@[69]
conveior'CntrR1 1: 1`10
conveior'CtrlPs 1: 1`Frezare
sudare'AGV 1: 1`("",0,0,0,0)@[69]
sudare'InCloos 1: tempty
sudare'OpUman 1: 1`disp@[56]
sudare'OutCloos 1: tempty
sudare'AGV1 1: 1`("",0,0,0,0)@[69]
sudare'CntrOp 1: 1`5
sudare'CtrlPs 1: 1`Frezare
frezare'InMF 1: tempty
frezare'Robot2 1: 1`disp@[72]
frezare'outMF 1: tempty
frezare'InMas 1: 1`("Flansa1",0,2,3,4)@[72]
frezare'CntrR2 1: 1`13
frezare'CntrFr 1: 1`5
frezare'Control 1: 1`Frezare
frezare'AGV 1: 1`("",0,0,0,0)@[69]
masurare'Robot2 1: 1`disp@[72]
masurare'OutMas 1: tempty
masurare'AGV 1: 1`("",0,0,0,0)@[69]
masurare'Robot3 1: 1`disp@[67]
masurare'InAsmb 1: 1`("Flansa1",0,0,3,4)@[67]
masurare'InMas 1: 1`("Flansa1",0,2,3,4)@[72]
masurare'CntrR2 1: 1`13
masurare'NrMas 1: 1`4
masurare'CtrlPs 1: 1`Frezare
asamblare'Robot2 1: 1`disp@[72]
asamblare'AGV 1: 1`("",0,0,0,0)@[69]
asamblare'InAsmb 1: 1`("Flansa1",0,0,3,4)@[67]
asamblare'CntrR2 1: 1`13
asamblare'CtrlPs 1: 1`Frezare

```

**Figura 4.2-1**

asociate fiecărui arc al diagramei. Declanșarea unei tranziții va schimba starea sistemului prin modificarea conținutului de jetoane ale unora dintre pozițiile din diagramă. Se ajunge astfel la o nouă stare, care satisface condițiile de declanșare ale altor tranziții și așa mai departe. Descriptorul asociat unui arc conține toate informațiile referitoare la tranziția a cărei

aproape în aproape până la epuizarea tuturor stărilor posibile. Unele dintre noduri nu mai au însă nici un succesori, astfel încât sistemul odată ajuns în această stare nu mai are nici o posibilitate de dezvoltare ulterioară. Se spune că s-a ajuns în acest moment într-o *stare de blocaj* a cărei cauză poate fi oricare dintre cele prezentate în capitolul 1. Un fragment din graful de incidență al modelului utilizat este redat în Figura 4.2-2 Trecerea de la un nod la altul se face prin declanșarea unor tranziții

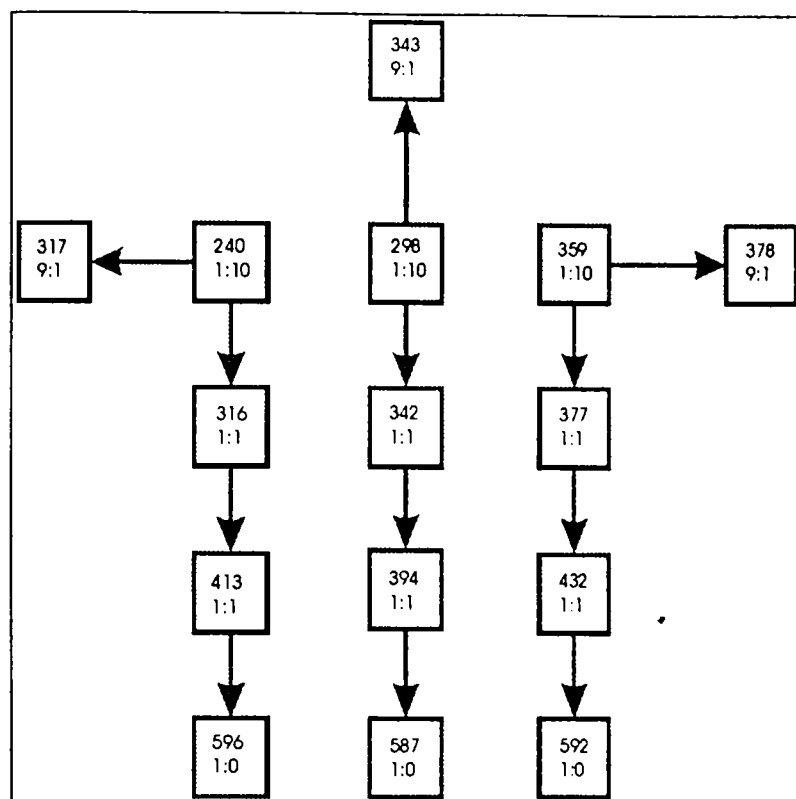


Figura 4.2-2

declanșare va determina modificarea stării sistemului dintr-un nod în altul. Figura 4.2-3 redă un astfel de descriptor.

Se poate observa în figura menționată mai sus faptul că pe prima linie a descriptorului apare numărul arcului precum și numărul nodului de start și a celui de sfârșit. Tranziția 748 a cărei declanșare va determina schimbarea de stare a sistemului din nodul 378 în nodul 433 are denumirea "TriAGV" și va modifica "conținutul" de jetoane

al pozițiilor din pagina "conveior" a diagramei. Condițiile de validare ale tranziției sunt prezentate între cele două acolade. Prin compararea descriptorilor de nod pentru nodul de intrare și cel de ieșire se pot determina modificările care se produc în distribuția jetoanelor din sistem în urma declanșării tranziției.

```
748:378->433
conveior'TriAGV 1:
{piesa="Flansa2",nr4=4,nr3=0,nr2=0,nr1=0,i=11,contr=1`Masurare,R1=disp}
```

Figura 4.2-3

Lucrul cel mai important legat de aceste grafuri de incidență îl constituie faptul că materializează o anumită logică de rutare, implementată la nivelul diagramei modelului prin intermediul inscripțiilor de pe arce și al condițiilor de gardă ale tranzițiilor. Se poate astfel urmări foarte ușor efectul pe care îl are modificarea unor condiții logice asupra dezvoltării rețelei de noduri sau asupra densității nodurilor de blocaj. Coroborând concluziile extrase din analiza grafului de incidență cu aspectul rețelei și condițiile logice impuse, se poate ajunge la o configurație a rețelei din ce în ce mai bună, mai apropiată de un optim al traseelor de rutare.

Pentru a sintetiza observațiile făcute în legătură cu aspectul unui graf de incidență și cu informațiile foarte detaliate pe care acesta le pune la dispoziția utilizatorilor, în Figura 4.2-1 a fost redată o pagină completă a modelului utilizat în care a fost dezvoltată o structură parțială a grafului de incidență. Se poate observa și un descriptor de nod și unul de arc.

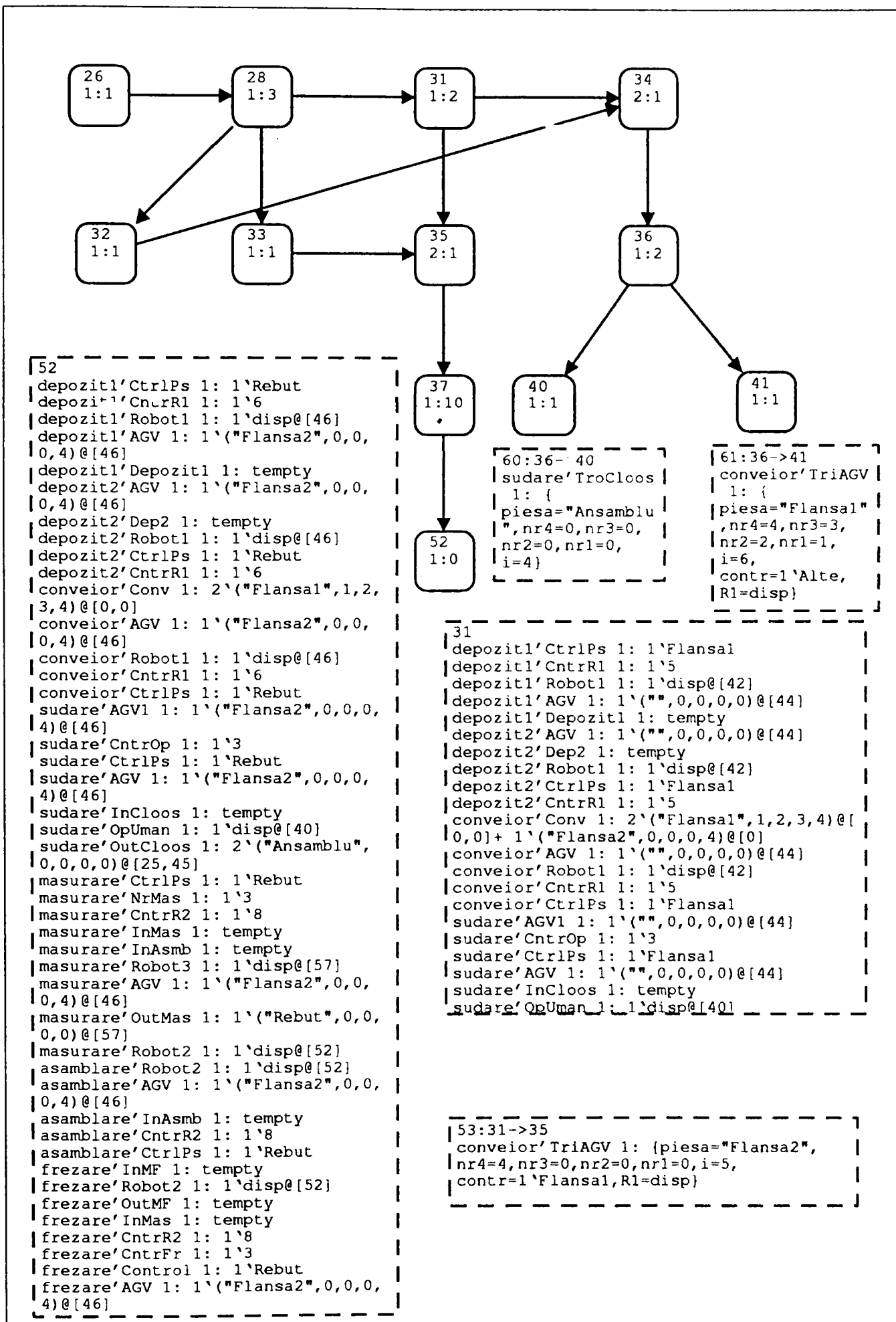


Figura 4.2-4

---

---

Graful de incidență furnizează foarte multe informații despre starea sistemului la un moment dat cât și despre o serie de particularități de comportament ale acestuia în funcționare. De exemplu se poate observa că nodul “52” este un nod de blocaj pentru că el nu mai are nici un succesor. Inscripția de pe acest nod este “1:0” ceea ce înseamnă că el are un predecesor și nici un succesor. Din medalionul care conține descriptorul de nod asociat nodului “52” poate fi identificată și cauza blocajului. Astfel, se poate observa că pe una din liniile corespunzătoare paginii “măsurare” apare o poziție “CtrlPs” (denumirea prescurtată provine de la “control piesă”) al cărei conținut este “1`Rebut”. În mod normal această piesă ar trebui să fie transferată în depozitul “D2” de către sistemul de transfer AGV. Dacă se verifică însă conținutul dispozitivului de transfer, (poziția “AGV” de pe oricare pagină), se observă că acesta este ocupat cu o piesă de tip “Flansă2”, deci el nu poate prelua piesa rebut pentru transferul ei în depozit. De asemenea nu există nici o altă variantă de transfer a piesei “Flansa2” pentru că aceasta ar trebui să se asambleze pe dispozitivul de transfer cu o piesă de tip “Falnsa1”. În felul acesta practic sistemul nu mai are nici o posibilitate de evoluție fiind blocat. Pentru a evita acest blocaj ar fi util ca din nodul “31” sistemul să nu mai fie lăsat să evolueze pe direcția “35-57-52” ci să fie dirijat spre nodul “34” de unde are alte posibilități de continuare care nu duc la blocaj.

### 4.3. Strategia de conducere a sistemului pentru evitarea blocajelor

În acest paragraf vor fi prezentate încercările autorului de a configura un sistem de conducere a sistemului de fabricație care să ducă în final la eliminarea completă a blocajelor în timpul funcționării. Aceasta constituie de fapt esența procesului de optimizare a fluxurilor de materiale. Ideea de bază a acestuia constă în identificarea “a priori” a nodurilor de blocaj pe baza grafului de incidență și conducerea ulterioară a sistemului astfel încât să nu treacă niciodată prin ele.

#### 4.3.a Schema bloc a modului de conducere a sistemului în scopul evitării blocajelor

Graful de incidență care stă la baza procedurii de evitare a blocajelor care va fi descris în continuare are avantajul principal că redă toate stările sistemului, indiferent de logica de transfer care a fost implementată la nivelul modelului. Oricare din stările posibile în care se poate afla sistemul vor apare în lista de noduri. Unele dintre noduri constituie după cum s-a văzut adevărate “macaze” pentru evoluția sistemului. Angajarea sistemului pe una din

---

---



căile de evoluție posibile în momentul atingerii unui astfel de “macaz” se face aleator în cadrul simulării. În realitate lucrurile se prezintă altfel, deoarece există întotdeauna factori obiectivi sau subiectivi care să determine o anumită opțiune din cele posibile. Totuși, nimic nu poate anticipa angajarea sistemului pe unul din traseele care se termină cu un nod de blocaj. De aceea s-a elaborat procedeul care urmează pentru depistarea din timp a nodurilor de blocaj și evitarea acestor stări în evoluția sistemului. Esența procedurii de conducere a sistemului pentru evitarea blocajelor este redată în figura următoare.

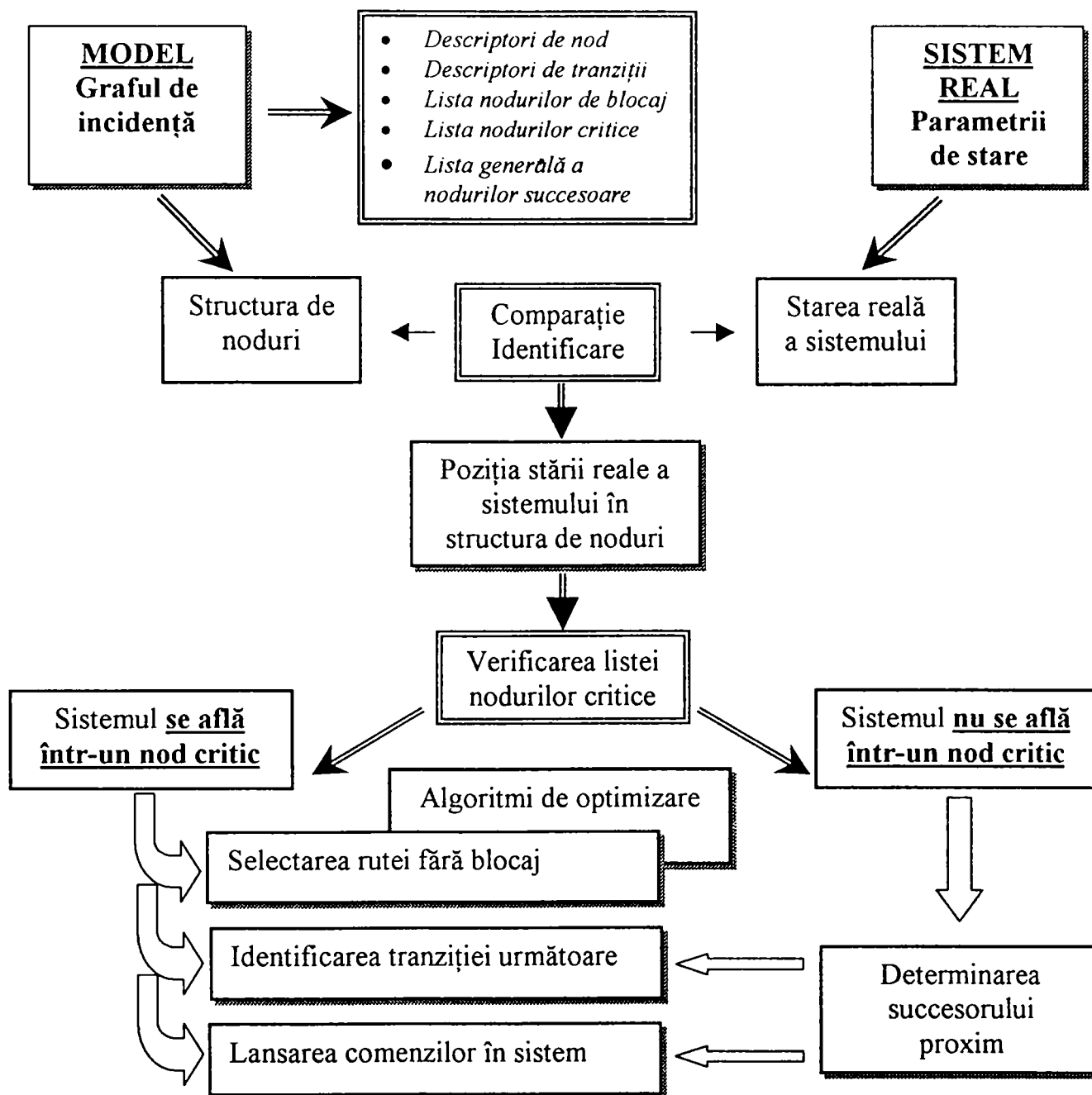


Figura 4.3-1

Pe baza schemei din Figura 4.3-1 se pot face câteva comentarii în legătură cu modalitatea concretă în care operează sistemul de conducere bazat pe evitarea blocajelor. La originea acestui sistem stă *graful de incidență*, despre care s-a vorbit în paragraful 4.2. Acest graf este prelucrat cu un sistem de funcții client care să permită scrierea unor fișiere ce vor sta

---

---

la baza dezvoltărilor ulterioare. Se scriu astfel *descriptorii de nod* ai tuturor nodurilor din sistem, care conțin stările momentane ale sistemului prin care acesta poate trece la diverse momente de timp. De asemenea se vor scrie fișierele text care conțin *descriptorii arcelor* din graful de incidență, de unde se pot extrage informații în legătură cu tranzițiile care sunt asociate fiecărui arc și care vor duce la modificarea stării sistemului dintr-un nod în altul. În continuare, tot pe baza grafului de incidență, se va scrie *lista nodurilor de blocaj*, despre care se va vorbi mai pe larg în paragraful următor. *Nodurile critice* care se determină de asemenea pe baza grafului de incidență vor fi scrise într-o listă cu ajutorul căreia vor putea fi identificate ulterior rutele periculoase pentru evoluția sistemului, așa-zisele “*magistrale de blocaj*”. În fine, se va determina *lista tuturor succesorilor a arcelor și a tranzițiilor* fiecărui nod din graful de incidență, necesară determinării posibilităților de evoluție ulterioară a sistemului.

Alături de datele extrase din graful de incidență se află și *valorile determinate din sistemul real*, pe baza unei rețele de senzori și traductori. Aceste date sunt furnizate sistemului central de conducere de către sistemele locale de control care supraveghează diversele zone de lucru din sistemul real, așa cum se va prezenta în paragrafele următoare. Pe baza acestor informații se poate constitui o *imagine normalizată a stării sistemului*, care să poată fi comparată cu imaginile similare construite pe baza fișierelor cu descriptori de noduri și să permită astfel identificarea uneia din stările din graful de incidență cu stare momentană reală a sistemului. Rezultă astfel numărul nodului în care se găsește sistemul, conform numerotației din graful de incidență.

După identificare poziției sistemului în rețeaua de noduri a grafului de incidență se poate trece la *verificarea listei nodurilor critice*, pentru a vedea dacă sistemul este sau nu într-un astfel de nod. Dacă se constată că sistemul nu este într-un nod critic, se va determina succesorul proxim, adică acel nod din lista de succesori care are eticheta de timp cu valoare minimă. Această determinare permite imediat aflarea tranziției următoare și activarea prin intermediul lanțului informațional a controlerului local responsabil cu declanșarea acesteia. Se ajunge astfel la *execuția unor comenzi în sistemul real*, pornind de la datele extrase în urma simulării. Dacă se constată că sistemul este într-un nod critic, se pune problema alegerii uneia din rutele posibile astfel încât să nu se ajungă pe o “*magistrală de blocaj*” de unde sistemul nu mai poate evita apariția blocajului după un anumit număr de pași.

În faza alegerii rutei se poate interveni cu diverși algoritmi de optimizare, așa cum se va prezenta în paragrafele următoare. Programul de conducere a sistemului va oferi operatorului de sistem posibilitatea de a alege una din rutele posibile, eliminând automat rutele de blocaj. Figura ce urmează (Figura 4.3-2) reprezintă modul de organizare a sistemului

---

---

de conducere pentru preluarea datelor din sistemul real și compararea lor cu datele obținute prin simulare.

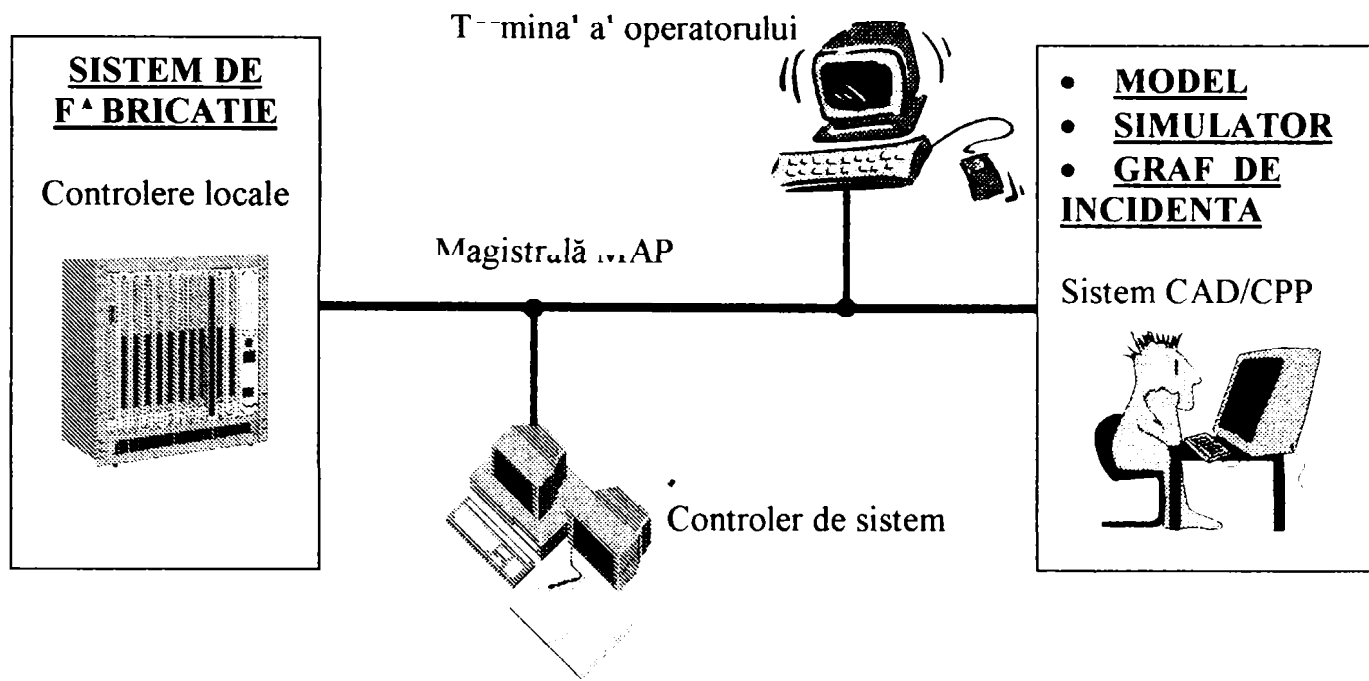


Figura 4.3-2

Simularea pe baza unui model elaborat se desfășoară la nivelul sistemului CAD/CPP pe calculatoare care rulează de obicei un sistem de operare UNIX. Controlerul de sistem este echipamentul la nivelul căruia se va face compararea rezultatelor obținute din simulare cu cele determinate pe baza sistemului real. Rezultatele acestor comparații sunt transferate către un terminal, la nivelul căruia se vor lua deciziile în legătură cu rutele de urmat. În fine, pe baza acestor decizii se va putea transmite un ordin de lucru în sistemul real, către una din zonele de lucru deservite de un controler local.

#### 4.3.b Determinarea nodurilor de blocaj și a magistralelor de blocaj. Scrierea descriptorilor de noduri și arce

În cadrul modelului folosit pentru analiza sistemului a fost concepută o pagină specială destinată scrierii funcțiilor client pentru determinarea unor noduri cu proprietăți speciale în sistem. Acestea sunt *nodurile de blocaj*, care nu mai au succesori, aflându-se la capătul unor ramuri de evoluție a sistemului. Au fost utilizate două categorii de astfel de noduri de blocaj:

- *noduri de blocaj real*, datorat unor condiții speciale în care se află sistemul și care nu mai permit funcționarea lui ulterioară;

- *noduri de blocaj fictiv*, datorat epuizării lotului de piese.

În analiza comportamentului sistemului sunt importante doar nodurile de blocaj real, deoarece blocajele care apar prin epuizarea lotului de piese sunt firești. În consecință a fost elaborat un algoritm (vezi Figura 4.3-3) și un set de funcții care să permită determinarea acestora și scrierea listei lor într-un fișier text, care să poată în continuare să fie folosit pentru luarea unor decizii în legătură cu evoluția ulterioară a sistemului.

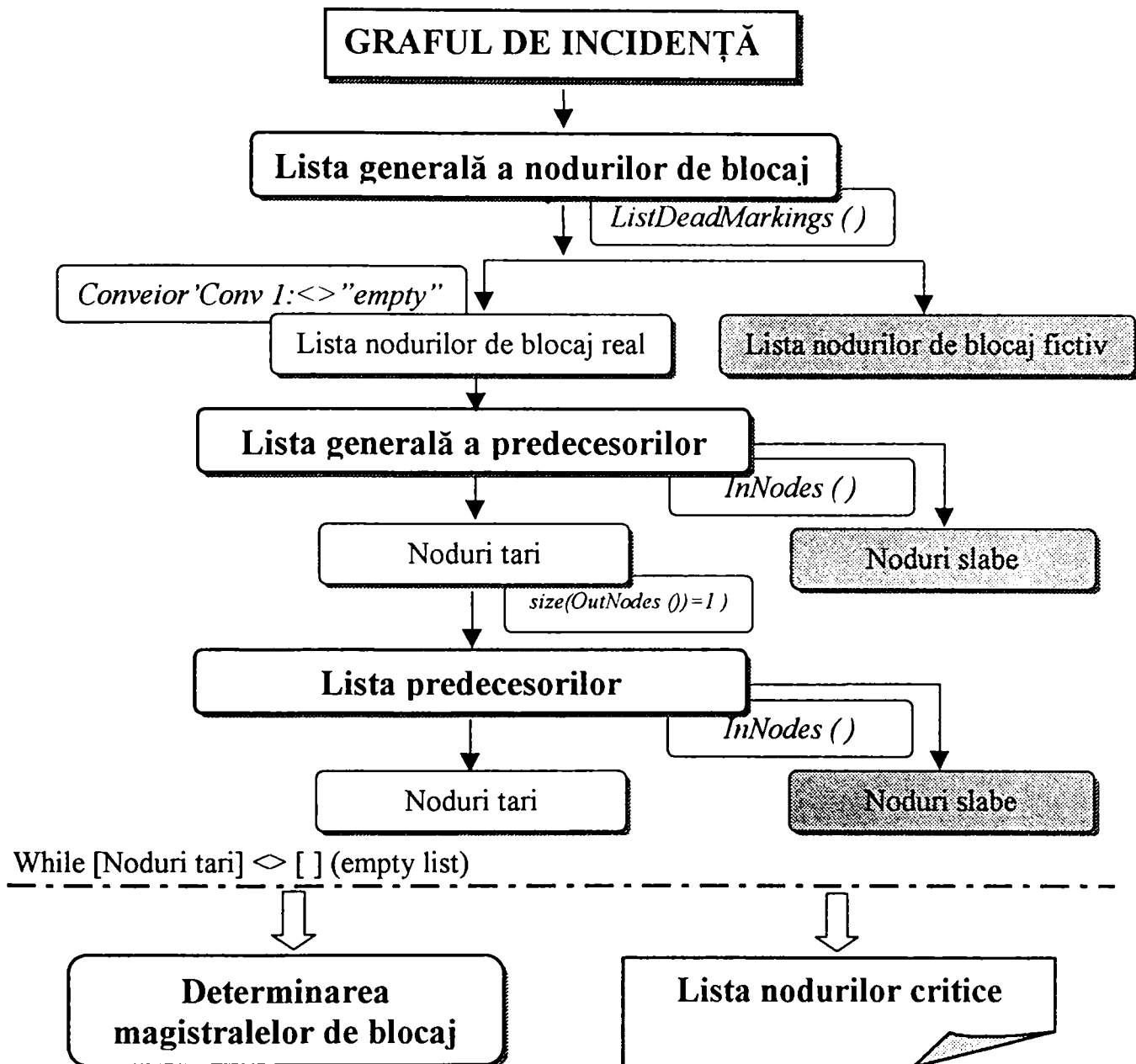


Figura 4.3-3

Algoritmul de evitare a blocajelor se bazează pe ideea de a depista succesiunile de noduri care duc în mod inevitabil la blocaj, fără nici o șansă pentru sistem de a alege o altă cale de evoluție. Aceste succesiuni de noduri au fost denumite "*magistrale de blocaj*". Evident că orice magistrală de blocaj se va termina într-unul din nodurile aflate în lista nodurilor de blocaj. Toate nodurile aflate pe o magistrală de blocaj au proprietatea comună că

---

---

prezintă un singur succesor. Aceste noduri au fost denumite ”*noduri tari*”, spre deosebire de celelalte noduri care pot apare ca predecesori ai nodurilor de blocaj și care au mai mulți succesori, fiind denumite ”*noduri slabe*”. Funcțiile complete pentru determinarea nodurilor slabe și tari precum și a magistralelor de blocaj sunt prezentate în Anexa 4-1 și Anexa 4-2 la prezentul capitol. De asemenea au fost prezentate funcțiile pentru determinarea listei de succesori ai nodurilor, în Anexa 4-3, precum și programul de determinare a listei de succesori, arce și tranziții în Anexa 4-4.

*Lista nodurilor critice* care apar în figura de mai sus cuprinde toate nodurile care se află la originea unor magistrale de blocaj, sau, altfel spus, toate nodurile care se situează pe poziția de predecesor a primului nod dintr-o magistrală de blocaj (de exemplu nodurile 240, 298 și 359 din Figura 4.2-2, care sunt predecesorii nodurilor 316, 342 și respectiv 377 din cadrul celor trei magistrale de blocaj prezentate). Aceste noduri critice se bucură de proprietatea că sistemul odată ajuns în această poziție poate urma și alte căi de dezvoltare, existând cel puțin o a doua variantă diferită de magistrala de blocaj. Nodurile critice vor fi cele care, într-o primă formă de optimizare, vor fi luate în considerare în cadrul algoritmului de conducere a sistemului de fabricație. **Metoda originală de conducere a sistemului real pe baza simulării constituie contribuția autorului la optimizarea fluxului de informații.**

#### 4.3.c Metodă și algoritm de selecție a rutelor de evitare a blocajelor

Pentru conducerea sistemului de fabricație pe baza rezultatelor simulării a fost conceput un program original, scris în limbajul C și care a fost compilat pentru sistemul de operare Linux. Acest program implementează algoritmul prezentat în Figura 4.3-1.

Principala problemă de rezolvat pentru programul de conducere a fost de a găsi un format comun de prezentare atât a datelor din descriptorii de noduri cât și a celor din sistemul real, astfel încât acestea să poată fi comparate ulterior. În această fază au fost avute în vedere două variante:

- folosirea formelor matriciale de tipul celor definite în cadrul capitolului întâi;
- definirea unei structuri în C.

Deoarece tipurile de date cu care trebuie operat sunt eterogene (date numerice și șiruri de caractere), s-a optat pentru a doua variantă, care prezintă și unele avantaje din punct de vedere al scrierii programului. Analizând structura unui descriptor de nod, s-au identificat un număr de parametri care vor defini în mod univoc starea sistemului și care vor fi incluși în structura C. Este evident faptul că nu toți parametrii dintr-un descriptor de nod vor face parte

---

---

din această structură. Corespondența dintre denumirile parametrilor din descriptorul de nod și variabilele structurii, precum și tipul acestor variabile sunt prezentate în Tabelul 4.3-1.

Tabelul 4.3-1

Numele variabilei	Poziția din model	Pagina din model	Tipul de variabilă	Observații
Dep1	Depozit1	depozit1	Int	Variabilă locală
Dep2	Dep2	depozit2	Int	Variabilă locală
Flansa1	Conv 1	conveior	Int	Variabilă locală
Flansa2	Conv 1	conveior	Int	Variabilă locală
InCloos	InCloos	sudare	Int	Variabilă locală
OutCloos	OutCloos	sudare	Int	Variabilă locală
InMF	InMF	frezare	Int	Variabilă locală
OutMF	outMF	frezare	Int	Variabilă locală
InMas	InMas	frezare	Int	Variabilă locală
OutMas	OutMas	măsurare	Int	Variabilă locală
InAsmb	InAsmb	măsurare	Int	Variabilă locală
Robot_1	Robot1	fusion place	Bool	Var. globală
Robot_2	Robot2	fusion place	Bool	Var. globală
Robot_3	Robot3	fusion place	Bool	Var. globală
AGV	AGV (AGV1)	fusion place	String	Var. globală
CtrlPs	CtrlPs	fusion place	String	Var. globală
Timp	Par. de sistem		Int	Var. globală

Codul sursă al programului “getdata” scris în C, care realizează structurarea datelor, este prezentat în Anexa 4-6 iar fișierul antet “common.h” în care a fost definită structura de date este prezentat în Anexa 4-8. Pe baza structurii obținute în acest fel este identificată starea sistemului și se declanșează un dialog cu operatorul sau o subrutină de selecție a nodului următor (programul “control” a cărui sursă apare în Anexa 4-7) pe baza unor criterii de optimizare. Odată ce nodul următor a fost identificat, se va trece la determinarea tranziției care va declanșa modificarea de stare. În Anexa 4-4 este prezentat un extras din fișierul care conține corespondențele dintre numerele de succesori, arce și tranziții. Deoarece aceste tranziții sunt strict legate de un anumit controler și de o anumită pagină din model, cunoașterea tranziției următoare va determina un număr de acțiuni asociate unui anumit post

de lucru condus de un anumit controler. In acest fel sistemul poate prelua ordine de execuție la nivelul unui anumit controler pe baza succesiunilor de noduri și de tranziții din model. Identificarea tranziției următoare se rezolvă tot în programul C “control”. Ordinograma pe baza căruia a fost construit programul “control” apare în Figura 4.3-4 și în Figura 4.3-5.

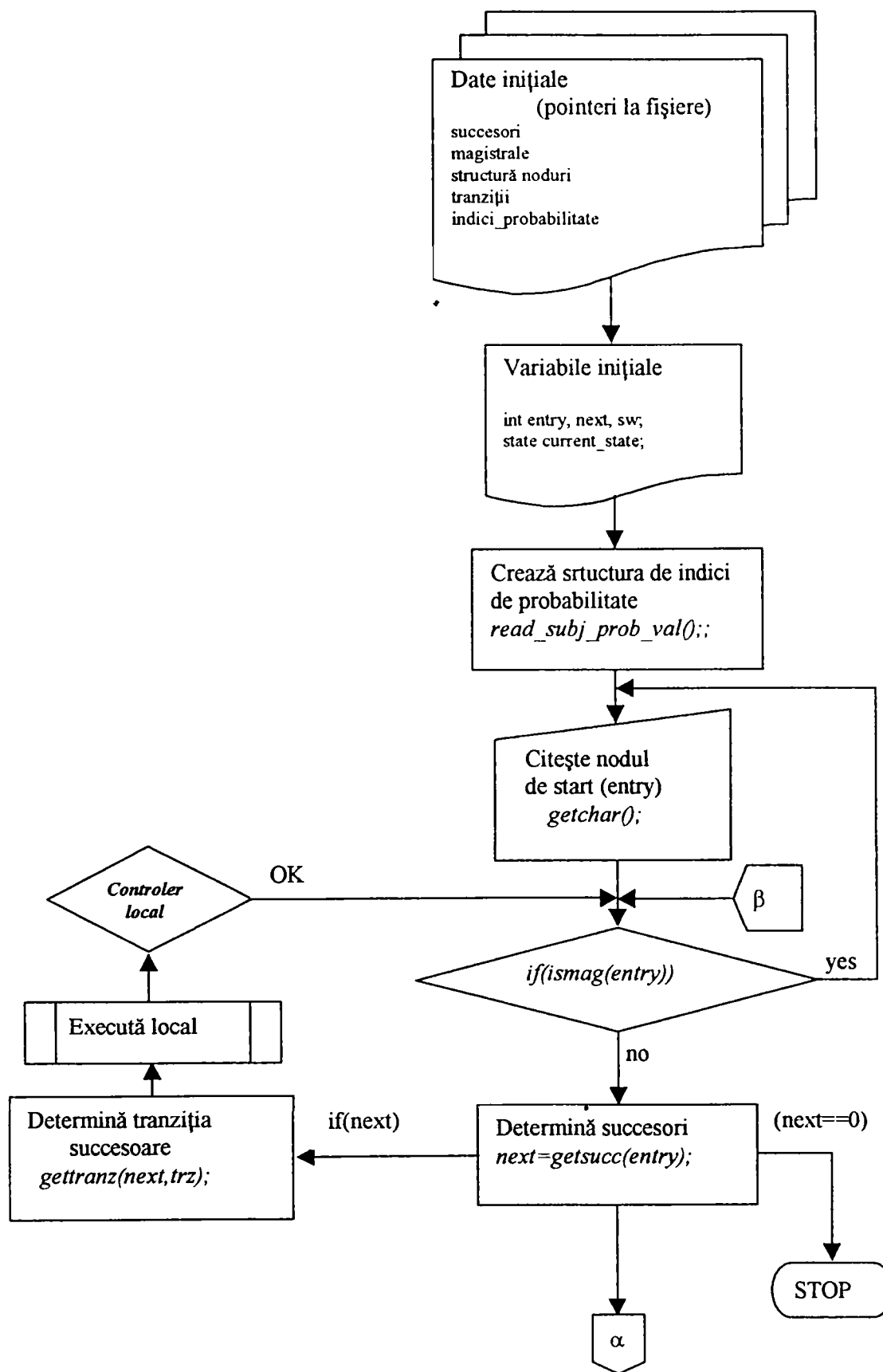


Figura 4.3-4

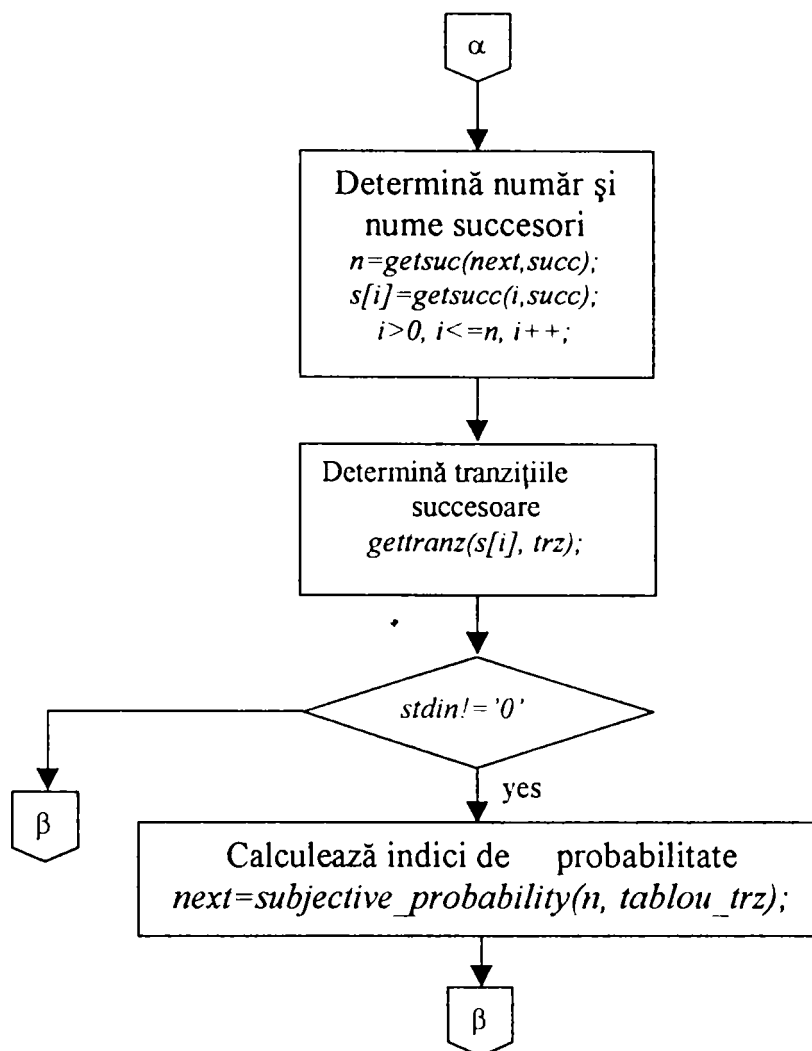


Figura 4.3-5

Pe baza numelor de tranziții implicate într-o anumită stare de concurență a sistemului (mai multe tranziții cu condiții simultane de declanșare) se pot desfășura diverse *rutine de optimizare a rutelor*, așa cum se va ilustra în capitolul următor.

În componența sistemului de fabricație pentru care s-a făcut modelarea și simularea au fost identificate un număr de 4 *celule de fabricație independente*. Pentru fiecare dintre acestea s-au precizat un număr de variabile ale programului de conducere. Fiecare celulă este sub conducerea unui controler local, care poate fi un calculator PC, aflat în legătură cu controlerul central printr-o magistrală MAP sau Ethernet. Controlerele locale au rolul de a transmite către controlerul central unele date despre starea sistemului, care vor fi încărcate în conținutul unor variabile ale programului de conducere central. Pe de altă parte, controlerele locale vor declanșa sarcini de execuție locale în funcție de deciziile luate la nivelul controlerului central. Gruparea variabilelor din structură pe cele patru celule este prezentată în tabelul următor. Pe baza valorilor variabilelor furnizate la sfârșitul fazei de lucru de către controlerele locale se poate identifica starea momentană a sistemului.



Tabelul 4.3-2

Nr. crt.	Denumirea celulei	Variabilele asociate
1.	Magazii și depozite	Dep1, Dep2, Flansa1, Flansa2
2.	Frezare	InMF, OutMF, InMas
3.	Măsurare	OutMas, InAsmb
4.	Sudare	InCloos, OutCloos

#### 4.3.d Propunere de arhitectură de conducere a sistemului de fabricație

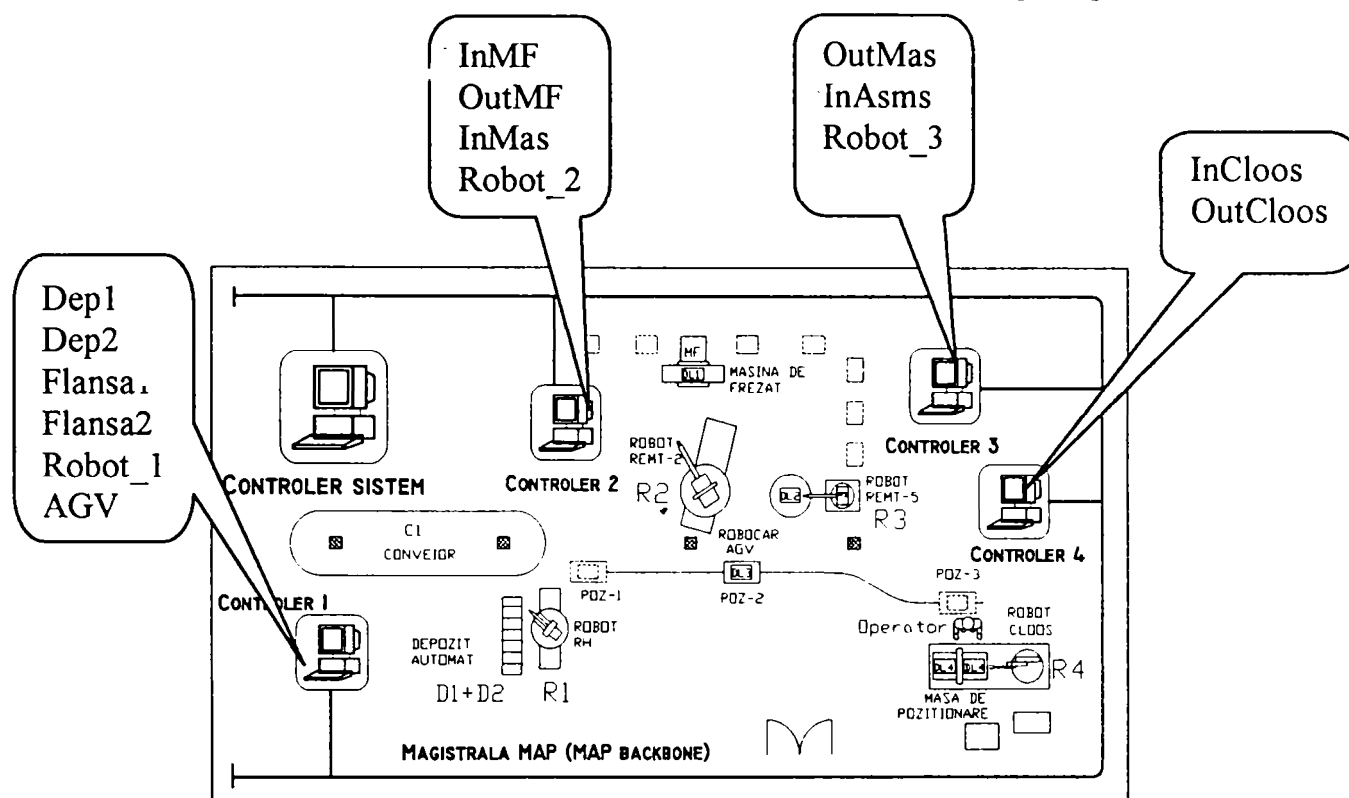
Concepția sistemului de conducere optimizată a unui sistem de fabricație a fost realizată pentru “lay-out”-ul din Figura 3.2-5 care reprezintă sistemul flexibil instalat la sediul Catedrei OMM a Facultății de Mecanică. Arhitectura de conducere a acestui sistem a fost concepută pornind de la cele patru celule de fabricație despre care se vorbește în § 4.3.c Așa după cum se poate observa în Figura 4.3-6, fiecărei celule  $i$  s-a asociat un controler local (un calculator PC sau un automat programabil) care se află integrat într-o rețea locală bazată pe un protocol MAP sau TCPIP. Cele 4 controlere locale sunt în legătură cu un controler central, care rulează un sistem de operare UNIX (LinuxPC) la nivelul căruia se iau deciziile în legătură cu succesiunea nodurilor pe care le va parcurge sistemul, așa cum apar ele în graful de incidență.

Tabelul 4.3-3

Sistem de conducere	Echipamente conduse
Controler1	Depozit1, Depozit2, Conveior, Robot1,AGV
Controler2	Mașina de frezat, Robot2
Controler3	Post de măsurare, Robot3
Controler4	Robot de sudare, Dispozitive de sudare

Primul echipament de conducere locală (Controler 1) este cel care se ocupă de zona depozitelor 1 și 2 și de conveior. Acesta monitorizează un număr de parametrii pe baza cărora pot fi setate variabilele marcate în dreptul acestui controler pe Figura 4.3-6. Aceste variabile, având tipul descris anterior în Tabelul 4.3-1, vor fi transmise controlerului central, prin intermediul protocolului de comunicație. Această acțiune de actualizare a variabilelor se desfășoară ori de câte ori apar modificări în starea acestora. Echipamentele aflate sub controlul sistemului local de conducere sunt în conformitate cu Tabelul 4.3-3

Al doilea controler monitorizează și conduce operațiile de frezare. El primește informații din sistem pe baza cărora setează valorile variabilelor notate pe Figura 4.3-6.



**Figura 4.3-6**

Tot la nivelul acestui controler sunt concentrate și operațiile de comandă a fazelor de încărcare/descărcare a mașinii de frezat cu ajutorul robotului 2, care execută și operația de încărcare a piesei frezate pe masa de măsurare, respectiv de depunere a ei în poziția de asamblare din AGV.

Controlerul 3 este destinat operației de măsurare și conducerii robotului 3. La nivelul acestui echipament de comandă se pot executa și rutine specializate de prelucrare statistică a datelor.

Controlerul 4 se ocupă de operația de frezare și de controlul robotului de sudare Cloos. De asemenea la acest nivel sunt prelucrate și informațiile legate de dispozitivele de sudare, care lucrează integrat cu robotul.

*Structura sistemului de comandă* se va modifica substanțial față de varianta prezentată în § 3.3. Pe diagrama structurală prezentată în Figura 4.3-7 se poate observa că toate echipamentele de control local sunt în contact bidirecțional cu controlerul central în care rulează programul de optimizare a rutelor de transfer, spre deosebire de cazul prezentat anterior în care o parte a sistemelor de control local (Robot R3, Robot Cloos) nu erau în nici un fel conectate cu sistemul de conducere centralizată.

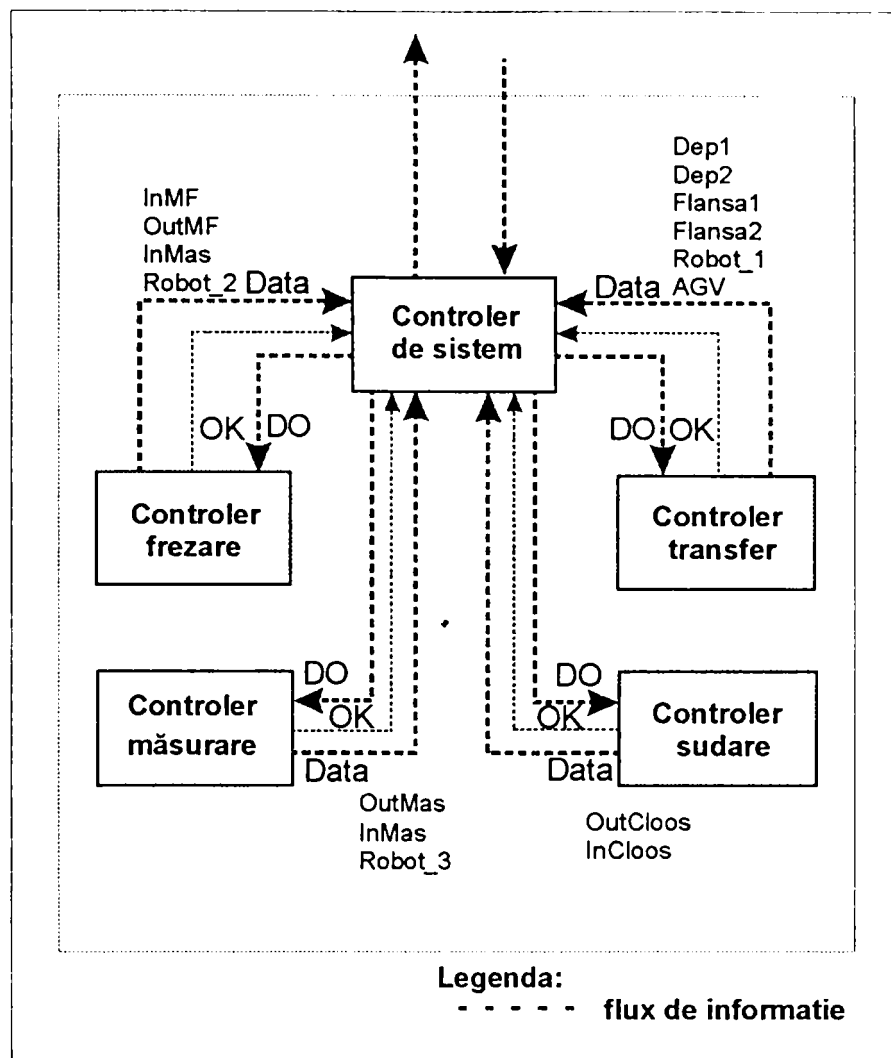


Figura 4.3-7

#### 4.4. Descrierea încercărilor de conducere a echipamentului de frezare pe baza grafului de incidență

Pentru susținerea experimentală a modelului de conducere a sistemului de fabricație pe baza grafului de incidență a fost realizată practic legarea într-o rețea Ethernet a calculatorului central și a unui calculator de conducere a mașinii de frezat, care a realizat o parte din funcțiile de conducere pe care le are controlerul 2 din Figura 4.3-6, în speță cele de conducere a operațiilor de încărcare/descărcare a frezei cu robotul R2, precum și operația de descărcare din controlerul local a programului NC pentru frezarea piesei și desfășurarea operației propriu-zise de frezare. Acest controler de tip calculator PC a fost conceput să acopere doar sarcinile de comandă la nivelul celulei de frezare, prin controlul axelor robotului și a descărcării programelor de frezare. Deoarece sistemele de acționare ale mașinii de frezat nu au putut fi integrate în sistemul general de comandă al axelor robotului, s-a recurs la comanda mașinii de frezat prin intermediul echipamentului de comandă NC. Ciclograma operațiilor desfășurate la acest nivel este prezentată în figura următoare.

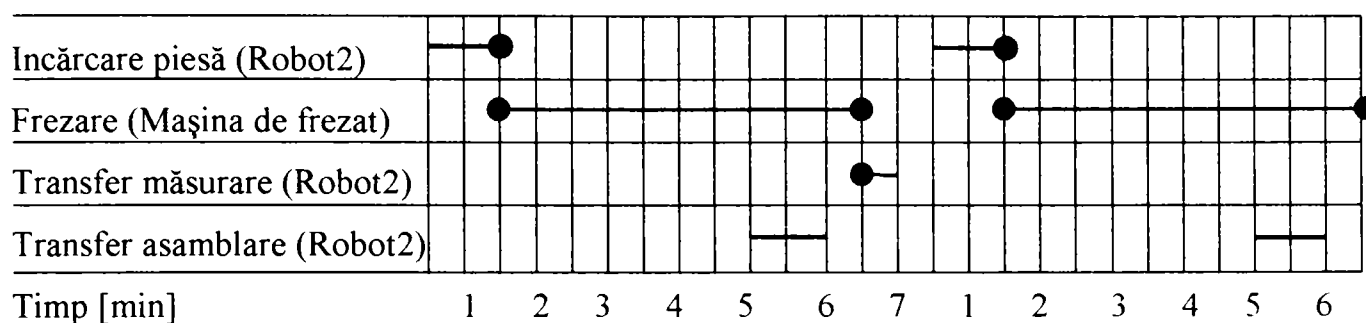


Figura 4.4-1

Calculatorul central detectează operația de frezare ca operație următoare în ciclu, pe baza grafului de incidență și a algoritmului de decizie prezentat în paragrafele anterioare. În acest moment controlul este transferat calculatorului de conducere al celulei de frezare. Acesta declanșează mai întâi secvența de program referitoare la controlul axelor robotului de servire al mașinii, "R2". Acesta primește o comandă de deplasare pe una din axe prin intermediul unei interfețe speciale a calculatorului construită în acest scop, pe care se preia și semnalul de răspuns de la traductorul TIRO cu care este echipată fiecare axă a robotului. Mișcările pe cele 4 axe ale robotului sunt conduse pe baza programului, urmărindu-se pozițiile cu ajutorul traductorilor. Înaintea finalului operației de încărcare se dă comanda de închidere pneumatică a bacurilor dispozitivului de fixare a piesei pe masa mașinii de frezat.



Figura 4.4-2

După terminarea operației de încărcare a piesei, din același calculator se execută un program de postprocesare a frazelor NC în comenzi pe 8 biți transferate la portul paralel al calculatorului, care este conectat la sistemul de comandă al frezei. Programul se află stocat pe

---

---

hard disk-ul calculatorului de comanda în format text. Acest program a fost obținut în prealabil cu un soft specializat pentru descrierea geometrică și generarea traiectoriilor pe mașini cu comandă numerică denumit MANA. După transferarea completă a programului NC către mașina de frezat, se declanșează mișcările de evacuare a piesei cu ajutorul robotului R2 către centrul de măsurare, unde este preluată de robotul R3 aflat sub conducerea altui controler. Programul care rulează în controlerul local al celulei de frezare a fost realizat de colectivul care a proiectat și realizat sistemul de fabricație și a fost folosit de autor doar pentru validarea ipotezelor teoretice, fără să i se aducă nici un fel de modificări. Elementul de interes a fost constituit doar de declanșarea acestui program de control local de la nivelul unei instanțe superioare ierarhic pe linie de comandă a sistemului și de returnarea unei valori de control din acest program către controlerul central atunci când execuția lui se termină.

In figura Figura 4.4-2 este redată fotografia celulei de prelucrare prin frezare folosită la efectuarea încercărilor.

---

## 4.5. Anexe

### Anexa 4-1 Funcțiile de determinare a nodurilor slabe și tari în limbaj CpnMI

```
(*AFISAREA SI INREGISTRAREA TUTUROR NODURILOR DE BLOCAJ*)
fun ListDeadMarkings () : Node list
= PredAllNodes Terminal;
ListDeadMarkings();
let
val outfile=open_out
"/home/mircea/modele/modele_teza/noduri/noduri_blocaj";
val lista=(ListDeadMarkings());
fun CPN'Print [] CPN'n = "" (* None will be printed *)
| CPN'Print (CPN'ell::CPN'rest) CPN'n =
mkst_Node(CPN'ell)^" "^(CPN'Print CPN'rest (CPN'n+1));
in
(output (outfile, (CPN'Print (lista) 1)^ "\t");
close_out (outfile))
end;
(*INREGISTRAREA NODURILOR DE BLOCAJ CARE NU SE DATORESC LIPSEI DE PIESE
(Blocaje reale)*)
fun SelectieNoduri_blocaj_real ()
=
SearchNodes (
EntireGraph,
fn n => Terminal n andalso (st_Mark.conveior'Conv 1 n<> "conveior'Conv
1: tempty\n" ),
NoLimit,
fn n=> n,
[],
op ::);
let
val outfile=open_out
"/home/mircea/modele/modele_teza/noduri/noduri_blocaj_real";
val lista=(SelectieNoduri_blocaj_real());
fun CPN'Print [] CPN'n = "" (* None will be printed *)
| CPN'Print (CPN'ell::CPN'rest) CPN'n =
mkst_Node(CPN'ell)^" "^(CPN'Print CPN'rest (CPN'n+1));
in
(output (outfile, (CPN'Print (lista) 1)^ "\t");
close_out (outfile))
end;
(*INREGISTRAREA NODURILOR DE BLOCAJ CARE SE DATORESC LIPSEI DE PIESE
(Opriri la capat de lot)*)
fun SelectieNoduri_lot ()
=
SearchNodes (
EntireGraph,
fn n => Terminal n andalso (st_Mark.conveior'Conv 1 n= "conveior'Conv 1:
tempty\n" ),
NoLimit,
fn n=> n,
[],
op ::);
let
val outfile=open_out "/home/mircea/modele/modele_teza/noduri/noduri_lot";
val lista=(SelectieNoduri_lot());
fun CPN'Print [] CPN'n = "" (* None will be printed *)
| CPN'Print (CPN'ell::CPN'rest) CPN'n =
```

---

---

```

                                mkst_Node(CPN'ell)^" "^(CPN'Print CPN'rest (CPN'n+1));
in
(output (outfile, (CPN'Print (lista) 1)^ "\t");
close_out (outfile))
end;
(*INREGISTRAREA NODURILOR PREDECESOARE NODURILOR DE BLOCAJ REAL*)
fun SelectieNoduri_blocaj_reall ()
=
SearchNodes (
SelectieNoduri_blocaj_reall(),
fn n => true ,
NoLimit,
fn n => InNodes(n),
[],
op ^^);
let
val outfile=open_out "/home/mircea/modele/modele_teza/noduri/noduri_1";
val lista=(SelectieNoduri_blocaj_reall());
fun CPN'Print [] CPN'n = "" (* None will be printed *)
    | CPN'Print (CPN'ell::CPN'rest) CPN'n =
        mkst_Node(CPN'ell)^" "^(CPN'Print CPN'rest (CPN'n+1));
in
(output (outfile, (CPN'Print (lista) 1)^ "\t");
close_out (outfile))
end;
(*INREGISTRAREA NODURILOR TARI*)
fun SelectieNoduri_ltari ()
=
SearchNodes (
SelectieNoduri_blocaj_reall(),
fn n =>(length(InArcs(n)) <= 1 andalso length(OutArcs(n)) =1),
NoLimit,
fn n=> n,
[],
op ::);
let
val outfile=open_out "/home/mircea/modele/modele_teza/noduri/noduri_ltari";
val lista=(SelectieNoduri_ltari());
fun CPN'Print [] CPN'n = "" (* None will be printed *)
    | CPN'Print (CPN'ell::CPN'rest) CPN'n =
        mkst_Node(CPN'ell)^" "^(CPN'Print CPN'rest (CPN'n+1));
in
(output (outfile, (CPN'Print (lista) 1)^ "\t");
close_out (outfile))
end;
(*INREGISTRAREA NODURILOR SLABE*)
fun SelectieNoduri_lslabe ()
=
SearchNodes (
SelectieNoduri_blocaj_reall(),
fn n => (length(InArcs(n)) >1 orelse length(OutArcs(n)) >1),
NoLimit,
id,
[],
op ::);
let
val outfile=open_out
"/home/mircea/modele/modele_teza/noduri/noduri_lslabe";
val lista=(SelectieNoduri_lslabe());
fun CPN'Print [] CPN'n = "" (* None will be printed *)
    | CPN'Print (CPN'ell::CPN'rest) CPN'n =

```

---

---

---

```
                mkst_Node(CPN'ell)^" "(CPN'Print CPN'rest (CPN'n+1));  
in  
(output (outfile, (CPN'Print (lista) 1)^ "\t");  
close_out (outfile))  
end;
```



---

**Anexa 4-2 Funcțiile de determinare a magistralelor de blocaj în limbaj CpnMI**


---

```
(*DETERMINAREA MAGISTRALELOR DE BLOCAJ*)
fun MagistraleBlocaj_string()
=
let
val c=316;
in
SearchNodes (
SelectieNoduri_blocaj_real(),
fn n => Reachable (c,n) ,
NoLimit,
fn n =>mkst_Node(n),
"",
op ^)
end;
MagistraleBlocaj_string();
fun MagistraleBlocaj_nod()
=
let
val c=316;
in
SearchNodes (
SelectieNoduri_blocaj_real(),
fn n => Reachable (c,n) ,
NoLimit,
fn n =>n,
[],
op ::)
end;
MagistraleBlocaj_nod();
(*fun TransformaNod_str ()
=
mkst_ms'numere (list_to_ms(MagistraleBlocaj_nod()));
TransformaNod_str();*)
fun ScrieMagistrale()
=
let
val outfile=open_append
"/home/mircea/modele/modele_teza/noduri/magistrale";
fun CPN'Print [] CPN'n = "" (* None will be printed *)
| CPN'Print (CPN'ell::CPN'rest) CPN'n =
mkst_Node(CPN'ell)^" "^(CPN'Print CPN'rest (CPN'n+1));
fun Magistrale()
=
let
val a=MagistraleBlocaj_nod();
in
NodesInPath(316,hd(a))
end;
in
(output (outfile, (CPN'Print (Magistrale()) 1)^ "\n");
close_out (outfile))
end;
ScrieMagistrale();
```

---

---

---

**Anexa 4-3 Programul pentru determinarea listei de succesori a tuturor nodurilor din graful de incidență în limbaj CpnMI**

```
fun GenerareSuccesori ()
=
SearchNodes (
EntireGraph,
(*PredAllNodes Terminal ,*)
fn n => true,
NoLimit,
fn n =>
(let
val lista=OutNodes(n);
val fisier="/home/mircea/modele/modele_teza/noduri/succesori";
val outfile=open_append fisier;
fun CPN'Print [] CPN'n = "" (* None will be printed *)
| CPN'Print (CPN'el1::CPN'rest) CPN'n =
mkst_Node(CPN'el1)^" "^(CPN'Print CPN'rest (CPN'n+1));
in
(output (outfile, mkst_col'numere (n)^\t"^(CPN'Print (lista) 1)^\n");
close_out (outfile))
end),
1,
fn ((),int) => 1+1);
GenerareSuccesori ();
```

**Anexa 4-4 Fragment din lista de succesori, arce și tyranziții ale tuturor nodurilor din sistem.**

2	1	conveior'TriAGV	209	389	depozit1'TrDepl
9	10	masurare'Masurare	22	39	sudare'TriCloos
62	100	frezare'TriMF	5	4	conveior'TriAGV
62	101	masurare'Masurare	23	40	sudare'Sudare
61	102	masurare'Masurare	24	41	sudare'TroCloos
61	103	masurare'Masurare	25	42	sudare'TroCloos
61	104	masurare'Masurare	26	43	conveior'TriAGV
61	105	masurare'Masurare	25	44	sudare'Sudare
61	106	masurare'Masurare	27	45	depozit1'TrDepl
61	107	masurare'Masurare			
61	108	masurare'Masurare			
61	109	masurare'Masurare			
9	11	masurare'Masurare			
61	110	masurare'Masurare			
63	111	frezare'Frez			
64	112	conveior'TriAGV			
65	113	asamblare'Asmb			
66	114	frezare'Frez			
67	115	sudare'TroCloos			
68	116	frezare'Frez			
69	117	sudare'TroCloos			
70	118	conveior'TriAGV			
71	119	frezare'Frez			
145	272	masurare'Masurare			
145	273	masurare'Masurare			
145	274	masurare'Masurare			
145	275	masurare'Masurare			
145	276	masurare'Masurare			
145	277	masurare'Masurare			
145	278	masurare'Masurare			
145	279	masurare'Masurare			
19	28	masurare'Masurare			
146	280	sudare'TriCloos			
147	281	depozit2'TrDep2			
148	282	sudare'TriCloos			
149	283	frezare'TriMF			
150	284	frezare'TriMF			
150	285	masurare'Masurare			
149	286	masurare'Masurare			
149	287	masurare'Masurare			
149	288	masurare'Masurare			
149	289	masurare'Masurare			
20	29	masurare'Masurare			
149	290	masurare'Masurare			
203	383	depozit1'TrDepl			
204	384	asamblare'Asmb			
205	385	asamblare'Asmb			
206	386	depozit2'TrDep2			
207	387	depozit2'TrDep2			
208	388	depozit1'TrDepl			

---

---

**Anexa 4-5 Programul de determinare a listei de succesori arce și tranziții ale tuturor nodurilor idn sistem în limbaj CpnMI**

```
fun GenerareNoduri_Arce ()=
SearchArcs (
EntireGraph,
(*PredAllNodes Terminal ,*)
fn n => true,
NoLimit,
fn n =>
(let
val lista=DestNode(n);
val listal=st_TI(ArcToTI(n));
val fisier="/home/mircea/modele/modele_teza/noduri/succ_arce_trz";
val outfile=open_append fisier;
fun CPN'Print CPN'n =
            mkst_Node(CPN'n);
in
(output (outfile, CPN'Print (lista)^\t"^\mkst_col'numere
(n)^\t:"^listal^\n");
close_out (outfile))
end),
1,
fn ((),int) => 1+1);
GenerareNoduri_Arce ();
```

---

**Anexa 4-6 Programul C "getdata" pentru colectarea datelor pe baza descriptorilor de noduri**


---

```

#include <sys/types.h>
#include <sys/stat.h>

#include <stdio.h>
#include <unistd.h>
#include <fcntl.h>
#include <dirent.h>
#include <string.h>
#include <stdlib.h>

#include "common.h"

FILE *out;
DIR *dir;

int cleanup(int error);
int newrecord(FILE *in);
int get_state_number(FILE *in);
char *get_param_data(const char *name, FILE *in);
int get_param_data_int(const char *name, FILE *in);
int getmaxtime(FILE *in);

int main(int argn, char *argc[]) {
    struct dirent *file;
    char *a;
    DIR *try;
    FILE *in;

    if(argn!=3) { printf(" Usage: getdata <nodes directory> <destination
file>"); cleanup(1); }
    if(!(dir=opendir(argc[1]))) { printf(" Error !!! Can't open dir %s
",argc[1]); cleanup(1); }
    if(!(out=fopen(argc[2],"w"))) { printf(" Error !!! Can't open file <%s>
for write access",argc[2]); cleanup(1);}
    file=readdir(dir);
    while(file!=NULL) {
        a=malloc(strlen(argc[1])+strlen(file->d_name)+2);
        memcpy(a,argc[1],strlen(argc[1]));
        a[strlen(argc[1])]='/';
        memcpy(&a[strlen(argc[1])+1],file->d_name,strlen(file->d_name)+1);
        if(!(try=opendir(a))) {
            printf("\n %s",file->d_name);
            in=fopen(a,"r");
            newrecord(in);
        }
        else closedir(try);
        file=readdir(dir);
    }
    printf("\n");
    cleanup(0);
    return(0);
}

int cleanup(int error) {
    closedir(dir);
    fclose(out);
    if(error) { printf("\n");exit(1);}
}

```

---

```
return(0);
}

int newrecord(FILE *in) {
    state new;
    char *dd;
    int i;

    new.nr=get_state_number(in);
    new.Robot1=get_param_data_int("depozit1'Robot1 1",in);
    new.Robot2=get_param_data_int("frezare'Robot2 1" ,in);
    new.Robot3=get_param_data_int("masurare'Robot3 1",in);

    new.Tmax=getmaxtime(in);

    dd=get_param_data("depozit1'AGV 1",in);
    strcpy(new.AGV,dd);
    free(dd);
    dd=get_param_data("depozit1'CtrlPs' 1",in);
    strcpy(new.CtrlPS,dd);
    free(dd);

    new.comp1.Dep1=get_param_data_int("depozit1'Depozit1 1",in);
    new.comp1.Dep2=get_param_data_int("depozit2'Dep2 1",in);
    new.comp1.Flansa=get_param_data_int("conveior'Conv 1",in);

    dd=get_param_data("conveior'Conv 1",in);
    i=0;
    while(dd[i]!=0x60) i++;
    new.comp1.FlansaN=dd[i+9];
    free(dd);

    new.comp2.InMF=get_param_data_int("frezare'InMF 1",in);
    new.comp2.OutMF=get_param_data_int("frezare'outMF 1",in);
    new.comp2.InMas=get_param_data_int("frezare'InMas 1",in);

    new.comp3.OutMas=get_param_data_int("masurare'OutMas 1",in);
    new.comp3.Asms=get_param_data_int("masurare'InAsmb 1",in);

    new.comp4.InCloos=get_param_data_int("sudare'InCloos 1",in);
    new.comp4.OutCloos=get_param_data_int("sudare'OutCloos 1",in);

    fwrite(&new,sizeof(new),1,out);
    return(0);
}

int get_state_number(FILE *in) {
    char line[256];
    rewind(in);
    fgets(line,255,in);
    return(atoi(line));
}

char *get_param_data(const char *name,FILE *in) {
    char *line;
    char *data=NULL;
    int i;
    line=malloc(256);
    rewind(in);
    do {
        fgets(line,255,in);
```

```
i=0;
while(line[i]!=':' && i!=strlen(line)) i++;
line[i]=0;
} while(!feof(in) && strcmp(name,line));
if(strcmp(name,line)==0) {
    data=malloc(strlen(&line[i+1])+2);
    strcpy(data,&line[i+1]);
    free(line);
}
return(data);
}

int get_param_data_int(const char *name,FILE *in) {
    char *dd;
    int i;
    dd=get_param_data(name,in);
    i=0;
    while(dd[i]!=0x27 && i!=strlen(dd)-1) i++; dd[i]=0x00;
    if(i==strlen(dd)-1 && dd[i]!=0x27) return(0);
    return(atoi(dd));
}

int getmaxtime(FILE *in)
{
    int i,j;
    int s;
    int tmax=0;
    int ttest;
    char line[256];
    rewind(in);
    do {
        fgets(line,255,in);
        i=0;
        while(line[i]!='[' && i!=strlen(line)) i++;
        if(i!=strlen(line)) {
            i=i+1;
            s=strlen(line);
            for(j=i;j<s;j++) {
                if(line[j]==',' || line[j]==']') {
                    line[j]=0x00;
                    ttest=atoi(&line[i]);
                    if(tmax<ttest) tmax=ttest;
                    i=j+1;
                }
            }
        }
    } while(!feof(in));
    printf(" %i ",tmax);
    return(tmax);
}
```

---



---

**Anexa 4-7 Programul C "control" folosit la luarea deciziilor pentru evitarea blocajelor.**

```

#include <sys/types.h>
#include <sys/stat.h>

#include <stdio.h>
#include <fcntl.h>
#include <dirent.h>
#include <string.h>
#include <stdlib.h>

#include "common.h"

FILE *mag;
FILE *suc;
FILE *db;

int cleanup(int error);
int getsucc(int entry);
int ismag(int nod);
int getsuc(int nod,int *s);
int subjective_probably(int n,int *nodes);
int getdata(state *ndata,int nod);

int main(int argn,char *argc[]) {

    int entry;
    int next;
    int sw;
    state current_state;

    if(argn!=4) { printf(" Usage: getdata <succ_file> <mag_file> <db_file>
"); cleanup(1); }
    if(!(suc =fopen(argc[1],"r"))) { printf(" Error !!! Can't open file <%s>
for read access",argc[2]); cleanup(1);}
    if(!(mag =fopen(argc[2],"r"))) { printf(" Error !!! Can't open file <%s>
for read access",argc[3]); cleanup(1);}
    if(!(db =fopen(argc[3],"r"))) { printf(" Error !!! Can't open file <%s>
for read access",argc[4]); cleanup(1);}
    printf("\n Enter the entry point : ");scanf("%i",&entry);
    fflush(stdout);
    getchar();
    sw=0;
    while(sw==0) {
        printf("\n Current node : % i",entry);
        if(getdata(&current_state,entry)) printf("\n           Extended node
data available in 'current_state' variable");

        next=getsucc(entry);
        if(next==0) {
            printf("\n\n Failure !!! Node %i is a 'mag' node or has no
suitable 'succ'",entry);
            cleanup(1);
        }
        printf("           Next node      : %i" ,next);
        printf("\n           Press the Enter key for next node ... ");
        getchar();
        entry=next;
        next=0;
    }
}

```

---



---



---

```
    printf("\n");
    cleanup(0);
    return(0);
}

int cleanup(int error) {
    fclose(suc);
    fclose(mag);
    fclose(db);
    if(error) { printf("\n");exit(1);}
    return(0);
}

int getsucc(int entry) {
    char line[256];
    int s[200];
    int n;
    int i;
    int choice;

    if(ismag(entry)) return(0);
    n=getsuc(entry,s);
    if(n==1) { printf("\n"); return(s[0]); }
    if(n>1) {
        printf("\n          Detected More than one jump possible ... ");
        printf("\n          Please select one of these possibilities : ");
        printf("\n          0) subjective probability ... ");
        printf("\n          ");

        for(i=0;i<n;i++) printf(" %i) %i ",i+1,s[i]);
        printf("\n          Your choice : ");scanf("%i",&choice);
        getchar();
        if(choice>0 && choice<=n) return(s[choice-1]);
        else return(subjective_probably(n,s));
    }
    return(0);
}

int ismag(int nod) {
    char line[256];
    int i;
    int comp;
    rewind(mag);
    while(!feof(mag)) {
        fgets(line,255,mag);
        i=0;
        while(line[i]>=0x30 && line[i]<=0x39 && i<strlen(line)) i++;
        line[i]=0x00;
        comp=atoi(line);
        if(comp==nod) return(1);
    }
    return(0);
}

int getsuc(int nod,int *s) {
    char line[256];
    int comp,s1;
    int sw=0;
    int n=0;
    int i,j;
```

---

---

```
rewind(suc);
while(!feof(suc) && sw==0) {
    fgets(line,255,suc);
    sl=strlen(line);
    i=0;j=0;
    while(line[i]>=0x30 && line[i]<=0x39 && i<sl) i++;
    line[i]=0x00;
    comp=atoi(line);
    i=i+1;
    if(comp==nod) {
        while(i<sl && j<sl) {
            while((line[i]<0x30 || line[i]>0x39) && i<sl) i++;
            j=i;
            while(line[j]>=0x30 && line[j]<=0x39 && j<sl) j++;
            line[j]=0x00;
            s[n]=atoi(&line[j]);
            if(!ismag(s[n])) n++;
            i=j+1;
        }
    }
}
return(n);
}

int getdata(state *ndata,int nod) {
    state test;
    rewind(db);
    test.nr=0;
    while(!feof(db) && test.nr!=nod) {
        fread(&test,sizeof(state),1,db);
    }
    if(nod==test.nr) {
        memcpy(ndata,&test,sizeof(state));
        return(1);
    }
    return(0);
}

int subjective_probably(int n,int *nodes)
{
    int i;

    printf("\n          Subjective routine: Total number of elements :
%i",n);
    printf("\n          Subjective routine: ");
    for(i=0;i<n;i++) printf(" %i ",nodes[i]);
    return(0);
}
```

---

---

---

**Anexa 4-8 Fișierul antet "common.h" pentru definirea structurii de date C pe baza descriptorilor de noduri**

```
#define bool unsigned char
```

```
typedef struct {  
    int Dep1;  
    int Dep2;  
    char FlansaN;  
    int Flansa;  
} control_1;
```

```
typedef struct {  
    int InMF;  
    int OutMF;  
    int InMas;  
} control_2;
```

```
typedef struct {  
    int OutMas;  
    int Asms;  
} control_3;
```

```
typedef struct {  
    int InCloos;  
    int OutCloos;  
} control_4;
```

```
typedef struct {  
    int nr;  
    bool Robot1;  
    bool Robot2;  
    bool Robot3;  
    char AGV[50];  
    char CtrlPS[50];  
    int Tmax;  
    control_1 comp1;  
    control_2 comp2;  
    control_3 comp3;  
    control_4 comp4;  
} state;
```

---

---

## 4.6. Bibliografie

1. \*\*\*,1993, Design/CPN Reference Manual for X-Windows. Version 2.0, Meta Software Corporation, Cambridge, MA.
  2. Bulac, C., 1995, Inițiere în Turbo C++ și Borland C, seria Calculatoare personale, Editura Teora, București.
  3. Jean-Marie Proth, Ioannis Minis, 1995, Planning and Scheduling based on Petri Nets. In "Petri Nets in Flexible and Agile Automation", Kluwer Academic Publishers, Boston , Dordrecht, London.
  4. Jensen Kurt, 1994, Coloured Petri Nets. Basic Concepts, Analysis Methods and Practical Use. Volume 2, Analysis Methods. Springer-Verlag, Berlin.
  5. Keyi Xing, Boosheng Hu, Haoxun Chen, 1995, Deadlock Avoidance Policy for Flexible Manufacturing Systems. In "Petri Nets in Flexible and Agile Automation", Kluwer Academic Publishers, Boston , Dordrecht, London.
  6. Kovacs, Fr., Cojocaru, G., 1982, Manipulatoare, roboți și aplicațiile lor industriale. Editura Facla, Timișoara.
  7. Kovacs, Fr., Rădulescu, C., 1992, Roboți industriali, Vol. I și II, Litografia Universității "Politehnica" Timișoara.
  8. Luca Ferrarini, 1995, Computer Aided Design of Logic Controllers with Petri Nets. In "Petri Nets in Flexible and Agile Automation", Kluwer Academic Publishers, Boston , Dordrecht, London.
  9. Nof, S., 1992, Handbook of Industrial Robotics. Krieger Publishing Company, Malabar, Florida.
  10. Popovici, D., M., Popovici, I., M., Tănase, I., 1996, Tehnologia orientată p eobiecte. Aplicații. Editura Teora, București.
  11. Shamma, N., C., 1996, Curs rapid de Borland C++ 4, Editura Teora, București.
  12. Tomoshiro Murata, 1995, Application of Petri Nets to Sequence Control Programming. In "Petri Nets in Flexible and Agile Automation", Kluwer Academic Publishers, Boston , Dordrecht, London.
- 
-

## **5. AUTOMATIZAREA ȘI OPTIMIZAREA LUĂRII DECIZIEI PRIVIND TRANSFERUL MATERIALELOR ÎN SISTEME DE FABRICAȚIE PE BAZA NOȚIUNII DE PROBABILITATE SUBIECTIVĂ**

### 5.1. Cuprins

<b>5. AUTOMATIZAREA ȘI OPTIMIZAREA LUĂRII DECIZIEI PRIVIND TRANSFERUL MATERIALELOR ÎN SISTEME DE FABRICAȚIE PE BAZA NOȚIUNII DE PROBABILITATE SUBIECTIVĂ</b>	<b>191</b>
5.1. Cuprins	191
5.2. Considerații teoretice	192
5.2.a Relațiile de calcul a indicilor subiectivi de probabilitate	192
5.2.b Exemplu de utilizare a relațiilor de calcul a probabilităților propagate	194
5.3. Decizia de rutare bazată pe utilizarea teoriei probabilităților subiective	198
5.4. Anexe	203
5.5. Bibliografie	210

---

## 5.2. Considerații teoretice

Prezentarea teoremelor lui Bayes [Hietiko, E., 1996, pag. 36 și urm.] și folosirea lor în modelarea sistemelor cu evenimente discrete are drept scop eliminarea *factorilor de incertitudine* care apar în dezvoltarea simulării. Asemenea incertitudini manifestate în procesul de luare a deciziilor se rezolvă în lumea reală prin aportul inteligenței umane sau prin acțiunea hazardului. În cazul modelării sistemelor continui, eliminarea gradelor de incertitudine se face folosind rețele neuronale sau tehnicile “fuzzy”. În cazul sistemelor cu evenimente discrete, schimbările de stare ale sistemului se produc ca urmare a unor “acumulări” de condiții favorabile și totodată necesare, acumulări ce pot fi constatate în nodurile rețelei și care pot favoriza declanșarea simultană a mai multor tranziții. Pentru a introduce o oarecare logică în luarea deciziei și a controla în acest fel dezvoltarea simulării, se propune utilizarea conceptului de “*probabilitate subiectivă*” precum și a altor concepte înrudite, utilizarea acestora făcându-se pe baza teoremelor lui Bayes.

*Teoria probabilităților subiective* nu operează doar cu *evenimente* care au o anumită probabilitate de a se produce, ci și cu *propoziții sau ipoteze*, a căror credibilitate crește pe măsură ce crește încrederea într-o evidență. În termenii teoriei probabilității subiective, dacă notăm cu “**A**” o anumită propoziție (ipoteză), atunci “**P(A)**” va fi gradul de încredere individuală în veridicitatea ipotezei respective.

### 5.2.a Relațiile de calcul a indicilor subiectivi de probabilitate

Se presupune că pentru un eveniment oarecare există “*n*” propoziții legate de desfășurarea lui, propoziții mai mult sau mai puțin adevărate. Astfel, conform celor de mai sus, “**P(z<sub>i</sub>)**” va însemna probabilitatea ca propoziția “**z<sub>i</sub>**” să fie adevărată. Această valoare este definită ca *probabilitatea primară* a propoziției “**z<sub>i</sub>**”. Orice evidență “**E**” asociată propoziției “**z<sub>i</sub>**” va modifica nivelul de încredere în valoarea probabilității primare a acestei propoziții, lucru care permite recalcularea acestei probabilități cu ajutorul teoremei lui Bayes, sub denumirea de “*probabilitate posterioară*”. Cu alte cuvinte, probabilitatea ca propoziția “**z<sub>i</sub>**” să fie adevărată când se știe că evidența “**E**” este adevărată se va nota cu “**P(z<sub>i</sub>|E)**”.

În această teoremă este implicată și o altă noțiune și anume cea de “*probabilitate condiționată*” sau “*condițională*”, care exprimă încrederea individuală că evidența “**E**” este confirmată atunci când propoziția “**z<sub>i</sub>**” este adevărată și se notează cu “**P(E|z<sub>i</sub>)**”. Pentru un set

de “n” propoziții, în condițiile existenței unei evidențe “E”, probabilitățile posterioare pot fi calculate cu relația ( 5.2-1):

$$P(z_i | E) = \frac{P(E | z_i) \cdot P(z_i)}{\sum_{k=1}^n P(E | z_k) \cdot P(z_k)} \quad (5.2-1)$$

Valorile astfel obținute sunt valori normalizate, adică suma lor va fi 1.

Dacă sistemul de evidențe are mai multe componente, de pildă “m”, atunci probabilitățile posterioare ale unui eveniment oarecare se vor calcula cu relația ( 5.2-2):

$$P(z_i | E_1 E_2 \dots E_m) = \frac{\left[ \prod_{j=1}^m P(E_j | z_i) \right] \cdot P(z_i)}{\sum_{k=1}^n \left[ \prod_{j=1}^m P(E_j | z_k) \right] \cdot P(z_k)} \quad (5.2-2)$$

Pentru cazul mai multor propoziții și o singură evidență se mai poate folosi și noțiunea de “*probabilitate primară propagată*”, calculabilă cu relația ( 5.2-3) pentru o anumită propoziție “ $z_i$ ” :

$$P_p(z_i | E) = \frac{P(E | z_i) \cdot P(z_i)}{P(E | z_i) \cdot P(z_i) + P(E | \bar{z}_i) \cdot P(\bar{z}_i)} \quad (5.2-3)$$

Deși aceste valori nu mai sunt normalizate, ele pot constitui valori primare pentru un nou calcul de valori posterioare, în prezența unei alte evidențe, obținându-se astfel din aproape în aproape influența fiecărei evidențe asupra valorilor posterioare ale probabilităților. Termenul suplimentar care apare la această ecuație sub forma “ $P(E | \bar{z}_i)$ ” reprezintă nivelul individual de încredere că evidența “E” va fi valabilă și în cazul când propoziția “ $z_i$ ” nu este adevărată. Dacă evenimentul studiat implică mai multe evidențe, atunci relația ( 5.2-3) se poate scrie pentru fiecare evidență în parte în felul următor:

$$P_p(z_i | E_j) = \frac{P(E_j | z_i) \cdot P(z_i)}{P(E_j | z_i) \cdot P(z_i) + P(E_j | \bar{z}_i) \cdot [1 - P(z_i)]} \quad (5.2-4)$$

Dacă se intenționează studierea influenței unui sistem de evidențe format din “k” elemente asupra unui set de propoziții, atunci probabilitățile posterioare se vor determina cu relația ( 5.2-5):

$$P_p(z_i | E_1 E_2 \dots E_k) = \frac{P(E_k | z_i) \cdot P_p(z_i | E_1 E_2 \dots E_{k-1})}{P(E_k | z_i) \cdot P_p(z_i | E_1 E_2 \dots E_{k-1}) + P(E_k | \bar{z}_i) \cdot [1 - P_p(z_i | E_1 E_2 \dots E_{k-1})]} \quad (5.2-5)$$

Determinarea distribuțiilor primare “ $P(z_i)$ ” se face pe baza informațiilor existente asupra unei propoziții “ $z_i$ ”, de natură subiectivă, obiectivă, sau ambele. Dacă aceste informații nu sunt suficiente pentru a defini valorile primare, atunci se poate presupune că toate propozițiile au aceeași valoare de adevăr, deci aceeași probabilitate, fapt care duce la o formă simplificată a relației anterioare:

$$P_a(z_i | E_1 E_2 \dots E_m) = \frac{\left[ \prod_{j=1}^m P(E_j | z_i) \right]}{\sum_{k=1}^n \left[ \prod_{j=1}^m P(E_j | z_k) \right]} \quad (5.2-6)$$

În cazul în care condiționalii “ $P(E_k|z_i)$ ” au valori particulare (0; 0,5; 1), distribuția primară se va face într-un mod special. De pildă dacă  $P(E_k|z_i)=0$ , evidența  $E_k$  nu se manifestă chiar dacă se știe că propoziția “ $z_i$ ” este adevărată, în timp ce dacă  $P(E_k|z_i)=1$  se poate spune că evidența  $E_k$  se manifestă cu certitudine dacă propoziția “ $z_i$ ” este adevărată. Cele două situații pot fi descrise și prin formulările “*dacă  $z_i$  atunci non  $E_k$* ” respectiv “*dacă  $z_i$  atunci  $E_k$* ”. Dacă  $P(E_k|z_i)=0,5$ , evidența nu mai are nici o relevanță, deci ea nu va mai afecta valorile probabilităților posterioare. Această valoare a condiționalului este folosită atunci când nu avem informații suficiente pentru a preciza alte valori. Exemplul următor încearcă să ilustreze acest caz.

### 5.2.b Exemplu de utilizare a relațiilor de calcul a probabilităților propagate

Se presupune că un dispozitiv de transfer într-un sistem flexibil de fabricație primește simultan trei cereri de deplasare către trei posturi diferite de lucru din sistem. El va deservi în mod evident una singură din aceste direcții, pe care trebuie să o aleagă pe baza unui sistem de criterii. Cele trei *propoziții* “ $z_i$ ” cu valori diferite de adevăr (opțional subiectiv sau obiectiv), sunt următoarele:

- sistemul de transfer alege ruta 1 pentru descărcarea unei mașini importante;
- sistemul de transfer alege ruta 2 pentru evacuarea unui produs finit;
- sistemul de transfer alege ruta 3 pentru adăugarea unui semifabricat într-un șir de așteptare.

Sistemul de *evidențe* care acționează în acest caz poate cuprinde următoarele afirmații:



- distanța este maximă;
- distanța este minimă;
- se eliberează o mașină foarte importantă;
- se asigură evacuarea din sistem a unui produs finit;
- ruta este cea mai simplă.

Pornind de la aceste afirmații se poate alcătui baza de cunoștințe corespunzătoare acestui caz, sintetizată prin valorile condiționalilor din Tabelul 5.2-1.

Tabelul 5.2-1

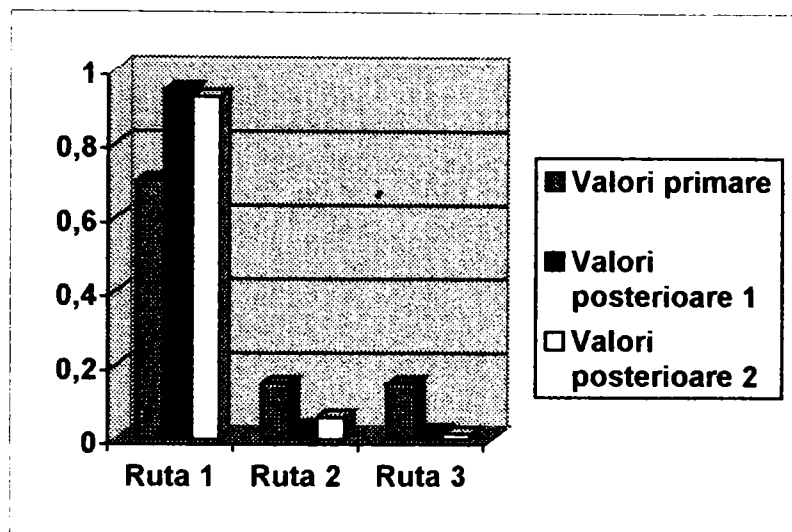
Propoziții	Ruta 1	Ruta 2	Ruta 3
<i>Valori primare</i> $P(z_i)$	0,7	0,15	0,15
distanța este maximă $P(E_1 z_i)$	0,8	0,1	0,5
distanța este minimă $P(E_2 z_i)$	0,2	0,8	0,5
se eliberează o mașină foarte importantă $P(E_3 z_i)$	0,9	0,1	0,1
se asigură evacuarea din sistem a unui produs finit $P(E_4 z_i)$	0,3	0,8	0,2
ruta este cea mai simplă $P(E_5 z_i)$	0,8	0,9	0,7
<i>Valori posterioare</i> $P(z_i E_1E_2E_3E_4E_5)$ (conform ( 5.2-2))	0,9457*	0,03377	0,020205

Dacă se presupune că nu se cunoaște influența alegerii rutei asupra distanței de parcurs și a simplității traseului, valorile condiționalilor respectiv valorile posterioare vor fi conform cu datele din Tabelul 5.2-2.

Tabelul 5.2-2

Propoziții	Ruta 1	Ruta 2	Ruta 3
<i>Valori primare</i> $P(z_i)$	0,7	0,15	0,15
*distanța este maximă $P(E_1 z_i)$	0,5	0,5	0,5
*distanța este minimă $P(E_2 z_i)$	0,5	0,5	0,5
se eliberează o mașină foarte importantă $P(E_3 z_i)$	0,9	0,1	0,1
se asigură evacuarea din sistem a unui produs finit $P(E_4 z_i)$	0,3	0,8	0,2
*ruta este cea mai simplă $P(E_5 z_i)$	0,5	0,5	0,5
<i>Valori posterioare</i> $P(z_i E_1E_2E_3E_4E_5)$ (conform ( 5.2-2))	0,92647*	0,058823	0,0147

Analizând relația de calcul a valorilor posteroare, se observă că toate valorile de “0,5” ale condiționalilor se simplifică și deci nu influențează rezultatul. În ambele situații, ruta preferată va fi ruta numărul 1. Pe Graficul 5.2-1 au fost reprezentate valorile posteroare în cele două cazuri de mai sus, când se ține cont de caracteristicile traseului ce urmează să fie parcurs (cazul 1) sau când nu se ține cont de aceste caracteristici (cazul 2). Se observă că ruta 1 este favorită în ambele situații, deci influența tipului de traseu ales este minimală în comparație cu ceilalți parametri de decizie



Graficul 5.2-1

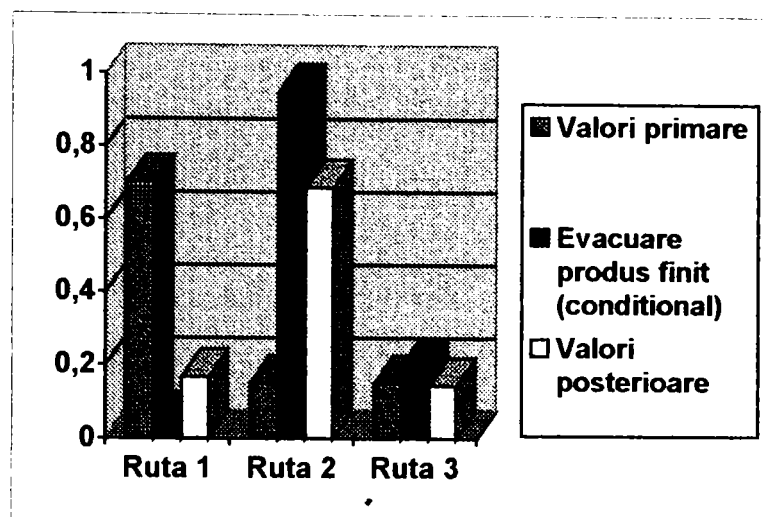
În continuare se presupune că este activă o singură evidență și anume cea referitoare la evacuarea din sistem a unui produs finit. Baza de cunoștințe și valorile condiționalilor vor fi ca în Tabelul 5.2-3.

Tabelul 5.2-3

Propoziții	Ruta 1	Ruta 2	Ruta 3
<i>Valori primare</i> $P(z_i)$	0,7	0,15	0,15
se asigură evacuarea din sistem a unui produs finit $P(E_4 z_i)$	0,05	0,95	0,2
<i>Valori posteroare</i> $P(z_i E_4)$ (conform ( 5.2-2))	0,168	0,6867	0,14458

Se poate observa din analiza datelor ultimului tabel, că influența valorilor primare este foarte greu de contracarat, fiind nevoie de valori foarte nete ale condiționalilor pentru a putea reuși să schimbăm o decizie luată pe baza valorilor primare, care nu țin cont de nici un fel de evidențe. Acest lucru devine vizibil și pe Graficul 5.2-2, unde valoarea primară maximă care apare la ruta 1 (cu albastru) este transformată într-o valoare posteroară maximă pe ruta 2 (în

galben) cu ajutorul unui condițional foarte mare, aproape unitar pe această rută (în roșu), care exprimă faptul că pe ruta 2 se face evacuarea din sistem a unui produs finit.



Graficul 5.2-2

De cele mai multe ori, în calculele ingineresti, evidențele nu se manifestă doar cu valorile lor de “adevărat” sau “fals” ci cu o gamă mult mai largă de valori, care au un aspect stocastic. De aceea este necesară introducerea unui nou parametru “C”, care se numește “factor de incertitudine” și care exprimă încrederea individuală a observatorului sau a proiectantului că evidența este adevărată. Valorile acestui factor de incertitudine sunt cuprinse între 0 și 1. Valoarea “0” indică faptul că evidența nu se va produce, iar valoarea 1 exprimă faptul că ea se va produce cu certitudine. Valoarea 0,5 nu are nici o semnificație, în sensul că evidența poate să se producă sau să nu se producă, cu probabilități egale. Vor fi deci posibile următoarele situații:

- evidența este adevărată, condiționalul va fi  $P(E_i|z_j)$ ;
- evidența este falsă, condiționalul va fi  $1 - P(E_i|z_j)$ ;
- evidența este total incertă, condiționalul va fi 0,5.

Aceste trei situații pot fi modelate cu ajutorul unei drepte în coordonate  $[C_i; P(E_i, C_i|z_j)]$ , care se va scrie în felul următor:

$$P(E_i, C_i | z_j) = (1 - C_i) + (2 \cdot C_i - 1)P(E_i | z_j) \quad (5.2-7)$$

Dacă se ține cont de aceste observații în ecuația (5.2-2), ea va avea forma (5.2-8):

$$P(z_i | E_1 E_2 \dots E_m) = \frac{\left[ \prod_{j=1}^m P(E_j, C_j | z_i) \right] \cdot P(z_i)}{\sum_{k=1}^n \left[ \prod_{j=1}^m P(E_j, C_j | z_k) \right] \cdot P(z_k)} \quad (5.2-8)$$

### 5.3. Decizia de rutare bazată pe utilizarea teoriei probabilităților subiective

Teoria probabilităților subiective prezentată pe scurt în cele de mai sus a fost folosită în cadrul tezei de doctorat în scopul modificării on-line a deciziilor de rutare pe baza unui sistem de criterii cărora li s-au asociat niște valori ale condiționalilor (coeficienți de pondere) și niște valori ale probabilităților primare. Astfel, în situații de concurență, când programul de conducere a sistemului oferă mai multe posibilități de continuare a procesului, se apelează o rutină suplimentară denumită "subjective\_probability", care va calcula probabilitățile posterioare ale tranzițiilor implicate la un moment dat și va returna tranziția cu valoarea cea mai mare a acestei probabilități. Aceasta va fi deci următoarea tranziție lansată în execuție în sistem.

Pentru a putea lua o decizie în ce privește tranziția succesoare a unei situații curente s-a alcătuit un sistem de criterii de decizie sistematizate în Tabelul 5.3-4. Firește că aceste criterii pot fi rafinate în continuare pe baza experienței acumulate în timp de către operatorii de sistem și pot fi modificate pentru a se acomoda cât mai fidel cu nevoile reale din sistem. Criteriile de decizie prezentate în acest caz sunt doar un exemplu ilustrativ care să valideze metoda propriu-zisă. Aceleași observații sunt valabile și în cazul valorilor de probabilitate primară și ale coeficienților de pondere care apar în tabel.

**Tabelul 5.3-4**

Tranziții	TriMF	TroMF	Frez	TriAGV	Masurare	TroMas	TriCloos	TroCloos	Sudare	TrDep1	TrDep2	Asmb
Criterii de decizie												
Valori primare ( $\times 10^{-2}$ )	8.3	8.3	8.3	8.3	8.3	8.3	8.3	8.3	8.3	8.3	8.3	8.3
Eliberarea frezei	0.7	0.9	0.8	0.6	0.6	0.4	0.5	0.5	0.5	0.5	0.5	0.6
Eliberarea robotului de sudare	0.3	0.3	0.5	0.5	0.5	0.5	0.7	0.9	0.8	0.5	0.5	0.5
Eliberarea AGV	0.7	0.5	0.5	0.2	0.5	0.5	0.7	0.5	0.5	0.7	0.7	0.5
introducerea unui nou reper în sistem	0.6	0.7	0.9	0.9	0.8	0.5	0.7	0.8	0.8	0.7	0.6	0.5

Pe baza datelor din tabel, care sunt preluate într-o structură C pentru a putea fi ulterior folosite în programul de decizie, se vor calcula valorile posterioare ale probabilităților subiective, care vor sta efectiv la baza luării deciziei. Coeficienții de pondere pot avea în principiu orice valoare cuprinsă între 0 și 1. Spre deosebire de aceștia însă, valorile

probabilităților primare trebuie să aibă suma unitară pentru tot setul de tranziții studiat. Din acest motiv se impune o operație de normare a valorilor primare pentru setul de tranziții în discuție, astfel încât suma probabilităților lor să fie 1. În continuare se vor calcula valorile posterioare ale probabilităților pe baza relației ( 5.2-2). Fragmentul din fișierul sursă care cuprinde funcția “subjective\_probability” este prezentat în Anexa 5-1.

În continuare este prezentat un exemplu pentru modul de operare al programului. Să presupunem că pe baza programului “control” care conduce propriu-zis sistemul de fabricație s-a ajuns în nodul “28” care are trei succesori:

- nodul “31” cu tranziția “frezare'Frez”;
- nodul “32” cu tranziția “sudare'TroCloos”;
- nodul “33” cu tranziția “conveior'TriAGV”.

Aceste valori au fost extrase din fișierul “succ\_arce\_trz” care este folosit ca parametru de intrare al programului “control” și este prezentat în anexele de la capitolul 4. Pe baza acestor valori, programul “subjective\_probability” va extrage din Tabelul 5.3-4 valorile corespunzătoare ale indicilor de probabilitate primară și ale condiționalilor, valori care au fost sistematizate în Tabelul 5.3-5, și va calcula valoarea probabilităților posterioare care au fost redată pe ultima linie din tabel. Pe baza acestor valori, decizia multicriterială privind continuarea prelucrării în sistem va fi “frezare'Frez”, ceea ce înseamnă ca se va transfera controlul în sistem către controlerul de la celula de frezare care va declanșa operația de frezare. Această decizie poate fi validată sau nu de către operator. În cazul nevalidării primei oferte se trece la oferta a doua și așa mai departe, până la epuizarea întregii liste.

**Tabelul 5.3-5**

Tranziții			
Criterii de decizie	Frez	TriAGV	TroCloos
<i>Valori primare</i> ( $\times 10^{-2}$ ) $P(z_i)$ (valori normate)	33	33	33
Eliberarea frezei $P(E_1 z_i)$	0.8	0.6	0.5
Eliberarea robotului de sudare $P(E_2 z_i)$	0.5	0.5	0.9
Eliberarea AGV $P(E_3 z_i)$	0.5	0.2	0.5
Încărcarea unui nou reper în sistem $P(E_4 z_i)$	0.9	0.9	0.8
<i>Valori posterioare</i> ( $P(z_i E_1E_2E_3E_4)$ )	0.44	0.13	0.43

Folosind relația ( 5.2-3) se pot determina și alte genuri de influențe ale evidențelor acceptate asupra probabilităților primare, obținându-se așa-numitele “*probabilități primare propagate*”. Se poate determina astfel de pildă influența pe care o are procesul de frezare sau de sudare asupra probabilităților primare. Rezultatele unui astfel de calcul sunt cuprinse în Tabelul 5.3-6. Acestea pot fi folosite ca noi valori ale probabilităților primare, dacă se consideră relevant, mai ales în situația în care este greu de determinat inițial care sunt probabilitățile obiective de declanșare a fiecărei tranziții.

Tabelul 5.3-6

Tranziții	TriMF	TroMF	Frez	TriAGV	Masurare	TroMas	TriCloos	TroCloos	Sudare	TrDep1	TrDep2	Asmb
Criterii de decizie	TriMF	TroMF	Frez	TriAGV	Masurare	TroMas	TriCloos	TroCloos	Sudare	TrDep1	TrDep2	Asmb
Valori primare ( $\times 10^{-2}$ )	8.3	8.3	8.3	8.3	8.3	8.3	8.3	8.3	8.3	8.3	8.3	8.3
Eliberarea frezei (evidența 1)	0.7	0.9	0.8	0.6	0.6	0.4	0.5	0.5	0.5	0.5	0.5	0.6
Eliberarea robotului de sudare (evidența 2)	0.3	0.3	0.5	0.5	0.5	0.5	0.7	0.9	0.8	0.5	0.5	0.5
Valori primare ( $\times 10^{-2}$ ) pe baza evidenței 1 ( 5.2-3)	10	12	11	9.1	9.1	5.7	6.8	6.8	6.8	6.8	6.8	9.1
Valori primare ( $\times 10^{-2}$ ) pe baza evidenței 2 ( 5.2-3)	5.2	5.2	6.8	6.8	6.8	6.8	13	15	14	6.8	6.8	6.8

Valorile obținute prin aplicarea formulei ( 5.2-3) au fost normate astfel încât să poată fi folosite ca probabilități primare pentru un proces ulterior de decizie.

În momentul în care se cunoaște decizia sistemului pentru una din tranzițiile posibile, echipamentul de comandă (calculatorul central) va da un ordin de execuție la una din celulele independente ale sistemului prezentate în capitolul anterior. Aceasta va lansa în execuție propriul program de lucru (care nu face obiectul prezentei lucrări) și va prelua comanda integrală a celulei până la terminarea operațiilor respective. La sfârșitul lucrului controlerul local va furniza un semnal de sfârșit de proces, care va declanșa la nivelul computerului central o nouă secvență de decizie în legătură cu etapa următoare în desfășurarea procesului.

Tot acest comportament al sistemului de conducere legat de alegerea unei căi de rutare optime pe baza unui sistem de condiționali este condus cu ajutorul funcției “*subjective probability*” care este prezentată în anexele următoare. Pe lângă această funcție sistemul mai are nevoie și de altele care cooperează cu prima. Astfel funcția

---

---

*“read\_subj\_prob\_val”* are rolul de a prelua dintr-un fișier text un stream de date care conțin valorile indicilor de probabilitate pentru valorile primare și condiționalii luați în considerare la un moment dat. Acest fișier se numește *“subjective”* și el poate fi editat cu orice editor de text fără nici un fel de probleme speciale. În acest fel programul devine independent de setul inițial de date. Valorile citite din acest fișier vor fi încărcate într-o variabilă structurată de tipul *“float m\_values[5][12]”* care conține un prim indice pentru setul de date și un al doilea pentru valorile concrete ale probabilităților (vezi și structura acestei variabile în Anexa 5-2). Fișierul cu valorile probabilităților folosit la încercări este prezentat în Anexa 5-3. Pentru citirea linilor din fișier se folosește funcția C *“fscanf”*.

După citirea valorilor din fișierul sus-menționat și încărcarea lor în variabila structurată despre care s-a vorbit, aceste valori pot fi folosite pentru luarea deciziilor de rutare în sistem. Astfel, dacă funcția *“getsucc”* returnează mai mult de un succesori pentru un nod, în fereastra de dialog cu operatorul va apare oferta completă de tranziții posibile, determinate cu funcția *“gettranz”*. Între aceste tranziții operatorul este invitat să aleagă una, a cărei declanșare va determina starea următoare a sistemului corespunzătoare unui nou nod. Dacă dorește, operatorul poate selecta opțiunea *“0”*, care va declanșa *“serviciile”* funcției *“subjective\_probability”*. În urma rulării acestei funcții se va returna una din variantele oferite anterior, care s-a calificat pe baza sistemului de condiționali formulat inițial. Operatorul poate să accepte această variantă sau să o respingă, caz în care i se oferă din nou meniul anterior de selecție, în care își poate exprima o nouă opțiune. O astfel de fereastră de dialog este prezentată în Figura 5.3-1.

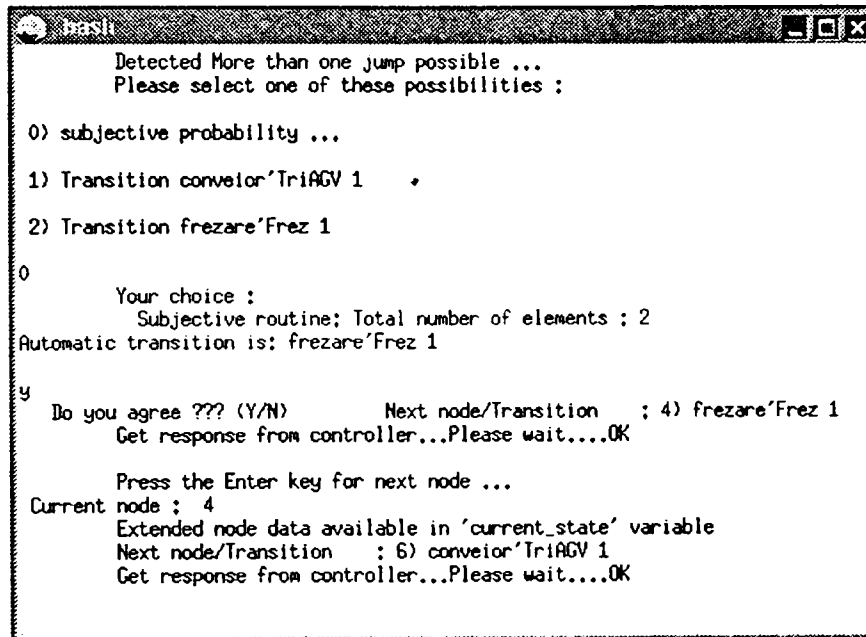
Dacă operatorul optează pentru alegerea rutei optime pe baza probabilităților subiective, în program se va declanșa mai întâi o rutină de calcul a probabilităților posterioare cu ajutorul relației ( 5.2-2). Valorile probabilităților corespunzătoare tranzițiilor cu care se vor efectua calculele se vor identifica din structura în care au fost încărcate, cu ajutorul funcției *“GetCmdIDFromTrz(trz\_name)”*. Urmează apoi calculul propriu-zis al valorilor probabilităților posterioare. Pentru cea mai mare dintre aceste valori se va returna numele tranziției și numărul nodului succesori așa cum rezultă el din lista de succesori care constituie parametru de intrare al programului *“control”*.

Procedura de optimizare a rutelor de transfer pe baza probabilităților subiective se înscrie printre metodele de control a fluxurilor de materiale după criterii care să îmbunătățească performanțele sistemului de fabricație. Funcția obiectiv a optimizării o constituie reducerea riscului de apariție a blocajelor în sistem. Așa cum s-a arătat pe larg în capitolul I, unde se vorbește despre sisteme de fabricație, fluxurile de materiale sunt

---

---

inseparabile de fluxurile informaționale. Din acest motiv se poate afirma că odată cu optimizarea circulației materialelor s-a realizat și o optimizare a fluxului de informație care o însoțește. De asemenea, prin propunerile de modificare a arhitecturii sistemului de comandă s-a adus iarăși un aport la îmbunătățirea fluxurilor informaționale. Programele de calcul care au fost prezentate și care realizează o strategie de transfer optimizată sunt ele însele dovezi ale coexistenței inseparabile a aspectelor materiale și a celor informaționale în desfășurarea ciclului de fabricație dintr-un sistem de fabricație flexibilă.



```
mas1
Detected More than one jump possible ...
Please select one of these possibilities :

0) subjective probability ...
1) Transition conveior'TriAGV 1
2) Transition frezare'Frez 1

0
  Your choice :
    Subjective routine; Total number of elements : 2
Automatic transition is: frezare'Frez 1

y
  Do you agree ??? (Y/N)      Next node/Transition ; 4) frezare'Frez 1
  Get response from controller...Please wait....OK

  Press the Enter key for next node ...
Current node ; 4
Extended node data available in 'current_state' variable
Next node/Transition ; 6) conveior'TriAGV 1
Get response from controller...Please wait....OK
```

Figura 5.3-1



---

## 5.4. Anexe

**Anexa 5-1 Fragment din fișierul sursă C care cuprinde funcția “subjective probability” folosită pentru adoptarea automată a deciziilor de rutare pe baza teoriei probabilităților subiective**

```
void read_subj_prob_val(void)
{
    char temp[55], nbr_temp[10];
    int i;
    for (i = 0; i < 5; i++)
    {
        fscanf(subj_prob, "%s", temp);
        fscanf(subj_prob, "%s %s", temp, nbr_temp);
        m_values[i][TriMF] = atof(nbr_temp);
        fscanf(subj_prob, "%s %s", temp, nbr_temp);
        m_values[i][TroMF] = atof(nbr_temp);
        fscanf(subj_prob, "%s %s", temp, nbr_temp);
        m_values[i][Frez] = atof(nbr_temp);
        fscanf(subj_prob, "%s %s", temp, nbr_temp);
        m_values[i][TriAGV] = atof(nbr_temp);
        fscanf(subj_prob, "%s %s", temp, nbr_temp);
        m_values[i][Masurare] = atof(nbr_temp);
        fscanf(subj_prob, "%s %s", temp, nbr_temp);
        m_values[i][TroMas] = atof(nbr_temp);
        fscanf(subj_prob, "%s %s", temp, nbr_temp);
        m_values[i][TriCloos] = atof(nbr_temp);
        fscanf(subj_prob, "%s %s", temp, nbr_temp);
    }
}
```

---

---

```
        m_values[i][TroCloos] = atof(nbr_temp);
        fscanf(subj_prob, "%s %s", temp, nbr_temp);
        m_values[i][Sudare] = atof(nbr_temp);
        fscanf(subj_prob, "%s %s", temp, nbr_temp);
        m_values[i][TriDep1] = atof(nbr_temp);
        fscanf(subj_prob, "%s %s", temp, nbr_temp);
        m_values[i][TriDep2] = atof(nbr_temp);
        fscanf(subj_prob, "%s %s", temp, nbr_temp);
        m_values[i][Asmb] = atof(nbr_temp);
    }
}

/*get command id from tranzition string*/

int GetCmdIDFromTrz(char* tranz)
{
    char command[20];
    int    j, count;
    for (j = 0; j < strlen(tranz); j++)
        if (tranz[j] == 0x27)
            {j++;break;}
    count = 0;
    while (tranz[j] != ' ' && j < strlen(tranz))
    {
        command[count] = tranz[j];
        count++;j++;
    }
    command[count] = '\\0';
```

---

---

```
if (!strcmp(command, "TriMF"))    {return 0;}
if (!strcmp(command, "TroMF"))    {return 1;}
if (!strcmp(command, "Frez"))     {return 2;}
if (!strcmp(command, "TriAGV"))   {return 3;}
if (!strcmp(command, "Masurare")) {return 4;}
if (!strcmp(command, "TroMas"))   {return 5;}
if (!strcmp(command, "TriCloos")) {return 6;}
if (!strcmp(command, "TroCloos")) {return 7;}
if (!strcmp(command, "Sudare"))   {return 8;}
if (!strcmp(command, "TriDepl"))  {return 9;}
if (!strcmp(command, "TriDep2"))  {return 10;}
if (!strcmp(command, "Asmb"))     {return 11;}

return -1;
}

int subjective_probability(int n,int *nodes)
{
    int      i, j, k, index_maxim;
    char* tmp;

    float    val_primare, val_pos[12], maxim = 0;
    float    prod_sus = 1.0, prod_jos = 1.0, suma_jos = 0;
    int      cmdid[12];

    val_primare = 100 / (float)n;

    for (j = 0; j < 12; j++)

        m_values[Start_Values][j] = val_primare;
    printf("\n          Subjective routine: Total number of
elements : %d",n);

    for(i=0; i < n; i++)
    {
```

---

---

```
        tmp = gettranz(nodes[i], trz);
        cmdid[i] = GetCmdIDFromTrz(tmp);
        if (tmp) free(tmp);
    }
for (i = 0; i < n; i++)
{
    prod_sus = prod_jos = 1;
    suma_jos = 0;
    for (j = 0; j < 5; j++)
        prod_sus *= m_values[j][cmdid[i]];
    for (k = 0; k < n; k++)
    {
        prod_jos = 1;
        for (j = 0; j < 5; j++)
            prod_jos *= m_values[j][cmdid[k]];
        suma_jos += prod_jos;
    }
    val_pos[i] = prod_sus / suma_jos;
}
for (i = 0; i < n; i++)
    if (val_pos[i] > maxim)
    {
        maxim = val_pos[i];
        index_maxim = nodes[i];
    }

return(index_maxim);
}
```

---

---

---

**Anexa 5-2 Fișierul antet “subject.h” care cuprinde structura de date folosită pentru înmagazinarea valorilor condiționalilor și a probabilităților primare.**

```
#define bool unsigned char
```

```
#define Start_Values      0
```

```
#define Free_Mill         1
```

```
#define Free_Cloos        2
```

```
#define Free_AGV          3
```

```
#define New_PartIn        4
```

```
#define TriMF              0
```

```
#define TroMF              1
```

```
#define Frez               2
```

```
#define TriAGV             3
```

```
#define Masurare           4
```

```
#define TroMas             5
```

```
#define TriCloos           6
```

```
#define TroCloos           7
```

```
#define Sudare             8
```

```
#define TriDep1            9
```

```
#define TriDep2            10
```

```
#define Asmb               11
```

---

---

**Anexa 5-3 Fișierul text “subjective” care cuprinde valorile indicilor de probabilitate precum și probabilitățile primare pentru rutarea dinamică.**

## Start Values

TriMF	0.08333
TroMF	0.08333
Frez	0.08333
TriAGV	0.08333
Masurare	0.08333
TroMas	0.08333
TriCloos	0.08333
TroCloos	0.08333
Sudare	0.08333
TriDep1	0.08333
TriDep2	0.08333
Asmb	0.08333

## Free\_Mill

TriMF	0.7
TroMF	0.9
Frez	0.8
TriAGV	0.6
Masurare	0.6
TroMas	0.4
TriCloos	0.5
TroCloos	0.5
Sudare	0.5
TriDep	0.5
TriDep2	0.5
Asmb	0.6

## Free\_Cloos

TriMF	0.3
TroMF	0.3
Frez	0.5
TriAGV	0.5
Masurare	0.5
TroMas	0.5
TriCloos	0.7
TroCloos	0.9
Sudare	0.8
TriDep1	0.5
TriDep2	0.5
Asmb	0.5

## Free\_AGV

TriMF	0.7
TroMF	0.5
Frez	0.5
TriAGV	0.2
Masurare	0.5
TroMas	0.5
TriCloos	0.7

---

---

---

TroCloos	0.5
Sudare	0.5
TriDep1	0.7
TriDep2	0.7
Asmb	0.5
New_PartIn	
TriMF	0.6
TroMF	0.7
Frez	0.9
TriAGV	0.9
Masurare	0.8
TroMas	0.5
TriCloos	0.7
TroCloos	0.8
Sudare	0.8
TriDep1	0.7
TriDep2	0.7
Asmb	0.5

---

---

## 5.5. Bibliografie

1. Crișan, I., Drăgănoiu, Gh., Predoi, A., 1988, Sisteme flexibile de montaj cu roboți și manipolatoare. Editura Tehnică, București.
2. Dreucean, M., 1994, Unele aspecte ale dependenței de context a rețelelor neuronale. Simpozionul național de roboți industriali, Timișoara , 1994.
3. Dreucean, M., 1997, Exemplu de modelare cu rețele Petri a unei celule flexibile de fabricație. Sesiunea de comunicări științifice, Ediția a IV-a, Arad, 1997.
4. Dreucean, M., 1997, Modelarea fluxurilor de materiale și de informație în sisteme de fabricație flexibile, Referatul nr. 2, Timișoara.
5. Dreucean, M., 1998, Modeling Flexible Manufacturing Systems Using Subjective Probabilities, 2<sup>nd</sup> International Symposium of Industrial Engineering SIE '98, Belgrad, Yugoslavia.
6. Hamid R. Parsaei, William G. Sullivan, 1993, Concurrent Engineering. Chapman & Hall, Glasgow, New-York, Tokyo, Melbourne, Madras.
7. Hietiko, E., 1996, Computer Aided System for Preliminary Design of Screen Cylinder Variants, C Technica 90, Acta Universitatis Ouluensis Technica, Departement of Mechanical Engineering, Oulu, Finland.
8. Steven Y. Liang, Tsu-Chin Tsao (ASME), 1990, Monitoring and Control for Manufacturing Processes. The American Society of Mechanical Engineers, New-York.



## **6. CONTRIBUȚII PERSONALE ȘI CONCLUZII**

### 6.1. Cuprins

<b>6. CONTRIBUȚII PERSONALE ȘI CONCLUZII</b>	<b>211</b>
6.1. Cuprins	211
6.2. Contribuții personale	212
6.2.a In domeniul teoretic	212
6.2.b In domeniul practic	212
6.3. Concluzii	213

---

---

---

## 6.2. Contribuții personale

### 6.2.a In domeniul teoretic

- sinteza unui volum vast de cunoștințe din domeniul sistemelor de fabricație;
- sistematizarea parametrilor cantitativi pentru aprecierea performanțelor unui sistem de fabricație;
- prezentarea conceptului de celulă de fabricație independentă;
- aplicații ale teoriei informației la studiul conținutului informațional al unor operații tehnologice;
- precizări în legătură cu definirea noțiunilor de "modelare" și "simulare";
- definirea locului modelării și simulării în proiectarea sistemelor de fabricație;
- definirea locului sistemelor de fabricație în cadrul conceptului de "inginerie concurentă";
- prezentarea analitică a principalelor metode de simulare pentru sisteme cu evenimente discrete;
- prezentarea analitică a principalelor produse Software pentru simularea sistemelor cu evenimente discrete;
- identificarea cauzelor apariției blocajelor în sistem și elaborarea unei strategii de eliminare a lor pe baza logicii de rutare;
- descrierea unei metode de conducere a sistemului de fabricație pe baza strategiei originale de evitare a blocajelor;
- definirea conceptului de "magistrală de blocaj" și elaborarea metodelor de determinare a acestor magistrale pentru un sistem dat;
- utilizarea conceptului de "probabilitate subiectivă" pentru alegerea succesiunii optimale a fazelor ciclului de fabricație dintr-o celulă flexibilă.

### 6.2.b In domeniul practic

- realizarea modelului cu rețele Petri a sistemului de fabricație existent în laboratorul Catedrei OMM;
  - implementarea a două variante ale logicii de rutare în modelul construit pe baza sistemului de fabricație flexibilă al Catedrei OMM;
-

- 
- 
- contribuții la concepția generală a fluxului tehnologic în sistemul de fabricație flexibilă din Laboratorul de Sisteme de Fabricație Flexibilă al Catedrei OMM a Facultății de Mecanică;
  - contribuții la concepția subsistemului de transfer a materialelor din componența sistemului de fabricație existent în laboratorul Catedrei OMM;
  - elaborarea a două variante de rutare a pieselor în sistemul flexibil de fabricație;
  - definirea principalilor parametri cantitativi ai funcționării sistemului pe baza rezultatelor simulării;
  - analiza critică a valorilor parametrilor cantitativi ai funcționării sistemului pentru cele două variante ale logicii de rutare;
  - scrierea și dezvoltarea unui pachet de funcții în limbaj CpnML pentru investigarea sistemului din punct de vedere cantitativ;
  - scrierea și dezvoltarea unui sistem de funcții în limbaj CpnML pentru analiza grafului de incidență în scopul determinării condițiilor de evitare a blocajelor;
  - scrierea unor funcții în limbaj CpnML pentru salvarea în fișiere a descriptorilor de noduri generați de graful de incidență;
  - scrierea programului C "getdata" pentru constituirea bazelor de date ale descriptorilor de noduri ai sistemului;
  - scrierea programului C "control" pentru conducerea sistemului în scopul evitării blocajelor;
  - scrierea funcției C "subjective\_probability" și a funcțiilor conexe pentru implementarea în model a conceptului de "probabilitate subiectivă";
  - efectuarea unor teste de conducere a celulei de frezare a sistemului de fabricație cu ajutorul programului "control" bazat pe metoda de evitare a blocajelor propusă de autor;
  - realizarea unei arhitecturi a sistemului de conducere bazată pe împărțirea sistemului de fabricație în mai multe celule cu sarcini de lucru independente;

### 6.3. Concluzii

La debutul lucrării de doctorat cu titlul "Optimizarea fluxului de materiale și informații în sisteme de fabricație flexibilă robotizate" s-au propus spre rezolvare două probleme:

---

---

- analiza comparată, pe baza unor indici cantitativi, a diverselor strategii de control a fluxului de materiale (strategii de rutare sau strategii de transfer, optimizarea fluxurilor materiale);
- conducerea sistemului în scopul evitării blocajelor (optimizarea fluxurilor informaționale).

Lucrarea prezintă o *analiză comparativă a două strategii de rutare*, prima bazată strict pe partajarea resurselor din sistem și a doua bazată pe tehnologia de execuție a pieselor. Ambele strategii de rutare au fost implementate la nivelul a două modele care au fost apoi folosite pentru simulare cu ajutorul rețelelor Petri colorate.

Analiza indicatorilor cantitativi folosiți evidențiază avantajele celei de-a doua variante de transfer, bazată pe tehnologia de execuție a pieselor, față de prima variantă, bazată strict pe partajarea resurselor.

*Conducerea sistemului în scopul evitării blocajelor* se bazează pe o implementare originală a ideii de utilizare a grafului de incidență rezultat în urma simulării. Pe baza unui set de funcții dezvoltate de autor, se poate obține din graful de incidență o bază de date externă mediului de dezvoltare a modelului, care conține toate stările posibile ale sistemului precum și legăturile dintre ele. *Aceste legături implementează logica de rutare din model*. Se poate obține astfel un program de conducere cu logică variabilă atâta timp cât acest program nu face decât să determine trecerea sistemului dintr-o stare în alta pe baza relațiilor din model. **Este pe deplin justificat astfel faptul că toate eforturile de optimizare se vor canaliza spre model și spre logica de transfer a materialelor pe care acesta o include**. După ce aceste aspecte au fost clarificate, **succesiunea de stări (noduri) ale sistemului dedusă din simulare se va transpune în practică pe sistemul real cu ajutorul programelor dezvoltate de autor**.

Pentru situațiile de conflict sau de concurență, când un nod are mai mulți succesori posibili, s-a realizat un program de selecție a rutei optime pe baza teoriei "probabilităților subiective" și a conceptului de "magistrală de blocaj".

Metoda a fost verificată practic pentru celula de frezare din cadrul sistemului de fabricație instalat în laboratorul Catedrei OMM.

Se poate deci concluziona că cele două obiective propuse inițial au fost îndeplinite, obținându-se atât o metodă de apreciere a performanțelor unui sistem de fabricație bazată pe rezultatele simulării, cât și **un program de conducere adaptabil oricărui tip de sistem de fabricație**, cu condiția ca acest sistem să fie modelat în prealabil cu ajutorul programului DesignCPN pentru a putea folosi funcțiile speciale care conduc la construcția bazei de date a stărilor posibile ale sistemului. Deși teoria prezentată a fost grupată în jurul sistemului de

---

---

fabricație real aflat în laboratorul Catedrei de Organe de Mașini și Mecanisme, algoritmi și programele prezentate în lucrare pot fi cu ușurință adaptate oricărui sistem de fabricație, în condițiile prezentate mai sus. Se poate afirma că procedeele de analiză prezentate în lucrare se constituie într-o metodă de validare puțin costisitoare a sistemelor de fabricație încă din faza de proiectare.

Considerentele de ordin material au fost cele care au împiedicat validarea experimentală pe scară mai largă a programului de conducere. Cu toate acestea, funcționarea fiecărei celule din sistem fiind identică din punct de vedere informațional cu cea a celulei de frezare, se poate afirma că metoda de conducere propusă are reale șanse de a fi utilizată la conducerea întregului sistem. Un alt motiv pentru restrângerea ariei experimentale l-a constituit lipsa programelor de control local a celulelor independente, aceste programe făcând obiectul unor altor lucrări de cercetare sau de doctorat care sunt în derulare.

Lucrarea de doctorat prezentată **deschide perspectiva realizării unor sisteme de conducere bazate pe modelare-simulare**, sisteme a căror funcționare nu poate să ocolescă stările determinate pe baza simulării. Această concepție a sistemului de conducere este în domeniul controlerelor de sistem ceea ce este conducerea “master-slave” în domeniul roboților. Sistemul “master” în acest caz este modelul iar “sclavul” este sistemul real.

*Continuarea cercetărilor* pe linia deschisă de această lucrare ar trebui să se orienteze în primul rând spre aplicarea unor procedee de comunicare în rețea Ethernet sau MAP de tip “client-server” dintre controlerul central și cele locale. De asemenea trebuiesc continuate programele de conducere locală pe baza unei concepții unitare, care să permită preluarea din sistem a parametrilor ce definesc starea momentană (“current\_state”) și compararea lor cu baza de date a stărilor posibile ale sistemului.

Timișoara, la 24 aprilie 1999